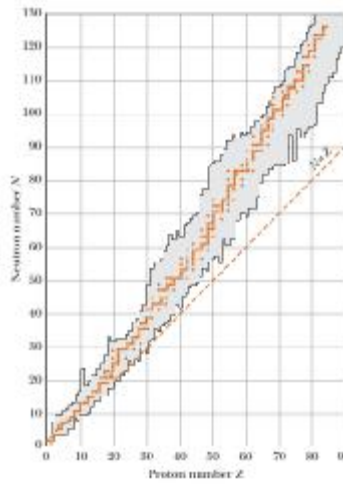


الفيزياء النووية (1)



الجمهورية العربية السورية
وزارة التعليم العالي
جامعة تشرين
كلية العلوم

الفيزياء النووية (1)



الدكتور جهاد كامل ملحم
أستاذ في قسم الفيزياء

الدكتور هيثم ابراهيم جبيلي
أستاذ في قسم الفيزياء

الدكتور أمير درويش تفيحة
أستاذ مساعد في قسم الفيزياء

1439-1438 هـ
2018 - 2017 م

القسم: الفيزياء
السنة: الثالثة

الفهرس

11	مقدمة الكتاب
14	المفردات العامة لمقرر الفيزياء النووية (1)
15	الفصل الأول: الخواص الأساسية للنواة
15	1.1 - مقدمة
15	2.1 - النواة الذرية
15	3.1 - تعريفات
16	4.1 - وحدات قياس الكتلة والطاقة في الفيزياء النووية
19	5.1 - نصف قطر النواة:
23	1.5.1 - تشتت جسيمات ألفا
26	2.5.1 - تشتت النيوترونات السريعة
27	3.5.1 - أشعة X المنطلقة من الذرة الميونية
29	6.1 - قياس كتلة النواة
29	1.6.1 - مطياف الكتلة
32	2.6.1 - صيغة الكتلة نصف التجريبية (نموذج القطرة السائلة)
34	7.1 - طاقة الارتباط النووية
44	8.1 - طاقة فصل النيوكليون
46	9.1 - النموذج الطبقي
46	1.9.1 - النموذج الطبقي الذري
53	2.9.1 - النموذج الطبقي النووية
59	10.1 - العزم المغناطيسي للنواة
62	11.1 - عزم رباعي الأقطاب الكهربائي للنواة
68	مسائل الفصل الأول
69	الفصل الثاني: النشاط الإشعاعي
69	1.2 - مقدمة:
72	2.2 - قوانين النشاط الإشعاعي (عمر النصف وثابت التفكك)
76	3.2 - التوازن الإشعاعي
80	4.2 - أنواع التفكك الإشعاعي
81	1.4.2 - تفكك ألفا:
84	1.1.4.2 - نظرية تفكك جسيمات ألفا
88	2.4.2 - تفكك بيتا
88	1.2.4.2 - تفكك بيتا السالب
90	2.2.4.2 - تفكك بيتا الموجب
92	3.2.4.2 - الأسر الالكتروني
95	4.2.4.2 - نظرية تفكك بيتا
96	3.4.2 - تفكك جاما
97	1.3.4.2 - إصدار اشعة جاما
98	2.3.4.2 - التحول الداخلي
99	3.3.4.2 - ثابت تفكك جاما

101	5.2- النشاط الإشعاعي الصناعي
106	1.5.2- أسرار العناصر المشعة
106	1.1.5.2- الأسرار المشعة الطبيعية
107	2.1.5.2- أسرار النبتونيوم الصناعية
109	مسائل الفصل الثاني

111 الفصل الثالث: التفاعلات النووية

111	1.3- مقدمة
112	أ- النواة المركبة
113	ب- التفاعلات المباشرة
113	2.3- قوانين الحفظ في التفاعلات النووية
113	1.2.3- قانون حفظ العدد الكلي للنوكليونات
113	2.2.3- قانون حفظ الشحنة
114	3.2.3- قانون حفظ كمية الحركة الخطية
114	3.2.4- التكافؤ بين الكتلة والطاقة وقانون حفظ الطاقة
114	5.2.3- قانون حفظ كمية الحركة الزاوية الكلية
115	6.2.3- قانون حفظ الندية (النوعية)
116	3.3- طاقة العتبة لتفاعل نووي ماص للطاقة
119	4.3- القوى النووية
124	5.3- الانشطارات النووية
126	6.3- نظرية الانشطارات النووية
126	1.6.3- طاقة الانشطارات
129	2.6.3- آلية الانشطارات
132	3.6.3- حاجز الانشطارات
134	4.6.3- شظايا الانشطارات
135	5.6.3- نيوترونات الانشطارات
136	6.6.3- النيوترونات اللحظية
137	7.6.3- النيوترونات المتأخرة
140	7.3- طرق الانشطارات النووية:
140	1.7.3- الانشطارات الحرارية
141	2.7.3- الانشطارات السريعة
141	3.7.3- الانشطارات بواسطة الجسيمات المشحونة
141	4.7.3- الانشطارات الثلاثية
141	5.7.3- الانشطارات الضوئية
142	8.3- المفاعلات النووية
148	مسائل الفصل الثالث

151 الفصل الرابع: التأثير المتبادل بين الإشعاع والمادة

151	1.4- مقدمة:
151	2.4- التشتت المرن للجسيمات
153	3.4- ضياع طاقة الجسيمات الثقيلة المشحونة خلال المادة:

158	4.4 - معادلة المدى الطاقية لجسيمات ألفا والبروتونات
160	5.4 - ضياع طاقة الالكترونات
161	6.4 - التأثير المتبادل لأشعة جاما مع المادة
162	أ - تبعثر تومسون
162	ب - المفعول الكهروضوئي
163	ج - مفعول كمبتون
166	د - توليد الزوجين
168	7.4 - إضعاف الإشعاع بواسطة المادة
169	1.7.4 - إضعاف أشعة جاما بواسطة المادة
172	8.4 - ضياع طاقة النيوترونات
179	مسائل الفصل الرابع

181 الفصل الخامس: كواشف الاشعاعات النووية

181	1.5 - مقدمة
181	2.5 - التأين والتفريغ الغازي
182	3.5 - عمليات التأين في التفريغ الغازي
182	أ- التأين بالتصادم البسيط
182	ب- التأين بعملية الاثارة
183	ت- التأين بالتصادم المضاعف للالكترونات
183	ث- التأين الضوئي
183	ج- التأين بالالكترونات المرافق
183	ح- التأين بفصل الالكترونات
184	خ- عمليات اخرى
184	4.5 - آلية الانهيار الغازي
185	1.4.5 - آلية التكتل الالكتروني (عملية انهيار تاونسند)
189	2.4.5 - قانون باشن
190	3.4.5 - آلية الانهيار الشراري
191	4.4.5 - الانهيار التوهجي
191	أ- الانهيار التوهجي بالتتيار المستمر
192	ب- التفريغ التوهجي التفريقي
192	5.5 - كواشف الإشعاع
193	1.5.5 - الكواشف الغازية
197	2.5.5 - عداد الوميض
202	3.5.5 - كواشف أنصاف النواقل
205	4.5.5 - كواشف النيوترونات
208	5.6 - بعض أنواع الكواشف الأخرى
208	1.6.5 - الألواح التصويرية
208	2.6.5 - عداد تشيرنكوف
209	3.6.5 - حجيرة ويلسون الضبابية
213	مسائل الفصل الخامس

215	الفصل السادس: دراسة بعض تطبيقات الفيزياء النووية
215	1.6- مقدمة
215	2.6- قياس أعمار النصف
215	1.2.6- عمر النصف الطويل جداً:
216	2.2.6- عمر النصف القصير
217	3.2.6- عمر النصف القصير جداً
217	4.2.6- التطابق الزمني المتأخر
219	5.2.6- مبدأ الارتياح
224	3.6- مفعول موسباور
224	1.3.6- عرض الخط الطيفي
225	2.3.6- الطاقة المرتدة في عملية الإصدار
227	3.3.6- الرنين والفلورة الرنينية
229	4.3.6- مفعول دوبلر
231	5.3.6- ما هو مفعول موسباور؟
235	4.6- الرنين النووي المغناطيسي
236	1.4.6- وصف نواة في حقل مغناطيسي
244	2.4.6- الترنج (التبادر) وتردد لارمور
246	3.4.6- توزيع بولتزمان والاشباع
248	4.4.6- عمليات الاسترخاء
252	5.6- استخدام النظائر المشعة في الطب
254	1.5.6- عناصر التقفي (الاقتفاء) الإشعاعية
255	2.5.6- الدور الحيوي والدور الفعلي
256	مسائل الفصل السادس

257	الفصل السابع: مخاطر الإشعاع النووي والوقاية منه
257	1.7- مقدمة:
257	2.7- مصادر الإشعاع
257	1.2.7- الإشعاع الخارجي
258	2.2.7- الإشعاع الداخلي
258	3.2.7- الإشعاع الصناعي
259	3.7- التأثيرات الحيوية للإشعاع
259	1.3.7- التعرض الحاد
260	2.3.7- التعرض المزمن
260	4.7- كثافة تدفق الإشعاع (معدل سيولة الإشعاع)
262	5.7- التعرض
263	6.7- الجرعة الإشعاعية الممتصة
263	أ- الراد RAD
264	ب- الجراي GRAY
264	7.7- التكافؤ بين الرونتجن والراد
264	8.7- التأثير البيولوجي داخل جسم الإنسان
264	1.8.7- التأثير البيولوجي النسبي

265	2.8.7 - العامل الوزني للإشعاع
266	3.8.7 - الجرعة المكافئة للعضو أو النسيج
266	4.8.7 - وحدات قياس الجرعة المكافئة
267	5.8.7 - العامل الوزني للنسيج أو العضو
268	6.8.7 - الجرعة الفعالة T
269	7.8.7 - الجرعة الفعالة الجماعية
269	9.7 - معدل الجرعة
270	10.7 - حدود الجرعة المسموحة
272	11.7 - جرعة التحمل
272	12.7 - الحد الأقصى المسموح للجرعة
273	13.7 - توصيات اللجنة الدولية للوقاية الإشعاعية
273	1.13.7 - حدود الجرعات الفعالة والمكافئة
274	2.13.7 - تصنيف أماكن العمل
274	3.13.7 - حدود الجرعة الفعالة لعموم الجمهور
275	4.13.7 - التعرض المخطط في ظروف خاصة
275	5.13.7 - التعرض غير العادي في حالات الطوارئ والحوادث الإشعاعية
276	14.7 - الحواجز (الدروع) الواقية
277	1.14.7 - الدروع الواقية لمصادر بيتا
277	2.14.7 - حواجز الإشعاعات السينية وإشعاعات جاما
279	3.14.7 - حواجز النيوترونات السريعة
282	مسائل الفصل السابع

283	الملحق A: عناصر ميكانيك الكم في الفيزياء النووية
307	الملحق B: جدول الكتل النووية التجريبية
330	الملحق C: جدول الوفرة للنظائر الطبيعية.
331	المصطلحات العلمية

مقدمة الكتاب

جرت العادة أن يُطلب إلى الفيزيائيين المميزين، حين يزورون جامعة موسكو، أن يكتبوا على لوح توصية للأجيال القادمة. وفي إحدى هذه المناسبات كتب بور «إن المتعارضات ليست متناقضات، بل متتامات»، مختصراً بذلك مبدأه القائل بالتتامية *complementarity*. واختار ديراك أن يكتب «يجب على كل قانون فيزيائي أن يتمتع بجمال رياضي». أما يوكاوا، رائد نظرية التفاعلات النووية، فقد كتب: «إن الطبيعة بسيطة في جوهرها».

إن الطبيعة بسيطة في جوهرها، هذا ما يسعى العلم أن يبينه. فالنظريات الفيزيائية الكبرى المكتملة تتميز بالبساطة والجمال الرياضي. أما النظريات الفيزيائية غير المكتملة فلا تزال تعاني من صعوبات جمة أهمها عدم البساطة. وأغلب هذه النظريات يقع في مجال الفيزياء النووية.

ومع أن تطور الفيزياء النووية كان في ثلاثينيات وأربعينيات القرن الماضي، فإنها بدأت في حقيقة الأمر مع اكتشاف النشاط الإشعاعي. ولقد طرحت خواص النوى الذرية، التي كشفت عنها التجارب المبكرة، على الفيزيائيين مسائل مهمة هي:

1 — تعيين حجم النواة الذي استدل من الحقائق كافة على أنه أصغر من حجم الذرة بآلاف المرات. فقد تم استنتاج [من تبعثر (تشتت) جسيمات ألفا عن النوى الثقيلة] أن قطر النواة هو في غاية الصغر، فهو من رتبة عُشر الواحد من تريليون من السنتيمتر (10^{-13} cm).

2 — تعيين مكونات النواة إذ لا يمكن أن تكون بروتونات فحسب، لأن الشحنة النووية الموجبة تصبح عندئذ أكبر من ضعفي قيمتها المقيسة.

3 — تحديد طبيعة القوة النووية، أي القوة التي تبقي الجسيمات المكونة للنواة متماسكة داخلها.

فمن التجارب نستنتج أن الطاقة التي تربط الجسيم النووي بالنواة تقرب من مليون ضعف الطاقة التي تربط الإلكترون بالذرة. وسرعان ما طرحت هذه النتيجة المسألة التالية: كيف يمكن للبروتونات، وهي جميعاً متماثلة الشحنة، أن تبقى متجاورة في منطقة صغيرة صغر حجم النواة؟ إن قوة التنافر الكهربائية بين بروتونين تفصل بينهما أبعاد كأبعاد النواة هي من الشدة بما يجعل هذه النواة تتشطر؛ فكيف إذا تظل هذه النواة متماسكة إذا لم تكن ثمة قوة مجهولة شديدة جداً تمنعها من الانشطار؟ تلك هي مشكلة استقرار النواة التي ظلت هي المسألة

الرئيسة التي شغلت ذهن معظم الفيزيائيين منذ السنوات الأولى من القرن العشرين وحتى عقده الثالث.

والحقيقة أن مشكلة استقرار النواة مرتبطة ارتباطاً شديداً بطبيعة جسيمات أخرى، غير البروتونات، موجودة في النواة. فكان خيرة الفيزيائيين تقريباً في تلك السنوات الأولى يتمعنون في هذه المسألة. وكان التخمين الأكثر احتمالاً والذي خطر في بال الكثير منهم، هو أن النواة تحوي بالإضافة إلى البروتونات والكترونات، أي الكترون لكل بروتون. وقد بدا أن هذا الظن مؤكد بثبوت أن أشعة بيتا هي الكترونات، إذ كانوا يحاجون بأنه إذا كانت الالكترونات تصدر عن النواة فلا بد أن تكون موجودة فيها لتتطلق منها. وكانت هذه الدعوى مقبولة بوجه عام، حتى عند رذرفورد الذي ظل يدعمها حتى بداية ثلاثينيات القرن الماضي.

إلا أن افتراض وجود الالكترونات في النواة، بعد تطور ميكانيك الكم واكتشاف علاقات الارتياح، أصبح أمراً غير مقبول إطلاقاً لعدد من الأسباب المقتعة. أولها مثلاً أنه لو فرض وجود الالكترون في النواة لأصبحت كمية حركته في مكان بهذا الضيق كبيرة إلى حد بعيد بسبب مبدأ الارتياح بحيث لا يمكن أن يبقى حبيساً في النواة، ولتجاوزت طاقة حركته كثيراً طاقات الارتياح النووية.

وهكذا أفضت هذه الحجج كلها الفيزيائيين أنه لا وجود لالكترونات حرة في النواة، واستبعد بذلك نموذج النواة الكترون – بروتون. إلا أن رذرفورد لم يستبعد هذه الفكرة نهائياً وألح على أن الالكترون والبروتون يمكن أن يكونا في ظروف مؤقتة بنية شديدة الترابط ؛ وكان يرى أن هذه البنية الحيادية التي دعاها «نيوتروناً» هي بنية أساسية لبناء نوى العناصر الثقيلة. والحقيقة أن نيوترون رذرفورد بدأ به شادويك الذي اكتشف أنه إذا قُذِفَ البيريلىوم ^9Be بجسيمات ألفا (الصادرة عن البولونيوم المشع) نتجت نواة الكربون 12 مع إطلاق جسيمات حيادية رأى شادويك أنها هي نيوترونات رذرفورد. وبهذا الاكتشاف بدأ فعلاً عصر الفيزياء النووية الذي أثر تطوره السريع في أثناء ثلاثينيات القرن العشرين وأربعينياته في حياتنا كثيراً. وقد فتح هذا الاكتشاف باباً واسعاً من البحوث النووية وراح الفيزيائيون من مختلف الأعمار والمؤهلات يساهمون فيها من الناحيتين النظرية والتجريبية، فكان من يُدعى فيزيائياً نووياً معناه أضفي عليه لقبٌ ذو مكانة سامية.

ويسعدنا أن نقدم هذا الكتاب لطلاب السنة الثالثة فيزياء في كلية العلوم بجامعة تشرين والذي يغطي مفردات المنهاج المقررة رسمياً.

ويفترض هذا الكتاب أن للطلاب معرفة جيدة بميكانيك الكم الذي يمثل أداةً لا بد منها في فهم فصوله. فهذا الكتاب يشتمل على مبادئ وأساسيات الفيزياء النووية؛ كما أن مادته مكتوبة بأسلوب يتلاءم مع تدريس المنهج المقرر، حيث نلقي الضوء على المبادئ الرئيسة والنتائج المهمة للفيزياء النووية، و يترك للطلاب الخوض في أعماق المادة العلمية ليتمرس بمفرده على اكتساب النهج والتفكير العلمي. ويشتمل هذا الكتاب على سبعة فصول وعدة ملاحق تعتبر جزءاً لا يتجزأ من الكتاب. ويتناول الفصل الأول الخصائص العامة للنواة حيث ركزنا على خصائص مهمة للنواة مثل طاقة ارتباط النواة. أما في الفصلين الثاني والثالث فقد تمّ تكريسهما للنشاط الإشعاعي وللتفاعلات النووية. وفي الفصل الرابع فقد تمت معالجة التأثير المتبادل بين الإشعاع والمادة .

وبالاعتماد على ما تمت معالجته في الفصل الرابع فقد استعرضنا في الفصل الخامس كواشف الاشعاع و في الفصل السادس قدمنا بعض تطبيقات الفيزياء النووية مثل قياس أعمار النصف والرنين المغناطيسي النووي.

وأخيراً فقد قدمنا في الفصل السابع مخاطر الإشعاع النووي وأجهزة الكشف عنه.

ولتوضيح مفاهيم الفيزياء النووية فقد أغنينا الكتاب بالأمثلة المحلولة والمسائل غير المحلولة، آمليين أن نكون قد قدمنا مساهمة مفيدة في مجال الفيزياء النووية والله ولي التوفيق.

المؤلفون

المفردات العامة لمقرر الفيزياء النووية (1)

لطلاب السنة الثالثة فيزياء في قسم الفيزياء

من كلية العلوم بجامعة تشرين

الفصل الأول: الخواص الأساسية للنواة.

الفصل الثاني: النشاط الإشعاعي.

الفصل الثالث: التفاعلات النووية.

الفصل الرابع: التأثير المتبادل بين الإشعاع والمادة.

الفصل الخامس: كواشف الإشعاعات النووية.

الفصل السادس: دراسة بعض تطبيقات الفيزياء النووية.

الفصل السابع: مخاطر الإشعاع النووي والوقاية منه.

الفصل الأول

الخواص الأساسية للنواة

1.1 - مقدمة:

استطاع رذرفورد Rutherford وضع تصور واقعي للذرة بعد قيامه بتجربته الشهيرة والتي سلط فيها جسيمات ألفا على وريقة من الذهب، حوالي عام 1911. وقد تأكد منذ ذلك الحين النموذج النووي للذرة. فالذرة تتألف من نواة دقيقة في المركز حيث توجد فيها الشحنة الموجبة للذرة كما تحوي 99.9% من كتلتها. أما الذرة نفسها فنصف قطرها أكبر بحوالي 10^5 مرة من نصف قطر النواة، ولذلك فلا يمكن أن تتسع صفحة واحدة لتمثيل حقيقي للذرة مع نواتها. فتوجد الالكترونات في الجزء الخارجي للذرة، ويُدرس سلوك الالكترونات في الفيزياء الذرية.

2.1 - النواة الذرية:

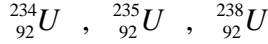
تتكون النواة من Z بروتوناً و $N = A - Z$ نيوترونات حيث يُدعى Z بالعدد الذري و A بالعدد الكتلي. ويُطلق على مجموعة البروتونات والنيوترونات النيوكليونات Nucleons، ولقد جرت العادة أن نرمز لنواة χ بالرمز التالي ${}^A_Z C$ أو ${}_Z C^A$. فمثلاً تكتب نواة الكربون 12 بالشكل ${}^{12}_6 C$ أو ${}^{12}_6 C$ ونواة الأوكسجين 16 بالشكل ${}^{16}_8 O$ أو ${}^{16}_8 O$ ، ونواة الأرجون 40 بالشكل ${}^{40}_{18} Ar$ أو ${}^{40}_{18} Ar$ الخ، ونشير إلى أننا سنستخدم أحد الرمز ${}_Z C^A$ ، ${}_Z C^A$ للتعبير عن النواة في هذا الكتاب وذلك تبعاً للحاجة والضرورة.

ونعطي فيما يلي مجموعة من التعاريف حيث يتكرر استخدامها في هذا الكتاب.

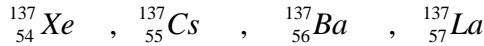
3.1 - تعريفات:

- النيوكلايد Nuclide ويطلق على العنصر النووي ذي العدد الذري Z وعدد الكتلة A .
- النظائر Isotopes وهي نيوكلايدات لها نفس العدد الذري Z (ولهذا تكتب أحياناً Izotopes حيث يُستبدل الحرف S بالحرف Z ليدل على تساوي العدد الذري Z) ولكنها تختلف في العدد الكتلي A .

ولهذا فإن النظائر تملك الخواص الكيميائية نفسها كالتكافؤ والنشاط الكيميائي، لأن لها عدد الإلكترونات نفسه ، بينما تختلف في الخواص الفيزيائية كالكتلة. وتوجد للعنصر غالباً أعداد كبيرة من النظائر بعضها طبيعي والآخر صناعي ومثال ذلك نظائر اليورانيوم:

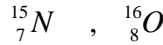


— الأيزوبارات Isobars وهي نيوكلايدات لها نفس عدد الكتلة A، ولذلك يستبدل الحرف a بالحرف A حيث تكتب IsobArs ليدل على تساوي العدد الكتلي، ولكن تختلف هذه النيوكلايدات في العدد الذري Z وبالتالي تختلف بعدد النيوترونات N، ومثال ذلك:



— الأيزوتونات Isotones وهي نيوكلايدات لها عدد النيوترونات N نفسه ، ولذلك يُستبدل الحرف n بالحرف N حيث تكتب IsotoNes ليدل على تساوي عدد النيوترونات N، ولكنها تختلف في عدد الكتلة.

ومثال ذلك:



— النوى المرآتية Mirror Nucleus وهي الأيزوبارات التي تتبادل عدد البروتونات والنيوترونات، ومثال ذلك 3_1H ، 3_2He .

— الأيزوميرات Isomers وهي نيوكلايدات لها عدد البروتونات والنيوترونات نفسه (نفس عدد الكتلة A) إلا أنها تتواجد في حالات إثارة مختلفة تنتقل إلى الاستقرار عن طريق إصدار أشعة كهرومغناطيسية تسمى أشعة جاما Gamma.

4.1 - وحدات قياس الكتلة والطاقة في الفيزياء النووية:

لا تصلح وحداتنا المعروفة الكبيرة لقياس كتلة النواة . في النظام الدولي للوحدات أخذت وحدة الكيلو جرام kg لقياس الكتلة. وهذه الوحدة تعتبر كبيرة جداً لتقدير كتلة النواة . ولذلك تم تعريف وحدة جديدة هي وحدة الكتل الذرية Atomic Mass Unit والتي يُرمز لها اختصاراً بـ amu أو بـ u اختصاراً حيث سنستخدم الاختصار السابق لوحدة الكتل الذرية

في هذا الكتاب. إن قيمة u تساوي $\frac{1}{12}$ من كتلة ذرة الكربون 12، ولنبرهن أن:

$$1u = \frac{1}{N_a} = 1.66 \times 10^{-24}g$$

بفرض M الكتلة الحقيقية لذرة ما فإن الكتلة الذرية M_a لهذه الذرة مقدرة بـ u تساوي $M_a = \frac{M}{u}$ وبما أن المول من أي مادة هو عدد الغرامات من هذه المادة يساوي الكتلة الذرية، أي: $1 \text{ mol} = M_a$ فإذا قسمنا كتلة المول M_a بالغرامات على كتلة الذرة والتي تساوي $u \cdot M_a$ نحصل على عدد أفوكادرو N_a الذي يعطى كما يلي:

$$N_a = \frac{M_a}{u \cdot M_a} = \frac{1}{u} = 6.023 \times 10^{23} \text{ atoms}$$

وبالتالي فإن:

$$1u = \frac{1}{N_a} = \frac{1}{6.023 \times 10^{23}} = 1.66 \times 10^{-24} g$$

وباستخدام العلاقة بين الطاقة والكتلة، لأينشتين ، التالية:

$$E = M c^2 \quad (1)$$

فإن:

$$\begin{aligned} 1 u c^2 &= 1.66 \times 10^{-27} \times (3 \times 10^8)^2 \\ &= 1.49 \times 10^{-10} \text{ J} \end{aligned}$$

ولما كان $1 \text{ MeV} = 1.6 \times 10^{-13} \text{ J}$ فإن :

$$1 u c^2 = 931.48 \text{ MeV}$$

فإذا كان لدينا جسماً ساكناً كتلة M_0 فإن طاقته السكونية تساوي $M_0 c^2$. فإذا انتقل من السكون إلى الحركة بسرعة J فإن طاقته الكلية:

$$E = M_0 c^2 + K$$

حيث K هي الطاقة الحركية للجسيم ذي الكتلة السكونية M_0 وتساوي:

$$K = E - M_0 c^2 = M c^2 - M_0 c^2$$

$$M = \frac{M_0}{\sqrt{1-b^2}} \quad \text{وبما أن:}$$

فإن:

$$K = M_0 c^2 \left(\frac{1}{\sqrt{1-b^2}} - 1 \right)$$

$$b = \frac{J}{c} \quad \text{حيث:}$$

فمن أجل $c \gg v$ فإن: $K = \frac{1}{2} M_o J^2$ والتي تمثل طاقة الحركة الكلاسيكية للجسيم M_o حيث M_o تعتبر ثابتة في حالة السكون والحركة.

إن الطاقة الكلية تُعطى بدلالة الطاقة السكونية كما يلي:

$$E = \sqrt{(M_o c^2)^2 + P^2 c^2} \quad (2)$$

حيث: $P = M J = \frac{M_o b c}{\sqrt{1-b^2}}$ كمية الحركة النسبية للجسيم.

ويمكن استنتاج العلاقة (2) كما يلي:

$$E^2 = M^2 c^4 = \frac{M_o^2 c^4}{1-b^2} = \frac{M_o^2 c^4 + M_o^2 b^2 c^4 - M_o^2 b^2 c^4}{1-b^2}$$

أو:

$$E^2 = \frac{M_o^2 c^4 (1-b^2) + M_o^2 b^2 c^4}{1-b^2} = M_o^2 c^4 + P^2 c^2$$

وبأخذ الجذر التربيعي لطرفي العلاقة السابقة نحصل على العلاقة (2).

واعتماداً على العلاقة السابقة نكتب:

$$E^2 - M_o^2 c^4 = P^2 c^2$$

$$(E - M_o c^2) (E + M_o c^2) = P^2 c^2 \quad \text{أو:}$$

ومنها:

$$K (E + M_o c^2) = P^2 c^2$$

وبإضافة وطرح $M_o c^2$ ضمن القوس نجد:

$$K (E - M_o c^2 + 2M_o c^2) = P^2 c^2$$

$$K (K + 2M_o c^2) = P^2 c^2 \quad \text{أو:}$$

$$P c = \sqrt{K (K + 2M_o c^2)} \quad \text{أو:}$$

فإذا كانت الطاقة الحركية مهملة أمام الطاقة السكونية فاعتماداً على العلاقة السابقة نكتب:

$$K = \frac{P^2}{2M_0}$$

أما إذا كان الجسيم محل الدراسة مركب من جسيمات أصغر فإن الطاقة السكونية له تتعلق بحالة الحركة الداخلية لهذه الجسيمات التي يتألف منها. والنواة الذرية نظام معقد يتكون من النيوكلونات لهذا تتحدد طاقتها السكونية بحركة هذه النيوكلونات فكلما كانت الطاقة الداخلية لهذه النيوكلونات أكبر وكانت الطاقة السكونية للنواة E_0 أكبر وبالتالي كتلتها السكونية $M_0 = \frac{E_0}{c^2}$ أكبر. ويقابل المستوى الأساسي للنواة الحد الأدنى من طاقة وكتلة السكون للنواة.

5.1 - نصف قطر النواة:

مرت فكرة وجود نصف قطر للنواة بعدة مراحل: في المرحلة الأولى كان العلماء يعتقدون بوجود نصف قطر للنواة بدون تحفظات، وتم البحث عن طرائق لقياس نصف القطر النووي. في المرحلة الثانية مع ظهور ميكانيك الكم اختفى مفهوم المدار وظهر بدلاً منه مفهوم الغمامة واعتقد العلماء بعدم وجود نصف قطر للنواة (هل يوجد نصف قطر للغمامة)، فإذا وجد فيجب أن يكون هناك أكثر من نصف قطر تبعاً لطريقة القياس. وفي المرحلة الثالثة وصل العلماء وبعد العديد من التجارب إلى أن هناك شيء ما يشبه نصف القطر النووي وهو لا يتعلق بطريقة القياس، وتم التفكير بالنواة كجملة كوانتية يمكن تمثيلها بتابع موجي ψ وعند تغير كثافة المادة النووية وانخفاضها لقيم صغيرة جداً (تساوي الصفر تقريباً) فإن ثخانة المنطقة الأولى يمكن أن تكون شيئاً شبيهاً بنصف القطر.

ليست هناك وسيلة ما لقياس حجم النواة مباشرة إنما نعتد على طريقتين عمليتين لتقدير نصف قطر النواة ومن ثم حجمها هما:

أ - **الطريقة النووية:** ونحصل منها على ما يسمى بنصف قطر القوة النووية. ونقوم، هنا، بدراسة تشتت الجسيمات النووية عن النواة تحت تأثير القوة النووية. وتتلخص التجارب العملية المستخدمة لذلك فيما يلي:

1- تشتت جسيمات ألفا؛

2- أعمار النصف لمصادر ألفا؛

3- تشتت النيوترونات السريعة عن النوى.

ب — الطريقة الكهرطيسية: ونحصل منها على ما يُسمى بنصف قطر الشحنة. وهنا نقوم بدراسة تشتت الجسيمات عن النواة تحت تأثير شحنة البروتونات الموجبة بها. وتتلخص التجارب العملية المستخدمة فيما يلي:

1— تشتت الالكترونات عالية الطاقة عن النوى؛

2— تشتت البروتونات عن النوى؛

3— أشعة X المنطلقة من الذرة الميونية؛

4— إزاحة خطوط الطيف في نظائر العنصر.

سوف نفترض أن النواة تأخذ شكلاً كروياً وبالتالي يتناسب حجمها مع عدد النيوكلونات المكونة لها، أي:

$$V \propto A$$

حيث V حجم النواة. وبما أن النواة كروية الشكل، فإن:

$$V = \frac{4}{3} \pi R^3$$

$$A \propto \frac{4}{3} \pi R^3 \quad \text{أي أن:}$$

$$R \propto A^{1/3} \quad \text{أو:}$$

وينتج من ذلك أن:

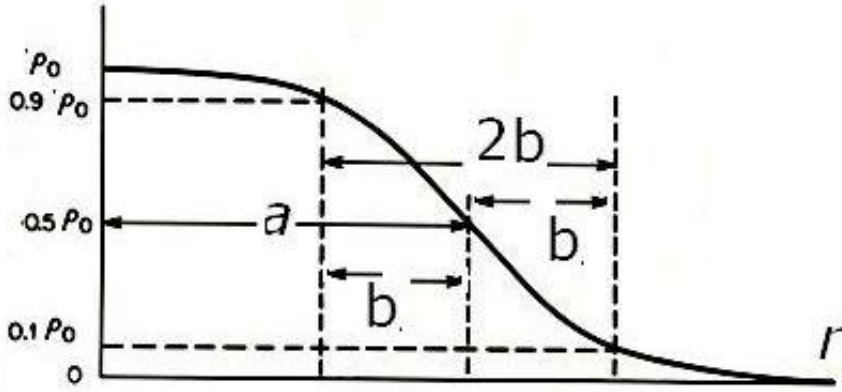
$$R = r_0 A^{1/3} \quad (3)$$

حيث r_0 ثابت يمكن تعيينه تجريبياً باستخدام إحدى الطرق السابقة.

وقبل استعراض بعضاً من هذه الطرق بالتفصيل ينبغي أولاً توضيح كيفية توزيع الشحنات وتوزيع الكتلة داخل النواة.

تبين تجارب تشتت الالكترونات عالية الطاقة عن النواة أن توزيع الشحنة داخل النواة هو كما مبين في الشكل (1).

ويلاحظ من الشكل أن النواة تتكون من منطقة مركزية تكون فيها كثافة الشحنة الكهربائية ثابتة r_0 وطبقة أو قشرة تتناقص كثافة الشحنة خلالها بصورة سريعة.



الشكل (1) توزيع الشحنة داخل النواة

ولقد استخدمت عدة صيغ لتفسير مثل هذه النتائج من أشهرها:

$$r(r) = \frac{r_o}{1 + e^{(r-a)/b}} \quad (4)$$

حيث:

ρ_0 كثافة الشحنة المركزية الثابتة و a و b وسيطان قيمتهما:

$$a = 1.07 \times 10^{-15} A^{1/3} \quad m = 1.07 A^{1/3} F$$

$$b = 0.55 \times 10^{-15} \quad m = 0.55 F$$

وحيث: $F = 10^{-15} m$ ويُعرف بالفرمي Fermi. ويُستنتج من الدراسات أعلاه ما يلي:

1- إن كثافة الشحنة الكهربائية ثابتة داخل النواة وتتناقص بسرعة كبيرة خلال الطبقة السطحية التي سمكها $2b = 1.1F$ وهذا السمك مقدار ثابت لجميع النوى.

2- تعتمد الكثافة الداخلية للشحنة r_o على رقم الكتلة A وتتناقص بصورة بطيئة مع زيادة A .

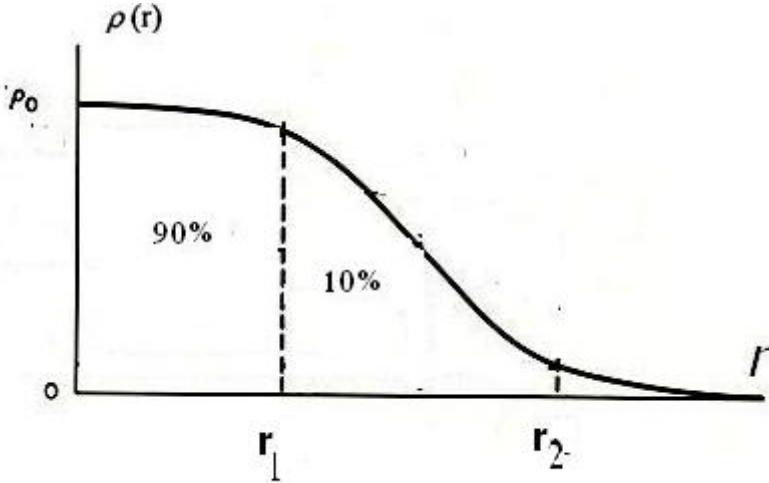
3- تبين الدلائل أن توزيع النيوترونات داخل النواة يشبه توزيع البروتونات وبالتالي فإن كثافة الكتلة $r_m(r)$ تشبه لحد ما كثافة الشحنة والفرق بينهما في نسبة عدد النيوكليونات A إلى عدد البروتونات Z . وبالتالي فإن كثافة الكتلة تكتب بالشكل التالي:

$$r_m(r) = \frac{A}{Z} r(r)$$

مثال (1)

إذا علمت أن كثافة الشحنة تتناقص في القشرة لـ 10% وفي الطبقة التالية لـ 90% من قيمتها الثابتة داخل النواة فاحسب سمك قشرة النواة، باعتبار أن الثابت $b = 0.55 F$.

الحل: من الشكل نجد



من أجل النقطة $r = r_1$ فإن

$$r = \frac{9}{10} r_o$$

وبالتعويض في المعادلة (4) نجد:

$$\frac{9}{10} r_o = \frac{r_o}{1 + e^{(r_1 - a)/b}}$$

$$\frac{10}{9} = 1 + e^{(r_1 - a)/b} \quad \text{أو}$$

$$\frac{1}{9} = e^{(r_1 - a)/b} \quad \text{أو}$$

ومن أجل النقطة $r = r_2$ فنجد بنفس الأسلوب:

$$9 = e^{(r_2 - a)/b}$$

وبقسمة المعادلة السابقة على المعادلة التي قبلها نجد:

$$81 = e^{(r_2 - r_1)/b}$$

وبالتالي فإن سماكة القشرة:

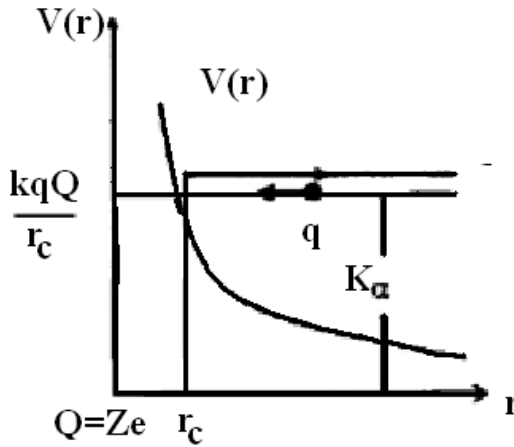
$$r_2 - r_1 = b \ln 81 = 2.42 F$$

وستتناول فيما يلي بعض الطرق السابقة المستخدمة لتحديد نصف قطر النواة.

1.5.1- تشتت جسيمات ألفا:

يستطيع جسيم ألفا في تجارب تشتت ألفا أن يصل إلى النواة إذا كان التصادم مباشراً، بمعنى أن يحدث التشتت جبهةً بزاوية π . ولنفترض أن جسيم ألفا يقترب من النواة الهدف بطاقة حركة K_α ، ففي هذه الحالة تزداد قوة كولون التنافرية مع اقتراب جسيم ألفا من النواة.

وعلى مسافة r_c ، وهي أقرب مسافة للجسيم من النواة، فإن طاقة الحركة للجسيم تصبح مساوية لطاقة كولون التنافرية. ولهذا فإن جسيم ألفا يتوقف لبرهة ثم يعود ليبعد عن النواة في الاتجاه المعاكس كما في الشكل (2). ويمكننا تصور ذلك كما لو أن جسيم ألفا يتسلق المنحدر الكولوني للجهد حول النواة حتى يصل إلى مسافة r_c من النواة. وعند هذه المسافة تتحول كل طاقة حركته إلى طاقة كامنة كهربائية مما يجعله يتوقف لبرهة ثم يبدأ في الترحلق من على المنحدر ليكتسب طاقة حركته مرة ثانية. ولهذا فإنه يمكننا أن نساوي طاقة حركة الجسيم بالطاقة الكامنة عند $r = r_c$ فقط. ومنه:



الشكل (2): العلاقة بين الجهد الكولوني والمسافة r بين النواة وجسيم ألفا

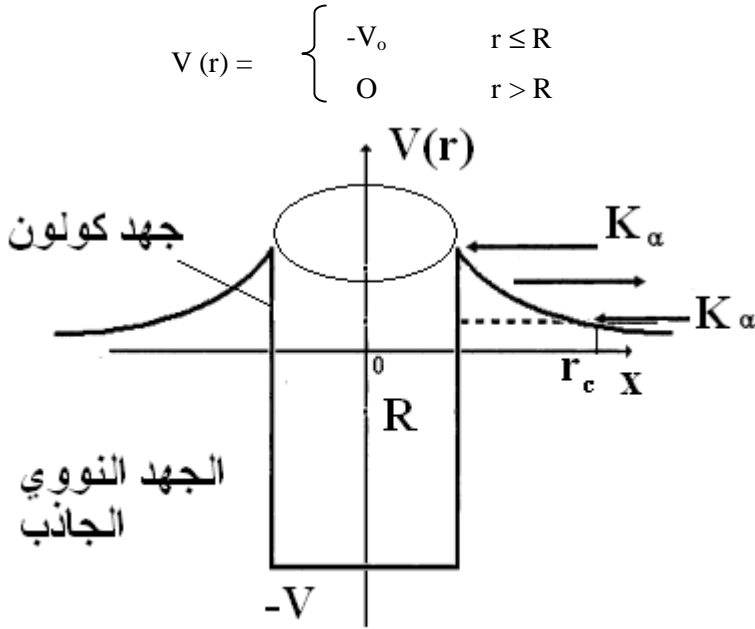
$$K_a = \frac{1}{2} m J_0^2 = \frac{kqQ}{r_c}$$

حيث $q = 2e$ شحنة جسيم ألفا و $Q = Ze$ شحنة النواة. إذن:

$$r_c = \frac{2kZe^2}{K_a} = \frac{4kZe^2}{mJ_0^2} \quad (5)$$

وبفرض R نصف قطر النواة وأن طاقة حركة جسيم ألفا كافية بحيث

$r_c \leq R$ فإننا نلاحظ أن عدد جسيمات ألفا المتشتتة جبهياً يقل: وذلك لأنه عندما تتحقق المتراجحة السابقة تصبح القوة بين جسيم ألفا والنواة قوة تجاذبية تعزى للقوى النووية القوية التي تفوق كثيراً قوى التنافر الكولونية. ويمكن تمثيل القوى النووية القوية بالجهد الآتي:



الشكل (3): عندما $r \leq R$ تسيطر القوة النووية التجاذبية
وعندما $r > R$ يكون جهد كولون هو المسيطر

ويوضح الشكل (3) هذه العلاقة وكذلك صفات القوة النووية. فإذا كانت K_α كافية من أجل $r_c \leq R$ فإن جسيمات ألفا لا ترتد كلها، وإنما يمتص جزء من هذه الجسيمات داخل النواة.

ونتيجة لذلك يقلُّ عدد جسيمات ألفا التي تنشئت جبهةياً عن العدد المتوقع حسب نظرية رذرفورد . ومن أجل الطاقة K_α التي يكون من أجلها $r_c = R$ ، أي الطاقة الأصغر من تلك التي يقل من أجلها عدد جسيمات ألفا المنعكسة، فإننا نحسبه من (5) وبالتالي نصف قطر النواة:

$$r_c = R = r_0 A^{1/3}$$

وبتكرار تجارب التشتت على نوى مختلفة وتغيير طاقة جسيمات ألفا باستخدام المسرعات تمَّ الحصول على الثابت r_0

$$r_0 = 1.414 \times 10^{-13} \text{ cm}$$

مثال (2):

يعطي عنصر الراديوم 219 جسيمات ألفا بطاقة 7.68 MeV فإذا استخدمت هذه الجسيمات في تجربة تشتت على كل من الذهب $^{192}_{79}\text{Au}$ والألمنيوم $^{27}_{13}\text{Al}$ ، فاحسب مسافة الاقتراب الصغرى لجسيم ألفا في الحالتين.

الحل:

المعادلة (5) تعطي

$$r_c = \frac{2k Ze^2}{K_\alpha}$$

$$\text{حيث: } e = 1.602 \times 10^{-19} \text{ C} , K = 8.987 \times 10^9 \text{ N} \cdot \text{m}^2 / \text{C}^2$$

$$K_\alpha = 7.68 \times 10^6 \text{ eV} = 7.68 \times 10^6 \times 1.602 \times 10^{-19} \text{ J}$$

$$Z = 79 \text{ للذهب Au و } Z = 13 \text{ للألمنيوم Al بالتعويض نجد:}$$

$$r_c (\text{Au}) = \frac{2 \times 8.987 \times 10^9 \times 79 \times (1.602 \times 10^{-19})^2}{7.68 \times 10^6 \times 1.602 \times 10^{-19}}$$

$$= 2.98 \times 10^{-14} \text{ m} = 2.98 \times 10^{-12} \text{ cm}$$

$$r_c (\text{Al}) = \frac{2 \times 8.987 \times 10^9 \times 13 \times (1.602 \times 10^{-19})^2}{7.68 \times 10^6 \times 1.602 \times 10^{-19}}$$

$$= 0.49 \times 10^{-14} \text{ m} = 0.49 \times 10^{-12} \text{ cm}$$

وبحساب R من العلاقة (3) لكل من Au و Al نجد أن:

$$R(Al) < r_c(Al) , R(Au) < r_c(Au) . \text{ تأكد من ذلك.}$$

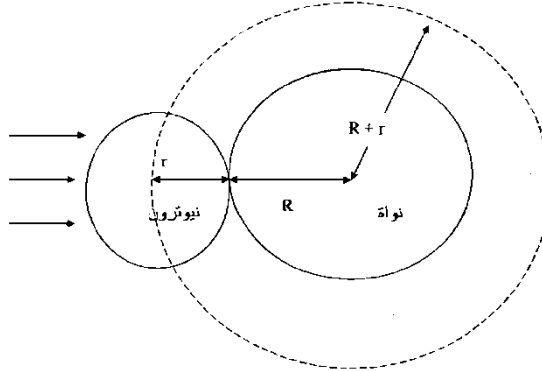
2.5.1- تشتت النيوترونات السريعة:

النيوترونات جسيمات غير مشحونة وبالتالي عند تشتتها عن النواة فهي لا تتأثر بالقوة الكهربائية. ومن ثم، فعند اقترابها من النواة ستتأثر بالقوة النووية . وبالتالي، فعندما تشتت هذه النيوترونات عن النواة نحصل على نصف قطر النواة.

لنفرض أن حزمة من النيوترونات السريعة قد وردت على شريحة من مادة ما . ولنفرض أن نصف قطر نواة من الشريحة هو R وأن نصف قطر النيوترون r . فعندما يقترب النيوترون لمسافة قدرها $R + r$ من النواة سوف يتفاعل معها ويحدث له امتصاص أو تشتت بواسطة الجهد النووي للنواة، وذلك كما هو واضح في الشكل (4).

وبالتالي فإن مقطع التصادم بين النيوترون والنواة يساوي:

$$\sigma = \pi (R + r)^2$$



الشكل (4): مقطع الصدم بين النيوترون والنواة

فإذا استطعنا قياس المقطع σ عملياً فإنه بإمكاننا تعيين نصف قطر النواة R . ويمكن أن يتم ذلك بوضع كاشف عن النيوترونات وراء الشريحة ومن ثم قياس التوهين الناتج في حزمة النيوترونات. وبإجراء التجربة لعدد من النوى ورسم علاقة بين نصف قطر النواة المقاس R و $A^{1/3}$ نحصل على خط مستقيم ميله يساوي $1.37 \times 10^{-15} \text{ m}$ وبالتالي نستنتج أن:

$$R = 1.37 \times 10^{-15} A^{1/3}$$

$$r_o = 1.37 \times 10^{-15} \text{ m} \quad \text{أي أن:}$$

(مقطع تصادم أو مقطع تفاعل) هو مساحة مقطع نواة الذرة الذي "يراه" الكترون أو نيوترون موجه إلى نواة الذرة ليصطدم بها، ويستخدم له وحدة تسمى بارن 10^{-24} cm^2 ، فهو يعطي مدى قابلية نواة ذرية للتفاعل مع جسيم وهو يتعلق بشدة التفاعل بين نواة الذرة والجسيم القادم عليها. ويعرف المقطع العرضي بأنه احتمال حدوث التفاعل النووي أي احتمال تصادم أو أسر النواة للجسيم الوارد إليها.

3.5.1- أشعة X المنطلقة من الذرة الميونية:

في عام 1938، وعند دراسة الأشعة الكونية، تم اكتشاف جسيم يُعرف الآن بالميون Muon. وقد بينت الدراسات التي أجريت حول الجسيم السابق أن شحنته يمكن أن تكون سالبة أو موجبة وأن m_μ أكبر بـ 207 مرة تقريباً من كتلة الالكترون m_e أي:

$$m_\mu = 207 m_e$$

ويشبه الميون السالب μ^- الالكترون من حيث شحنته وسبينه ($s = 1/2$) إلا أنه يختلف، وكما أشرنا، عن الالكترون بكتلته. فإذا دخل الميون السالب إلى المادة، يفقد جزءاً كبيراً من طاقته إثر التصادمات المتتالية معها، ويقع أسيراً في أحد مدارات بور حول النواة مكوناً نظاماً شبيهاً بالذرة العادية يُدعى بالذرة الميونية Muonic Atom. وتختلف الذرة الميونية عن الذرة العادية بأن نصف قطر مدار الميون أصغر بـ 207 مرة (نسبة كتلة الميون إلى كتلة الالكترون) من نصف قطر بور للالكترون الموافق. فإذا فرضنا أن النواة شحنة نقطية (أي نصف قطرها $R=0$) فإن نصف قطر الذرة الميونية يعطى بالعلاقة:

$$r_n = \frac{h c}{a Z m_\mu c^2} n^2$$

ومن أجل ذرة الرصاص ($Z = 82$) نجد:

$$r = \frac{137 \times 197}{82 \times 207 \times 0.51} (1)^2 = 3 F$$

$$r = 3 F = 3 \times 10^{-15} \text{ m}$$

حيث: $h c = 197 \text{ MeV} \cdot F$ و $a = \frac{1}{137}$ ثابت البنية الناعمة

$$m_\mu c^2 = 207 m_e c^2 = 207 \times 0.51 \text{ MeV}$$

إن خصائص الذرة الميونية مماثلة لخصائص الذرة العادية وخصوصاً الانتقالات بين

مستويات الطاقة المتبوعة بإصدار أشعة X التي طاقتها يمكن قياسها تجريبياً وحسابها نظرياً. فمثلاً من أجل ذرة الرصاص ($Z = 82$) فإن الحساب النظري لطاقة أشعة X من أجل الانتقال $2P_{3/2} \rightarrow 1S_{1/2}$ يعطي طاقة قدرها 16.41 Me V وذلك من أجل نواة نقطية. بينما القيمة العملية المقاسة للانتقال السابق تساوي 6.02 Me V . ولكي نحصل على الطاقة العملية السابقة بالحساب النظري يجب اعتبار أن النواة كروية الحجم بنصف قطر يساوي:

$$R = 1.2 \times 10^{-15} A^{1/3} \text{ m}$$

أي أن قيمة r_0 تبعاً لطريقة أشعة X المنطلقة من الذرة الميونية تساوي:

$$r_0 = 1.2 \times 10^{-15} \text{ m}$$

ويُستنتج من الطرق السابقة التي استعرضناها والتي لم نستعرضها أن النواة كروية الشكل تقريباً نصف قطرها يُعطى كما يلي:

$$R = r_0 A^{1/3}$$

حيث قيمة r_0 تقع ضمن المجال التالي:

$$r_0 = (1.2 - 1.5) \times 10^{-15} \text{ m}$$

مثال (3): برهن أن كثافة المادة النووية ثابتة.

الحل:

بما أن الكثافة هي كتلة واحدة الحجم فإن:

$$r_N = \frac{A \times 1.67 \times 10^{-27}}{(4/3) \pi \cdot R^3}$$

حيث وكما نعلم أن A عدد النيوكليونات في النواة وأن

$$m_n \approx m_p = 1.67 \times 10^{-27} \text{ kg}$$

وبما أن $R = r_0 A^{1/3}$ يمثل نصف قطر النواة فإن:

$$r_N = \frac{A \times 1.67 \times 10^{-27}}{(4/3) \pi (1.2 \times 10^{-15})^3 A} \approx 2 \times 10^{17} \text{ kg / m}^3$$

والنتيجة السابقة غريبة! فالكثافة النووية لا تعتمد على نوع العنصر النووي أو المادة وهي ثابتة ، وبالتالي فهي خاصة ذاتية للنواة . وهذه النتيجة منطقية لأن النواة تتألف من بروتونات

ونيوترونات وهذه جسيمات لا علاقة لها بنوع المادة أو اسم النواة....!!
 لاحظ أن كثافة المادة النووية ذات قيمة هائلة مقارنة مع أي كثافة أخرى، فكثافة الماء تبلغ 1000 kg/m^3 وكثافة الرصاص $11.4 \times 10^3 \text{ kg/m}^3$...!!

6.1 – قياس كتلة النواة:

توجد عدة طرق لقياس كتلة النواة نذكر منها :

1– مطياف الكتلة.

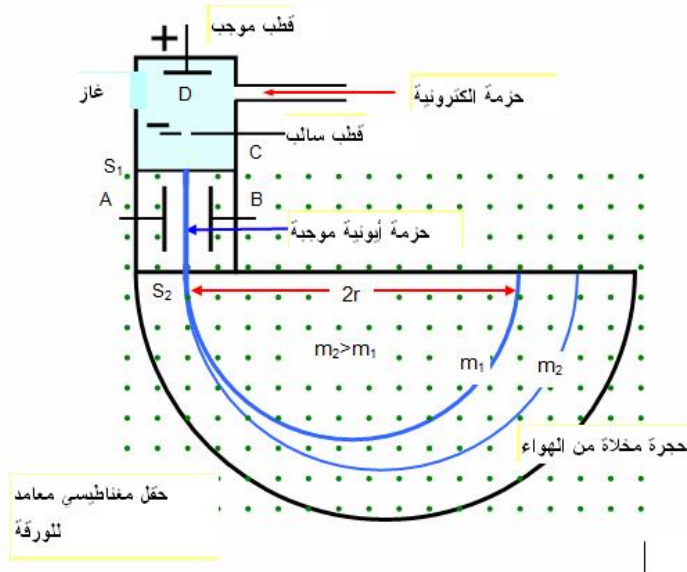
2– التفكك الإشعاعي.

3– صيغة الكتلة نصف التجريبية.

وستحدث فيما يلي عن الأولى والثالثة.

1.6.1 – مطياف الكتلة Mass Spectrometer:

يستخدم مطياف الكتلة لفصل النظائر ولقياس كتلتها كما ويمكن استخدامه للحصول على عينات نقية من هذه النظائر. وهناك عدة أنواع لمطياف الكتلة، إنما نبين في الشكل (5) مخططاً مبسطاً للمطياف السابق. يتم تأيين المادة في مصدر الأيونات وذلك إما بتسخين أملاح المادة على شرائح البلاتين أو بقذف هذه الأملاح بالالكترونات السريعة .



الشكل (5) مخطط مبسط لمطياف الكتلة

ثم تتجه الأيونات المنتجة من الشق S_1 إلى الشق S_2 تحت تأثير اللوح المتصل بالقطب السالب لجهد التغذية. فإذا كانت q شحنة الأيون فإن طاقته الحركية عندما يصل الشق S_2 تساوي qV حيث V فرق الجهد الذي ينحدر خلاله الأيون. ومن ثمَّ يكون لدينا:

$$\frac{1}{2} M J^2 = qV \quad (6)$$

وبعد أن يمر الأيون خلال الشق S_2 فإنه يخضع لتأثير مجال مغناطيسي B عمودي على سرعة الأيون J (B عمودي على صفحة الشكل 5). وبالتالي فإن الأيون يتبع مساراً دائرياً . وبمساواة القوة المغناطيسية التي يخضع لها الأيون مع قوة الجذب المركزية نجد:

$$q J . B = M \frac{J^2}{r}$$

أو:

$$qB = M \frac{J}{r} \quad (7)$$

ومن المعادلة (6) نجد:

$$(M \vartheta)^2 = 2 M q V$$

وبتربيع المعادلة (7) وتبديل $(M\vartheta)^2$ بقيمتها من المعادلة السابقة نجد:

$$q^2 B^2 = \frac{2M qV}{r^2} \quad (8)$$

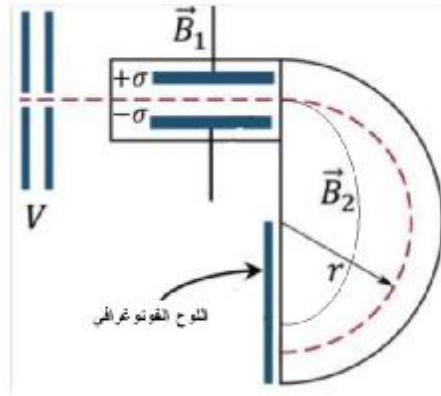
ومن هنا نجد كتلة الأيون:

$$M = r^2 \frac{qB^2}{2V} \quad (9)$$

وبما أن القيم V , B , q معروفة ويمكن معرفة r اعتماداً على الأثر الذي يظهر على اللوح الفوتوجرافي، فإنه اعتماداً على العلاقة السابقة يمكن تعيين M كتلة الأيون.

وهكذا يمكن باستخدام هذا المطياف قياس كتل معظم المواد المعروفة ومن ثم تبويب هذه الكتل في الجداول الفيزيائية المعروفة.

وعندما نستخدم الكلور النقي كمصدر أيوني يظهر أثنان منفصلان في مطياف الكتلة كما هو موضح في الشكل (6).



الشكل (6)

ويدل هذا على أن الكلور مكون من نوعين من الأيونات. وباستخدام المعادلة (9) يمكن حساب كتلتي النوعين، حيث يجب أن نلاحظ أن مساري الأيونين غير متمركزين. وبالإضافة لذلك فقد استخدمت درجة سطوع الصورة على اللوح الفوتوجرافي لتحديد الوفرة النسبية للنوعين، ونبين ذلك في الجدول التالي:

النوع 2	النوع 1	
37	35	العدد الكتلي A
0.246	0.754	الوفرة النسبية

وحيث أن نواة الكلور تحوي 17 بروتوناً (الذي يساوي العدد الذري للكلور) فإن نواة النوع 1 تحوي 18 نيوترونًا، بينما تحوي نواة النوع الثاني 20 نيوترونًا، ولذا فإن الكلور الموجود في الطبيعة يحتوي على النظيرين التاليين:



فإذا ما أخذنا متوسط كتلة هذين النظيرين، وذلك بضرب كتلة النظير في الوفرة النسبية الموافقة والجمع، فإننا نحصل على متوسط للكتلة مقداره 35.5 u وهذا الذي عينه الكيميائيون.

مثال (4):

احسب الخطأ في تعيين نقطتي تجمع نظيري اليورانيوم 235 و 238 إذا كان نصف قطر المسار المستخدم في المطياف متراً واحداً.

الحل:

من المعادلة (9) نكتب:

$$r = \sqrt{\frac{2MV}{qB^2}}$$

وبمفاضلة هذه المعادلة نجد:

$$dr = \frac{1}{2} \sqrt{\frac{2V}{qMB^2}} dM$$

وبقسمة المعادلتين السابقتين نجد:

$$\frac{dr}{r} = \frac{1}{2} \frac{dM}{M}$$

$$\frac{\Delta r}{r} = \frac{1}{2} \frac{\Delta M}{M} \quad \text{أو:}$$

ومن أجل $M \approx 235 \text{ u}$ و $\Delta M \approx 3 \text{ u}$ و $r = 1 \text{ m}$ نجد:

$$\Delta r = \frac{1}{2} \frac{3}{235} 1 = 0.64 \text{ cm}$$

2.6.1 - صيغة الكتلة نصف التجريبية (نموذج القطرة السائلة):

- لقد تصور بور، عام 1937، النواة وكأنها قطرة من سائل حيث تسلك النيوكليونات داخل النواة سلوك جزيئات السائل داخل القطرة، فقد لاحظ بور تشابهاً كبيراً بين نواة الذرة وقطرة السائل بحيث وجد أن:
- أ — كثافة نواة الذرة كما هو الحال في قطرة السائل ثابتة ولا تعتمد على الحجم.
- ب — ظاهرة التبخر في السوائل تشبه ظاهرة النشاط الإشعاعي .
- ج — تكثف السوائل يناظر الاندماج النووي
- د — الحرارة الكامنة للبخار تتأثر متوسط طاقة الارتباط لكل نيوكليون في النواة حيث تعتمد الطاقة في الحالتين على الكتلة.
- هـ — جزيئات السائل تتأثر فقط بالجزيئات المجاورة لها ، وهذا يقابل في النواة ظاهرة تشبع القوى النووية .
- يمكن استخدام تصور بور لاشتقاق علاقة تعطي كتلة النواة كما يلي على افتراض أن النواة قطرة من سائل فإنه يمكن كتابة كتلتها $M(A, Z)$ على الشكل التالي:

$$M(A, Z) = Z m_p + N m_n + f_1(A, Z) + f_2(A, Z) + \dots + f_5(A, Z) \quad (10)$$

حيث m_p و m_n كتلة كل من النيوترون والبروتون على الترتيب، وقد أضيفت الحدود الخمسة الأخيرة لتصحيح الكتلة.

يمثل $f_1(A, Z)$ تأثير الحجم على الكتلة والذي يرتبط بنصف القطر حسب العلاقة (3) والتي تبين أن الحجم يتناسب مع A . ولكن مع ازدياد A فإن احتمال النشاط الإشعاعي يزداد وهذا ما ينقص الحجم، أي يمكن أن يكتب $f_1(A, Z)$ كما يلي:

$$f_1(A, Z) = -a_1 A$$

حيث a_1 مقدار ثابت.

أما الحد الثاني $f_2(A, Z)$ فيأخذ تأثير مساحة السطح على كتلة النواة والذي يتناسب مع $A^{2/3}$ ولذلك فإن:

$$f_2(A, Z) = a_2 A^{2/3}$$

أما الحدود الأخرى فتعطى كما يلي:

$$f_3(A, Z) = a_3 \frac{Z^2}{A^{1/3}}$$

$$f_4(A, Z) = a_4 \frac{(N-Z)^2}{A}$$

$$f_5(A, Z) = a_5 \frac{d}{A}$$

والتي تعزى لقوى كولون التنافرية، وللتماثل، وللتزاوج وعلى الترتيب حيث يغيب الحد f_4 من أجل تماثل في عدد النيوترونات والبروتونات أي من أجل $N = Z$ أما قيمة δ في الحد f_5 فيساوي كما يلي:

$$\delta = \begin{cases} -1 & \text{(زوجي } N - \text{زوجي } Z) \\ 0 & \text{فردي } A \\ 1 & \text{(فردي } N - \text{فردي } Z) \end{cases}$$

حيث نلاحظ من القيمة السابقة لـ δ كيف يؤثر تزاوج النيوكليونات على كتلة النواة.

وبالتعويض في المعادلة (10) نجد:

$$M(A, Z) = Zm_p + Nm_n - a_1 A + a_2 A^{2/3} + a_3 \frac{Z^2}{A^{1/3}} + a_4 \frac{(N-Z)^2}{A} + a_5 \frac{d}{A} \quad (11)$$

حيث تقاس الثوابت a_1, a_2, a_3, a_4, a_5 بوحدة الكتلة الذرية u. يظهر الشكل (7) مدى مساهمة قيم مختلف الطاقات الموصوفة في العلاقة 11 بحسب تغير العدد الكتلي في قيمة متوسط طاقة الارتباط ونلاحظ ازدياد طاقة الارتباط عند الاقتراب من الأعداد الكتلية $A=50,82,128$

مثال (5):

باستخدام صيغة الكتلة نصف التجريبية أحسب كتلة النواة ${}^{40}_{20}\text{Ca}$ علماً أن:

$$a_4 = 0.0253 \text{ u} , a_3 = 0.0008 \text{ u} , a_2 = 0.0185 \text{ u} , a_1 = 0.0170 \text{ u}$$

$$m_p = 1.0087 \text{ u} , m_n = 1.0078 \text{ u} , a_5 = 0.0623 \text{ u}$$

الحل:

بما أن النواة ${}^{40}_{20}\text{Ca}$ من النموذج (Z زوجي — N زوجي) فإن $\delta = -1$ وكذلك فإن $N = Z$ في النواة السابقة وبالتعويض في العلاقة (11) نجد:

$$M(40,20) = 20 \times 1.0078 + 20 \times 1.0087 - 0.0170 \times 40 + 0.0185(40)^{2/3} + 0.0008 \times \frac{20^2}{(40)^{1/3}} - 0.0623/40$$

$$M(40,20) = 39.9584 \text{ u}$$

وتعطي جداول كتل النظائر القيمة التالية لنظير الكالسيوم 40:

$$M(40,20) = 39.9626 \text{ u}$$

7.1 — طاقة الارتباط النووية B Nuclear Binding Energy

قد يُعتقد أن كتلة النواة تساوي مجموع كتل النيوكلونات التي تدخل في تركيبها. فإذا كان العدد الذري للنواة Z وعدد كتلتها A فإن كتلة البروتونات الموجودة في النواة تساوي $m_p Z$ وكتلة النيوترونات تساوي $m_n N$ ويكون مجموع كتلة النيوكلونات الموجودة في النواة تساوي:

$$Z m_p + N m_n$$

لكن عند استخدام مطياف الكتلة لقياس كتلة النواة M تكون كتلة النواة المقاسة M دائماً أصغر من مجموع كتل النيوكلونات. ويساوي الفرق في الكتلة:

$$\Delta m = Zm_p + Nm_n - M$$

وفي الحقيقة فإن النقص في الكتلة Δm قد تحول لطاقة تربط مكونات النواة معاً وتعرف هذه الطاقة بطاقة الارتباط النووية ونكتب:

$$B = \Delta m c^2 = [Z m_p + Nm_n - M]c^2 \quad (12)$$

ويجب أن نفرق بين نقص الكتلة Δm وزيادة الكتلة Δ التي تُعرف كما يلي:

إذا كان لدينا نواة عددها الكتلي A وكتلتها $M(A,Z)$ فإن زيادة الكتلة Mass Excess لهذه النواة يساوي:

$$\Delta = M(A,Z) - A$$

وتُعطى زيادة الكتلة، وفي أغلب الجداول بالـ MeV كما ويمكن أن تعطى بوحدة الكتلة الذرية u .

كما أنه من المناسب تعريف وحدة أخرى هي الكسر التجميعي Packing Fraction يُرمز له بـ f ويُكتب كما يلي:

$$f = \frac{\Delta}{A}$$

أي أن f يمثل زيادة الكتلة لكل نيوكليون، واعتماداً على العلاقة السابقة نكتب:

$$f = \frac{M - A}{A} = \frac{M}{A} - 1$$

ومنها نكتب:

$$M = A (f + 1)$$

مثال (6)

إذا علمت أن زيادة الكتلة للنواة ${}^4_2\text{He}$ تساوي 2.4249 MeV فاحسب كتلة النواة السابقة مقدرة بوحدة الكتلة u (انظر الملحق B):

الحل:

$$\Delta = 2.4249 \text{ MeV} = \frac{2.4249}{931.48} = 0.0026 u$$

وبالتالي:

$$M(4.2) = A + \Delta = 4 + 0.0026 = 4.0026 u$$

مثال (7)

أوجد العلاقة بين الكسر التجميعي f و متوسط طاقة الارتباط ؟

$$B_{ave}(A, Z) = \frac{B_{tot}(A, Z)}{A} : \text{من علاقة متوسط طاقة الارتباط:}$$

$$B_{tot} = \{ZM_p + NM_n - M(A, Z)\}c^2 : \text{و طاقة الارتباط الكلية:}$$

$$A.B_{ave} = \{ZM_p + NM_n - M(A, Z)\}c^2 : \text{نجد أن:}$$

$$\Delta = M - A \Rightarrow M = \Delta + A : \text{ومن علاقة زيادة الكتلة:}$$

$$A.B_{ave} = \{ZM_p + NM_n - (\Delta + A)\}c^2 : \text{نجد أن:}$$

$$f = \frac{\Delta}{A} \Rightarrow \Delta = fA : \text{ومن العلاقة:}$$

$$A.B_{ave} = \{ZM_p + NM_n - (fA + A)\}c^2 : \text{تصبح المعادلة:}$$

$$B_{ave} = \frac{1}{A} \{ZM_p + NM_n - A(f+1)\}c^2$$

نجد:

$$B_{ave} = \left\{ \frac{ZM_p}{A} + \frac{NM_n}{A} - (f+1) \right\}c^2$$

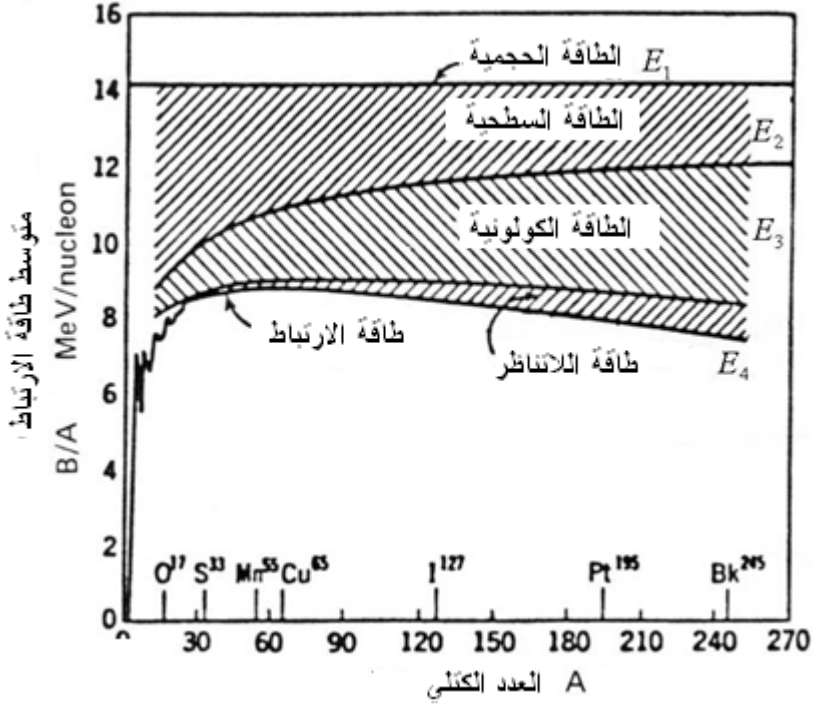
$$M_p \approx M_n$$

$$\Rightarrow \left[\frac{M_n(Z+N)}{A} - (f+1) \right]c^2$$

$$= [M_n - (f+1)]c^2$$

$$B_{ave} = [Const - f]c^2$$

نلاحظ أن B_{ave} تتناسب مع f مما يسمح بدراسة f بدلاً من طاقة الارتباط لو أردنا ذلك .



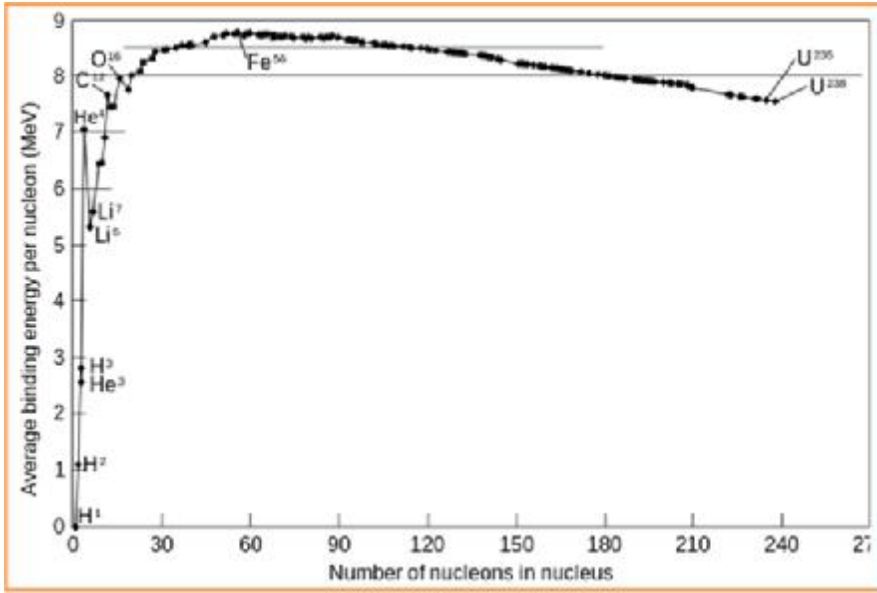
الشكل (7) ملخص توزيع متوسط طاقة الارتباط على مختلف الحدود في العلاقة نصف التجريبية للكتلة (نموذج القطرة السائلة)

واعتماداً على العلاقة (12) يمكن حساب متوسط طاقة الارتباط لكل نيوكلون كما يلي:

$$\epsilon = B / A = [Zm_p + Nm_n - M] c^2 / A$$

فإذا قيست B بالـ Me V فإن ϵ تقاس بالـ Me V / Nucleon .

ويمثل الشكل (8) العلاقة بين ϵ و A لمختلف العناصر، ونلاحظ من الشكل أن ϵ تزداد بصورة سريعة جداً بازدياد A للعناصر الخفيفة $A < 20$. وتساوي ϵ حوالي 8 Me V / N من أجل $A = 20$ ، ثم يزداد متوسط طاقة الارتباط زيادة بسيطة ويأخذ قيمة عظمى تساوي 8.7 Me V / N في جوار $A = 60$ (من أجل Ni, Co, Fe). ومع تزايد قيم A عن هذه القيمة يبدأ المنحني بالتناقص تدريجياً ببطء حتى يصل إلى قيمة 7.6 Me V / N من أجل اليورانيوم 238 الذي يصدر جسيمات ألفا.



الشكل (8)

ويلاحظ أن متوسط طاقة الارتباط لبعض العناصر (مثل الهيليوم والكربون والأوكسجين) عظمى أي عندما يكون A من مضاعفات العدد 4، فكل النوى الواقعة على هذه الذرى يكون فيها عدد البروتونات زوجياً وكذلك عدد النيوترونات، حيث $N = Z$. ويمكن، اعتماداً على تحولات المنحني $\epsilon = f(A)$ ، أن نتوصل إلى النتائج التالية:

أولاً: تبين طاقة الارتباط ϵ أن القوى النووية التي تمسك النيوكلونات داخل النواة كبيرة جداً مقارنة مع قوى كولون التنافرية.

فمثلاً متوسط طاقة الارتباط من أجل الهيليوم 4 تساوي $7.07 \text{ MeV}/N$ ، فإذا علمنا أن طاقة التدافع الكولوني للهيليوم 4 تحسب من العلاقة التالية:

$$U_e = k \frac{qq_1}{r}$$

حيث r المسافة بين البروتونين في ${}^4\text{He}$ وهي مرتبة 1F

$$q = q_1 = e = 1.6 \times 10^{-19} \text{ C} \text{ و } k = 9 \times 10^9 \text{ N. m}^2 / \text{C}^2$$

فإن قيمة طاقة التدافع الكولوني للنواة السابقة تساوي:

$$U_e = 9 \times 10^9 \frac{(1.6 \times 10^{-19})^2}{10^{-15}} = 2.3 \times 10^{-13} \text{ J}$$

وحيث إن $1 \text{ MeV} = 1.6 \times 10^{-13} \text{ J}$ فإن:

$$U_e \approx 1 \text{ MeV}$$

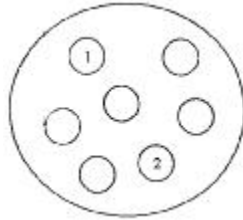
وهذه قيمة مهملة إذا ما قورنت بـ $\epsilon = 7.07 \text{ MeV} / N$ أي أن القوى الكولونية أصغر بكثير من القوى النووية.

ثانياً: تتناسب طاقة الارتباط الكلية للنواة بشكل عام مع عدد النيوكلونات A في النواة ونكتب:

$$B = \epsilon A \quad (13)$$

ويعني هذا أن النيوكلون يتبادل التأثير، حسب القوى النووية، مع النيوكلونات المجاورة له فقط . لنفرض العكس، أي أن النيوكلون يتبادل التأثير مع كل النيوكلونات الباقية، أي مع $(A - 1)$. ولنأخذ حالة النواة المبينة في الشكل (9)، فالنيوكلون (1) يتجاذب مع $(A - 1)$ نيوكلونات منها النيوكلون (2)، وأيضاً النيوكلون (2) يتجاذب مع $(A - 1)$ نيوكلونات منها النيوكلون (1)، أي أن طاقة الارتباط الكلية:

$$B \propto A(A - 1)/2$$



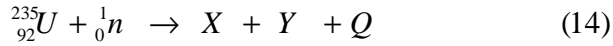
الشكل (9)

والقسمة على 2 ناتجة، كما هو واضح من المثال أعلاه، لأن النيوكلون يحسب مرتين . وبفرض أن $A \gg 1$ فإن:

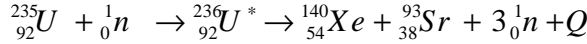
$$B \propto A^2$$

وهذا يناقض العلاقة (13)، أي أن النيوكلون في النواة يتبادل التجاذب مع النيوكلونات المجاورة له فقط ، وإضافة نيوكلونات جديدة إلى النواة يزيد من طاقة الارتباط الكلية وليس طاقة الارتباط لكل نيوكلون . ونستنتج مما سبق أن القوى النووية تتميز بخاصة الإشباع. **ثالثاً:** يلاحظ من الشكل (8) أنه في حالة انقسام نواة ثقيلة لنواتين أو أكثر فإنه يمكن الحصول من هذه العملية، والتي تعرف بالانشطار النووي، على طاقة هائلة وهذا ما يحدث

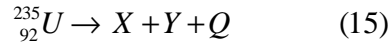
في المفاعلات النووية. تعتمد المفاعلات النووية، في الغالب، اليورانيوم 235 كوقود حيث يقوم نيوترون بطيء (حراري) بعملية الانشطار كما يلي:



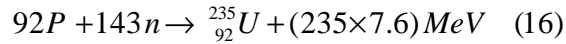
حيث X و Y نواتان أعدادهما الكتلية بين 90 و 140، ونذكر كمثال الانشطار التالي:



فإذا أهملنا النيوترون في المعادلة (14) نكتب:



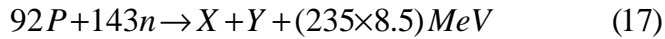
فإذا علمنا أن $\varepsilon = 7.6 \text{ MeV} / \text{N}$ بالنسبة لليورانيوم 235 نكتب:



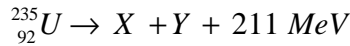
حيث n و P يشيران إلى النيوترون والبروتون على الترتيب.

وبالعودة إلى المنحني المبين في الشكل (8) نجد أن متوسط طاقة الارتباط للنيوكلون في النواتين X و Y تساوي 8.5 Me V/N تقريباً.

ومنه يمكن أن نكتب:



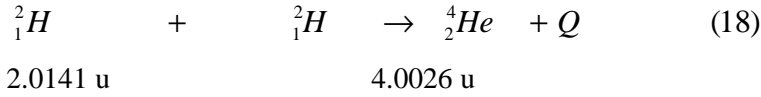
وبطرح المعادلة (16) من (17) نجد:



وبمقارنة هذه المعادلة مع المعادلة (15) نجد أن انشطار نواة واحدة من اليورانيوم 235، يرافقه تحرير طاقة تزيد عن 200 MeV، فإذا علمنا أن الطاقة المحررة عن حرق ذرة كربون واحدة هي $Q_c = 4\text{eV}$ علمنا أهمية الطاقة النووية الناتجة عن انشطار نواة من اليورانيوم 235.

رابعاً:

من الشكل (8) نجد أن عند اندماج نواتين خفيفتين لتكوين نواة واحدة أثقل فإن ذلك يؤدي لانطلاق طاقة ناتجة عن عملية الاندماج كما في المثال التالي:



وفي الواقع فإن التفاعل الاندماجي بحاجة للطاقة كي يبدأ و ذلك للتغلب على قوة التنافر الكولوني بين النوى المندمجة. ويُعتبر الاستخدام الوحيد للتفاعل الاندماجي على سطح الأرض هو تفاعل الاندماج في القنبلة الهيدروجينية . ففي القنبلة السابقة يتم إشعال التفاعل الاندماجي بواسطة قنبلة انشطارية تقدم طاقة كبيرة تعطى للنوى الخفيفة لكي تندمج . وعلى الرغم من ذلك فإن التفاعل الاندماجي الذي يحدث في الشمس هو الذي يمدنا بمعظم الطاقة التي نحتاجها على سطح الأرض.

نلخص ما نستنتجه من الشكل (8) :

- إن قيمة B_{ave} لا تعتمد تقريباً على العدد الكتلي ما عدا النوى الخفيفة .
- تتغير B_{ave} للنوى الخفيفة $A \leq 30$ بشكل ملحوظ أما عند $A \geq 30$ فإنها ثابتة تقريباً .
- نجد أن B_{ave} أعلى ما يمكن في منتصف المنحنى عند $8.4 \text{ MeV} \sim$ و يبدأ المنحنى بالانخفاض إلى أن يصل للقيمة $7.4 \text{ MeV} \sim$.
- نلاحظ أنه إذا انشطرت العناصر بعد النقطة العظمى $8.4 \text{ MeV} \sim$ فإنها تعطي طاقة ، أما العناصر التي قبلها فإنها تعطي طاقة إذا اندمجت .

مثال (8):

أثبت أن متوسط طاقة الارتباط $\left\{ \frac{B}{A} \right\}$ يساوي تقريباً 7.4 MeV ؟

الحل :

لدينا:

$$B_{tot} = \{ZM_p + NM_n - M(A, Z)\}c^2$$

بقسمة الطرفين على A :

$$\frac{B_{tot}}{A} = \{ZM_p + NM_n - M(A, Z)\} \frac{c^2}{A}$$

$$\frac{B}{A} = \left\{ ZM_p + NM_n + ZM_n - ZM_n - M(A, Z) \right\} \frac{c^2}{A}$$

$$= \left[Z(M_p - M_n) + (Z + N)M_n - M(A, Z) \right] \frac{c^2}{A}$$

لكن $\{Z + N = A\}$ و $\{M_p - M_n \approx 0\}$

$$\frac{B}{A} = [AM_n - M(A, Z)] \frac{c^2}{A} = \left[M_n - \frac{M(A, Z)}{A} \right] c^2$$

وبالتقريب $\left\{ \frac{M}{A} \right\} \approx 1 \text{amu}$

$$\frac{B}{A} = [M_n - 1(\text{amu})] c^2$$

$$M_n = 1.008 \text{amu}$$

$$\frac{B}{A} = (1.008 - 1)c^2 \approx 7.4 \text{MeV}$$

مثال (9):

بفرض أن 1 kg من الديتريوم 2_1H قد جمع ليكون 1 kg من الهيليوم 4_2He حسب التفاعل المبين في المعادلة (18) والمطلوب:

1— احسب الطاقة المحررة.

2— إذا كانت الحرارة النوعية للهيليوم المحصور هي $0.75 \text{ cal/g}^\circ\text{C}$ فما ارتفاع درجة حرارته إذا أمد بالكمية السابقة من الطاقة؟

3— إذا علمت أن انشطار نواة يورانيوم 235 ينتج عنه طاقة قدرها 210 MeV فاحسب الطاقة الناتجة عن انشطار 1kg من اليورانيوم 235. قارن مع الطاقة الناتجة في الطلب (1)، ماذا تستنتج؟

الحل:

$$Q_{\text{He}} = \Delta Mc^2 = (2 \times 2.0141 - 4.0026) \text{u} c^2$$

$$= 0.0256 \times 931.48 = 23.85 \text{MeV}$$

ولنحسب الآن عدد الذرات الموجودة في 1kg من الهيليوم.

4 g تحوي $N_a = 6.02 \times 10^{23}$ atoms

X 1000g تحوي

ومنه:

$$x = \frac{6.02 \times 10^{23} \times 10^3}{4} = 1.50 \times 10^{26} \text{ atoms}$$

وبالتالي فإن الطاقة الناتجة عند تولد 1kg هيليوم تساوي:

$$Q_{He} (1kg) = 23.85 \times 1.5 \times 10^{26} = 3.58 \times 10^{27} \text{ MeV}$$

2— لحساب الارتفاع في درجة الحرارة نحول الطاقة الناتجة عن 1kg هيليوم إلى جول J

ومن ثم إلى حريرة cal.

$$1 \text{ MeV} = 1.6 \times 10^{-13} \text{ J} \quad \text{لدينا:}$$

ومنه:

$$Q_{He} (1kg) = 3.58 \times 10^{27} \times 1.6 \times 10^{-13} = 5.73 \times 10^{14} \text{ J}$$

وبما أن $1 \text{ cal} = 4.18 \text{ J}$ نجد:

$$Q_{He} (1kg) = \frac{5.73}{4.18} \times 10^{14} = 1.37 \times 10^{14} \text{ cal}$$

وبما أن الحرارة النوعية تعطى بالعلاقة:

$$S = \frac{\Delta Q}{m \cdot \Delta T}$$

فإن:

$$\Delta T = \frac{\Delta Q}{m \cdot S} = \frac{1.37 \times 10^{14} \text{ cal}}{1000 \text{ g} \times 0.75 \text{ cal / g} \cdot ^\circ \text{C}}$$

$$\Delta T = 1.83 \times 10^{11} \text{ } ^\circ \text{C}$$

3— لحساب الطاقة الناتجة عن انشطار 1kg من اليورانيوم 235 نحسب عدد الذرات

الموجودة في 1kg منه:

$$N_a = 6.02 \times 10^{23} \text{ atoms} \quad \text{تحتوي } 235 \text{ g}$$

1000g تحوي χ

$$c = \frac{6.02 \times 10^{23} \times 10^3}{235} = 2.56 \times 10^{24} \text{ atoms}$$

وبالتالي فإن:

$$Q_U (1\text{kg}) = 210 \times 2.56 \times 10^{24} \text{ MeV}$$

وبالمقارنة مع الطاقة الناتجة في الطلب الأول نجد:

$$\frac{Q_{He} (1\text{kg})}{Q_U (1\text{kg})} = \frac{3.58 \times 10^{27}}{5.38 \times 10^{26}} = 6.65 \approx 7$$

أي أن الطاقة الناتجة عن توليد 1kg من الهيليوم 4 بوساطة الاندماج أكبر بـ 7 مرة من الطاقة الناتجة عن انشطار 1kg من اليورانيوم 235.

8.1 — طاقة فصل النيوكليون Nucleon Separation Energy

بالمقارنة مع المعادلة (12)، فإن كتلة النواة $M(A, Z)$ أصغر من كتلة النواة $M(A-1, Z)$ مضافاً إليها كتلة النيوترون m_n . إن فرق الكتلة

$m_n + M(A-1, Z) - M(A, Z)$ يتحول لطاقة لربط النيوترون بالنواة $M(A-1, Z)$. وتساوي طاقة ارتباط النيوترون بالنواة السابقة طاقة فصله عن النواة $M(A, Z)$ ونكتب:

$$S_n = [m_n + M(A-1, Z) - M(A, Z)] c^2$$

مثال (10):

برهن أن طاقة فصل النيوترون تساوي الفرق بين طاقتي الارتباط للنواتين $M(A, Z)$ ، $M(A-1, Z)$.

الحل:

$$\begin{aligned} B(A, Z) - B(A-1, Z) &= [Z m_p + N m_n - M(A, Z)] c^2 \\ &- [Z m_p + (N-1) m_n - M(A-1, Z)] c^2 \\ &= [m_n + M(A-1, Z) - M(A, Z)] c^2 \end{aligned}$$

أي أن:

$$S_n = B(A, Z) - B(A-1, Z)$$

وبالإسلوب نفسه نعرف طاقة فصل بروتون من النواة $M(A, Z)$:

$$S_p = [m_H + M(A - 1, Z - 1) - M(A, Z)] c^2$$

أو :

$$S_p = B(A, Z) - B(A - 1, Z - 1)$$

إن طاقة فصل النيوكليونات في النوى مماثلة لجهود التأيين في الذرات. فجهود التأيين للذرات يتغير دورياً مع Z . وأعلى قيمة له تكون من أجل الذرات التي تملك طبقات الكترونية مملوءة مثل He, Ne, Ar, Kr, Xe, Rn . وفي كل حالة فالذرة التالية، حسب الجدول الدوري، لها جهد تأيين أصغري في السلسلة.

إن قيم S_n و S_p للنوى المتتالية تتميز أيضاً بتغيرٍ دوري وتقدم معطيات جديدة للتعرف على القوى النووية.

وبدراسة قيم S_n و S_p للنوى التي عددها الكتلي $1 \leq A \leq 24$ يمكن أن نستنتج ما يلي:

1— في النوى التي يكون فيها N فردي فإن النيوترون الأخير فيها ضعيف الارتباط: فمثلاً $S_n = 5.4 \text{ Me V}$ من أجل 6_3Li .

2— في النوى التي يكون فيها N زوجي فإن النيوترون الأخير فيها شديد الارتباط: فمثلاً $S_n = 7.2 \text{ Me V}$ من أجل 7_3Li .

وعموماً، فإن مقارنة طاقة فصل النيوكليون لمختلف النوى تبين أن نوى النموذج (Z زوجي، N زوجي) مثل ${}^4_2He, {}^{12}_6C, {}^{16}_8O$ تتمتع بارتباط شديد وتبدي استقراراً أعظمياً ضد فصل نيوكليون منها.

ومقارنة مماثلة تظهر أن النوى التي تملك أعداداً من النيوترونات والبروتونات 2, 8, 20, 28 تكون أكثر استقراراً من غيرها.

مثال (11):

احسب الطاقة اللازمة لفصل النيوترون الأخير من نواة ${}^{13}_6C$ ؟

الحل :

من علاقة طاقة الفصل للنيوترون :

$$S_n = B(A, Z) - B(A - 1, Z)$$

$$\begin{aligned}
&= \{ZM_p + NM_n - M(A, Z)\} - \left\{ \frac{ZM_p + (N-1)M_n}{-M(A-1, Z)} \right\} c^2 \\
&= \{ \cancel{ZM_p} + \cancel{NM_n} - M(A, Z) - \cancel{ZM_p} - \frac{(N-1)M_n}{-M_n + M_n} + M(A-1, Z) \} c^2 \\
S_n &= [-M(A, Z) + M_n + M(A-1, Z)] \\
M(A, Z) &= C_6^{13} = 13.003 \\
M(A-1, Z) &= C_6^{12} = 12 \\
M_n &= 1.008 \\
S_n &= [-13.003 + 1.008 + 12] c^2 \\
&= 4.66 \text{ MeV}
\end{aligned}$$

9.1 - النموذج الطبقي The Shell Model:

نجح نموذج الطبقات في تفسير توزيع الإلكترونات في الذرة. وبالمثل فكر الفيزيائيون في تفسير خصائص النواة بتمثيلها بعدة نماذج منها نموذج القطرة ونموذج الطبقات النووية، حيث تشغل النوكليونات (من بروتونات ونيوترونات) الطبقات النووية.

ويتمشى نموذج الطبقات للنواة مع ميكانيكا الكم وكذلك مع مبدأ استبعاد باولي، بينما لا تؤخذ حركة النوكليونات داخل النواة في نموذج القطرة السائلة في الاعتبار. وقد اقترح كل من يوجين فيجنر وماريا جوبرت-ماير وهانز ينسن كل على حدة في عام 1949 نموذج الطبقات النووي وحازوا بهذا الاكتشاف على جائزة نوبل للفيزياء عام 1963.

9.1.1 - النموذج الطبقي الذري Atomic Shell Model:

لقد بدا تشبيه الذرات بمنظومة شمسية مصغرة فكرة مغرية لما فيها من وحدة التصميم في الطبيعة. إلا أن سلوك الجسيمات المشحونة يختلف عن سلوك الكتل. فعندما تدور الأرض حول الشمس لا تفقد شيئاً من طاقتها وفقاً لقانون نيوتن في الثقالة، في حين تطلق الشحنة المتسارعة طاقة باستمرار عند دورانها بحسب قوانين الكهرومغناطيسية. مما يعني أن الإلكترونات مهما يكن تسارعها في الذرات لا يمكن أن تحافظ على مداراتها.

لقد أراح بور عام 1913 هذا العائق الكهرطيسي في وجه النموذج الكوكبي للذرة بإدخال نظرية الكم . وقد وجه اهتمامه أولاً إلى أبسط الذرات وهي ذرة الهيدروجين بدلاً من الذرات المعقدة. ولقد افترض ما يلي:

1— يدور الكترون ذرة الهيدروجين حول النواة في مسار دائري تحت تأثير قوة كولون ويحقق في دورانه قوانين نيوتن.

2— للالكترونات مسارات مسموحة تحقق العلاقة التالية:

$$L = m v \cdot r = n \hbar$$

حيث L كمية الحركة الزاوية للالكترونات و \hbar ثابت بلانك h مقسوماً على 2π . وينتج عن هذا الفرض العدد الكمي الرئيس n والذي يأخذ القيم التالية

$n = 1, 2, 3, \dots$ والذي يؤدي لتكميم طاقة الالكترونات.

3— طاقة الالكترونات ثابتة في مداره المسموح ، أي أن الالكترونات في المدار السابق لا يُصدر طاقة.

4— تتغير طاقة الالكترونات عند انتقاله من مدار مسموح لآخر ويصدر فوتوناً طاقته تعطى بالعلاقة $h\nu = E_i - E_f$.

ونلاحظ أن فرض بور خليط بين سمات تقليدية وأخرى كوانتية. إن هذه الفروض تقرُّ إحدى السمات الأساسية للنظرية الكهرطيسية التقليدية وهي قانون كولون. لكنها تبطل سمة أخرى لهذه النظرية وهي الإصدار الكهرطيسي للشحنات المتسارعة.

ولقد استنتج بور، باعتماده على الفروض السابقة، صيغة لطيف ذرة الهيدروجين وضعها بالمر عام 1885 بالشكل:

$$\frac{1}{l} = R \left(\frac{1}{2^2} - \frac{1}{n^2} \right)$$

$$n = 3, 4, 5, \dots$$

حيث بقيت الصيغة السابقة عصية على الفهم إلى أن استنتجها بور.

ورغم رفض الكثير من معاصري بور لفكرته فقد جرى تسابق لتحسينها، حيث تبين أن فيها بعض العيوب التي يمكن إزالتها. وقد تمَّ إجراء هذه التحسينات كما يلي:

1- تم إدخال المدارات البيضاوية (على شكل قطع ناقص) للإلكترون. وهذا ما يشبه التحسين الذي أدخله كبلر على نظام كوبرنيك للمنظومة الشمسية. ونتيجة لهذا التحسين أدخل عدد كم ثانٍ ℓ تعطى قيمته كما يلي:

$$\ell = 0, 1, 2, \dots, n-1$$

ويُسمى ℓ بالعدد الكمي المداري، وهو مرتبط بكمية حركة الإلكترون القطرية (الخطية).

2- تم إدخال عدد كمي ثالث هو العدد الكمي المغناطيسي m_ℓ الذي يفسر التغيرات التي تحدث عند تعرض الذرة لمجال مغناطيسي خارجي حيث تظهر زيادة في الخطوط الطيفية للذرة. وتُعرف هذه الظاهرة بـ «ظاهرة زيمان» والقيم التي يأخذها العدد m_ℓ هي: $m_\ell = -\ell, -\ell+1, \dots, \ell-1, \ell$ وعدد القيم التي يأخذها m_ℓ هي $2\ell + 1$.

3- إن عدد خطوط طيف الذرة وكما تنبأ به نموذج بور (مع الأعداد الكمية الثلاثة) لا يتجاوز نصف العدد المشاهد فعلياً.

وليستجيب نموذج بور للحالة السابقة تم افتراض أن للإلكترون سبيناً Spin ناتجاً عن دوران الإلكترون حول نفسه، حيث تعطى قيمة السبين بالعلاقة:

$$S = \sqrt{s(s+1)} \hbar$$

حيث s العدد الكمي السبيني وله قيمة واحدة فقط $s = \frac{1}{2}$. أما مركبة السبين باتجاه محور z فهي:

$$S_z = m_s \hbar$$

حيث m_s عدد الكم المغناطيسي السبيني وقيمة هذا العدد:

$$m_s = \pm \frac{1}{2}$$

وبهذا التحسين أصبح نموذج بور للذرة يشبه النموذج الكوكبي للمنظومة الشمسية.

4- ولتوزيع الإلكترونات على المدارات المتتابة في الذرة فقد أسهم الفيزيائي النظري باولي في تحسين نموذج بور بوضعه مبدأ الاستبعاد أو الانتفاء Exclusion والذي ينص على ما يلي: «لا يوجد إلكترونان في الذرة لهما نفس المجموعة من الأعداد الكمية الأربعة: n, ℓ, m_ℓ, m_s ».

وبوساطة نموذج بور وتحسيناته تم تفسير الجدول الدوري للعناصر الكيميائية، فكان ذلك ذروة ما بلغه نموذج بور من تطور.

ونبين في الشكل (10) مخططاً لتوزيع الإلكترونات على الطبقات Shells والطبقات الفرعية Subshells في الذرة وكذلك طاقات ارتباط الإلكترونات في الطبقات:

$$E_n = \frac{-13.6 Z^2}{n^2}$$

حسب نموذج بور وتحسيناته.

ونلاحظ من الشكل (10) أنه يوجد الكترونان في الطبقة K مقابل قيمة واحدة للطاقة تساوي $13.6 Z^2 \text{eV}$ ؛ ويوجد ثمانية الكترونات في الطبقة L مقابل قيمة واحدة للطاقة تساوي $3.4 Z^2 \text{eV}$ ؛ وفي الطبقة M يوجد ثمانية عشر الكتروناً مقابل قيمة واحدة للطاقة تساوي $1.51 Z^2 \text{eV}$. وبالتالي لدينا ما يسمى انحلال Degenerate مستويات الطاقة وهذا من أهم عيوب نموذج بور للذرة.

ربما كان بور أعظم الفيزيائيين في القرن العشرين حيث مُنح عام 1922 جائزة نوبل للفيزياء. ورغم ذلك فإن نموذجيه للذرة مزيج من الفرضيات والتحسينات.

وكان لا بد من نموذج آخر متناسق للذرة. وقد قام بهذا العمل شرودنجر الذي كان ضليعاً في المعادلات الموجية، مخالفاً لنموذج بور للذرة وموافقاً جداً لنظرية دي بروي الموجية في المادة. ولذلك كان يرى في المعادلات الموجية طريقة لاستبدال نموذج بور والميكانيك المصفوفي لهايزنبرج بمعادلة موجية وحيدة للإلكترون يمكن أن نحصل منها على كل خواص نموذج بور وخواص الميكانيك المصفوفي، هذه المعادلة هي:

$$\left[-\frac{\hbar^2}{2m} \nabla^2 + V(r, t) \right] \psi(r, t) = i\hbar \frac{\partial \psi(r, t)}{\partial t} \quad (19)$$

$$\nabla^2 = \frac{\partial^2}{\partial x^2} + \frac{\partial^2}{\partial y^2} + \frac{\partial^2}{\partial z^2} \quad \text{حيث:}$$

ويجب أن تتفق معادلة شرودنجر السابقة مع معادلة الطاقة الكلية E للإلكترون الذي كتلته m (القريبة من الكتلة المتخزلة μ) التالية:

$$\frac{p^2}{2m} + V = E$$

حيث:

$K = \frac{P^2}{2m}$ طاقة الحركة للإلكترون و $V = -K \frac{Ze^2}{r}$ جهد كولون بالنسبة للإلكترون.

وبلاحظ أن المعادلة السابقة صحيحة في الحالة اللانسبية.

		الرموز الطيفية	قيم ℓ المقابلة للرموز الطيفية	عدد الإلكترونات في الطبقات الفرعية	رقم الطبقة	عدد الإلكترونات في الطبقة
		↓			↓	
M	$-1.51z^2$ eV	_____ d _____ p _____ s	2 1 0	10 6 2	3	18
L	$-3.4z^2$ eV	_____ p _____ s	1 0	6 2	2	8
K	$-13.6z^2$ eV	_____ s	0	2	1	2
E_n	● نواة		ℓ	$2(\ell+1)$	n	$2n^2$

$-1 \leq m_l \leq 1$	$S = \sqrt{s(s+1)} \hbar$ $s = \frac{1}{2}$	$S_z = m_s \hbar$ $m_s = \pm \frac{1}{2}$
----------------------	------------------------------------------------	----------------------------------------------

الشكل (10)

وباستخدام طريقة فصل المتغيرات المستخدمة لحل المعادلات التفاضلية الجزئية نحصل على معادلة شرودنجر المستقلة عن الزمن. وهنا أثبت شرودنجر بمهارته أن هذه المعادلة تنجزاً إلى ثلاث معادلات متميزة نتج عنها الأعداد الكمية الثلاثة: n, ℓ, m_ℓ وطاقة الإلكترون في أحد مداراته:

$$E_n = -\frac{13.6Z^2}{n^2} \text{ eV}$$

وننتج بالإضافة لذلك جهد فعال:

$$V_{ef} = -K \frac{Ze^2}{r} + \frac{\hbar^2 l(l+1)}{2mr^2} \quad (20)$$

$$\cdot \frac{\hbar^2 l(l+1)}{2mr^2} - KZe^2/r \text{ جهد طارد وجهد جاذب}$$

وبحل معادلة شرودنجر التابعة للزمن نحصل على قواعد الانتقاء Selection Rules التي تحدد الانتقالات المسموحة بين حالات الطاقة وهي:

$$\Delta m_l = 0, \pm 1 \quad \Delta l = \pm 1$$

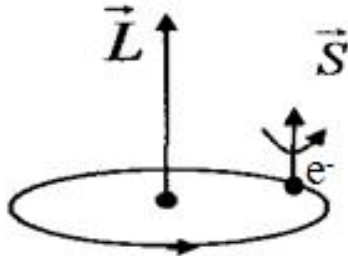
وهكذا استطاع شرودنجر، باستعمال معادلة واحدة أن يحصل في غضون ساعات على كل ما ظل الفيزيائيون يعملون لأكثر من عقد من الزمان، كي يحصلوا عليه بسلسلة من الفرضيات الاعتبارية.

وعلى الرغم من النجاح الكبير لمعادلة شرودنجر الموجية فإن السبين لم ينتج عنها وإنما ذكر كنتيجة تجريبية.

ويعود سبب ذلك إلى أن معادلة شرودنجر لا نسبية. وللتغلب على ما سبق فقد وضع ديراك، الحائز على الدكتوراه في الرياضيات، عام 1929 معادلة نسبية مستخدماً الطاقة النسبية الكلية:

$$E = \sqrt{P^2 c^2 + m_0^2 c^4} + V(r)$$

لكن يمكن استخدام تفاعل سبين مدار Spin – Orbit Interaction لإزالة انطباق الطاقة والحصول على مستويات طاقة الذرة وذلك باعتماد معادلة شرودنجر اللانسبية. ويُسمى التفاعل S – O أيضاً بازدواج Coupling سبين – مدار. ونوضح فيما يلي إزالة انطباق الطاقة.



الشكل (11)

ينتج عن دوران الإلكترون حول النواة، كما في الشكل (11)، تيار كهربائي يولد مجالاً مغناطيسياً \vec{B} يُعطى بالعلاقة:

$$\vec{B} = K \frac{eZ}{mc^2 r^3} \vec{L}$$

حيث \vec{L} كمية الحركة الزاوية للإلكترون.

وبما أن العزم المغناطيسي السبيني للإلكترون يساوي:

$$\vec{m}_s = -2 m_B \frac{\vec{S}}{\hbar}$$

حيث: $m_B = \frac{e\hbar}{2m}$ هو مغنتون بور Bohr Magneton ، فإن الطاقة الكامنة الناتجة عن التفاعل S – O تساوي:

$$\Delta E = I(r) \vec{L} \cdot \vec{S}$$

$$I(r) = \frac{1}{2m^2 c^2} \cdot \frac{KZe^2}{r^3} \quad \text{حيث:}$$

ولذلك فإن معادلة الطاقة تعطى بالعلاقة:

$$E = \frac{P^2}{2m} + V(r) + I(r) \vec{L} \cdot \vec{S}$$

وبحل معادلة شرودنجر الموافقة للمعادلة السابقة نحصل على قيمتي الطاقة:

$$E_1 = E_n + \frac{\hbar^2}{2} \overline{I(r)} \mathbf{l}$$

$$E_2 = E_n - \frac{\hbar^2}{2} \overline{I(r)} (\mathbf{l}+1)$$

ونلاحظ مما سبق أن الطاقة E_n ، في غياب التفاعل S – O، قد انشطرت تحت تأثير التفاعل إلى قيمتين E_1 و E_2 . ويُعرف هذا الانشطار بانشطار التركيب الدقيق، ويكون المقدار $\hbar^2 \overline{I(r)}$ ثابت لحالة معينة في الذرة ويعرف لذلك بثابت التركيب الدقيق.

وتستخدم في هذه الحالة، عند تطبيق مبدأ باولي للاستبعاد، الأعداد الكمية:

n, ℓ, j, m_j بدلاً من n, ℓ, m_ℓ, m_s حيث $j = l \pm \frac{1}{2}$ من أجل $\ell \neq 0$ و $j = \frac{1}{2}$ من أجل $\ell = 0$. وقواعد الانتقاء للانتقالات المسموحة بين مستويات الطاقة هي:

$$\begin{aligned} l_i - l_f &= \Delta l = \pm 1 \\ j_i - j_f &= \Delta j = 0, \pm 1 \end{aligned}$$

حيث الانتقال $j_f = 0 \rightarrow j_i = 0$ غير مسموح به. وهكذا فإن النموذج الذري قد تمّ بناؤه.

2.9.1 – النموذج الطبقي النووي: Nuclear Shell Model

بعد فشل نموذج القطرة السائلة في تفسير وجود الأعداد السحرية، وتمت العودة للدراسات السابقة للفيزياء الذرية، حيث فسر ميكانيك الكم امتلاء الطبقات الالكترونية للذرة بوجود عدد من الالكترونات يساوي الأرقام السحرية $\{2, 8, 18, 32, \dots\}$ ، وكانت هذه العناصر خاملة كيميائياً. انطلاقاً من ذلك توقع العلماء أن هناك تركيباً طبقياً للنواة كما في الذرة وكذلك وجود الأرقام السحرية كما في الذرة:

$$N = 2, 8, 20, 28, 50, 82, 126$$

$$Z = 2, 8, 20, 28, 50, 82$$

الاستنتاجات والملاحظات التي دلت على وجود النموذج الطبقي للنواة هي:

1. تكون طاقة فصل البروتونات والنيوترونات كبيرة عند الأعداد السحرية.
2. احتمال حدوث تأثير بالنسبة للنوى التي لها أعداد سحرية يكون ضعيفاً جداً بالمقارنة مع احتمال حدوثه مع النوى المجاورة.
3. الطاقة اللازمة لإثارة النوى التي لها أعداد سحرية عالية، أكبر من الطاقة اللازمة لإثارة النوى التي ليس لها أعداد سحرية.

يؤخذ وفقاً للنموذج الطبقي كمون متوسط، وهو ينشأ عن النوكليونات النووية نفسها. وغالباً ما يطبق كمون وودس-ساكسن بين النوكليونات، كذلك يمكن اختيار كمون معدل وهو جهد هزاز توافقي. وعن طريقه نحصل على حلول في هيئة مستويات للطاقة منفصلة وهي تسمى من أجل ذلك طبقات أو مدارات. وكما هو الحال بالنسبة للالكترونات في الطبقة الذرية فإن الطبقات تتميز بأعداد كمومية. وتختلف مستويات الطاقة بالنسبة للبروتونات والنيوترونات

اختلافاً بسيطاً، حيث أن شحنة البروتون تتسبب في قوة تنافر مما يجعل مستويات طاقة البروتونات أعلى قليلاً عن مستويات طاقة النيوترونات.

نجد في نوى الذرات الخفيفة والمتوسطة (التي تحتوي على 82 بروتون أو أقل) أن مستويات الطاقة تحت بعضها ولكنها تكون بالتقريب متساوية للبروتونات والنيوترونات. أي أن مستويات الطاقة لهما تكون منزاحة بعض الشيء ، ويعادل هذا الانزياح في نموذج القطرة قوة تنافر الشحنات الموجبة طبقاً لقانون كولوم.

تشغل البروتونات والنيوترونات في أحد المدارات - مثلما في حالة الالكترونات في الذرة - اثنان من النوكليونات في كل مدار بحيث يأخذ العزم السبيني لأحدهما عكس العزم السبيني للآخر. وهذا يعني بالنسبة إلى المدار $1s$ أن إثنين فقط من النوكليونات يمكنها شغله ، وإن وجد نوكليون فإنه يشغل مستوي الطاقة الأعلى وهو المدار $1p$ وبناء على ذلك نجد أن تشكيل النواة المتكونة من بروتونين ونيوترونين تكون مستقرة بصفة خاصة ، حيث أن كل من المدار $1s$ للبروتونات والنيوترونات يكون مشغولاً بالكامل. تلك هي حالة نواة الهيليوم 4 وهي أكثر النوى استقراراً (أشعة ألفا).

كما تنشأ حالتان من التشكيلات المستقرة جيداً بسبب المسافات الكبيرة بين مستويات الطاقة $1p$ و $1d$ وكذلك بين $1d$ و $1f$ عندما يكون المداران $1p$ و $1d$ مشغولين بالكامل (بـ 8 وبالتالي 20 نوكليون). والنوى التي تشغل مداراتها المذكورة بروتونات أو نيوترونات بالكامل وتكون المسافات كبيرة بين مستويات طاقاتها فإنها تكون مستقرة أكثر من نوى أخرى مماثلة ولكن تحوي نوكليونا أكثر أو يقل فيها نوكليونا. تلك النوى المستقرة بصفة خاصة تسمى نوى سحرية. وتسمى النوى التي ينطبق عليها ذلك الشرط بالنسبة للبروتونات والنيوترونات ، تسمى بالنوى السحرية المزدوجة ، وهذا ينطبق على نظير الهيليوم 4 وكذلك على النظير ^{16}O .

تمثل تلك النوى المتميزة باستقرار خاص حالة استقرار الالكترونات في الغازات الخاملة والتي يفسرها نموذج الطبقات الذرية للالكترونات. وتسمى تلك الأعداد الخاصة بالنوكليونات أعداداً سحرية وهي:

$$2, 8, 20, 28, 50, 82, 126.$$

ويلاحظ أن المدارات تكون لكل من البروتونات والنيوترونات في النواة كل على حده ، بحيث نستطيع تسمية النواة بأنها "نواة سحرية" عندما يكون فيها إما عدد البروتونات أو عدد النيوترونات عدداً سحرياً. وتسمى النواة "نواة مزدوجة السحرية " إذا كان عدد كل من البروتونات والنيوترونات عدداً سحرياً.

وبالنسبة إلى العدد السحري 28 فيوجد له سبب خاص : فعنده تنشأ فجوة طاقة ، أي مسافة كبيرة بين مستويات للطاقة مسموح بها ، وليس بسبب انشغال الغلاف بالكامل ، وإنما بسبب الارتباط بين العزم السبيني وعزم الدوران للمدار 1f.

وكما في المدار f للالكترونات في الذرة حيث يكون العدد الكمي المداري $\ell = 3$ وهو يحدد الزخم الزاوي الكلي حيث $j = \ell + s$ يتخذ الأعداد المسموح بها 3 و 5 وكذلك 2 و 5 ، حيث $j=3$ و $j=5$ ذات طاقة أقل من $j=2$. فإذا كانت جميع المدارات $j=3,5$ مشغولة فنحصل على مستوي طاقة مستقر عند العدد السحري 28.

إذاً توجد الأعداد السحرية النووية Nuclear Magic Numbers التالية:

$$N = 2, 8, 20, 28, 50, 82, 126$$

$$Z = 2, 8, 20, 28, 50, 82$$

إن الأعداد السحرية النووية توحى بوجود طبقات نووية مغلقة وذلك بالمقارنة مع الطبقات المغلقة في النموذج الذري.

ويعتمد بناء النموذج النووي على الفرضين التاليين:

1— يتحرك كل نيوكلون، في النواة، تحت تأثير الجهد الناتج عن النيوكلونات الأخرى فيها. ويمثل هذا الجهد تابعاً لـ r حيث r البعد عن مركز النواة أي

$$0 < r \leq R \text{ حيث } R \text{ قطر النواة.}$$

2— تملأ الطبقات بالنيوكلونات اعتماداً على مبدأ باولي للاستبعاد.

ولنفرض الآن أن نيوكلونا كتلته m يتحرك تحت تأثير الجهد $V(r)$ الذي يعتمد على r فقط، فإن معادلة شرودنجر الموجية المطلوب حلها تأخذ الشكل:

$$\frac{d^2}{dr^2} u + \frac{2m}{\hbar^2} \left[E - V(r) - \frac{\hbar^2 \mathbf{l}(\mathbf{l}+1)}{2mr^2} \right] u = 0 \quad (21)$$

حيث $u = r R$ و E القيمة المميزة للطاقة.

وعلى عكس الجهد الكولوني المعروف جيداً والمستخدم في بناء النموذج الذري، فإن الجهد $V(r)$ النووي غير معروف. ولذلك، فمن أجل بناء نموذج الطبقات النووي فقد تمّ استخدام الجهود التقريبية التالية:

1— جهد البئر المربع Square Well Potential والذي يُعطى بالعلاقة:

$$V(r) = \begin{cases} -V_0 & r \leq R \\ 0 & r > R \end{cases}$$

2— جهد الهزاز التوافقي Harmonic Oscillator Potential والذي يعطى بالعلاقة:

$$V(r) = -V_0 + \frac{1}{2} k r^2$$

3— وباعتبار الجهدين السابقين: البئر المربع والهزاز التوافقي نحصل على الجهد المعطى بالعلاقة:

$$V(r) = \begin{cases} -V_0 (1 - \frac{r^2}{R^2}) & r \leq R \\ 0 & r > R \end{cases}$$

وبفرض $w_0 = \sqrt{2V_0/mR^2}$ فإن الجهد السابق يكتب كما يلي:

$$V(r) = -V_0 + \frac{1}{2} m w_0^2 r^2 \quad (22)$$

فمن أجل $V_0 = 50 \text{ MeV}$ فإن $\hbar w_0 = \hbar c \sqrt{2V_0/mc^2 R^2} \approx 50 A^{-1/3} \text{ MeV}$

لكن المعطيات التجريبية تبين أن:

$$\hbar w_0 = 41 A^{-1/3} \text{ MeV}$$

وتبين هذه العلاقة أن الفاصل بين مستويات الطاقة في حفرة الجهد يصبح أصغر كلما أصبحت النواة أثقل.

واستعمال الجهود التقريبية السابقة لحل المعادلة (21) لا يعطي جميع الأعداد السحرية.

في عام 1949 قام ماير Mayer وآخرون بمعالجة النموذج الطبقي النووي معالجة جدية. فبالإضافة إلى جهد الهزاز التوافقي المعطى بالمعادلة (22) تمّ اعتبار الجهد الناتج عن تفاعل سبين مدار $\vec{L} \cdot \vec{S} - f(r)$ لتصبح معادلة الطاقة الكلية كما يلي:

$$E = \frac{P^2}{2m} + V(r) - f(r) \vec{L} \cdot \vec{S}$$

ومستويات الطاقة التي نتجت من حل معادلة شرودنجر مع الأخذ بعين الاعتبار التفاعل $\vec{L} \cdot \vec{S}$ هي:

$$1s_{1/2}, 1p_{3/2}, 1p_{1/2}, 1d_{5/2}, 2s_{1/2}, 1d_{3/2}, 1f_{7/2}, \dots (23)$$

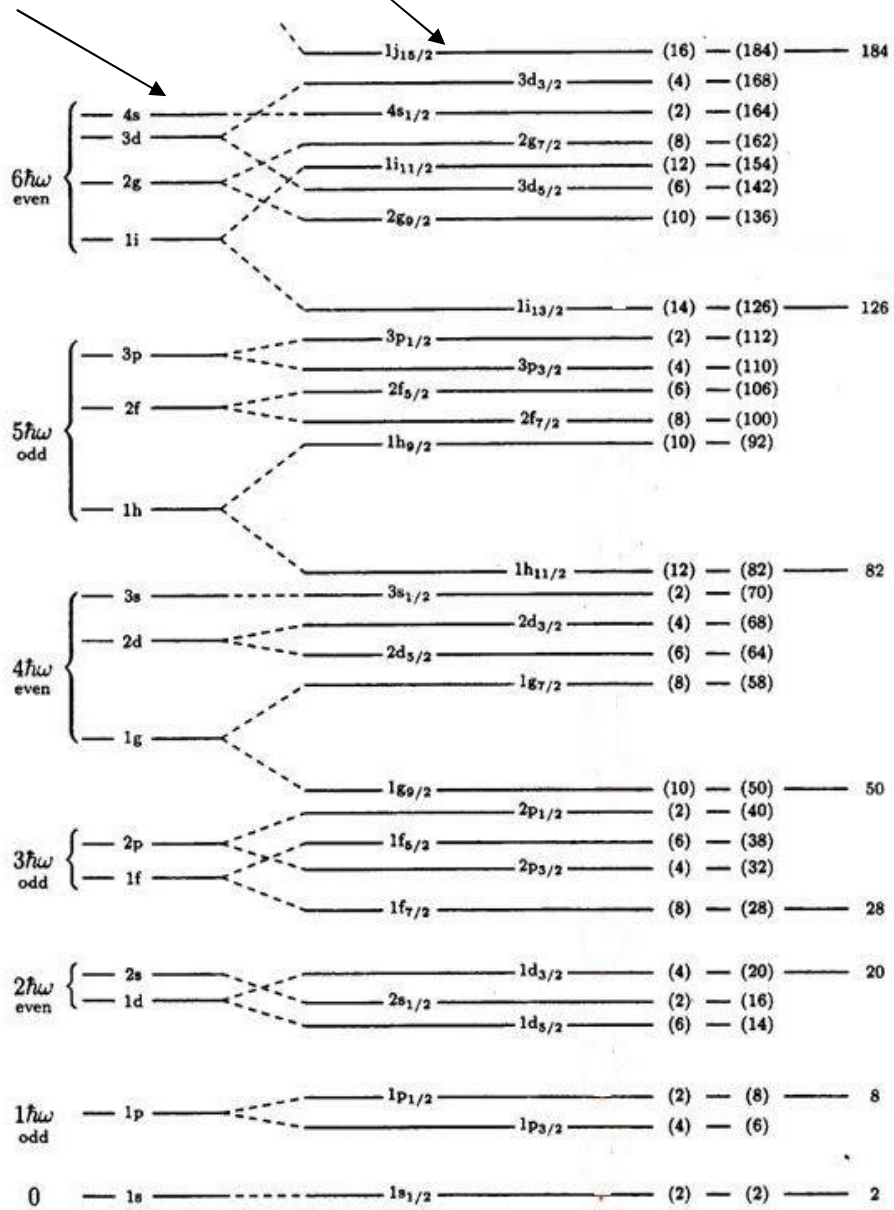
و نحصل على التوزيع التالي للنيوكلونات في النواة كما يلي:

عدد البروتونات أو النيوترونات في أي مستوي يُعطى بـ $2j + 1$. وعلى هذا فإنه يوجد عدد من النيوكلونات: $2, 4, 2, 6, 2, 4, 8, \dots$ في كل مستوي من المستويات (العلاقة 23) على الترتيب. ويوضح الشكل (12) المستويات المغلقة بعدد من النيوكلونات. ويجب أن نلاحظ أن الشكل السابق يمثل مستويات الطاقة وفقاً للنموذج الطبقي وليس مستويات الطاقة لنواة ما، حيث: $n = 2(v - 1) + \ell$ ، $\ell = 0, 1, 2, \dots, v - 1$ و $v = 1, 2, 3, \dots$ عدد كمي قطري، وشرط أن يبدأ n من الصفر كما يلي: $n = 0, 1, 2, 3, \dots$

- الطبقة الأولى: 2 حالة. $(n = 0, j = 1/2)$
- الطبقة الثانية: 6 حالات. $(n = 1, j = 1/2 \text{ or } 3/2)$
- الطبقة الثالثة: 12 حالة. $(n = 2, j = 1/2, 3/2 \text{ or } 5/2)$
- الطبقة الرابعة: 8 حالات. $(n = 3, j = 7/2)$
- الطبقة الخامسة: 22 حالة. $(n = 3, j = 1/2, 3/2 \text{ or } 5/2; n = 4, j = 9/2)$
- الطبقة السادسة: 32 حالة. $(n = 4, j = 1/2, 3/2, 5/2 \text{ or } 7/2; n = 5, j = 11/2)$
- الطبقة السابعة: 44 حالة. $(n = 5, j = 1/2, 3/2, 5/2, 7/2 \text{ or } 9/2; n = 6, j = 13/2)$
- الطبقة الثامنة: 58 حالة. $(n = 6, j = 1/2, 3/2, 5/2, 7/2, 9/2 \text{ or } 11/2; n = 7, j = 15/2)$

$$E = \frac{P^2}{2m} + V$$

$$E = \frac{P^2}{2m} + V - f(r) \bar{L} \cdot \bar{S}$$



الشكل (12)

وهكذا. وبناء على ذلك نحصل على الأعداد السحرية الآتية:

- 2
- $8 = 2+6$
- $20 = 2+6+12$
- $28 = 2+6+12+8$
- $50 = 2+6+12+8+22$
- $82 = 2+6+12+8+22+32$
- $126 = 2+6+12+8+22+32+44$
- $184 = 2+6+12+8+22+32+44+58$

مثال (12):

اعتماداً على مستويات الطاقة التي نتجت من نموذج الطبقات باستخدام تفاعل سبين — مدار وزع نيوترونات وبروتونات النواة $^{43}_{20}\text{Ca}$ على مستويات الطاقة الملائمة.

الحل: يوجد في النواة أعلاه 20 بروتوناً و 23 نيوترونًا تنتوزع على المستويات الفرعية للطاقة، حيث يوجد في كل مستوي فرعي $1 + 2j$ نيوترون أو بروتون، كما يلي:

$$1s_{1/2}^2, 1p_{3/2}^4, 1p_{1/2}^2, 1d_{5/2}^6, 2s_{1/2}^2, 1d_{3/2}^4$$

$$1s_{1/2}^2, 1p_{3/2}^4, 1p_{1/2}^2, 1d_{5/2}^6, 2s_{1/2}^2, 1d_{3/2}^4, 1f_{7/2}^3$$

حيث نلاحظ أن عدداً فردياً من النيوترونات يتوضع في المستوى $1 f_{7/2}$

10.1- العزم المغناطيسي للنواة:

لقد أشرنا سابقاً إلى أن سبين الإلكترون \vec{S} يرتبط بعزم الالكترون المغناطيسي السبيني بالعلاقة:

$$\vec{m}_s = -\frac{2}{h} m_B \vec{S}$$

حيث: $m_B = \frac{eh}{2m} = 9.27 \times 10^{-24} \text{ J / W / m}^2$ هو مغنتون بور.

كما يمكن كتابة العلاقة بين المتجهين \vec{S} و \vec{m}_s كما يلي:

$$\vec{m}_s = -\frac{e}{m} \vec{S}$$

يمثل السبين إحدى الصلات النادرة بين التحليل الطيفي والفيزياء النووية. وقد أدت دراسة البنية فوق الدقيقة للخطوط الطيفية إلى تعيين الكثير من السبينات النووية.

وبالمقارنة مع العزم المغناطيسي السبيني للإلكترون فإن للبروتون عزمًا مغناطيسيًا \vec{m}_p مرتبطًا بسبينه يُعبر عنه بدلالة ما يسمى المغنتون النووي m_N . ويُحسب هذا الأخير من مغنتون بور بعد استبدال كتلة الإلكترون m بكتلة البروتون M ، أي أن المغنتون النووي أصغر من مغنتون بور بحوالي ألفي مرة:

$$m_N = \frac{e}{M} \cdot \frac{\hbar}{2} = 5.05 \times 10^{-27} \text{ J / W / m}^2$$

وقد وجد في حالة البروتون الحر غير المرتبط بنواة:

$$\mu_p = 2.79276 \mu_N$$

ويُفسرُ شذوذ قيمة μ_p عن μ_N (أي عدم مساواة μ_p — μ_N) بالتفاعل

$$P \leftarrow n + p^+$$

ويُقبل أن للبيون π^+ حركة مدارية خلال المدة التي يكون فيها البروتون في الحالة الافتراضية $n + \pi^+$.

وعلى الرغم من أن النيوترون معتدل الشحنة فإن له عزمًا مغناطيسيًا يساوي، إذا كان حرًا، $\mu_n = -1.91348 \mu_N$ وتشير الإشارة السالبة إلى أن العزم المغناطيسي للنيوترون يعاكس سبينه.

ويفسر هذا الأمر المدهش، أي وجود μ_n وإشارته السالبة، بأن النيوترون يقضي جزءًا من الوقت في الحالة $P + \pi^-$ حسب التفاعل:

$$n \leftarrow P + p^-$$

وأن الحركة المدارية لـ π^- هي السبب في نشوء العزم المغناطيسي السالب للنيوترون. وللنوى عزوم مغناطيسية. وبفرض أن توزيع الشحنة داخل النواة توزيع كروي متماثل فإن للنواة عزمًا ثنائيًا أقطاب مغناطيسي نرسم له بـ μ ونميز الحالات التالية:

أ — من أجل نوى النموذج (Z زوجي — N زوجي)، فإن $J = 0$ في هذه النوى، و يكون $\mu = 0$.

ب — من أجل نوى النموذج (Z فردي — N زوجي)، فإن العزم المغناطيسي لهذه النوى هو عزم البروتون المفرد.

فمن أجل $J=1+\frac{1}{2}$ يكون:

$$m = J \left(1 + \frac{2.29}{J}\right) m_N$$

ومن أجل $J=1-\frac{1}{2}$ يكون:

$$m = J \left(1 - \frac{2.29}{J+1}\right) m_N$$

ح — ومن أجل النموذج (Z زوجي — N فردي) فإن العزم المغناطيسي لهذه النوى هو عزم النيوترون المفرد.

فمن أجل $J=1+\frac{1}{2}$ يكون:

$$\mu = -1.91 \mu_N$$

ومن أجل $J=1-\frac{1}{2}$ يكون:

$$m = J \frac{1.91}{J+1} m_N$$

مثال (13):

احسب سبين ونوعية وعزم ثنائي الأقطاب المغناطيسي للنواة $^{17}_8O$.

الحل:

إن هذه النواة من النموذج (Z زوجي — N فردي) فيها 8 بروتونات وتسعة نيوترونات، فسيبين النواة ^{17}O هو سبين النيوترون المفرد.

وبالعودة للشكل (11) نجد:

$$1s_{1/2}^2, 1p_{3/2}^4, 1p_{1/2}^2 \text{ بروتونات}$$

$$1s_{1/2}^2, 1p_{3/2}^4, 1p_{1/2}^2, 1d_{5/2}^1 \text{ نيوترونات}$$

نلاحظ وجود نيوترون مفرد في المستوي $1d_{5/2}$ وبالتالي فإن $J = 5/2$ وبما أن $\ell = 2$ من أجل المستوي السابق فإن نوعية النواة أعلاه مرتبطة بالنوعية $\ell = (-1)^{\ell} = +1$ أي $(-1)^2 = +1$ أن نوعيتها موجبة، وبالتالي نكتب: $J^P = \frac{5^+}{2}$.

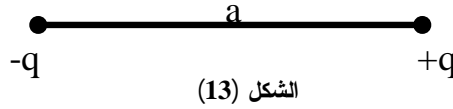
وبما أن $\ell = 2$ و $J^P = \frac{5^+}{2}$ فإن $J = 2 + \frac{1}{2}$

وبالتالي فإن عزم ثنائي الأقطاب المغناطيسي للنواة $^{17}_8O$ يساوي $\mu_N = -1.91 \mu_N$ وتعطي النتائج التجريبية القيمة السابقة نفسها.

11.1 - عزم رباعي الأقطاب الكهربائي للنواة:

إن الشحنة Ze للنواة هي من أهم مميزاتها إذ تعطي فكرة عن عدد البروتونات في النواة، وعن قيمة الجهد الكولوني وتعين الخصائص الكيميائية للعنصر. إلا أن الشحنة Ze لا يمكن أن تعطي تصوراً كاملاً عن المميزات الكهربائية للنواة: إذ لا نستطيع من معرفتها أن نعلم أي شيء عن خواص النواة المتعلقة بتوزيع النيوكلونات فيها.

هناك مقدار كهربائي مميز هو عزم ثنائي القطب الكهربائي للنواة. ولنذكر أن عزم ثنائي القطب الكهربائي هو مقدار تتمتع به جملة مكونة من شحنتين نقطيتين متساويتين قدراً q ، ومتعاكستين إشارة (ثنائي قطب). فإذا كانت المسافة بينهما a ، كما في الشكل (13)، فإن العزم الثنائي: يساوي بالتعريف: $d = qa$.

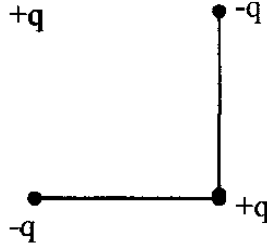


ويمكن لأي القطبين أن يتكون ليس فقط من شحنتين سالبة وموجبة بل ومن شحنة موجبة (أو سالبة) وأخرى صفرية (أو جسيم معتدل) وتتمتع جملة كهذه، عند وضعها في مجال كهربائي بخاصة ذي القطبين وهي التوجه وفق المجال.

وبما أن النواة تتألف من بروتونات (شحنة موجبة) ونيوترونات (جسيمات معتدلة)، ففي حال عدم انطباق مركزي ثقل البروتونات والنيوترونات يكون للنواة عزم كهربائي ثنائي.

إن العزم الثنائي الكهربائي للنوى في حالتها الأساسية معدوم. لكن هناك عزمًا أكثر تعقيداً هو العزم الرباعي الكهربائي للنواة: ويعبر العزم الرباعي عن انحراف توزيع شحنة النواة عن التوزيع المتناظر كروياً.

يتكون رباعي الأقطاب الكهربائي الأكثر بساطة من ذوي قطبين متماثلين وموجهين
توجيهاً متعاكساً ومنزاحين مسافة b أحدهما عن الآخر كما في الشكل (14).



الشكل (14)

إن العزم الرباعي لهذه الجملة هو بالتعريف:

$$Q_0 = 2db$$

$$= 2 q a b$$

أما إذا افترضنا أن شحنة النواة موزعة ضمنها بكثافة حجمية ρ وبحيث يكون للجملة
محور تناظر، z مثلاً، فإن العزم الرباعي للنواة يساوي (انظر الشكل 15):

$$Q_0 = \frac{1}{e} \iiint (3z^2 - r^2) r dv$$

حيث dV عنصر الحجم و $r^2 = x^2 + y^2 + z^2$ مربع نصف القطر المتجه لعنصر الحجم
 dV ، و e الشحنة العنصرية.

إذا كانت r ثابتة القيمة (لا تتوقف على z أيضاً) فإن العزم الرباعي Q_0 يعين من شكل
النواة فقط. فمثلاً إذا كانت النواة عبارة عن مجسم قطع ناقص دوراني كان:

$$Q_0 = \frac{2}{5} Z (a^2 - b^2)$$

حيث a هنا نصف محور القطع الناقص باتجاه المحور z (السيين)، و b نصف المحور في
الاتجاه المتعامد. ويقاس Q_0 بالبارن b ويساوي:

$$1b = 10^{-24} \text{ cm}^2 = 10^{-28} \text{ m}^2$$

بفرض أن نصف قطر النواة $R = \frac{1}{2}(a+b)$ فإن الحيود عن نصف القطر الكروي $\Delta R = a - b$. نقيس انحراف النواة عن الشكل الكروي بوساطة معامل التشوه التالي:

$$h = \frac{\Delta R}{R} = 2 \frac{a-b}{a+b}$$

ومنه:

$$hR^2 = 2 \frac{a-b}{a+b} \cdot \frac{(a+b)^2}{4} = \frac{1}{2}(a^2 - b^2)$$

أي: $(a^2 - b^2) = 2 \eta R^2$ وبالتالي فإن:

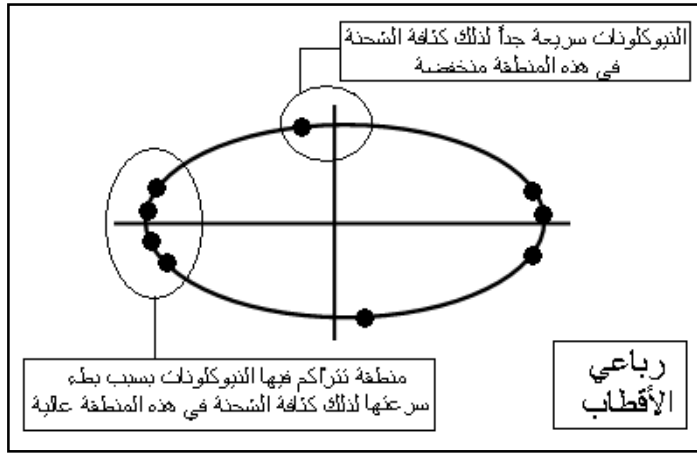
$$Q_0 = \frac{4}{5} Z h R^2$$

ونستنتج من العلاقة السابقة ما يلي:

1— عندما يكون $a > b$ فإن $Q_0 > 0$ والنواة عبارة عن مجسم قطع ناقص محوره الكبير وفق المحور Oz .

2— عندما يكون $a < b$ فإن $Q_0 < 0$ والنواة عبارة عن مجسم قطع ناقص منبسط باتجاه المحور Oz .

3— وعندما $a = b$ فإن $Q_0 = 0$ والنواة تتميز بتناظر كروي.



الشكل (15)

مثال (14): أعطى قياس Q_0 للنواتين التاليتين القيمتين المقابلتين لكل منهما:

$$\begin{array}{l} {}^{33}_{16}\text{S} \quad Q_0 = -0.06 \times 10^{-24} \text{ cm}^2 \\ {}^{35}_{16}\text{S} \quad Q_0 = +0.06 \times 10^{-24} \text{ cm}^2 \end{array}$$

1— ما المعنى الفيزيائي لإشارة عزم رباعي الأقطاب؟

2— إذا علمت أن $r_0 = 1.5 \times 10^{-15} \text{ m}$ فما هو معامل التثوّه للنواتين المذكورتين.

الحل:

1— إن النواة ${}^{33}_{16}\text{S}$ عبارة عن مجسم قطع ناقص محوره الثانوي (الصغير) منبسط باتجاه المحور Oz، بينما النواة ${}^{35}_{16}\text{S}$ عبارة عن مجسم قطع ناقص محوره الرئيسي (الكبير) باتجاه المحور Oz.

2— من أجل النواة ${}^{35}_{16}\text{S}$ مثلاً:

$$Q_0 = \frac{2}{5} Z (a^2 - b^2)$$

$$0.06 \times 10^{-24} = \frac{2}{5} 16(a+b)(a-b) \quad \text{أو}$$

$$2R \cdot \Delta R = 9.4 \times 10^{-27} \quad \text{وبالتالي:}$$

$$\Delta R = \frac{4.7}{R} \times 10^{-27}$$

ومنه:

$$h = \frac{\Delta R}{R} = \frac{4.7}{R^2} \times 10^{-27}$$

$$R^2 = (r_0 A^{1/3})^2 = (1.5 \times 10^{-13})^2 (35)^{2/3} \quad \text{وبما أن:}$$

$$\eta = 0.02 \quad \text{فإن}$$

مثال (15):

احسب طاقة الارتباط النووية B اعتماداً على صيغة الكتلة نصف التجريبية.

الحل:

اعتماداً على معادلة الكتلة نصف التجريبية نحسب نقص الكتلة Δm كما يلي:

$$\Delta m = Z m_p + N m_n - M(A/Z)$$

$$= a_1 A - a_2 A^{2/3} - a_3 \frac{Z^2}{A^{1/3}} - a_4 \frac{(N-Z)^2}{A} - a_s \frac{d}{A}$$

ومنه فإن:

$$B = \Delta mc^2 = a_v A - a_s A^{2/3} - a_c \frac{Z^2}{A^{1/3}} - a_a \frac{(N-Z)^2}{A} - a_p \frac{d}{A}$$

وتعرف العلاقة السابقة بعلاقة ويذر Weizsäcker نصف التجريبية لحساب طاقة الارتباط للنواة (A, Z) حيث a_v, a_s, a_c, a_a, a_p ثوابت جميعها مستقلة عن A وتعطى قيمتها اعتماداً على النتائج التجريبية كما يلي:

$$a_v = 15.84 \text{ MeV}$$

$$a_s = 17.23 \text{ MeV}$$

$$a_c = 0.74 \text{ MeV}$$

$$a_a = 23.57 \text{ MeV}$$

$$a_p = 58 \text{ MeV}$$

والعلاقة السابقة لويذر مكونة من خمسة حدود تسمى بحد الحجم $a_v A$ وحد السطح $-a_s A^{2/3}$ وحد التنافر الكولوني $-a_c \frac{Z^2}{A^{1/3}}$ وحد التماثل $-a_a \frac{(N-Z)^2}{A}$ وحد التزاوج $-a_p \frac{d}{A}$ حيث هنا:

$$\delta = \begin{cases} 1 & \text{(Z زوجي - N زوجي)} \\ 0 & \text{A فردي} \\ -1 & \text{(Z فردي - N فردي)} \end{cases}$$

إن علاقة ويذر السابقة ترتبط بنموذج القطرة السائلة ويمكن تطبيقها خصوصاً من أجل النوى $20 \leq A \leq 240$.

مثال (16):

اعتماداً على المعادلة النسبية (5) برهن أن عتبة الطاقة لتفاعل ما تعطى كما يلي:

$$K_{th} = Mc^2 \frac{m_1 + m_2 + m/2}{m_2}$$

حيث m_1 كتلة الجسم الوارد، m_2 كتلة الهدف الساكن و M كتلة الجسيمات الناتجة عن التفاعل.

الحل:

اعتماداً على المعادلة (2) نكتب:

$$E^2 - P^2 c^2 = (M_0 c^2)^2$$

وبما أن الطاقة السكونية $M_0 c^2$ خاصة للجسيم ولا يمكن أن تتبع لأي نظام للإحداثيات، أي أنها لا متغيرة بتغير نظام الإحداثيات ولذلك نكتب:

$$E^2 - P^2 c^2 = \text{inv}$$

ولذلك نكتب المعادلة السابقة في نظام المخبر قبل التصادم وفي نظام مركز الكتل بعد التصادم فنحصل على المعادلة:

$$[(m_1 + m_2) c^2 + K_{th}]^2 - P_1^2 c^2 = [(m_1 + m_2) c^2 + Mc^2]^2$$

حيث لا يمنع نظام مركز الكتل أن تخرج الجسيمات بعد التفاعل بسرعة معدومة وبالإضافة من أن $P_1^2 = 2 m K_{th}$ وبالتعويض في العلاقة السابقة نكتب:

$$(m_1 + m_2)^2 c^4 + 2 (m_1 + m_2) c^2 K_{th} + K_{th}^2 - 2 m_1 c^2 k_{th} = (m_1 + m_2)^2 c^4 + 2(m_1 + m_2) M c^4 + M^2 c^4$$

أو:

$$K_{th} (2m_2 c^2 + K_{th}) = Mc^2 [2(m_1 + m_2) c^2 + Mc^2]$$

ولأن الهدف تكون كتلته كبيرة عادة، ولذا فإن $K_{th} \gg 2 m_2 c^2$ أي أن:

$$2 m_2 c^2 + K_{th} \approx 2 m_2 c^2$$

$$K_{th} = Mc^2 \frac{2m_1 c^2 + 2m_2 c^2 + M c^2}{2 m_2 c^2}$$

ومن هنا نجد المطلوب:

$$K_{th} = Mc^2 \frac{m_1 + m_2 + M/2}{m_2}$$

مسائل الفصل الأول

1- احسب نصف قطر الكرة الأرضية، بفرض أن كثافتها تساوي كثافة المادة النووية،
 علماً أن كتلة الأرض $M_e = 5.98 \times 10^{24} \text{ kg}$.

2- عين النواة المستقرة التي نصف قطرها $\frac{1}{3}$ نصف قطر نواة الأوزميوم $^{189}_{76}\text{Os}$.

3- يستخدم في مطياف الكتلة عينة من الأوكسجين ثلاثي التأين (أي أن ذرة الأوكسجين فقدت ثلاثة إلكترونات)، فاحسب المسافة التي تفصل سقوط ذرتي الأوكسجين 16 ، 18 إذا علمت أن قيمة المجال المغناطيسي المستخدم في المطياف $B = 0.22 \text{ T}$ وأن سرعة أيونات الأوكسجين تساوي $v = 4.8 \times 10^5 \text{ m/s}$.

4- احسب طاقة فصل البروتون الأخير S_p في النواتين $^{13}_6\text{C}$ ، $^{14}_7\text{N}$ ماذا تستنتج؟

5- احسب طاقة فصل البروتون الأخير S_p في النواتين $^{14}_7\text{N}$ ، $^{15}_7\text{N}$ ماذا تستنتج؟

6- احسب طاقة فصل البروتون وطاقة فصل النيوترون في النواتين ^5_2He ، ^4_2He على الترتيب. ماذا تستنتج؟

7- يقترب جسيم ألفا إلى مسافة 80F من نواة الذهب $^{197}_{79}\text{Au}$. بفرض أن كلاً من نواة الذهب وجسيم ألفا عبارة عن شحنة نقطية فاحسب قوة التناثر الأعظمية بينهما.

8- احسب الطاقة التي يجب أن تكتسبها نواة الكروم $^{52}_{24}\text{Cr}$ لتتقسم لنواتين متساويتين $^{26}_{12}\text{Mg}$. علماً أن $\text{Mg} = 25.9826 \text{ u}$ ، $\text{Cr} = 51.9405 \text{ u}$

9- أعطى قياس Q_0 للنواتين التاليتين القيمتين المقابلتين لكل منهما:

$$^{17}_8\text{O} \quad Q_0 = -0.004 \times 10^{-24} \text{ cm}^2$$

$$^{167}_{68}\text{Er} \quad Q_0 = 10.2 \times 10^{-24} \text{ cm}^2$$

والمطلوب: أ — علماً أن $r_0 = 1.3 \times 10^{-15} \text{ m}$ فاحسب معامل التشوه للنواتين السابقتين.

ب — ما المعنى الفيزيائي لإشارة عزم رباعي الأقطاب الكهربائي.

ج — احسب سبين ونوعية النواتين أعلاه.

د — احسب عزم ثنائي الأقطاب المغناطيسي للسويتين الأساسيتين للنواتين أعلاه.

10- احسب طاقة الارتباط و طاقة كولون للنواة $^{73}_{32}\text{Ge}$ ؟

الفصل الثاني

النشاط الإشعاعي

1.2- مقدمة:

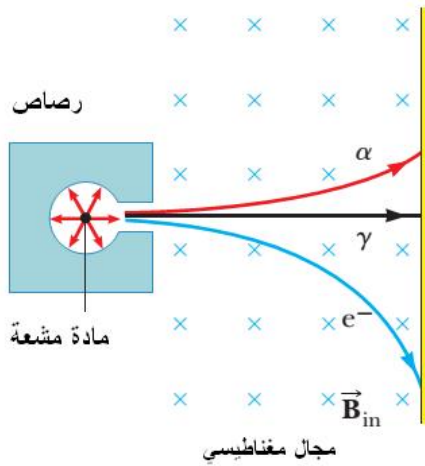
يأتي اكتشاف هنري بيكرل للنشاط الإشعاعي عام 1898 نتيجاً لأبحاث ثلاثة أجيال من عائلته في الفسفرة، فقد حقق جده الفيزيائي أنطوان سيزار بيكريل عدداً من الاكتشافات المهمة في الكيمياء الكهربائية ومنحته الجمعية الملكية ميدالية كوبلي، وكان والده إدموند بيكريل فيزيائياً شهيراً غزير الإنتاج نشر أبحاثاً مفيدة في مجال دراساته على مدى ما يقرب من نصف قرن. وكان الجد والأب عضوين في الأكاديمية الفرنسية وشغل كل منهما خلال عمله التعليمي كرسي أستاذ الفيزياء في متحف التاريخ الطبيعي ، فأصبح ذلك تقليداً ثابراً عليه أنطوان هنري وابنه جان بيكريل فيما بعد.

استمد اكتشاف النشاط الإشعاعي بواعثه الأولى من اكتشاف الفيزيائي الألماني فيلهلم كونراد رونتجن للأشعة السينية الذي كان قد أعلن عنها في مطلع عام 1896، وقد دفع اكتشاف رونتجن للأشعة السينية بيكريل إلى القيام بسلسلة من التجارب على الجزيئات المفلورة التي إما أن تكون متفلورة بطبيعتها أو نتيجة امتصاصها لأشعة الشمس . ومع أن هذه الظواهر كانت معروفة إلا أن آليتها كانت مجهولة تماماً، ففكر بيكريل بأن هذه الآلية ربما تكون مرتبطة بطريقة ما بتوليد الأشعة السينية، لذلك افترض بيكريل أن الأشعة السينية ترتبط بالفلورة بطريقة ما . ولكن فكرة هذا الافتراض على الرغم من خطئها إلا أنها دفعته إلى القيام بسلسلة من المشاهدات أدت إلى اكتشاف النشاط الإشعاعي عندما قام بتجربته على أحد مركبات اليورانيوم - ثنائي سلفات أورانيول البوتاسيوم المتبلور (كبريتات البوتاسيوم) فقد وضعه فوق لوح تصوير حساس حماه من أشعة الشمس بطبقتين سميكتين جداً من الورق المقوى ، ثم وضعه في درج قرب بلورة ثنائي سلفات أورانيول البوتاسيوم التي لم تكن قد تعرضت لأشعة الشمس بل وضعت في الدرج بانتظار يوم مشمس. واكتشف بعد ذلك أن لوح التصوير أسود مثلما حدث في تجربته السابقة الشكل (1) فأدرك بيكريل مباشرة أن الفسفرة أو الفلورة لا علاقة لها بالأشعة الصادرة عن بلورته وتتبع أثر إشعاعات ذرات اليورانيوم في البلورة. وأخيراً توج عمله الاستقصائي باكتشافه النشاط الإشعاعي للذرات الثقيلة.



شكل (1) صورة لتجربة بيكريل على مركبات ثنائي سلفات أورانييل البوتاسيوم المتبلور الذي وضعه فوق لوح تصوير حساس محمي من الشمس بطبقتين سميكتين جدا من الورق

وللتعرف على طبيعة هذا الإشعاع فقد وضعت كمية صغيرة من مادة مشعة مثل الراديوم في قاع ثقب عميق ضمن كتلة رصاصية كي تضمن خروج الإشعاع في اتجاه واحد من خلال الثقب كما في الشكل (2). ويؤثر مجال مغناطيسي قوي عمودياً على مستوى الصفحة.



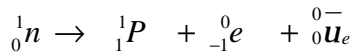
الشكل (2)

ووفق هذه الشروط فإن الشحنات الموجبة، التي تقع تحت تأثير هذا المجال ستتحرف باتجاه اليسار. أما الشحنات السالبة ستتحرف باتجاه اليمين ولن تتأثر الجسيمات غير المشحونة بالمجال المغناطيسي. ويعتمد مقدار الانحراف على كتلة وشحنة وسرعة الجسيمات.

تم وضع لوح فوتوجرافي حساس، في سقف الصندوق المفرغ من الهواء، فوق كتلة الرصاص. وعند تحميص اللوح الحساس تم الحصول على آثار هذه الإشعاعات. إن آثار جسيمات ألفا يقع على اليسار في بقعة واحدة فقط ؛ مما يدل أن شحنتها موجبة وطاقتها وحيدة. وقد وجد أن جسيمات α تمثل نوى ذرات الهيليوم He. بينما نرى آثاراً ممتدة من منتصف اللوح تقريباً وإلى اليمين تمثل آثار جسيمات β . ونستنتج من هذه الآثار أن جسيمات β سالبة الشحنة، وتمتلك طاقات مختلفة تتراوح بين الصفر وقيمة عظمى معينة. وعندما نجري قياساً للنسبة بين شحنة وكتلة هذه الجسيمات نجد أن هذه النسبة تساوي تلك التي للالكترونات؛ فجسيمات β هي الالكترونات تسير بسرعات عالية يمكن أن تصل حتى $0.99c$ حيث c سرعة الضوء. وتوجد بقعة أثر واحدة في وسط اللوح الحساس ناتجة عن أشعة جاما γ الغير مشحونة. إن أشعة γ تملك جميع خواص الأشعة الكهرطيسية وهي مثل الأشعة السينية أو الفوتونات المرئية ولكن بطول موجي قصير جداً وسرعتها مساوية لسرعة الضوء. إن جسيمات α و β وأشعة γ هي الإشعاعات التي تصدر عن النوى المتفككة. ولكن، بعض النوى تتفكك بإصدار بروتونات أو نيوترونات أو بوزيترونات أو بإصدار جسيمات أخرى على شكل عناقيد، وقد تأسر النواة الكترونات من الكترونات الطبقة K التي تحيط بها فتسمى هذه الحادثة بحادثة الأسر الالكتروني EC.

وتقسم النوى المشعة إلى قسمين: أحدهما، موجود في الطبيعة وهو ما ينتج عنه النشاط الإشعاعي الطبيعي. والآخر يصنع في المخبر وهو ما ينتج عنه النشاط الإشعاعي الصناعي. وكلا القسمان يتفكك بإشعاع متتابع. ويسمى النظير الأول بالألم بينما يسمى ناتج التفكك بالبنت ويسمى ناتج تفكك البنت الحفيدة وهكذا...

يعود سبب التفكك في النوى الكبيرة (Z كبير) إلى قوى كولون التنافرية بين البروتونات التي تجعل النظائر غير مستقرة. ولذا فإن هذه النوى غير المستقرة تتفكك بإصدار جسيمات α وبذلك تفقد النواة الأم 2 بروتوناً و 2 نيوترونات. فإذا بقيت النواة البنت غير مستقرة فإنها قد تصدر جسيمات α أخرى أو قد تصدر جسيمات β أو أشعة γ : فإذا كانت زيادة نسبية في عدد النيوترونات فإن نيوترونات داخل النواة يتفكك وفق المعادلة:



أما إذا كان في النواة زيادة نسبية في عدد البروتونات فإن بروتوناً يتفكك إلى نيوترون وفق المعادلة التالية:



حيث 0_1e : البوزيترون أو مضاد الالكترون و u_e النيوترينو و \bar{u}_e مضاد النيوترينو.

ويستمر هذا التفكك المتناوب بين إصدار جسيمات β و α حتى تصل النواة إلى الاستقرار.

من الملاحظ، عند تفكك النواة بإصدار جسيمات α ، إن العدد الكتلي للنواة الأم ينقص أربع وحدات، أي $\Delta A = 4$. بينما تنقص شحنة النواة الأم وحدتين، أي $\Delta Z = 2$. ومن جهة أخرى، فعند تفكك النواة بإصدار جسيمات β أو أشعة γ فإن العدد الكتلي للنواة لا يتغير أي $\Delta A = 0$.

2.2- قوانين النشاط الإشعاعي (عمر النصف وثابت التفكك):

يتناقص، بسبب النشاط الإشعاعي، عدد الذرات (النوى) المشعة الابتدائية N_0 بمرور الزمن. ولنتنظر في عدد كبير من الذرات، وهذا ما يحدث عملياً نظراً لضخامة عدد أفوجادرو. إن عدد النوى المتفككة dN في المجال الزمني بين اللحظتين t و $t + dt$ يتناسب مع dt ومع عدد النوى N التي لم تتفكك حتى اللحظة t أي:

$$dN = -\lambda N dt$$

حيث: λ ثابت يُدعى ثابت التفكك، وكما توضح المعادلة السابقة فإن وحدة قياس λ هي مقلوب وحدة قياس الزمن s^{-1} .

وبمكاملة المعادلة السابقة كما يلي:

$$\int_{N_0}^N \frac{dN}{N} = -\lambda \int_0^t dt$$

نحصل على ما يُسمى بقانون التفكك:

$$N = N_0 e^{-\lambda t} \quad (1)$$

ويُعرف النشاط (أو الفاعلية الإشعاعية) Activity بأنه عدد التفككات في الثانية الناتجة عن مادة مشعة ويُرمز له بـ A حيث نكتب:

$$A = \left| \frac{dN}{dt} \right|$$

واعتماداً على المعادلة (1) نكتب:

$$\frac{dN}{dt} = -\lambda N$$

واعتماداً على ذلك فإن $A = \lambda N$ وبتبديل قيمة N من (1) نجد:

$$A = \lambda N_0 e^{-\lambda t}$$

حيث نجد من أجل $t = 0$ أن $A_0 = \lambda N_0$ وبالتالي فإن قانون النشاط الإشعاعي يُعطى كما يلي:

$$A = A_0 e^{-\lambda t}$$

والمنسجم مع قانون التفكك المعطى بالمعادلة (1).

يقاس النشاط بالكوري Ci والذي يساوي 3.7×10^{10} تفككاً في الثانية، أي:

$$1 \text{ Ci} = 3.7 \times 10^{10} \text{ d/S}$$

وللكوري أجزاء هي:

$$1 \text{ m Ci} = 10^{-3} \text{ Ci} = 3.7 \times 10^7 \text{ d/S}$$

$$1 \mu \text{ Ci} = 10^{-6} \text{ Ci} = 3.7 \times 10^4 \text{ d/S}$$

ويستخدم أيضاً الرذرفورد لقياس النشاط ويُرمز له بـ rd الذي يساوي:

$$1 \text{ rd} = 10^6 \text{ d/S}$$

ويقاس النشاط في النظام الدولي SI للوحدات بالبيكرل الذي يُرمز له بـ Bq ويساوي:

$$1 \text{ Bq} = 1 \text{ d/S}$$

ومن مضاعفات البيكرل الكيلو بيكرل k Bq ويساوي:

$$1 \text{ kBq} = 1000 \text{ Bq}$$

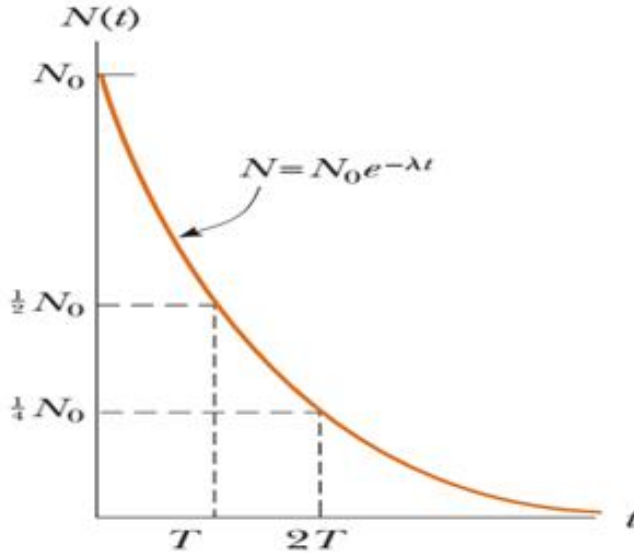
إن دور المادة المشعة T أو ما يسمى عمر النصف هو المدة التي يتفكك بانقضائها نصف الذرات، أي يصبح عدد الذرات المتبقية $N = N_0/2$. وبالتعويض في المعادلة (1) عن N بالقيمة السابقة وعن t بـ T نجد:

$$\text{Exp}(\lambda T) = 2$$

$$\lambda T = \text{Ln}2 = 0.693$$

والتي تعطي

فالدور إذاً هو المدة التي يكون احتمال تفكك كل ذرة في أنثائها مساوياً $\frac{1}{2}$ أي 50%. ويمثل الشكل (3) الخط البياني لتغير عدد الذرات المتبقية بدلالة الدور T.



الشكل (3)

لنبين الآن المعنى الزمني المرتبط بـ λ . إن عدد النوى المتفككة في المجال الزمني بين t و t + dt أي التي عاشت t ثانية هو $\lambda N dt$. ومجموع أعمار هذه النوى هو:

$$t\lambda N dt$$

أما مجموع أعمار كافة النوى N_0 التي كانت موجودة في اللحظة t = 0 فهو $\int_0^{\infty} t\lambda N dt$ ولهذا فإن متوسط العمر لنواة واحدة هو:

$$t = \frac{1}{N_0} \int_0^{\infty} t\lambda N dt = \lambda \int_0^{\infty} t e^{-\lambda t} dt$$

وبإجراء التكامل بالتجزئة كما يلي:

$$\int u dJ = uJ - \int J du$$

حيث نفرض u = t و $d\vartheta = e^{-\lambda t} dt$ نجد:

$$T = 0.693 \tau \text{ أو } \lambda \tau = 1$$

وبالتالي نكتب قانون التفكك الإشعاعي كما يلي:

$$N = N_0 e^{-t/\tau}$$

ونرى أنه بانقضاء الزمن $t = \frac{1}{\lambda}$ ينقص عدد الذرات المتبقية e مرةً أي $N/N_0 = \frac{1}{e}$.

هذا ويتغير الدور T للمواد المشعة المختلفة ضمن حدود واسعة جداً: فهناك مواد تصدر أشعة α بأدوار تتراوح بين 3×10^{-7} ثانية ($^{212}_{84}Po$) و 5×10^{15} سنة ($^{144}_{60}Nd$).

إذا كان لعنصر مشع، عدة أنواع من التفككات الممكنة كالتفككات

(α, β, \dots) فإنه يكون لكل نوع منها ثابت تفكك جزئي λ_i ويساوي:

$$I_i = \frac{(dN/dt)_i}{N}$$

بينما يكون للعنصر ثابت تفكك كلي λ هو مجموع ثوابت التفكك الجزئية:

$$I = \sum_i I_i = I_a + I_b + \dots$$

ونعرف نسبة التفرع Branchment Ratio بأنها نسبة ثابت التفكك الجزئي λ_i إلى ثابت

التفكك الكلي λ في العنصر المشع المفروض، أي هي: λ_i/λ .

وبما أنه يمكن التعبير عن كمية من عنصر مشع بالجرام أو الكوري فإنه من المفيد أن نجد الرابطة بين هذين المقدارين، فمن تعريف الكوري نجد عدد الذرات التي تعطي نشاطاً قدره 1Ci:

$$N = \frac{3.7 \times 10^{10}}{I} \text{ atoms}$$

وبما أن كتلة الذرة هي M/N_a حيث M كتلة ذرة جرامية (الكتلة المولية) و N_a عدد أفوجادرو، فالكثلة المقابلة لنشاط قدره 1Ci هي إذاً:

$$m = N \frac{M}{N_a} = 3.7 \times 10^{10} \frac{M}{I N_a}$$

والكتلة المقابلة لنشاط قدره 1Bq تساوي:

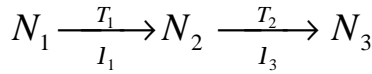
$$m = \frac{M}{I N_a}$$

ويُقاس النشاط الإشعاعي لمادة مشعة باستخدام كواشف الإشعاع.

ولنذكر أن الجسم البشري، بسبب ما يحويه من ^{14}C و ^{40}K و ^{226}Ra ، مشع قليلاً ونشاطه من مرتبة $0.25\mu\text{Ci}$.

3.2 - التوازن الإشعاعي:

بفرض N_1 عدد العناصر المشعة في اللحظة t و N_2 عدد النوى البنت المتولدة عن N_1 وأن دوريهما هما T_1 و T_2 على الترتيب، أي:



وأن N_3 مستقرة.

لنفرض أنه في اللحظة $t = 0$ كان لدينا N_1^0 ذرة من المادة (1) ولننظر كيف تنمو المادة (2) مع الزمن بافتراض أن $N_2^0 = 0$ في اللحظة $t = 0$. لدينا حسب قانون التفكك ما يلي:

$$N_1 = N_1^0 e^{-I_1 t} \quad (2)$$

إن العدد N_2 يعاني تحولاً مضاعفاً خلال زمن dt : فمن جهة أولى يزداد بمقدار $\lambda_1 N_1 dt$ الذي يمثل تفكك N_1 المولد لـ N_2 . ومن جهة ثانية ينقص بمقدار $\lambda_2 N_2 dt$ نتيجة تفكك N_2 إلى N_3 وعلى هذا يكون:

$$dN_2 = \lambda_1 N_1 dt - \lambda_2 N_2 dt$$

أو:

$$\frac{dN_2}{dt} = I_1 N_1 - I_2 N_2 \quad (3)$$

وبالتعويض عن قيمة N_1 من (2) نجد:

$$\frac{dN_2}{dt} = I_1 N_1^0 e^{-I_1 t} - I_2 N_2$$

نضرب طرفي هذه المعادلة بالحد $e^{I_2 t}$ فنجد:

$$\frac{dN_2}{dt} e^{I_2 t} + I_2 N_2 e^{I_2 t} = I_1 N_1^0 e^{(I_2 - I_1)t}$$

أو:

$$\frac{d}{dt} (N_2 e^{I_2 t}) = I_1 N_1^0 e^{(I_2 - I_1)t}$$

وبمكاملة هذه المعادلة نجد:

$$N_2 e^{I_2 t} = \frac{I_1}{I_2 - I_1} N_1^0 e^{(I_2 - I_1)t} + C$$

نضرب طرفي هذه المعادلة بـ $\exp(-\lambda_2 t)$ نجد:

$$N_2 = \frac{I_1}{I_2 - I_1} N_1^0 e^{-I_1 t} + C e^{-I_2 t}$$

وللحصول على الثابت C نجعل $t = 0$ أي أن $N_2^0 = 0$ ولذا فإن:

$$C = -\frac{I_1}{I_2 - I_1} N_1^0$$

وبالتبديل:

$$N_2 = \frac{I_1}{I_2 - I_1} N_1^0 (e^{-I_1 t} - e^{-I_2 t}) \quad (4)$$

وتبدأ المادة N_2 ، بدءاً من اللحظة $t = 0$ ، بالنمو على حساب تفكك المادة N_1 ثم تمر بنهاية عظمى في اللحظة t_{\max} التي نحددها من الشرط:

$$\left(\frac{dN_2}{dt} \right)_{t_{\max}} = 0$$

وبالتعويض في المعادلة (3) نجد:

$$N_1 \lambda_1 = N_2 \lambda_2$$

وذلك من أجل اللحظة t_{\max} فقط وتسمى الحالة السابقة التوازن المثالي Ideal Equilibrium والذي يتحقق من أجل اللحظة t_{\max} فقط.

بعد اللحظة t_{\max} يتناقص N_2 وتتوقف سرعة تناقصه على القيمة النسبية لـ λ_1 و λ_2 :

أولاً: $\lambda_1 > \lambda_2$ أي أن المادة N_1 أسرع تفككاً وبالتالي أقصر عمراً أي $T_1 < T_2$. فبعد زمن كافٍ $T_1 \gg t$ يصبح الحد $e^{-\lambda_1 t}$ في (4) مهملاً أمام $e^{-\lambda_2 t}$ ويكون عندئذ:

$$N_2 = \frac{I_1}{I_1 - I_2} N_1^0 e^{-\lambda_2 t}$$

أي يتفكك N_2 حسب سرعته الخاصة (التي يحددها المضروب الأسّي λ_2).

ثانياً: $\lambda_1 < \lambda_2$ أي أن المادة N_2 أسرع تفككاً، فبعد زمن $T_2 \gg t$ يكون $\exp(-\lambda_2 t) \ll \exp(-\lambda_1 t)$ ونجد من المعادلة (4):

$$N_2 = \frac{I_1}{I_2 - I_1} N_1^0 e^{-\lambda_1 t}$$

أي أن المادة الأم تفرض على المادة الوليدة سرعتها الخاصة، واعتماداً على العلاقة الأخيرة نكتب:

$$\frac{N_2}{N_1} = \frac{I_1}{I_2 - I_1}$$

أي أن نسبة كميتي المادتين تبقى ثابتة، واعتماداً على المعادلة السابقة وبعد ضرب طرفيها بـ λ_2 / λ_1 نجد:

$$\frac{I_2 N_2}{I_1 N_1} = \frac{I_2}{I_2 - I_1} \quad (5)$$

أي أن نسبة نشاطي المادتين تبقى ثابتة، وتسمى هذه الحالة توازناً إشعاعياً انتقالياً Transient Equilibrium.

ثالثاً: إذا كان $\lambda_1 \ll \lambda_2$ فإن المعادلة السابقة تسمح بكتابة العلاقة:

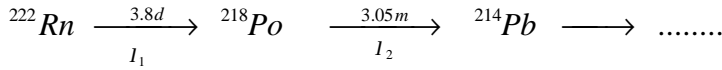
$$\lambda_1 N_1 = \lambda_2 N_2 \quad (6)$$

أي أن نشاطي المادتين متساويين، ونحصل على ما يسمى بالتوازن الدائم Secular Equilibrium. ولنتأكد أن المعادلة السابقة لا تصح إلا من أجل $t \gg T_2$.

ويستفاد من معادلة التوازن الدائم (6) على نطاق واسع لتعيين أدوار المواد المشعة الطويلة الأعمار شريطة تحقق الشرط:

$$T_1 \gg t \gg T_2$$

وكمثال على التوازن الانتقالي نذكر التوازن بين الرادون 222 ونواتج تفككه:



إذ يتحول الرادون 222 إلى البولونيوم 218 ويطلق هذا الأخير جسيمات ألفا متحولاً إلى الرصاص 214. ونلاحظ من السلسلة السابقة أن $T_1 = 3.8d > T_2 = 3.05m$ أي أن $\lambda_2 > \lambda_1$ وبالتالي فإن البولونيوم 218 أسرع تفككاً من الرادون 222. ولذا فإنه بعد مرور نصف ساعة على عزل غاز الرادون 222 عن الراديوم 226 يصبح الحد $e^{-\lambda_2 t}$ الخاص بـ ^{218}Po في المعادلة (4) مساوياً 0.001 تقريباً بينما لا يختلف عندئذ الحد $e^{-\lambda_1 t}$ الخاص بالرادون 222 عن الواحد إلا بمقدار زهيد إذ يساوي 0.996 أي أنه يكفي مرور نصف ساعة على مزيج الرادون ونواتجه حتى يتفكك هذا المزيج بدور يساوي دور الرادون.

وبعد زمن t بحيث $T_1 \gg t \gg T_2$ فإن توازناً دائماً يحدث بحيث يكون نشاط الرادون 222 مساوياً لنشاط البولونيوم 218، ونكتب:

$$N_1 \lambda_1 = N_2 \lambda_2$$

ومن الممكن تعميم النتائج السابقة: فإذا كان عمر المادة المشعة الأم أطول بكثير من عمر أنسالها كافة فإن الأسرة (أو السلسلة) تسعى نحو حالة توازن. وعندئذ يتفكك أفرادها بسرعة تفكك المادة الأم وتكون نشاطات كافة الأفراد متساوية:

$$\lambda_1 N_1 = \lambda_2 N_2 = \dots\dots\dots = \lambda_n N_n$$

أو:

$$\frac{N_1}{T_1} = \frac{N_2}{T_2} = \dots\dots\dots = \frac{N_n}{T_n}$$

مثال (1):

إذا علمت أن دور الراديوم $^{226}_{88}\text{Ra}$ يساوي 1620 سنة ويتولد عنه الرادون 222 بعمر نصف 3.8 يوماً والبولونيوم 218 بعمر نصف 3.05 دقيقة والرصاص 214 بعمر نصف 26.8 دقيقة، فاحسب كتل العناصر الثلاثة الأخيرة الناتجة عن جرام من الراديوم عند التوازن.

الحل:

عمر نصف الراديوم 226:

$$T_{Ra} = 1620 \text{ y} = 5.11 \times 10^{10} \text{ s}$$

عمر نصف الرادون 222:

$$T_{Rn} = 3.8 \text{ d} = 328320 \text{ s}$$

عمر نصف البولونيوم 218:

$$T_{Po} = 3.05 \text{ m} = 183 \text{ s}$$

عمر نصف الرصاص 214:

$$T_{Pb} = 26.8 \text{ m} = 1608 \text{ s}$$

ولنحسب عدد ذرات الراديوم 226:

$$N_{Ra} = \frac{6.02 \times 10^{23}}{226} = 2.66 \times 10^{21} \text{ atoms}$$

وعند التوازن يكون:

$$\frac{N_{Ra}}{T_{Ra}} = \frac{N_{Rn}}{T_{Rn}} = \frac{N_{Po}}{T_{Po}} = \frac{N_{Pb}}{T_{Pb}}$$

ومنها نجد:

$$N_{Rn} = \frac{T_{Rn}}{T_{Ra}} N_{Ra} = 1.71 \times 10^{16} \text{ atoms}$$

ولحساب كتلة الذرات السابقة نكتب:

$$6.02 \times 10^{23} \text{ ذرة} \quad \text{تحتوي} \quad 222 \text{ g}$$

$$1.71 \times 10^{16} \text{ ذرة} \quad \text{تحتوي} \quad m_{Rn}$$

ومنه يكون لدينا من الرادون عند التوازن:

$$m_{Rn} = 6.31 \times 10^{-6} \text{ g}$$

وبنفس الطريقة نجد من أجل البولونيوم والرصاص:

$$m_{Po} = 3.39 \times 10^{-9} \text{ g}$$

$$m_{Pb} = 2.98 \times 10^{-8} \text{ g}$$

4.2- أنواع التفكك الإشعاعي:

توجد ثلاثة أنماط للنشاط الإشعاعي تعرف بتفكك ألفا α ، تفكك بيتا β وتفكك جاما γ .

1.4.2- تفكك ألفا:

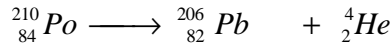
يحدث تفكك ألفا، على الغالب، في حالة الذرات الثقيلة المشعة الموافقة للحالة:

$Z > 82$ أي في حالة العناصر المشعة الطبيعية وعناصر ما بعد اليورانيوم. وقد عرف، حتى عام 1960 حوالي 140 نواة مشعة لجسيمات α معظمها من أجل $Z > 82$ ، منها حوالي 25 نواة طبيعية والباقي نوى صناعية.

بفرض ${}_Z^A x$ النواة الأم، فإن قانوني حفظ عدد النيوكليونات وحفظ الشحنة يسمحان بكتابة:



وتكون النواة y الناتجة إما مستقرة أو إما غير مستقرة فيمكنها إصدار جسيم α أو β . وهذه الأخيرة، وبعد إصدار α أو β ، يمكن أن تكون في حالتها الأساسية مثل نواة البولونيوم 210 في التفكك التالي:



أو في إحدى حالاتها المثارة فتعود إلى حالتها الأساسية بإصدار فوتون γ .

إذا كانت النواة البنت مثارة في مستويات مختلفة من الطاقة عوضاً عن أن تكون في حالتها الأساسية، فإن العنصر المدروس تنبثق عنه عدة مجموعات من جسيمات α لكل مجموعة طاقة معينة. ويمثل الشكل (4) مخططاً لبعض الحالات المثارة للتنتال ${}^{208}Tl$ الناتج عن تفكك α بدءاً من ${}^{212}Bi$. فالأسهم المائلة تمثل قفزات الطاقة المرتبطة بإصدارات مختلفة لجسيمات α . وقد رسمت الأسهم السابقة مائلة إلى اليسار للتعبير عن تناقص العدد الذري للنواة البنت. أما الأسهم الشاقولية فتُمثل قفزات الطاقة بين سويتين لنواة التنتال وهي قفزات يرافقها إصدار إشعاعات γ .

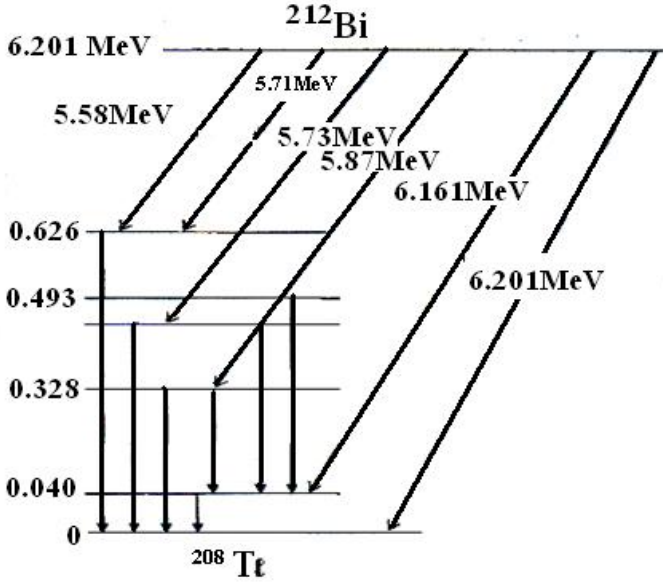
وتتراوح طاقة جسيمات α بين 4 و 9 MeV وبالتالي تتراوح سرعتها بين 14 ألف و 20 ألف كم/ثا، فهي أصغر من $0.1c$ (30 ألف كم/ثا)، ولهذا سنستخدم الميكانيك النيوتني بدلاً من النسبي عند دراسة تفكك ألفا.

بالعودة للمعادلة (7)، وبفرض E_i الطاقة الكلية للنواة x الساكنة قبل التفكك وأن E_f الطاقة الكلية بعد التفكك وبتطبيق قانون حفظ الطاقة نكتب:

$$E_i = E_f$$

أو:

$$M_p c^2 = M_d c^2 + K_d + m_\alpha c^2 + K_\alpha$$



الشكل (4)

حيث K_d و K_α طاقتا الحركة للنواة البنت وجسيم α على الترتيب. وبالتالي فإن:

$$Q = [M_p - M_d - m_\alpha] c^2 = K_d + K_\alpha$$

حيث Q طاقة التفكك الكلية وتساوي الطاقة الحركية الكلية المتاحة في هذا التفكك. وليحدث التفكك التلقائي، يجب أن تكون Q موجبة.

واعتماداً على ذلك فإن شرط التفكك هو:

$$M_p > M_d + m_\alpha$$

ولحساب طاقة حركة جسيم α المنبعث نكتب:

$$Q = K_d + K_a = \frac{1}{2} M_d J_d^2 + \frac{1}{2} m_a J_a^2$$

حيث استخدمنا الميكانيك الكلاسيكي للتعبير عن K_d و K_α لأن سرعات جسيمات α ، وكما رأينا، أقل من السرعات النسبية.

ومن قانون حفظ كمية الحركة، نكتب:

$$M_d v_d = m_\alpha v_\alpha$$

وبتعويض قيمة v_d من هذه المعادلة بالمعادلة التي قبلها نجد:

$$Q = \frac{1}{2} M_d \left(\frac{m_a}{M_d} J_a \right)^2 + \frac{1}{2} m_a J^2 = K_a \left(\frac{m_a}{M_d} + 1 \right)$$

ومنه:

$$K_a = \frac{M_d}{M_d + m_a} Q$$

ومن المقبول أن نعوض عند M_d بـ $A - 4$ وعن $m_\alpha + M_d$ بـ A فنجد:

$$K_a \approx \frac{A-4}{A} Q$$

ونظراً لأن A كبير عادةً فإن $(A - 4) / A \approx 1$ ، أي:

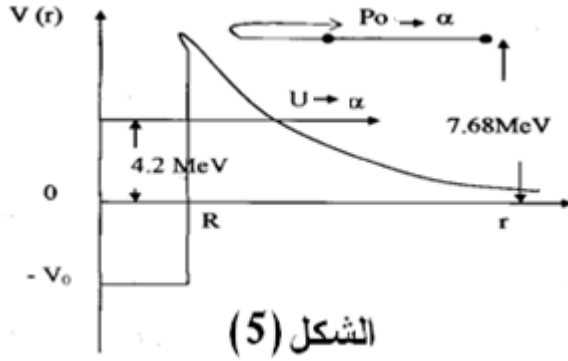
$$K_\alpha \approx Q$$

أي أن جسيمات α المنبعثة تحمل معظم طاقة التفكك Q ، وبالتالي فإن طاقة ارتداد النواة البنت مهملة، $K_d \approx 0$.

إن فهم إصدار جسيمات ألفا متعذر اعتماداً على الميكانيك الكلاسيكي، وبشكل المثال التالي يوضحاً لما نقول.

تتفكك نواة البولونيوم 214 بإصدار جسيمات α بطاقة 7.68 MeV. وعند ورود هذه الجسيمات على رقاقة من اليورانيوم 238 لوحظ أنها نشئت، أي أن نواة اليورانيوم $^{238}_{92}U$ لا تمتص جسيمات ألفا الساقطة عليها وذلك لأن طاقتها 7.68 MeV غير كافية لاختراق حاجز كولون التنافري بينهما كما هو موضح في الشكل (5).

من جهة أخرى نجد أن نواة اليورانيوم 238 تتفكك بإصدار جسيمات ألفا بطاقة 4.2 MeV. ونرى، كما هو موضح بالشكل (5)، أن الطاقة السابقة ليست كافية لتغلب على حاجز الجهد الكولوني التنافري، ويتمثل التناقض في أن جسيمات ألفا الصادرة عن البولونيوم 214 وبطاقة 7.68 MeV لا تستطيع اختراق حاجز كولون، بينما جسيمات α الصادرة عن نواة اليورانيوم ^{238}U تستطيع ذلك بالرغم من أن طاقتها أقل من تلك الصادرة عن نواة البولونيوم 214.

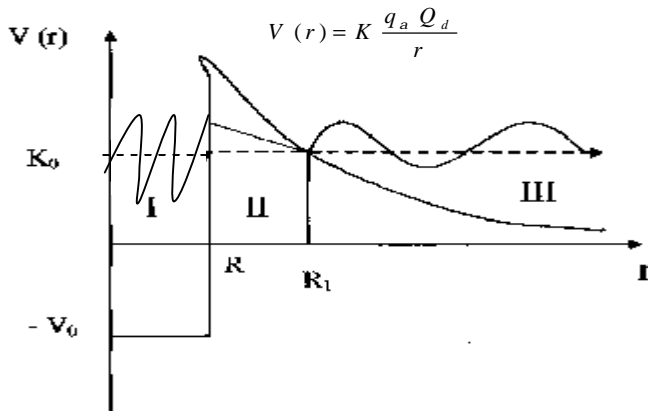


وقد تم تفسير التناقض السابق اعتماداً على ميكانيك الكم. وكان من أولى نجاحات ميكانيك الكم هي تطبيقه على تفكك ألفا، وقد قام بذلك، عام 1928، جاموف Gamow وغيره. وفيما يلي شرح مبسط لنظرية تفكك ألفا حسب ميكانيك الكم.

1.1.4.2- نظرية تفكك جسيمات ألفا:

يفسر ميكانيك الكم عملية تفكك ألفا اعتماداً على الفرضين التاليين:

- 1- يمكن أن يتواجد جسيم α داخل النواة كوحدة قائمة بذاتها.
- 2- يكون جسيم ألفا في حركة دائمة داخل النواة وواقعاً تحت تأثير جهد مماثل للجهد المبين في الشكل (6).



وتكون حركة جسيم ألفا محدودة بالحجم الكروي الناتج عن جهد النواة البنت ويتحرك جسيم ألفا جيئةً وذهاباً داخل حاجر الجهد، وعند لحظة تكون فيها الظروف مهيئة يخرج جسيم ألفا من حاجر الجهد. وحسب الميكانيك التقليدي فإن طاقة جسيم ألفا ليست كافية ليتسلق حاجر الجهد ويخرج من النواة. أما حسب ميكانيك الكم، فإن احتمال وجود جسيم ألفا في عنصر الحجم dv يتعين بالجداء $\Psi^* dv \Psi$ حيث Ψ هو التابع الموجي الذي يمثل الجسيم α بتابعية الإحداثيات والزمن. ونظراً لاستمرار Ψ فإن احتمال وجود الجسيم في المنطقة II من الشكل (6) غير معدوم، كما لو كان هناك ثقب في هذا الحاجر الجهد. وتسمى ظاهرة اختراق جسيمات ألفا للحاجز الكولوني بمفعول النفق Tunneling Effect. وبحسب احتمال مرور الجسيم عبر الحاجر الجهدى انطلاقاً من معادلة شرودنجر (انظر الملحق A)، وقد تبين أن هذا الاحتمال D ، والمسمى غالباً نفاذية الحاجر الجهدى، يساوي:

$$D = \exp \left[-\frac{2\sqrt{2m_a}}{\hbar} \int_R^{R_1} \sqrt{V(r) - K_a} dr \right]$$

حيث $V(r)$ طاقة الجسيم الكامنة، K_a طاقته الحركية، m_a كتلته، \hbar ثابت بلانك مقسوماً على 2π ، R و R_1 معرفان بالشكل (6).

وفي وسعنا الآن حساب احتمال التفكك أي إصدار جسيم α في الثانية الواحدة. فيكفي ضرب D بـ n عدد تصادمات جسيم α بالحاجز الجهدى في الثانية.

ويمكن حساب عدد التصادمات في الثانية الواحدة بقسمة متوسط سرعة الجسيم على قطر النواة، أي عدد التصادمات في الثانية الواحدة يساوي:

$$n = \frac{J}{2R} = \sqrt{K_a / 2m_a} R^2$$

وبالتالي احتمال تفكك λ يُعطى بالعلاقة:

$$I = nD = \sqrt{K_a / 2m_a} R^2 \exp \left[-\frac{2\sqrt{2m_a}}{\hbar} \int_R^{R_1} \sqrt{V(r) - K_a} dr \right]$$

وتفسر العلاقة السابقة تابعية احتمال تفكك α للطاقة K_a .

وكما نرى فإنه بازدياد طاقة جسيمات α يزداد احتمال التفكك بل يزداد بسرعة كبيرة.

وسبب هذا هو أن التابع الأسّي في العلاقة السابقة يتوقف بشدة على المقادير الداخلة في الأس أي على التكامل الذي يتوقف بدوره على $R_1 - R$ المسمى عرض الحاجز الجهدي، وعلى ارتفاع الحاجز فوق K_α أي على $V(r) - K_\alpha$. فكلما زاد هذان المقداران نقص احتمال النفوذ عبر الحاجز. فعند ما تزداد K_α ينقص كلا المقدارين المذكورين فينقص الأس ويزداد λ بشدة نتيجة لذلك. ولا تكشف مقارنة العلاقة الأخيرة بالمعطيات التجريبية عن اتفاق كيمي فسحب بل وعلى اتفاق كمي جيد أيضاً.

ولكن لماذا يخرج جسيم α دون سواه كالبروتون أو الديترون أو حتى نواة ${}^6_3\text{Li}$ ؟ الجواب هو أن طاقة ارتباط جسيم α كبيرة جداً 28.3 MeV . ويتبع هذا أن الطاقة المحررة عند مغادرة جسيم α النواة تكون عظيمة.

مثال (2):

احسب جهد كولون المؤثر على جسيم ألفا عند سطح نواة البولونيوم ${}^{212}_{84}\text{Po}$ لحظة انطلاقه منها، ماذا تستنتج؟

الحل:

النواة الناتجة هي نواة الرصاص ${}^{208}_{82}\text{Pb}$. ولحساب جهد كولون

$$V(r) = K \frac{qQ}{r}$$

$$r = R_\alpha + R_{\text{Pb}} \quad \text{نحسب}$$

$$R_\alpha = r_0 A^{1/3} = 1.2 (4)^{1/3} = 1.9 \text{ F}$$

$$R_{\text{Pb}} = r_0 A^{1/3} = 1.2 (208)^{1/3} = 7.1 \text{ F}$$

$$r = 9\text{F} = 9 \times 10^{-15} \text{ m} \quad \text{وبالتالي فإن}$$

ومنه:

$$V_0 = 9 \times 10^9 \frac{2e^2 \cdot 82}{9 \times 10^{-15}} = 4.2 \times 10^{-12} \text{ J} = 26.25 \text{ MeV}$$

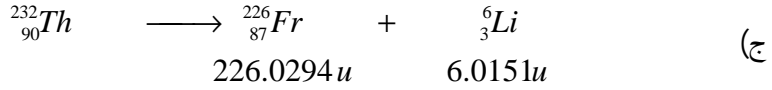
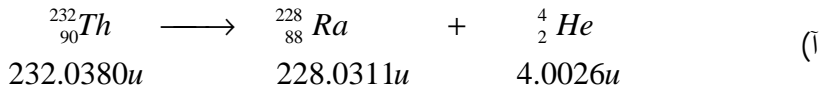
إن جسيم α المنطلق من البولونيوم 212 يملك طاقة حركة تساوي 5.3 MeV . وبما أن هذه الطاقة تقاس عادة على بعد كبير من النواة (مقارنة مع نصف قطر النواة) فإنه يمكن

اعتبار أن الطاقة الكامنة تساوي الصفر. ولكن عند سطح النواة فإن الطاقة الكامنة تساوي 26.25 MeV فكيف تنطلق جسيمات α بطاقة 5.3 MeV؟

لكي يصدر جسيم ألفا حسب الفيزياء الكلاسيكية يجب أن تزيد طاقة حركته (أو تساوي على الأقل) ارتفاع جهد الحجز والذي في حالة البولونيوم 212 يساوي 26.25 MeV، لكن يمكن تفسير عملية تفكك α حسب النظرية الكمية، وهذا ما قمنا به في الفقرة السابقة.

مثال (3):

بين أي التفككات التالية ممكن



ماذا تستنتج؟

الحل:

$$\begin{aligned} Q_{\alpha} &= (232.0380 - 228.0311 - 4.0026) u c^2 \\ &= 4 \text{ MeV} \end{aligned} \quad (\text{أ})$$

أي $Q_{\alpha} > 0$ والتفكك ممكن.

$$\begin{aligned} Q_{\text{H}} &= (232.038 - 229.0329 - 3.0160) u c^2 \\ &= -10 \text{ MeV} \end{aligned} \quad (\text{ب})$$

أي أن $Q_{\text{H}} < 0$ والتفكك غير ممكن.

$$\begin{aligned} Q_{\text{Li}} &= (232.038 - 226.0294 - 6.0151) u c^2 \\ Q_{\text{Li}} &= -6 \text{ MeV} \end{aligned} \quad (\text{ج})$$

أي أن $Q_{\text{Li}} < 0$ والتفكك غير ممكن

إن متوسط طاقة الارتباط ϵ_H لنظير الهيدروجين 3 ومتوسط طاقة الارتباط ϵ_{Li} لنظير الليثيوم، أصغر من متوسط طاقة الارتباط لنظير الهيليوم 4. ولهذا فإن مقدرة جسيم α على مغادرة النواة ^{232}Th تكون عظمى، مقارنة مع النظائر الأخرى. تأكد من ذلك بحساب متوسط طاقات الارتباط ϵ_{Li} , ϵ_{He} , ϵ_H .

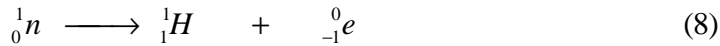
2.4.2 – تفكك بيتا Beta Decay

يتميز هذا النمط بتحويلات آيزوبارية (أي يبقى عدد النيوكلونات ثابتاً) مصحوبة بإصدار الكترونات سالبة أو موجبة أو أسر الكتروني.

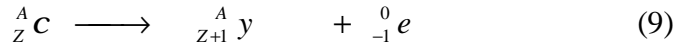
ويحدث تفكك بيتا بسبب خلل في النسبة بين البروتونات والنيوترونات في النواة حيث لا تملك هذه الأخيرة طاقة كافية لإصدار نيوكلون أو أكثر لتعديل تلك النسبة؛ فيتحول بروتون لنيوترون أو يحدث العكس لتصبح النواة أكثر استقراراً. وتوجد، وكما أشرنا، ثلاث عمليات مختلفة يمكن للنواة من خلالها تغيير هذه النسبة هي:

1.2.4.2 – تفكك بيتا السالب:

يتحول، في التفكك، نيوترون إلى بروتون داخل النواة كما يلي:



ويؤدي هذا لزيادة عدد البروتونات في النواة ${}_Z^A C$ ، واعتماداً على قانوني حفظ عدد النيوكلونات والشحنة نكتب:



واعتماداً على قانون حفظ الطاقة نكتب:

$$M_p c^2 = M_d c^2 + K_d + m_e c^2 + K_e$$

وكما برهنا، في تفكك α أن طاقة ارتداد النواة البنت مهمة فإن K_d طاقة ارتداد النواة ${}_Z^A y$ مهمة. وبالتالي نكتب:

$$(M_p - M_d - m_e) c^2 = K_e$$

وبالتعويض، في العلاقة السابقة، عن كتل النوى بكتل الذرات الموافقة باستخدام العلاقتين:

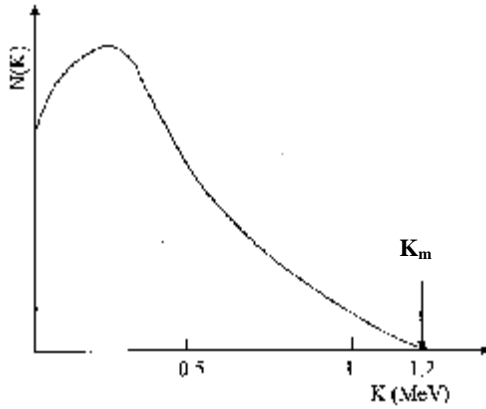
$$M(Z) = M_p + Zm_e$$

$$M(Z+1) = M_d + (Z+1)m_e$$

نجد أن طاقة تفكك بيتا السالب تعطى بالعلاقة:

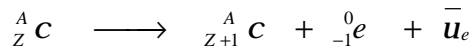
$$Q = [M(Z) - M(Z+1)] c^2 = K_e \quad (10)$$

ويتضح من العلاقة السابقة أن طاقة جسيم β^- يجب أن تساوي قيمة محددة من الطاقة. ولكن تبين التجربة أن طاقة جسيم β^- تتغير من الصفر إلى قيمة عظمى K_m قيمتها تتبع للنواة الأم كما في الشكل (7)، الذي يمثل طيف أشعة β^- المنطلقة من البزموت $^{214}_{83}Bi$ حيث يلاحظ أن الطاقة العظمى لجسيمات β^- تساوي 1.2MeV تقريباً.



الشكل (7)

ولتفسير الحالة السابقة فرض باولي وجود النيوتريـنو u_e ومضاده \bar{u}_e والذي يجب أن يظهر في المعادلتين (8) و(9). واعتماداً على ذلك نعيد كتابته المعادلتين السابقتين كما يلي:

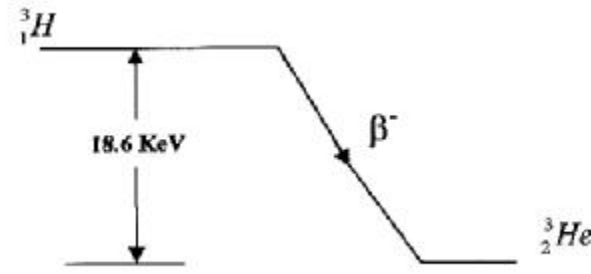


وبالتالي نعيد كتابة المعادلة (10) كما يلي:

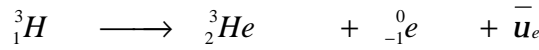
$$Q = K_e + K_{\bar{u}} = K_m$$

حيث K_m الطاقة العظمى للالكترونـون عندما تكون $K_{\bar{u}}=0$ ، أو الطاقة العظمى لمضاد النيوتريـنو عندما تكون $K_e=0$.

ومن أشهر الأمثلة على تفكك β^- تفكك التريتيوم 3_1H نظير الهيدروجين الثقيل إلى هيليوم 3 كما يلي:



الشكل (8)



ويمثل التفكك السابق كما في الشكل (8)، حيث يدل ميلان مستويات الطاقة إلى اليمين على زيادة العدد الذري.

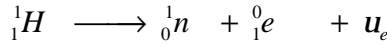
وتعتبر عملية تفكك β^- أكثر عمليات تفكك بيتا شيوعاً.

وبما أن K_e في المعادلة (10) موجبة فإن شرط تفكك β^- هو:

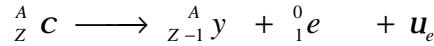
$$M(Z) > M(Z+1) \quad (11)$$

2.2.4.2 – تفكك بيتا الموجب:

في هذا التفكك يتحول بروتون إلى نيوترون داخل النواة كما يلي:



وبما أن كتلة البروتون أصغر من كتلة النيوترون فإن هذه العملية لا يمكن أن تتم تلقائياً ولا بد من أن تزود النواة البروتون بطاقة حيث نكتب عملية التفكك كما يلي:



ونبرهن كما برهنا في تفكك بيتا السالب أن طاقة تفكك بيتا الموجب تعطى بالمعادلة:

$$Q = [M(Z) - M(Z-1) - 2m_e] c^2 = K_m$$

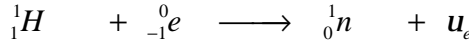
وبالتالي فإن شرط تفكك β^+ يُعطى كما يلي:

$$M(Z) > M(Z-1) + 2m_e \quad (12)$$

ويمكن تفسير إصدار β^+ كما يلي: إذا كانت الطاقة المسببة لإثارة النواة ${}^A_Z C$ أكبر من $2m_e c^2$ يمكن لجزء من هذه الطاقة مقداره $2m_e c^2$ أن يتحول لمادة وينتج زوجاً (e^+ , e^-) كما يلي:

$$2 m_e c^2 \rightarrow e^- + e^+$$

فيفاعل الالكترون e^- مع بروتون في النواة كما يلي:



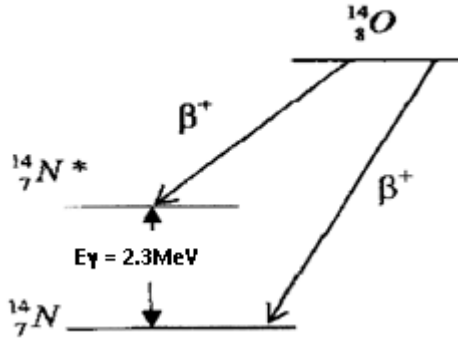
وينطلق البوزيترون e^+ ، حيث يمكن أن نكتب:



ويعتبر نظير الأوكسجين ${}^{14}_8O$ أهم مصادر β^+ حيث يتفكك كما يلي:



وتتم العملية السابقة بطريقتين مختلفتين كما في الشكل (9) (ويدل ميلان مستويات الطاقة إلى اليسار إلى نقصان العدد الذري):



الشكل (9)

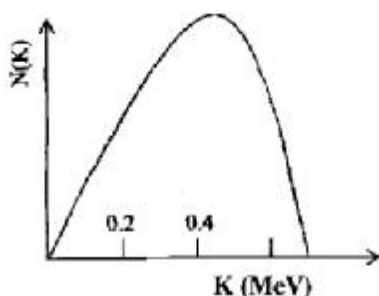
1— تتطلق أشعة β^+ بطاقة عظمى تساوي 1.8 MeV حيث تتحول نواة الأوكسجين إلى النواة ${}^{14}_7N^*$ المثارة حيث تطلق أشعة جاما لتصل بعد ذلك للاستقرار.

2— تتطلق أشعة β^+ بطاقة 4.1 MeV وتتحول النواة ${}^{14}_8O$ إلى نواة النيتروجين المستقرة.

ويبين الشكل (10) طيف أشعة β^+ الصادر عن النحاس $^{64}_{29}\text{Cu}$. ويتضح من هذا الشكل الخلاف بين هذا الطيف وطيف أشعة β^- (شكل 6)، حيث يُلاحظ نقصان كبير في عدد البوزيترونات من أجل الطاقة المنخفضة مقارنة مع عدد الإلكترونات في الشكل (7).

ويمكن فهم هذا الاختلاف بدفع النواة للبوزيترونات فتزيد من سرعتها. وعلى العكس، في تفكك β^- ، فإن النواة تجذب الإلكترونات مما ينقص من سرعتها.

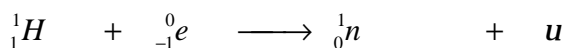
وتعتبر المصادر الإشعاعية التي تعطي أشعة بيتا الموجبة نادرة الوجود في الطبيعة، ولكن يمكن إنتاجها صناعياً.



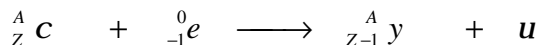
الشكل (10)

3.2.4.2 – الأسر الإلكتروني Electron Capture EC

إذا كانت نسبة البروتونات في النواة كبيرة نسبياً وكانت الطاقة المسببة لإثارة النواة ^A_ZC (أي طاقة التفكك) أصغر من $2m_e c^2$ فلا يتحقق شرط إطلاق أشعة β^+ . فيمكن للنواة أن تأسر الكترونًا من الطبقة K الأقرب للنواة، ويتفاعل الإلكترون مع أحد البروتونات حسب المعادلة:



أو نكتب:



وتعتبر هذه العملية، والتي تعرف بأسر الكترون، مكافئة لإطلاق جسيم β^+ ، وذلك لأن امتصاص الكترون مكافئ لإطلاق بوزيترون.

وتعطى طاقة التفكك بالمعادلة:

$$Q = [M(Z) - M(Z-1)] c^2 - B_K(Z-1) = K_m$$

حيث $B_K(Z-1)$ طاقة ارتباط الكترون من الطبقة K في الذرة التي عددها الذري $(Z-1)$.

وبالتالي فإن شرط الأسر الالكتروني EC يُعطى كما يلي:

$$[M(Z) - M(Z-1)] c^2 > B_K(Z-1) \quad (13)$$

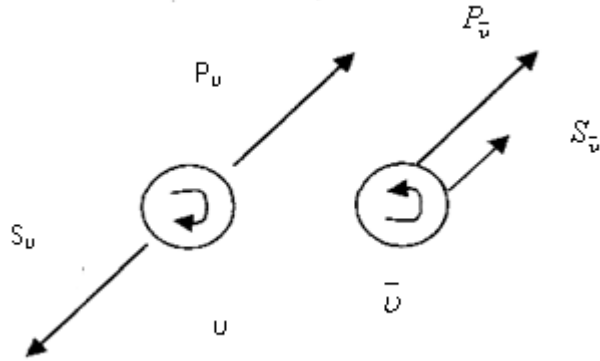
تجدر الإشارة هنا إلى أن تفكك β^+ والأسر الالكتروني هما تحولان يسمحان للنواة $M(Z)$ بالتحول إلى النواة البنت $M(Z-1)$ أي أنهما تحولان لنفس الأيزوبار. وبما أن $B_K(Z-1) < 2m_e c^2$ فإنه يمكن القول إن تحقق الشرط (12) يعني التحقق الحتمي للشرط (13). لكن عندما يكون:

$$B_K(Z-1) < [M(Z) - M(Z-1)] c^2 < 2m_e c^2$$

فإن حادثة الأسر الالكتروني هي الممكنة فقط.

لنذكر أخيراً أن الطاقة المحررة أثناء تفكك β تتراوح بين 18.6 keV و 13.4 MeV (في تحول $^{12}_5B$ إلى $^{12}_6C$). ولهذا فإن سرعة جسيمات β تتراوح بين $0.25c$ و $0.999c$ فهي أكبر من $0.1c$. وبالتالي فإن سرعات جسيمات β سرعات نسبية. ولذلك لا تصلح الفيزياء الكلاسيكية لدراسة حركة هذه الجسيمات ويجب استخدام الفيزياء النسبية.

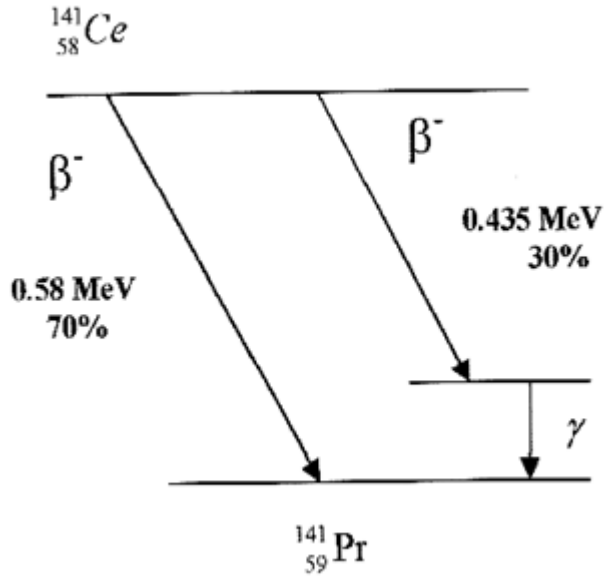
ولنذكر أيضاً أن النيوترينو ν ومضاده $\bar{\nu}$ ليس لهما شحنة وكتلة كل منهما معدومة أو تقريباً تساوي الصفر. والفرق بينهما هو أن السبين وكمية الحركة متعاكسان في النيوترينو ومتفقان في الجهة في مضاد النيوترينو كما في الشكل (11).



الشكل (11)

مثال (4)

بالاعتماد على الشكل (12) احسب كتلة النواة $^{141}_{58}\text{Ce}$ ثم احسب الطاقة الحركية للنواة المرتدة K_d عندما يكون $K_m = 0.58 \text{ MeV}$ علماً أن كتلة البراسوديوم $M_{pr} = 140.9076 \text{ u}$



الشكل (12)

الحل:

أولاً: نحسب كتلة نواة السيريوم اعتماداً على طاقة التفكك:

$$Q = [M(58) - M(59)] c^2 = 0.58 \text{ MeV} \Rightarrow$$

$$M(58) = [M(59) + \frac{0.58}{931.48}] = 140.9082 u$$

وهذه هي طريقة التفكك الإشعاعي لقياس كتلة النواة والتي ذكرناها في الفصل الأول.

ثانياً: من أجل الطاقة العظمى K_m يكون $P_n = 0$ وبالتالي فإن حفظ كمية الحركة يؤدي إلى:

$$P_m = P_d$$

حيث P_m كمية الحركة لجسيم β^- و P_d كمية الحركة للنواة المرتدة.

$$P_m^2 = 2 M_d K_d \quad \text{أي} \quad P_d^2 = 2 M_d K_d$$

وبما أن β^- جسيم نسبي فإن كمية حركته P_m تحقق العلاقة:

$$P_m^2 c^2 = K_m (K_m + 2m_e c^2)$$

وبالتعويض عن قيمة P_m^2 نجد:

$$2M_d K_d c^2 = K_m (K_m + 2m_e c^2)$$

ومنه:

$$\begin{aligned} K_d &= \frac{1}{2M_d c^2} K_m (K_m + 2m_e c^2) \\ &= \frac{0.58 (0.58 + 2 \times 0.51)}{2 \times 141 \times 931.48} \\ &= 3.53 \times 10^{-6} \text{ MeV} \end{aligned}$$

أي أن طاقة الحركة K_d للنواة المرتدة صغيرة جداً وهي مهملة.

4.2.4.2 – نظرية تفكك بيتا:

في عام 1932، استخدم فيرمي Fermi فرضية النيوتريو لباولي لوضع نظرية تفسر أطيايف الطاقة لتفكك β (الشكلان 7 ، 10). وطبقاً للنظرية السابقة، فإنه يوجد تفاعل بين النيوترون والالكترون ومضاد النيوتريو (أو البروتون والبوزيترون والنيوتريو) يجعل النيوترون يتحول إلى بروتون (أو البروتون إلى نيوترون)، وفي نفس الوقت يخرج الالكترون ومضاد النيوتريو (أو البوزيترون والنيوتريو).

وهذا التفاعل ضعيف جداً، له مدى قصير جداً أو حتى ربما يكون تفاعلاً نقطياً. وهذا التفاعل الذي ينتج عنه تفكك β يُسمى التفاعل الضعيف Weak Interaction. وحسب نظرية فيرمي السابقة، فإن ثابت تفكك بيتا يعطى بالمعادلة التالية:

$$I = |P|^2 \frac{g^2 (m_0 c^2)^5}{2p^3 h^7 c^6} f(Z, W_0)$$

حيث:

$|P|^2$: مربع عنصر مصفوفة الانتقال.

g : ثابت فيرمي، حيث $g \approx 10^{-49} \text{ cm}^3 \cdot \text{erg}$.

$m_0 c^2$: الكتلة السكونية للإلكترون.

$f(Z, W_0)$: تابع فيرمي التكاملي والذي يتبع لشحنة النواة Z وطاقة التفكك W_0 وإشارة جسيم β .

واعتماداً على المعادلة السابقة وعلى العلاقة بين λ ومتوسط العمر $\lambda = 1/\tau$ ، نكتب:

$$f(Z, W_0) \cdot t = \frac{2p^3 h^7 c^6}{|P|^2 g^2 (m_0 c^2)^5}$$

فمن أجل نواة معينة، مصدرة لجسيمات β ، فإنه بالإمكان قياس τ وطاقة التفكك تجريبياً وبالتالي نتمكن من تحديد الجداء $f(Z, W_0) \cdot \tau$ الذي يتبع لمربع عنصر المصفوفة $|P|^2$.

3.4.2 – تفكك جاما Gamma Decay:

عندما تتفكك نواة بإصدار جسيمات ألفا أو بيتا أو أية جسيمات أخرى فإن النواة البنت تكون في مستوى مثار. فإذا كانت طاقة الإثارة للنواة البنت غير كافية للتفكك بخروج جسيم آخر فإنها تتفكك بواسطة إحدى الطرق التالية:

أ – إصدار أشعة جاما،

ب – التحول الداخلي.

ج – توليد زوج: الكترون – بوزيترون.

إن التفكك عن طريق إصدار أشعة جاما أو التحول الداخلي هو الغالب في معظم الأحيان. أما توليد الزوج فيحدث من أجل الطاقات الأكبر من 1.02 MeV والذي يحدث في حالة النوى

الخفيفة. وسنتحدث الآن عن إصدار أشعة جاما والتحول الداخلي ونترك حادثة توليد الزوجين للفصل الرابع.

1.3.4.2 – إصدار اشعة جاما Gamma Rays Emission :

لنفرض النواة M ساكنة قبل إصدار أشعة جاما، لكن بعد الإصدار لأشعة جاما $h\nu$ فإن النواة البنت m ترتد بطاقة حركة K_r كما في الشكل (13).

واعتماداً على قانون حفظ الطاقة نكتب:

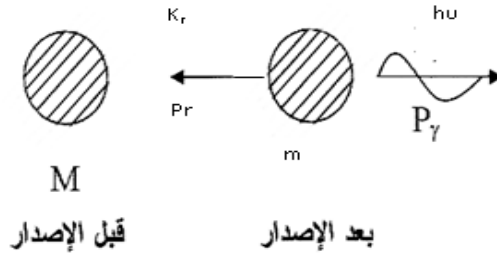
$$Mc^2 = mc^2 + K_r + h\nu \quad (14)$$

واعتماداً على قانون حفظ كمية الحركة فإن:

$$P_r = P_\gamma$$

واعتماداً على ما سبق نكتب طاقة الحركة K_r كما يلي:

$$K_r = \frac{P_r^2}{2m} = \frac{P_\gamma^2}{2m} = \frac{(h\nu)^2}{2mc^2}$$



الشكل (13)

ومن أجل نواة متوسطة الكتلة ($A = 50$) تصدر فوتونات جاما بطاقة 1 MeV نجد:

$$K_r = \frac{(1\text{MeV})^2}{2 \times 50 \times 931 \text{ MeV}} = 10.7 \text{ eV}$$

وبالتالي فإن طاقة ارتداد النواة البنت K_r يمكن إهمالها. ولذا فإن المعادلة (14) تكتب كما

يلي:

$$h\nu \cong (M - m)c^2$$

فإذا فرضنا أن الحالة الابتدائية للنواة $E_i = M c^2$ والحالة النهائية للنواة فإن:

$$h\nu = \Delta E = E_i - E_f$$

ونستنتج من ذلك أن طيف أشعة جاما الصادر عن النوى المثارة يتكون من طاقة محددة، أي أنه طيف خطي. ويدل هذا على أن النواة مثلها مثل الذرة لها مستويات محددة.

2.3.4.2 – التحول الداخلي Internal Conversion

التحول الداخلي هو شكل آخر لتفكك جاما. فإذا كان لدينا نواة في حالة إثارة، فبدلاً من أن تصدر أشعة جاما فإنها يمكن أن تتفكك عن طريق إعطاء طاقة بإثارتها إلكترون من الطبقة K قريب منها.

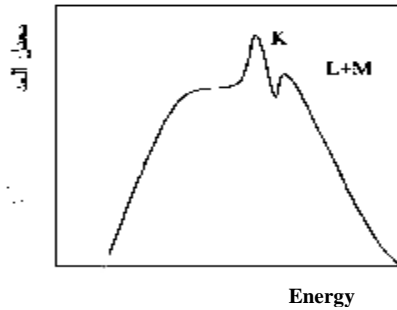
وعلى ذلك فإن هذا الإلكترون يترك مداره ويخرج من الذرة. وتسمى هذه الإلكترونات بالكترونات التحول Conversion Electrons. وطاقة حركة الكترون التحول K_e تعطى بالعلاقة:

$$K_e = \Delta E - I_B$$

حيث: $\Delta E = h\nu = E_i - E_f$ هي طاقة أشعة جاما التي كان يمكن أن تصدر بها لو أنها خرجت من النواة، و I_B هي طاقة ارتباط الإلكترون في الذرة.

والذي يجب الإشارة إليه هنا هو أن الكترونات التحول تظهر كطيف خطي متوضع على طيف أشعة بيتا المستمر كما هو موضح في الشكل (14):

وإذا كان لدينا عينة مشعة تصدر فوتونات جاما عددها N_γ بالإضافة إلى عدد من الكترونات التحول مقدارها N_e في نفس الوقت، فإن النسبة N_e / N_γ تسمى معامل التحول α ، ونكتب: $\alpha = N_e / N_\gamma$



الشكل (14)

وإذا كان N_e هو عدد الكترونات التحول من الطبقة K فإن معامل التحول α يُرمز له بـ α_K . وبالمثل فإن α_L هو معامل التحول من الطبقة L... الخ. وعند خروج الكترون من المدار K عن طريق التحول الداخلي أو الأسر الالكتروني فإنه يحدث فراغ في هذا المدار. ويملاً هذا الفراغ في المدار K بواسطة الكترون يأتي من المدار L وتنبعث أشعة X المميزة تساوي طاقتها:

$$h\nu_x = I_K - I_L$$

حيث I_K و I_L هما طاقة ارتباط الالكتران في الطبقة K و L على الترتيب.

3.3.4.2 – ثابت تفكك جاما:

يتطلب تفكك جاما، لنواة مثارة، بعضاً من الوقت كالوقت الذي تحتاجه ذرة محرّضة. إن أوار تفكك الذرات المحرّضة من رتبة $10^{-8}s$ ، من أجل الكترونات التكافؤ، و $10^{-15}s$ من أجل الثقوب الناتجة عن طرد الكترون من الطبقة الداخلية للذرة. بينما أوار الحالات النووية المثارة تتراوح بين $10^{-16}s$ و 100 سنة من أجل إصدار أشعة جاما.

يمكن تقدير هذه الأوار اعتماداً على اعتبارات نصف كلاسيكية. فاعتماداً على معادلات ماكسويل، يمكن أن نبين أن معدل الطاقة الصادرة عن شحنة نقطية e مسرّعة بتسارع a يُعطى بالمعادلة:

$$\frac{dE}{dt} = k \frac{2}{3} \frac{e^2 a^2}{c^3} \quad (15)$$

حيث k ثابت كولون.

هذه العلاقة ليست صالحة من أجل التوزيع الممتد للشحنة لأنه يجب علينا في هذه الحالة أخذ مفاعيل التداخل.

وللسهولة نفرض أن الشحنة التي تشع طاقة (الكترون في الذرة أو بروتون في النواة) تهتز حسب حركة توافقية بسيطة:

$$\chi = \chi_0 \cos \omega t$$

حيث χ_0 هي سعة الاهتزاز التي يمكن اعتبارها هنا على أنها تساوي نصف قطر الذرة أو النواة R.

ويمكن حساب التسارع a بمفاضلة المعادلة السابقة مرتين، فنجد:

$$a = -\chi_0 \omega^2 \cos \omega t$$

$$a = -R \omega^2 \cos \omega t \quad \text{أو:}$$

وبالتعويض في المعادلة (15) نجد:

$$\left(\frac{dE}{dt} \right)_{ave} = \frac{k}{3} \cdot \frac{e^2 R^2 \omega^4}{c^3} \quad (16)$$

$$(\cos^2 \omega t)_{ave} = \frac{1}{2} \quad \text{حيث:}$$

إن المعادلة (16) تم الحصول عليها اعتماداً على معادلات ماكسويل الكلاسيكية، لكن يجب أن نأخذ بعين الاعتبار أن الإشعاع الكهرومغناطيسي ينطلق على شكل كمات Quanta كل منها بطاقة قدرها $\hbar\omega$ خلال فترة زمنية τ ، أي أن:

$$\left(\frac{dE}{dt} \right)_{ave} = \frac{\hbar\omega}{t}$$

من هذه المعادلة والمعادلة (16) نجد:

$$t = \frac{3}{k} \cdot \frac{\hbar^4 c^3}{e^2 R^2 E^3}$$

حيث τ متوسط العمر و $E = \hbar\omega$.

وبما أن $\tau = 1/\lambda$ فإن:

$$I = \frac{k}{3} \cdot \frac{e^2 R^2 E^3}{\hbar^4 c^3}$$

مثال (5):

احسب عمر النصف لذرة محرّضة ($R \approx 5 \times 10^{-10} \text{m}$) تصدر فوتوناً طاقته 1eV، وعمر النصف لنواة ($R \approx 10^{-15} \text{m}$) تصدر فوتوناً طاقته 1MeV.
 $k = 9 \times 10^9 \text{ N.m}^2/\text{C}^2$ ، $e = 1.6 \times 10^{-19} \text{C}$

الحل:

نطبق المعادلة الأخيرة بالنسبة للذرة:

$$I = \frac{9 \times 10^9}{3} \cdot \frac{(1.6 \times 10^{-19})^2 (10^{-10})^2 (1.6 \times 10^{-19})^3}{(1.05 \times 10^{-34})^4 (3 \times 10^8)^3} \approx 10^6 s^{-1}$$

$$T = \frac{0.693}{I} \approx 7 \times 10^{-7} s \quad \text{ومنه}$$

ونجد بالنسبة للنواة:

$$I = \frac{9 \times 10^9}{3} \cdot \frac{(1.6 \times 10^{-19})^2 (5 \times 10^{-15})^2 (1.6 \times 10^{-13})^3}{(1.05 \times 10^{-34})^4 (3 \times 10^8)^3} \approx 2 \times 10^{15} s^{-1}$$

$$T = \frac{0.693}{I} \approx 3 \times 10^{-16} s \quad \text{ومنه:}$$

5.2- النشاط الإشعاعي الصناعي:

سندرس اعتماداً على المعادلة (11) من الفصل الأول القطوع المكافئة الخاصة بكتل الأيزوبارات، لدينا العلاقة:

$$M(A, Z) = Zm_p + Nm_n - a_1 A + a_2 A^{2/3} + a_3 \frac{Z^2}{A^{1/3}} + a_4 \frac{(N - Z)^2}{A} + a_5 \frac{d}{A}$$

، حيث بمعرفة أن $N = A - Z$ و $(N - Z)^2 = (A - 2Z)^2$ فإن المعادلة السابقة تكتب كما يلي:

$$M(A, Z) = [a_3 A^{-1/3} + 4a_4/A]Z^2 + (m_p - m_n - 4a_4)Z + (Am_n - a_1 A + a_2 A^{2/3} + a_4 A + \delta \cdot a_5/A)$$

ومن أجل الأيزوبارات فإن A ثابت . وبهذا فإن المعادلة السابقة تصبح تابعاً فقط لـ Z ويمكن أن تكتب كما يلي:

$$M(A, Z) = aZ^2 + bZ + C$$

وسندرس المعادلة السابقة من أجل $\delta = 0$ أي حالة نوى النموذج A فردي، ونترك للقارئ دراسة الحالة $\delta = \pm 1$ أي حالة نوى النموذجين: (Z فردي، N فردي) و (Z زوجي، N زوجي). وبما أن العلاقة بين M و Z تمثل قطعاً مكافئاً، فإننا نحصل على Z_0 الموافقة لكتلة النواة المستقرة والواقعة على النهاية الصغرى للقطع (أو عند نقطة تماثل أو تناظر القطع)، أي من أجل:

$$\left[\frac{dM(A/Z)}{dZ} \right]_{Acte} = 0$$

وبالاشتقاق والإصلاح، وبملاحظة أن $m_p \approx m_n$ نجد:

$$Z_0 = \frac{A}{2 + (a_3 / 2a_4) A^{2/3}} = \frac{A}{2 + 0.015 A^{2/3}} \quad (17)$$

وتسمح العلاقة السابقة بحساب العدد الذري للنوى الأكثر استقراراً في الطبيعة والتي لها أصغر كتلة . وبمقارنة نتائج هذه العلاقة مع النتائج التجريبية نجد أن قيم Z_0 لا تختلف بأكثر من ± 1 . فمن أجل $A = 10$ نجد $Z_0 = 4.85 \approx 5$

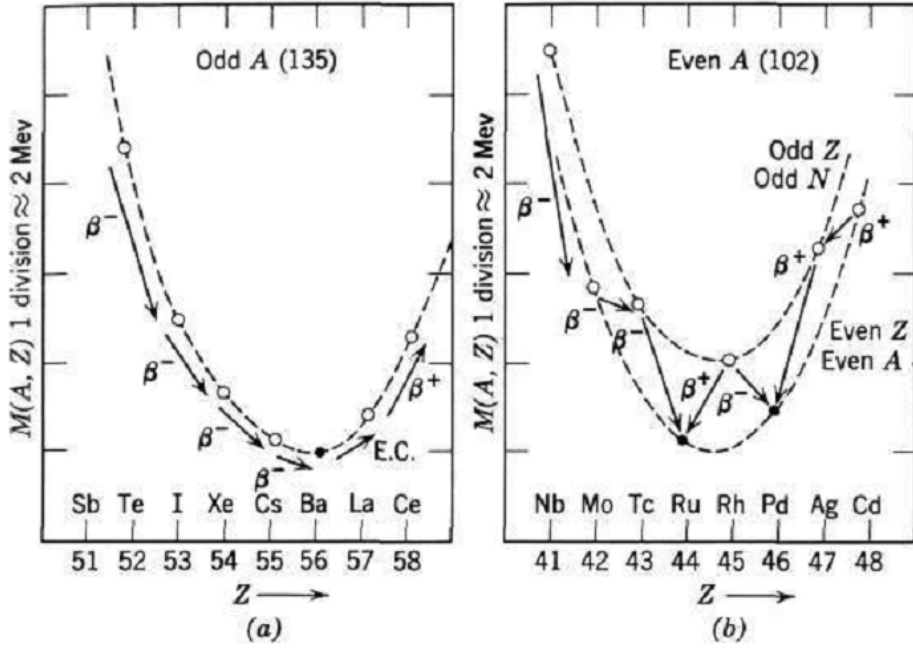
والنظير المستقر الموافق لهذه القيمة هو $^{10}_5 B$ ، ومن أجل $A = 200$ يكون $Z_0 = 80$ ويقابل هذه القيمة النظير المستقر $^{200}_{80} Hg$ ويبين الشكل (15) أننا نحصل على قطع مكافئ من أجل $A = 135$ فردي . ونلاحظ أن النوى على الفرع الأيمن للقطع هي نوى غير مستقرة تأخذ في التفكك بإطلاق أشعة β^+ (حيث يتناقص العدد Z) وذلك كي تصل إلى كتلة أصغر حيث العنصر الأكثر استقراراً $^{135}_{56} Ba$ ، أما النوى الواقعة على الفرع الأيسر للقطع المكافئ في الشكل (15) فهي الأخرى غير مستقرة وتتفكك مطلقة أشعة β^- (حيث يتزايد العدد Z)

وذلك كي تصل إلى نظير الباريوم $^{135}_{56} Ba$. ونلاحظ أن الكتلة $M(A)$ تتناقص باستمرار على الفرعين للقطع المكافئ، حتى تصل إلى قاع المنحني عند نظير الباريوم الذي يتمتع بأقل كتلة بين الأيزوبارات التي ينتمي إليها. واعتماداً على المعادلة (17) ومن أجل $Z = N$ نجد:

$$Z_0 = \frac{N}{1 + 0.008 A^{2/3}}$$

وتصف العلاقة السابقة خط الاستقرار النووي المبين بالشكل (16).

ويتضح من العلاقة السابقة أنه عندما تكون A صغيرة فإن $N = Z$ وهذا يمثل بداية منحني الاستقرار، أما عندما تأخذ A قيمة كبيرة (أكبر من 40) فإن قيمة N تأخذ في الزيادة والابتعاد عن Z لتحقيق الاستقرار النووي، ويمثله الخط المنقطع في الشكل (16) Z_0 في المعادلة (17).



الشكل (15)

وتمثل النقاط، في الشكل (16)، كافة النظائر المستقرة التي لا تقل وفرتها النسبية عن 10%. وكما نرى فإن النقاط إما واقعة على المنحني وإما موجودة في جواره المباشر.

لقد بينا أن أصل تفكك β^- هو تحول النيوترون إلى بروتون، ويحدث هذا إذا كانت طاقة النواة الأصلية ${}^A_Z C$ أكبر من مجموع طاقتي النواة المتولدة ${}^A_{Z+1} Y$ والالكترون، ولقد بينا أن النوى التي يحقق تركيبها الشرط:

$$Z_0 = \frac{A}{2 + 0.015 A^{2/3}}$$

تتمتع بحد أدنى من الطاقة. وفي هذه النوى يكون:

$$N_0 = A - Z_0 = A \left(1 - \frac{1}{2 + 0.015 A^{2/3}} \right)$$

وبالتالي فإن:

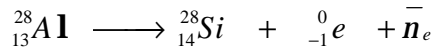
$$\frac{N_0}{Z_0} = 1 + 0.015 A^{2/3} \quad (18)$$

من الواضح أن النوى التي تحوي نيوترونات أكثر مما تعطيه العلاقة السابقة لديها زيادة في الطاقة وتسعى هذه النوى لتقليل عدد النيوترونات وبالتالي زيادة عدد البروتونات، لتسعى طاقتها إلى الحد الأدنى.

وعلى هذا فإن النظائر المشعة لـ β^- هي تلك التي لديها فائض نيوتروني. ويبين هذا الاستنتاج أن النشاط الإشعاعي ليس مقصوراً على العناصر الثقيلة. فنوى العناصر الخفيفة يمكن أن تكون مشعة إذ احتوت على فائض نيوتروني.

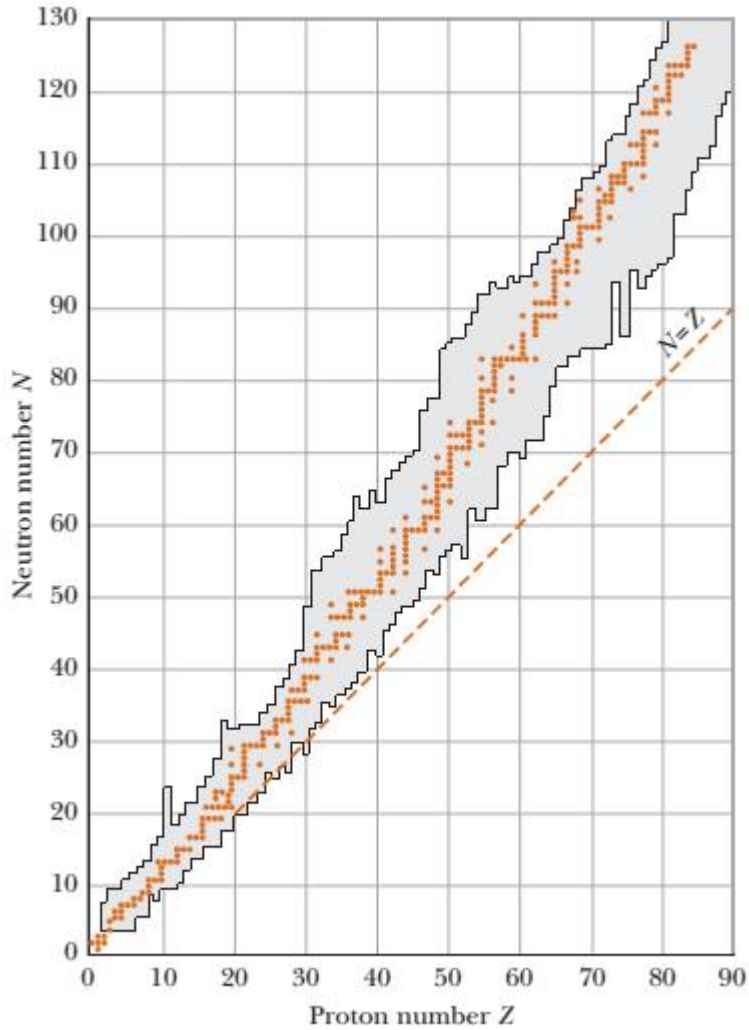
إن نوى العناصر الموجودة في الطبيعة تحقق العلاقة (18)؛ ولهذا فهي مستقرة ولا تبدل شكلها مهما طال عليها الزمن. ولجعل النوى الخفيفة مشعة ينبغي تغيير تركيبها المستقر بزيادة كمية النيوترونات مثلاً. وقد تبين أنه من الممكن تحقيق ذلك بتعريض نوى النظائر المستقرة لتأثير أيونات الهيدروجين أو الديتريوم (الهيدروجين الثقيل) أو الهيليوم بطاقة حركية كبيرة. فتستطيع أيونات كهذه التغلب على القوى الكولونية واجتياز الحاجز الجهدي المحيط بالنواة لتنفذ إلى قلبها. عندئذ يتغير تركيب النواة: إذ يتغير العدد الكلي للجسيمات (العدد الكتلي A) وكذلك النسبة N/Z .

وهكذا نجد أنه يمكن صنع نوى نشيطة إشعاعياً. ويكفي لذلك خلق فائض نيوتروني فنحصل على نوى تصدر إشعاع β^- . فمثلاً، إذا قذف النظير ^{27}Al بالديتريونات (نوى ذرات الديتريوم) ينتج النظير ^{28}Al والذي فيه $N/Z = 1.154$. بينما وحسب المعادلة (18) نجد أن النسبة السابقة لنواة مستقرة عددها الكتلي 28 تساوي 1.118. وبالتالي فإن فائضاً نيوترونياً يوجد في النواة ^{28}Al ويجب أن يكون لها خصائص إشعاعية. وبالفعل فإن النواة السابقة تتفكك كما يلي:



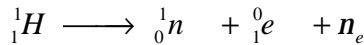
وكذلك لو تم قذف نوى البورون $^{11}_5\text{B}$ بجسيمات α طاقتها الحركية كافية تنتج نوى النظير $^{14}_6\text{C}$ والذي فيه $N/Z = 1.33$. بينما في النوى التي عددها الكتلي 14، وحسب المعادلة (18) فإن $N_0/Z_0 = 1.07$. وتدل التجربة أن النظير ^{14}C يصدر لجسيمات β^- . إلا أننا نجد من شرط الحد الأدنى للطاقة أن فائض الطاقة موجود ليس فقط في النوى التي من أجلها

$$N/Z > N_0/Z_0$$



الشكل (16)

بل وفي النوى التي تحقق المتراجحة $N/Z < N_0/Z_0$ أي النوى التي لديها فائض بروتوني. ولكي تتحول إلى نوى مستقرة يجب أن تتفكك إشعاعياً، ويتحول أحد بروتوناتها إلى نيوترون كما يلي:



وقد بينا كيف يتحول البروتون إلى نيوترون داخل النواة. في عام 1933 قام الزوجان جوليو — كوري بقذف نوى البورون والمغنيزيوم والألمنيوم بجسيمات α فحصلوا على النظائر المشعة التالية ${}^{13}_7N$, ${}^{27}_{14}Si$, ${}^{30}_{15}P$ والتي تصدر عند تفككها جسيمات β^+ ، وذلك لأن العدد

النسبي للنيوترونات في النوى المذكورة غير كبير: فهو $N/Z = 1$ في ^{30}P و $N/Z < 1$ في ^{13}N و ^{27}Si وبالتالي فإن لهذه النوى فائض بروتوني.

1.5.2 – أسر العناصر المشعة:

لا تزال هناك أسر مشعة طبيعية موجودة . وأسرة واحدة كانت موجودة في الطبيعة، ولأن أدوار عناصرها أقصر بكثير من عمر الأرض فقد تفككت ولم تعد موجودة. ويتم الحصول على عناصر الأسرة السابقة صناعياً.

1.1.5.2 – الأسر المشعة الطبيعية:

عُرفت عناصر هذه الأسر قبل غيرها، وهي عملياً المقابلة لـ $Z > 82$ أي أنها تلي الرصاص ($Z = 82$). وتطلق هذه العناصر في أثناء تفككها جسيمات α أو β (التي ترافقها أشعة γ) فتتحول بذلك إلى عناصر غالباً ما تكون مشعة فتتفكك معطية عناصر أخرى. ويمكن تصنيف أغلب العناصر المشعة الطبيعية في ثلاث أسر (سلاسل) أدوار أجدادها كبيرة جداً، من مرتبة عمر الأرض، الأمر الذي يفسر بقاء هذه العناصر المشعة في حالة توازن مع أنسالها ذوي الأدوار الأقصر.

ولقد لاحظنا أن العدد الكتلي A للنواة المشعة لا يتغير عند تفككها بإصدار جسيمات β و γ . بينما هذا العدد ينقص بمقدار أربع في حالة التفكك α . وعليه فإن الباقي من قسمة A على أربعة يكون نفسه لجميع نوى السلسلة، لذا يمكن أن نعبر عن عدد الكتلة A للسلسلة المعطاة بالقانون التالي:

$$A = 4n + C$$

حيث n يأخذ قيمة صحيحة فقط و C عدد ثابت من أجل كل سلسلة.

ونبين في الجدول التالي الأسر المشعة الطبيعية الثلاث:

اسم الأسرة (السلسلة)	الجد الأعلى	العنصر النهائي المستقر	A
الثوريوم	$^{232}_{90}\text{Th}$ (1.4×10^{10} y)	$^{208}_{82}\text{Pb}$	$4n$
اليورانيوم	$^{238}_{92}\text{U}$ (4.5×10^9 y)	$^{206}_{82}\text{Pb}$	$4n + 2$
الأكتينيوم	$^{235}_{92}\text{U}$ (7×10^8 y)	$^{207}_{82}\text{Pb}$	$4n + 3$

والشيء المميز لهذه الأسر هو العدد الكتلي A لعناصرها، يعبر عنه بالعلاقة الواردة في الجدول حيث n عدد صحيح قيمته:

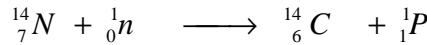
1- في الأسرة الأولى $52 \leq n \leq 58$ وتتكون هذه الأسرة نتيجة ستة تفككات α وأربعة تفككات β^- .

2- في الأسرة الثانية $51 \leq n \leq 59$ وتتكون هذه الأسرة نتيجة ثمانية تفككات α وستة تفككات β^- .

3- الأسرة الثالثة $51 \leq n \leq 58$ وتتكون هذه الأسرة نتيجة سبعة تفككات α وأربعة تفككات β^- .

وتوجد عناصر مشعة طبيعية لا تزال موجودة بالإضافة لعناصر السلاسل الثلاث السابقة. فقد بينت القياسات التي أجريت بعناية فائقة أن المواد كافة عملياً تحتوي آثاراً من عناصر مشعة. وساد الاعتقاد مدة من الزمن أن هذه الآثار جميعاً هي أفراد من أسر العناصر المشعة السابقة. إلا أن البحوث الإشعاعية الدقيقة بينت أن بعض العناصر الخفيفة لها نظائر طبيعية مشعة. ونذكر من هذه العناصر: البوتاسيوم $^{40}_{19}K$ بدور 1.3×10^9 سنة، والفانديوم $^{50}_{23}V$ بدوره 5×10^{16} سنة.

وهناك نظير مشع طبيعي آخر هو ^{14}C والذي يختلف وجوده كلياً عن أسباب وجود أي من العناصر المشعة الطبيعية الأخرى. إن دور نظير الكربون 14 السابق يساوي 5730 سنة. ونعلم أن النظير السابق يتولد باستمرار من ^{14}N بتفاعل نووي مع النيوترونات القادمة مع الأشعة الكونية حسب المعادلة التالية:



2.1.5.2- أسرة النبتونيوم الصناعية:

من بين العناصر الصناعية ما يمكن التعبير عن عدده الكتلي بالعلاقة $A = 4n + 1$ وتؤلف هذه العناصر أسرة تسمى أسرة النبتونيوم $^{237}_{93}Np$ والذي يمثل الجد الأعلى للأسرة وبدور يساوي 2.2×10^6 سنة. وتنتهي أسرة النبتونيوم بعنصر البزموت $^{209}_{83}Bi$ المستقر عملياً.

وتسمى العناصر الثقيلة المقابلة لـ $Z > 92$ عناصر ما بعد اليورانيوم. ويفسر عدم وجود هذه العناصر الصناعية الثقيلة في الطبيعة بقصر أدوارها بالنسبة إلى عمر الأرض.

لكن العناصر الصناعية المشعة الخفيفة ذات أهمية تطبيقية كبيرة في مختلف الميادين، وتفضل على العناصر المشعة الطبيعية لرخص ثمنها، وعلى الخصوص لتتوعها الكبير من حيث الخصائص الكيميائية والفيزيائية (أدوار تفكك وطاقات إشعاع مختلفة). وهناك أكثر من ألف نظير مشع صناعي، حيث أمكن تحضير نظائر مشعة العناصر الكيميائية المعروفة كافة.

مسائل الفصل الثاني

- 1— باعتبار أن عمر نصف الذهب ^{198}Au يساوي 2.7 يوماً، والمطلوب:
 - أ) احسب ثابت تفكك الذهب 198.
 - ب) ما احتمال تفكك نواة ذهب 198 معينة في الثانية الواحدة؟
 - ج) بفرض أن لدينا 100μg من عينة من الذهب 198 فاحسب نشاطها الإشعاعي.
 - د) احسب، بعد مضي أسبوع، عدد التفككات الناتجة في ثانية واحدة عن العينة أعلاه.
- 2— باعتبار أن عمر نصف اليورانيوم 235 يساوي 7.04×10^8 سنة، والمطلوب:

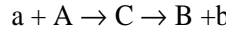
بفرض أن عينة صخرية، تصلبت مع تشكل الأرض قبل 4.55×10^9 سنة، تحتوي على N ذرة من اليورانيوم 235 فاحسب عدد ذرات اليورانيوم 235 التي تحويها عينة الصخر عند تصلبها.
- 3— بفرض أن لدينا ثلاث عينات صخرية فيها نسب ذرات اليورانيوم 238 إلى ذرات الرصاص 208 تساوي 0.5 , 1 , 2 فاحسب عمر عينات الصخور الثلاث.
- 4— إذا علمت أن طاقة الارتباط في نواة البزموت ^{212}Bi تساوي حوالي 6.2MeV فاحسب توزيع الطاقة الحركية بين النواة الوليدة وجسيم ألفا الصادر.
- 5— احسب قيمة طاقة التفكك Q الناتجة عن تفكك اليورانيوم 238 إلى الرصاص 206 ثم احسب معدل الطاقة الناتجة عن كل جرام من اليورانيوم 238.
- 6— بفرض أن عمر النصف لنظير الكربون 14 يساوي 5730 سنة والمطلوب:
 - أ — إذا كان لدينا عينة من غاز ثاني أكسيد الكربون 14 الموجود في الغلاف الجوي حجمها 200cm^3 وضغطها $2 \times 10^4 \text{ Pa}$ عند درجة حرارة قدرها 295 K، فاحسب نشاط العينة السابقة خلال أسبوع.
 - ب — بفرض أننا حرقنا عينة من الخشب وجمعنا غاز ثاني أكسيد الكربون 14 في قارورة عند الضغط ودرجة الحرارة السابقتين وأننا سجلنا 1420 عدة خلال أسبوع ، فاحسب عمر عينة الخشب السابقة.

الفصل الثالث

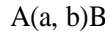
التفاعلات النووية

1.3 - مقدمة: التفاعل النووي هو العملية التي ينتج عنها تغير في تركيب نواة عنصر معين وطاقته عند قذفه بجسيمات نووية أو أشعة جاما . أو هو عبارة عن التأثير المتبادل بين نواة ذرة ما مع جسيم عنصري أو مع نواة أخرى تتحول فيه النواة الهدف إلى نواة أخرى. يتحقق التفاعل النووي عادة بصدم نواة أو جسيم يُدعى عادةً بالقذيفة وهي عبارة عن نواة خفيفة في أغلب الأحيان (مثل: البروتون، الديتريوم، جسيم ألفا،...) نواة أخرى تدعى بالهدف (مثل الألمنيوم). ولكي تقترب النواة القذيفة إلى مسافة صغيرة جداً من النواة الهدف لا بد من تسريعها كي تتغلب على قوى التناافر الكولونية بين الشحنتين الموجبتين للنواتين القذيفة والهدف. تُسرّع القذيفة عادةً بواسطة فرق كمون يبلغ عدة ملايين فولط.

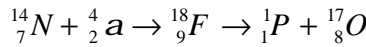
يمكن تمثيل التفاعل النووي بالمخطط العام التالي:



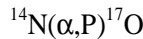
حيث a يمثل الجسيم المقذوف، b يمثل الجسيم الناتج، A تمثل النواة الهدف، B تمثل النواة الناتجة، و C تمثل النواة المركبة. كما تستخدم أحياناً طريقة مختصرة لكتابة التفاعل النووي على الشكل التالي:



وكمثال على ذلك، لنأخذ تفاعل جسيم ألفا مع نوى ذرات الآزوت وفق التفاعل النووي التالي:



يكتب هذا التفاعل النووي بالصيغة المختصرة كما يلي:



نهدف من التفاعلات النووية الحصول على الطاقة أو للحصول على معلومات حول البنية النووية وخواصها، وذلك بدراسة آثار قذف النوى بحزم من الجسيمات أو بأشعة جاما. ويمثل التفاعل النووي عامة بالمعادلة التالية:



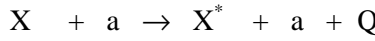
حيث:

X, Y, a, b, Q النواة الهدف، النواة المتبقية، الجسيم الوارد، الجسيم

الناتج عن التفاعل ، الطاقة الناتجة عن التفاعل على الترتيب . وللسهولة، يرمز للتفاعل النووي أعلاه كمايلي $X(a,b)Y$. ويمكن أن تقسم التفاعلات النووية إلى مايلي :

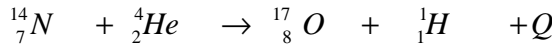
(1) إذا بقيت النواة الهدف في حالة الاستقرار والجسيم الناتج مطابقاً للجسيم الوارد ، أي أن الطاقة الحركية محفوظة قبل التصادم وبعده ، فإن التفاعل النووي يسمى تصادماً مرناً . وفي هذا التصادم يتعامل الجسيم الوارد مع النواة كما لو كانت كرة صغيرة ، ويحدث التصادم كما لو كان كلاسيكياً بين جسيمين . وتكون في هذه الحالة $Q = 0$.

(2) ويسمى التفاعل تصادماً غير مرّن إذا كانت النواة Y متحرّضة والطاقة الحركية غير محفوظة و $Q \neq 0$. وفي هذه الحالة فإن الجسيم الناتج من التفاعل يكون ممثلاً للجسيم الوارد ولكن طاقته أقل ، ونكتب :

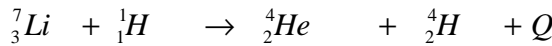


(3) ويحدث التفاعل النووي عندما تكون Y مختلفة تماماً عن النواة X .

ولقد أجرى راذرفورد، عام 1919، أول تفاعل نووي وذلك بقذف نواة النيتروجين (الآزوت) بجسيم ألفا من مصدر مشع. وقد لاحظ راذفورد حدوث ومضات على حاجز من كبريتات الزنك (التوتياء) موضوع على مسافة من المصدر المشع أكبر من مدى جسيمات ألفا. ويكتب تفاعل رذرفورد أعلاه كما يلي:



وحدث أول تفاعل نووي باستخدام جسيمات مسرعة عام 1930. فقد قام العالمان كوكرفت ووالتون ببناء أول مسرع للبروتونات وتمكنا من إجراء التفاعل النووي التالي:

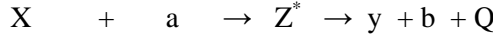


وتوجد عدة نماذج للتفاعلات النووية، منها:

أ – النواة المركبة Compound Nucleus

إن النواة، في هذا النموذج، تأسر الجسيم الوارد مكونة ما يسمى بالنواة المركبة. وعندما تأسر نواة الهدف الجسيم الوارد فإن طاقته تتوزع عشوائياً على جميع مكونات النواة، وبذلك ترتفع طاقة هذه إلى حالة الإثارة. وفور تكون النواة المركبة تكون قادرة على إطلاق جسيم أو عدة جسيمات مثل النيوترونات والبروتونات والديترونات أو جسيمات α . كما ويمكن أن

تتطلق الطاقة الزائدة على شكل أشعة جاما. ولكن انطلاق أشعة جاما في واقع الأمر أبطأ كثيراً من انطلاق الجسيمات النووية السابقة. ويمثل التفاعل في حالة نموذج النواة المركبة كما يلي:

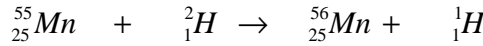


والتفاعل التالي مثال عن النموذج السابق:



ب - التفاعلات المباشرة Direct Reactions

يمكن للتفاعل النووي أن يتم دون المرور بمرحلة النواة المركبة، حيث هذه التفاعلات يُطلق عليها التفاعلات المباشرة. فعندما تزداد طاقة حركة الجسيمات الواردة يصبح من الصعب تطبيق نظرية النواة المركبة. فقد لوحظ ذلك عند ورود الديترونات على نواة ما. وسبب ذلك أن الديترون d له تركيب نووي ضعيف الترابط (طاقة ارتباطه 2.2 Me V). فعندما يقترب الديترون من نواة ما فإن هذه النواة تأسر أحد النيوكليونات اللذين يتكون منهما الديترون، بينما يستمر النيوكليون الآخر في طريقه بالرغم مما حدث لشريكه. ومن ثم يمكن أن يحدث التفاعل (d,p) أو (d,n) حيث ينطلق البروتون أو النيوترون على الترتيب. ومن أمثلة هذه التفاعلات التفاعل التالي:



2.3 - قوانين الحفظ في التفاعلات النووية:

توجد في كل التفاعلات النووية التي ذكرناها عدة قوانين حفظ نذكر منها:

1.2.3 - قانون حفظ العدد الكلي للنيوكليونات:

وينص هذا القانون على أن العدد الكلي للنيوكليونات المشاركة في التفاعل يظل ثابتاً قبل وبعد التفاعل. ففي التفاعل السابق فإن العدد الكلي للنيوكليونات الداخلة في التفاعل أو الخارجة منه يساوي 57 نيوكليوناً.

2.2.3 - قانون حفظ الشحنة:

ينص هذا القانون على أن الشحنة الكلية للنيوكليونات الداخلة في التفاعل والخارجة منه تظل ثابتة، ففي التفاعل السابق نجد أن الشحنة الكلية قبل وبعد التفاعل تساوي 26.

3. 2. 3 – قانون حفظ كمية الحركة الخطية:

وينص على أن كمية الحركة الخطية تظل ثابتة قبل وبعد التفاعل. فإذا كانت النواة الهدف ساكنة قبل التفاعل فإن كمية الحركة الخطية التي تُنقل إلى التفاعل عن طريق الجسيم الوارد تتوزع بعد ذلك على نواتج التفاعل.

3. 2. 4 – التكافؤ بين الكتلة والطاقة وقانون حفظ الطاقة:

على الرغم من أن العدد الكلي للنوكليونات الداخلة في التفاعل والخارجة منه يظل ثابتاً فإنه يوجد فرق بين مجموع كتل الجسيمات الداخلة في التفاعل ومجموع كتل الجسيمات الخارجة منه. وتبعاً للتكافؤ بين الطاقة والكتلة فإن هذا الفرق في الكتلة يكافئ طاقة Q ، وهي الطاقة التي تضبط اتزان طرفي معادلة التفاعل (1)، أي أن:

$$Q = [(M_X + M_a) - (M_y + M_b)] c^2$$

وينص قانون حفظ الطاقة أن الطاقة تظل ثابتة قبل التفاعل وبعده. واعتماداً على ذلك، فإن المعادلة (1) تسمح بأن نكتب:

$$M_X c^2 + K_X + M_a c^2 + K_a = M_y c^2 + K_y + M_b c^2 + K_b$$

وباعتبار أن X ساكنة فإن المعادلة السابقة نكتب كما يلي:

$$K_a + [(M_X + M_a) - (M_y + M_b)] c^2 = K_y + K_b$$

أو:

$$K_a + Q = K_y + K_b \quad (2)$$

فإذا كانت $Q > 0$ فإن التفاعل ناشر للطاقة، كما هو الحال في التحولات المشعة. وإذا كانت $Q < 0$ فإن التفاعل ماص للطاقة كما هو الحال في بعض التفاعلات النووية التي يجب أن نزود فيها الجسيمات الواردة بطاقة حركية كافية كي يصبح التفاعل ممكن الحدوث.

3.2.5 – قانون حفظ كمية الحركة الزاوية الكلية:

يوجد لكل نيوكلون في النواة لف مغزلي Spin أو ما يُسمى عزمًا ذاتيًا يرمز له بـ s . وبالإضافة لللف المغزلي فإن للنوكليون عزمًا مدارياً (أو كمية حركة زاوية مدارية) يرمز له بـ ℓ . وبالتالي فإن للنوكليون عزمًا كلياً (أو ما يُسمى كمية الحركة الزاوية الكلية) يُعطى بالعلاقة:

$$j = \ell + s$$

وبجمع العزوم الكلية للنيوكلونات في النواة نحصل على ما يلي:

$$J = \sum j$$

حيث يسمى J عزم النواة أو اختصاراً سبين النواة. وقد وجد أن العزوم الذاتية والعزوم المدارية للبروتونات المتزاوجة، أي التي تترتب أزواجاً — أزواجاً، وكذلك النيوترونات المتزاوجة تكون متعاكسة تفني بعضها بعضاً. وبعبارة أخرى نقول إن النيوكلونات المتشابهة تتفاعل بعزوم ذاتية متعاكسة، وبالإضافة لذلك فإن محصلة العزم المداري لزوج من البروتونات أو النيوترونات تساوي صفراً.

اعتماداً على ما سبق فإن سبين النواة من النموذج (Z زوجي — N زوجي) معدوم، أي $J = 0$ لهذه النوى. أما النوى من النموذج (Z فردي — N زوجي) أو النموذج (Z زوجي — N فردي) فإن سبينها لا يساوي صفراً ويساوي سبين البروتون الفردي أو النيوترون الفردي على الترتيب.

وفي النوى من النموذج (Z فردي — N فردي) فإن سبين النواة يتحدد بآخر بروتون فردي وآخر نيوترون فردي، ويمكن أن يأخذ قيمة بين $|J_n - J_p|$

و $|J_n + J_p|$ حيث J_n و J_p سبين البروتون الفردي والنيوترون الفردي على الترتيب. والحسابات الدقيقة هي فقط التي تعطي سبين هذا النموذج من النوى.

وينص قانون حفظ كمية الحركة الزاوية الكلية (أو السبين الكلي) أن سبين العدد الكلي للنيوكلونات الداخلة في التفاعل النووي والخارجة منه يظل ثابتاً.

6.2.3 — قانون حفظ الندية (النوعية) Parity

الندية أو النوعية خاصة ذاتية لتابع موجة الجسيم Ψ تبين مدى التغير الناتج على التابع $\Psi(r)$ عند عكس الإحداثيات، أي عند استبدال متجه الموضع r بـ $-r$ حيث $\mathbf{r} = x \mathbf{i} + y \mathbf{j} + z \mathbf{k}$ ، فإذا لم يتغير هذا التابع أي إذا كان:

$$\Psi(-r) = \Psi(r)$$

فإن الندية موجبة (+). أما إذا كان $\Psi(-r) = -\Psi(r)$ فإن الندية سالبة (-).

أما عكس الإحداثيات في المحاور الكروية فيتم باستبدال (r, q, j) بـ $(r, p-q, p+j)$ ويبرهن في ميكانيك الكم أن:

$$y(r, p-q, p+j) = (-1)^1 y(r, q, j)$$

أي أن الندية ترتبط بـ $(-1)^\ell$ ، فإذا كان ℓ زوجياً فتكون الندية موجبة (+). أما إذا كان ℓ فردياً فإن الندية سالبة (-).

وتعطى الندية للنوى بـ $(-1)^\ell$ حيث ℓ هو العدد الكمي المداري لآخر نيوكليون فردي في نوى أحد النموذجين: (Z فردي - N زوجي)، (Z زوجي - N فردي). أما النوى من النموذج (Z فردي - N فردي) فالندية لها تعطى بـ $(-1)^{I_n + I_p}$ حيث I_n ، I_p العدد الكمي المداري للبروتون المفرد والنيوترون المفرد على الترتيب. أما النوى من النموذج (Z زوجي - N زوجي) فإن محصلة العزم المداري معدومة أي $\Sigma \ell = 0$ وبالتالي فالندية موجبة +.

يُرمز عادة للندية بـ P. ويبرهن أن ندية الجسيم الوارد في تفاعل نووي أو الجسيم الناتج عنه ترتبط بالعدد الكمي المداري ℓ أيضاً بـ $(-1)^\ell$.

ويكتب قانون حفظ الندية للتفاعل المبين في المعادلة (1) كما يلي:

$$P_a \cdot P_X (-1)^{I_a} = P_b \cdot P_Y (-1)^{I_b}$$

حيث P_a ، P_X ، P_b و P_Y النديات الداخلية للجسيمات الداخلة في التفاعل والنتيجة عنه وذلك باعتبار كل من X و Y ساكنة.

مثال (1):

اعتماداً على المثال (12) في الفصل الأول احسب سبين ونوعية النواة $^{43}_{20}\text{Ca}$.

الحل:

لقد رأينا، في حل المثال (12)، أن ثلاث نيوترونات من النواة $^{43}_{20}\text{Ca}$ تتوضع في المستوى $1f_{7/2}$. وبالتالي فإن سبين النواة السابقة $J = 7/2$. وقيمة العدد الكمي المداري ℓ والموافقة لـ f هي: $\ell = 3$ أي أن النوعية $-1 = (-1)^\ell$ ، وبالتالي فإن نوعية النواة $^{43}_{20}\text{Ca}$ سالبة (-). $P = -$. ولقد جرت العادة أن نكتب سبين ونوعية نواة ما كما يلي J^P . وبالتالي فإن

$$J^P = \frac{7}{2}^- \quad \text{سبين ونوعية النواة أعلاه يُكتبان كما يلي:}$$

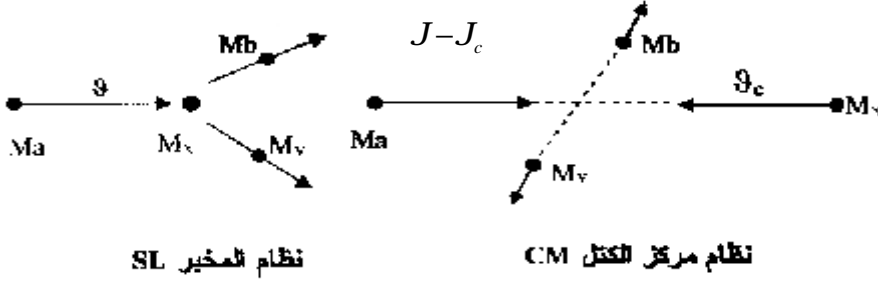
3. طاقة العتبة لتفاعل نووي ماص للطاقة:

لقد رأينا في تفاعل نووي ماص للطاقة، أن طاقة التفاعل Q سالبة أي $Q < 0$. وقد يتبادر للذهن أننا لو زدنا الجسيم a (في المعادلة 1) بطاقة حركة تساوي عددياً $-Q = |Q| = K_a$ فإن التفاعل يصبح ممكناً. وبالتبديل في المعادلة (2) نجد:

$$-Q + Q = K_Y + K_b$$

$$K_Y + K_b = 0 \quad \text{أي أن:}$$

ولا تتحقق المعادلة السابقة إلا إذا كان $\vartheta_y = \vartheta_b = 0$ أي أن النواتج في المعادلة (2) ساكنة وبالتالي كمية حركتها معدومة. لكن كمية الحركة للطرف الأول من المعادلة (2) غير معدومة لأن $K_a = |Q|$. ويمثل الوضع السابق خرقاً لقانون حفظ كمية الحركة. ولحل هذه المشكلة، نجري الحساب في نظام مركز الكتلة (CM) الذي نرمز له اختصاراً بـ CM. نفترض في النظام CM أن M_X تتحرك مع مركز الكتلة للجسيمات المتفاعلة بدل أن تبقى ثابتة في نظام المخبر (LS) Laboratory System (LS). ويمكن أن نلاحظ النظامين في الشكل (1). فالهدف M_X لا يبقى ساكناً



الشكل (1)

في النظام CM، إنما يتحرك بسرعة ϑ_c تسمى سرعة مركز الكتلة. ويقترب بهذه السرعة من الجسيم الوارد الذي بدوره يقترب بسرعة مساوية $\vartheta_c - \vartheta$. ونفترض أن كمية الحركة، في نظام مركز الكتلة، محفوظة. أي تساوي محصلة كمية الحركة قبل التفاعل وبعده صفراً.

واعتماداً على ذلك نكتب:

$$M_a (\vartheta - \vartheta_c) - M_X \vartheta_c = 0$$

أو:

$$J_c = \frac{M_a}{M_X + M_a} J \quad (3)$$

وتبين هذه المعادلة أنه كلما كانت كتلة الهدف M_X كبيرة بالمقارنة مع كتلة الجسيم الوارد M_a اقتربت سرعة مركز الكتل ϑ_c من الصفر.

وبحساب الطاقة الحركية الكلية في النظام CM نجد:

$$K_c = \frac{1}{2} M_a (J - J_c)^2 + \frac{1}{2} M_X J_c^2$$

وبتعويض قيمة ϑ_c من (3) نجد:

$$K_c = \frac{M_X}{M_X + M_a} K_L \quad (4)$$

حيث رمزنا بـ K_L للطاقة الحركية للجسيم الوارد في نظام المخبر LS والتي تعطى بالعلاقة:

$$K_L = \frac{1}{2} M_a J^2$$

فكي يتم التفاعل يجب أن يكون $K_c \geq |Q|$ وبالتعويض عن K_c من المعادلة (4) نجد:

$$\frac{M_X}{M_X + M_a} K_L \geq |Q|$$

وبالتالي فإن:

$$K_L \geq \frac{M_X + M_a}{M_X} |Q|$$

وبالنتيجة فإن طاقة العتبة اللازمة لإحداث التفاعل:

$$(K_L)_{\min} = \frac{M_X + M_a}{M_X} |Q| = -\frac{M_X + M_a}{M_X} Q$$

مثال (2)

$$K_c = \frac{M_X}{M_X + M_a} K_L \quad \text{برهن العلاقة}$$

$$K_c = \frac{1}{2} M_c J_c^2 \quad \text{الطاقة الحركية}$$

كمية الحركة في مركز الكتل محفوظة قبل التفاعل وبعده ، لذا نكتب:

$$M_a (\vartheta - \vartheta_c) - M_X \vartheta_c = 0$$

$$J_c = \frac{M_a}{M_x + M_a} J \quad \text{أو:}$$

بالتبديل في علاقة الطاقة الحركية:

$$K_c = \frac{1}{2} M_c \left(\frac{M_a}{M_x + M_a} J \right)^2 \cong \frac{1}{2} (M_a + M_x) \left(\frac{M_a}{M_x + M_a} J \right)^2$$

$$K_c = \frac{1}{2} M_a J^2 \frac{M_a}{M_x + M_a} \cong K_L \frac{M_a}{M_x + M_a}$$

4.3- القوى النووية Nuclear Forces:

لقد بينا سابقاً أن قوى كولون التنافرية مهمة بالمقارنة مع القوى النووية الفكرة (7.1). وسنبين الآن أن قوى الثقالة مهمة أيضاً بالمقارنة مع القوى النووية. لنأخذ نواة الهيليوم 4 ولنحسب طاقة التجاذب العام بين نيوكليونات في النواة السابقة. إن طاقة التجاذب العام تعطى بالعلاقة:

$$U_g = G \frac{m_1 \cdot m_2}{r}$$

$$G = 6.67 \times 10^{-11} \text{ N} \cdot \text{m}^2 / \text{kg}^2 \quad \text{حيث}$$

فإذا أخذنا بروتونين في نواة الهيليوم 4 تفصلهما مسافة قدرها 5F، وكتلة كل منهما $m_p = 1.67 \times 10^{-27} \text{ kg}$ نجد:

$$U_g = 6.67 \times 10^{-11} \frac{(1.67 \times 10^{-27})^2}{5 \times 10^{-15}} = 3.72 \times 10^{-50} \text{ J}$$

أو

$$U_g = 2.3 \times 10^{-37} \text{ MeV}$$

وهذه الطاقة مهمة أمام متوسط طاقة الارتباط للنيوكليون في نواة الهيليوم 4 والتي تساوي $\epsilon = 7.07 \text{ MeV} / \text{N}$.

تسمى القوة التي تمسك بالنيوكليونات داخل النواة بالقوة النووية القوية، والتي تتميز بالخصائص التالية:

أ — خاصة الإشباع: أي أن النيوكلون في النواة يتبادل التجاذب مع النيوكلونات المجاورة له فقط ، وإضافة نيوكلونات جديدة إلى النواة يزيد من طاقة الارتباط الكلية وليس طاقة الارتباط لكل نيوكلون (انظر ثانياً من الفقرة 7.1 الفصل الأول)

ب — قصيرة المدى: عندما يؤثر نيوكلون، بواسطة القوة النووية القوية، على آخر فإن هذا التأثير يبقى ضئيلاً حتى تصبح المسافة بينهما أقل من $5F$ ، وعندئذ يتجاذبان بشدة كلما قلت المسافة بينهما. ويمكن القول بأن مدى القوى النووية يساوي تقريباً قطر النواة أو أنه يمتد قليلاً بعد قطر النواة.

ويمكن استنتاج قيمة الجهد التجاذبي المسؤول عن القوى النووية القوية كما يلي: بفرض أن λ الطول الموجي المرافق للنيوكلون داخل النواة التي نصف قطرها R ، فإن الشرط الأساسي واللازم كي يبقى النيوكلون داخل النواة هو:

$$\lambda \leq 2R$$

واعتماداً على نظرية دي بروي نكتب:

$$l = \frac{h}{P} = \frac{h}{\sqrt{2MK}} = 2p \left(\frac{h}{Mc} \right) \sqrt{\frac{Mc^2}{2K}}$$

حيث M و K و P هي كتلة وطاقة حركة وكمية حركة النيوكلون و $\frac{h}{Mc}$ هو طول كمبتون الموجي للنيوكلون ويساوي 2.1×10^{-14} cm فإذا أخذنا نواة متوسطة الكتلة فإن نصف قطرها يساوي 3×10^{-13} cm تقريباً.

وبالتعويض في المعادلة السابقة نجد أن:

$$K \approx 25 \text{ Me V}$$

ولكي يظل النيوكلون داخل النواة فإن الطاقة الكامنة U_0 — يجب أن تساوي طاقة الارتباط مضافاً إليها طاقة الحركة، وحيث إن متوسط طاقة الارتباط تساوي 8 MeV فإن:

$$- U_0 = \varepsilon + K \approx 33 \text{ MeV}$$

أي أن:

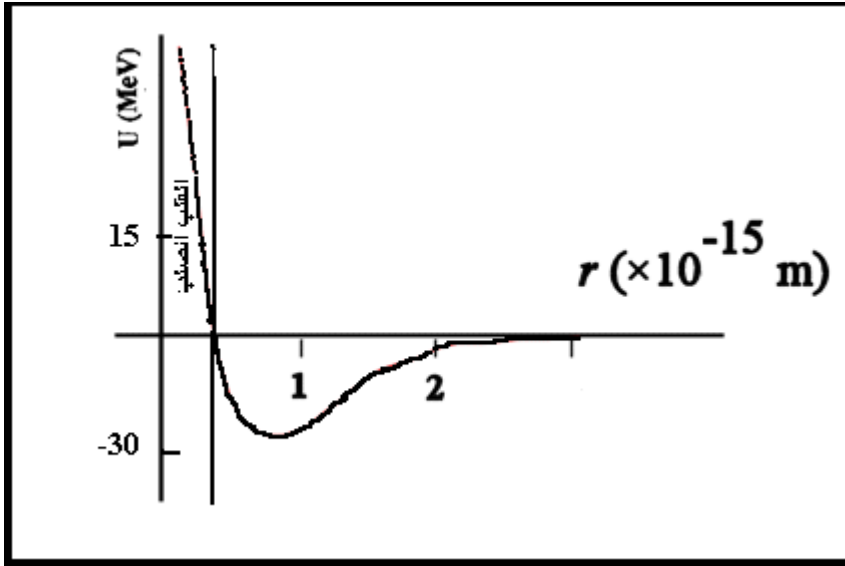
$$U_0 = - 33 \text{ Me V}$$

بينما مدى القوى النووية القوية هو 2×10^{-15} m وبناءً على ذلك فإذا أردنا وصف شكل الجهد النووي فإنه يلزمنا وسيطان هما عمق البئر الجهد U_0 ومدى القوى النووية القوية الذي بعده

مباشرة يصل الجهد إلى الصفر. لكن المعادلة الأخيرة لاتعطينا تغير الجهد ضمن المجال $0 < r < 2 \times 10^{-15} \text{ m}$.

في تجارب التشتت عند الطاقات العالية وجد أنه في مركز النواة قلب طارد بالرغم من أن التأثير الكلي للقوى النووية تأثير تجاذبي.

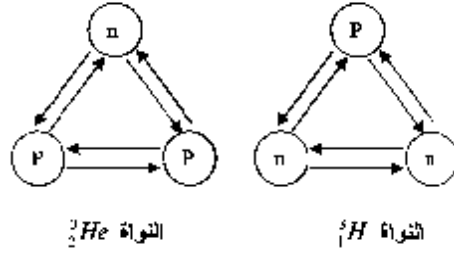
ويبين الشكل (2) الجهد النووي U . ويبدو من الشكل أن القلب يباعد بين النيوكلونات عن بعضها البعض عندما تفصلها مسافة أقل من 0.4 F وإلا ستندمج هذه النيوكلونات مع بعضها البعض مكونة جسيماً واحداً وهذا ما تعارضه التجربة التي تثبت أن النواة تحتفظ بشخصيتها.



الشكل (2)

جـ — لا تعتمد القوى النووية القوية على الشحنة الكهربائية. ولإثبات ذلك نأخذ النواتين ^3_1H و ^3_2He . ففي النواة ^3_1H نجد بروتوناً واحداً ونيوترونين. وبالتالي يوجد فيها تفاعلان np وتفاعل واحد nn كما هو مبين في الشكل (3). أما نواة الهيليوم ^4_2He فتحتوي تفاعلين np بينما استبدل التفاعل nn بآخر هو pp .

وعند حساب طاقة الارتباط النووية لكل من النواتين نجد أن $B(^3_1\text{H}) = 8.48 \text{ MeV}$ و $B(^3_2\text{He}) = 7.72 \text{ MeV}$ ويعود الفرق بين الطاقنتين السابقتين لطاقة التناثر الكولوني بين البروتونين الموجودين في نواة الهيليوم ^4_2He . وبفرض أن المسافة بين البروتونين



الشكل (3)

في النواة ${}^3_2\text{He}$ تساوي 2F نجد أن هذه الطاقة تساوي 0.72 MeV وبإضافة هذه القيمة إلى طاقة ارتباط الهيليوم 3 نجد 8.44 MeV وهذه قيمة قريبة جداً من طاقة التريتيوم 3. ونستنتج من ذلك أن القوة النووية بين بروتونين تساوي تلك التي بين نيوترونين أو تلك التي بين بروتون ونيوترون، أي أن هذه القوة متماثلة بالنسبة للشحنة Charge Symmetry ويمكن أن نكتب:

$$F_{pp} = F_{nn} = F_{np}$$

د — القوى النووية القوية ناتجة عن التبادل المستمر لجسيمات ثقيلة بين النيوكلونات. لقد اقترح هذا هايزنبرج عام 1932. وفي عام 1935 أثبت الياباني يوكاوا نظرياً الاقتراح السابق.

وطبقاً لنظرية يوكاوا، ولأن مدى القوى النووية قصير، فإن النيوكلونات تحاط بسحابة افتراضية من الجسيمات الثقيلة والتي يقوم النيوكلون بإصدارها وامتصاصها باستمرار. يُسمى الجسيم الثقيل السابق بيوناً Pion والتي هي اختصار لـ باي ميزون Pi meson.

ويسمح مبدأ الارتياح بين الطاقة والزمن لهايزنبرج بخرق قانون حفظ الطاقة وظهور البايون لفترة زمنية صغيرة جداً. لذلك يعتبر البايون جسيماً افتراضياً Virtual Particle.

إذاً صدر، من نيوكلون ساكن طاقته السكونية Mc^2 ، بايون كمية حركته P وطاقة سكونه $M_\pi c^2$ فإن النيوكلون سيكتسب كمية حركة (-P). وبالتالي فإن طاقة النيوكلون الكلية تساوي:

$$E_N = \sqrt{(-Pc)^2 + (Mc^2)^2}$$

وطاقة البايون الكلية تساوي:

$$E_p = \sqrt{(Pc)^2 + (m_p c^2)^2}$$

وعندئذ سيعطي قانون حفظ الطاقة العلاقة التالية:

$$Mc^2 = E_N + E_\pi$$

وهذه العلاقة لا يمكن أن تتحقق، لأن الطرف الأيمن أكبر من الطرف الأيسر. ولحل الإشكال السابق نعتد على خرق قانون حفظ الطاقة في عملية الإصدار بمقدار ΔE يُعطى بالعلاقة:

$$\begin{aligned} \Delta E &= (E_N + E_\pi) - Mc^2 \\ &= \sqrt{(-Pc)^2 + (Mc^2)^2} + \sqrt{(Pc)^2 + (m_p c^2)^2} - Mc^2 \end{aligned}$$

وبما أن $P < m_\pi c^2$ و $P < Mc^2$ ومنه:

$$\Delta E \approx m_p c^2$$

وبما أن علاقة الارتياح $\Delta E \geq \hbar$. Δt تسمح بخرق قانون حفظ الطاقة لأصغر فترة زمنية Δt تساوي:

$$\Delta t \approx \frac{\hbar}{\Delta E}$$

فإن أكبر مسافة يقطعها البليون الافتراضي هي:

$$R = c \cdot \Delta t = \frac{\hbar c}{m_p c^2} = \frac{\hbar}{m_p c}$$

وباعتبار أن R متوسط المسافة بين النيوكلونات، أي أن $R = 1.4 F$ فإن:

$$m_p c^2 = \frac{\hbar c}{R} = \frac{197.3 \text{ MeV} \cdot F}{1.4 F} = 140 \text{ MeV}$$

ولقد دلت القياسات التجريبية التي جرت عام 1947 على وجود بليون موجب π^+ وبليون سالب π^- طاقة كل منهما تساوي:

$$m_{\pi^+} c^2 = m_{\pi^-} c^2 = 139.57 \text{ MeV} \approx 140 \text{ MeV}$$

كما تمّ، في عام 1950، اكتشاف البليون المعتدل الشحنة عند دراسة التصادم عالي الطاقة حيث وجد أن كتلته تساوي:

$$m_p \cdot c^2 = 134.96 \text{ MeV} \approx 135 \text{ MeV}$$

وتوجد قوة رابعة تسمى قوة التفاعل الضعيف Weak Interaction تظهر في بعض ظواهر تفكك النوى غير المستقرة مثل تفكك β . والشدة النسبية للقوى الأربعة: النووية القوية، الكهرومغناطيسية، الضعيفة والتجاذب العام هي:

1, 10^{-2} , 10^{-14} , 10^{-40} على الترتيب.

5.3 - الانشطار النووي:

يبدأ تاريخ الانشطار النووي بتجارب فيرمي Fermi المتعلقة بتوليد النشاط الإشعاعي باستخدام النيوترونات. ففي عام 1934 عرض فيرمي عدداً من العناصر، منها اليورانيوم، للنيوترونات ووجد أن النشاط الإشعاعي المتولد يملك أعمار نصف متغيرة. وكشفت دراسات تفصيلية للظاهرة السابقة سلاسل عناصر مشعة حيث يتفكك أحدها معطياً الآخر.

فعندما تأسر نوى اليورانيوم نيوترونات ينتج نظير يورانيوم ثقيل الذي يشع جسيم β ، أي يصدر إلكترونات. والعنصر الناتج 93 يعطى أيضاً إلكترونات متحولاً لعنصر عدده الذري 94. وتم تفسير ذلك بمعرفة أن لليورانيوم نظائر عدة، كل واحد منها يصبح مسؤولاً عن سلسلة مشعة بعد تعرضه للنيوترونات. ومع ذلك، فدراسة الخصائص الكيميائية للعناصر الناتجة بينت وجود عناصر أخف من نظائر اليورانيوم مثل الراديوم $^{226}_{88}\text{Ra}$ والأكتينيوم $^{227}_{89}\text{Ac}$. وبيئت تجارب أخرى أن نواتج تعريض نظائر اليورانيوم للنيوترونات تشبه الراديوم والأكتينيوم.

وفي عام 1938 بين هاهن Hahn وستراسمان Strassman بواسطة الكيمياء الإشعاعية التحليلية أن اليورانيوم المشع بالنيوترونات ينتج عنه عنصر الباريوم $^{56}_{56}\text{Ba}$ الذي يقع في منتصف الجدول الدوري والمماثل كيميائياً لعنصر الراديوم $^{88}_{88}\text{Ra}$. ووضح فريش Frisch وميتر Meitner هذه النتيجة المدهشة بافتراض أن النواة الثقيلة الناتجة عن أسر نيوترون تتشطر إلى قسمين متساويين تقريباً (تسميان شظيتا الانشطار) Z_1 و Z_2 هما عددهما الذريان و A_1 و A_2 عددهما الكتليان بحيث:

$$Z_1 + Z_2 = Z, \quad A_1 + A_2 = A + 1 \approx A \quad (5)$$

وينتج عن الانشطار النووي السابق طاقة كبيرة Q تعطى كما يلي:

$$Q = [M - (M_1 + M_2)]c^2 \quad (6)$$

حيث M كتلة النواة المنشطرة و M_1, M_2 كتلتي شظيتي الانشطار .

واعتماداً على ما وجدناه في الفصل الأول فإن متوسط طاقة ارتباط النيوكلون في النواة $M(A,Z)$ تعطى كما يلي:

$$e = B / A = [Zm_p + (A - Z)m_n - M] c^2 / A$$

ومنها نجد:

$$Mc^2 = \{Z m_p + (A - Z) m_n\}c^2 - \epsilon A$$

$$M_1 c^2 = \{Z_1 m_p + (A_1 - Z_1) m_n\}c^2 - \epsilon_1 A_1$$

$$M_2 c^2 = \{Z_2 m_p + (A_2 - Z_2) m_n\}c^2 - \epsilon_2 A_2$$

وبالتعويض في (6)، وبالاتماد على (5) نجد:

$$Q = e_1 A_1 + e_2 A_2 - e A = A(\bar{e} - e)$$

حيث " $\bar{e} = (e_1 A_1 + e_2 A_2) / A$ والتي تمثل متوسط طاقة الارتباط للنيوكلون لشظيتي الانشطار. ومن أجل النوى الواقعة في منتصف الجدول الدوري فإن \bar{e} أكبر من ϵ لليورانيوم بحوالي 0.8 MeV أي أن $\bar{e} - e = 0.8 \text{ MeV}$ وبالتالي فإن:

$$Q = A (\bar{e} - e) = 238 \times 0.8 \approx 200 \text{ MeV}$$

ومعظم طاقة الانشطار السابقة تحرر على شكل طاقة حركة Q_f لشظايا الانشطار. وتعتمد هذه النتيجة على أن نواتج الانشطار تتطلق تحت تأثير قوى كولون الكبيرة. إن الطاقة الكولونية بين شظيتي الانشطار، التي تفصل بينهما مسافة δ ، تساوي:

$$V_c = k \frac{Z_1 Z_2 e^2}{d}$$

حيث Z_1 و Z_2 شحنات شظيتي الانشطار و $\delta = R_1 + R_2$ على اعتبار R_1 نصف قطر الشظية الأولى و R_2 نصف قطر الشظية الثانية. وحيث نصف قطر النواة، وكما رأينا في الفصل الأول، يُعطى كما يلي:

$$R = r_0 A^{1/3} = 1.4 \times 10^{-13} A^{1/3} \text{ cm}$$

فإذا فرضنا أن $Z_1 = Z_2 = 92 / 2 = 46$ وأن $R_1 = R_2$ أي

فإننا نجد: $A_2 = A_1 = 238/2 = 119$

$$V_c = 9 \times 10^9 \frac{(46)^2 (1.6 \times 10^{-19})^2}{2 \times (1.4 \times 10^{-15})^3 \sqrt[3]{119} \times 1.6 \times 10^{-13}}$$

$$\approx 200 \text{ MeV}$$

ويعني هذا أن V_c من رتبة Q المحسوبة سابقاً.

وبما أن اليورانيوم 238 يحتوي على زيادة نسبية في النيوترونات حيث $\frac{N}{Z} = 1.59 > 1$ ، فإن نواتج الانشطار تملك أيضاً زيادة نسبية في النيوترونات. وبالتالي فإن هذا النواتج تصدر جسيمات β وتمثل أيضاً نقطة بداية لسلسلة مشعة. ويعني هذا أن بعضاً من الطاقة المحررة Q عن الانشطار يذهب كطاقة تفكك Q_b لإصدار جسيمات β . ويجب أن نتوقع أيضاً صدور مباشر للنيوترونات عن شظايا الانشطار، والتي تحمل جزءاً من الطاقة المحررة عن الانشطار نرمز له بـ Q_n .

6.3- نظرية الانشطار النووي Nuclear Fission Theory:

لقد طور بور Bohr، عام 1939، نظرية الانشطار النووي. ولقد حل فرانكل Frankel، فرضيات فريش — منتر حول عدم استقرار النوى الثقيلة وممانعتها لتغير شكلها ثم وضع توجهاً يعتمد على نموذج القطرة السائلة. ونبين فيما يلي نظرية مبسطة للانشطار النووي.

1.6.3 — طاقة الانشطار Fission Energy

لقد بينا أن طاقة الانشطار Q تذهب على شكل طاقة حركة Q_f لشظايا الانشطار و Q_β طاقة تفكك لجسيمات β . وبإهمال طاقة النيوترونات Q_n فإننا نكتب:

$$Q = Q_f + Q_\beta$$

ولحساب Q_f نفرض أن العدد الكتلي A والعدد الذري محفوظان، أي المعادلتان (5) محققتان. واعتماداً على ذلك فإن Q_f تساوي تقريباً Q ، ونكتب:

$$Q_f = [M - (M_1 + M_2)]c^2$$

$$= \{ [Z_1 m_p + (A_1 - Z_1) m_n - M_1] + [Z_2 m_p + (A_2 - Z_2) m_n - M_2] - [(Z_1 + Z_2) m_p + (A_1 + A_2 - Z_1 - Z_2) m_n - M] \} c^2$$

$$Q_f = B_1 + B_2 - B \quad (7)$$

حيث B_1, B_2, B طاقات ارتباط النوى M_1, M_2, M على الترتيب.

واعتماداً على ما تم التوصل إليه في المثال (15) من الفصل الأول فإن طاقة ارتباط النواة تعطى بعلاقة ويزكر التالية:

$$B = a_J A - a_s A^{2/3} - a_c \frac{Z^2}{A^{1/3}} - a_a \frac{(A-2Z)^2}{A} \quad (8)$$

حيث تم إهمال الحد الأخير، حدّ التزاوج، لصغره بالنسبة للنوى الثقيلة. وكما هو معروف من التجربة، فإن الانشطار لا متمائل. ولذلك فإننا سنأخذ علاقة لا متمائلة، تربط بين A_1 و A_2 و Z_1 و Z_2 ، هي التالية:

$$\frac{A_2}{A_1} = \frac{Z_2}{Z_1} = \frac{3}{2}$$

وبما أن $Z_2 + Z_1 = Z$ ، $A_2 + A_1 = A$ فإن:

$$A_2 = \frac{3}{5}A \quad , \quad A_1 = \frac{2}{5}A \quad , \quad Z_2 = \frac{3}{5}Z \quad , \quad Z_1 = \frac{2}{5}Z$$

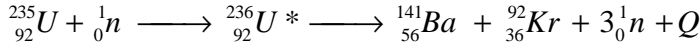
وبالتعويض في (8) نجد:

$$\begin{aligned} B_1 &= a_J A_1 - a_s A_1^{2/3} - a_c \frac{Z_1^2}{A_1^{1/3}} - a_a \frac{(A_1 - 2Z_1)^2}{A_1} \\ &= \frac{2}{5}a_J A - \left(\frac{2}{5}\right)^{2/3} a_s A^{2/3} - \left(\frac{2}{5}\right)^{5/3} a_c \frac{Z^2}{A^{1/3}} - \frac{2}{5}a_a \frac{(A-2Z)^2}{A} \\ B_2 &= \frac{3}{5}a_J A - \left(\frac{3}{5}\right)^{2/3} a_s A^{2/3} - \left(\frac{3}{5}\right)^{5/3} a_c \frac{Z^2}{A^{1/3}} - \frac{3}{5}a_a \frac{(A-2Z)^2}{A} \end{aligned}$$

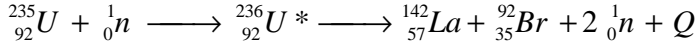
وبالتعويض عن B_2, B_1 في (7) نجد:

$$Q_f = -0.25 a_s A^{2/3} + 0.36 a_c \frac{Z^2}{A^{1/3}} \quad (9)$$

يعد تفاعل الانشطار النووي مصدراً مهماً للطاقة حيث تتزايد احتياجات الإنسان المعاصر لها. وكما رأينا سابقاً فإن كمية كبيرة من الطاقة تتحرر بعد كل انشطار نووي، حيث تقدر الطاقة الناتجة عن الانشطار الواحد بحوالي 200MeV. ويمكن حساب هذه الطاقة بعدة طرق. ولنأخذ مثلاً الانشطار النووي التالي:



كما ويمكن أن يتم الانشطار السابق كما يلي:



وتحسب طاقة الانشطار Q، في التفاعل الأخير، كما يلي:

$$Q = [M_U + M_n - (M_{La} + M_{Br} + 2 M_n)] c^2 \quad (10)$$

حيث بعد التعويض عن الكتل بقيمها نجد أن:

$$Q \approx 200\text{MeV}$$

وتظهر هذه الطاقة على شكل طاقة حركية لنشطايا الانشطار والنواتج الأخرى مثل جسيمات β والنيوترونات أو أشعة جاما.

مثال (3):

بفرض أن متوسط الطاقة الحرارية الناتجة عن انشطار نواة يورانيوم 235 يساوي 194MeV، فاحسب الاستطاعة التي نحصل عليها يومياً من انشطار 1g من اليورانيوم 235.

الحل:

$$194 \text{ MeV} = 194 \times 1.6 \times 10^{-13} \text{ J} = 3.11 \times 10^{-11} \text{ J}$$

وبما أن كتلة M من اليورانيوم تحوي على $\frac{N_a \times M}{A}$ ذرة، حيث N_a عدد أفوكادرو، فإن عدد الذرات n الموجودة في 1g من اليورانيوم 235 يساوي:

$$n = \frac{6.02 \times 10^{23} \times 1}{235} = 2.56 \times 10^{21} \text{ atoms}$$

وبالتالي فإن الطاقة الحرارية Q الناتجة عن 1g من اليورانيوم تساوي:

$$Q = 3.11 \times 10^{-11} \times 2.65 \times 10^{21} = 7.96 \times 10^{10} \text{ J}$$

أما الاستطاعة الناتجة عن الطاقة Q السابقة فتساوي:

$$P = \frac{Q}{3600} = 2.21 \times 10^7 \text{ Whr}$$

$$P = 22.1 \text{ MWhr} \quad \text{أو:}$$

ولحساب الاستطاعة اليومية فإننا نقسم على 24hr فنجد:

$$P_d = P/24 = 0.92 \text{ MWd}$$

أي نحصل على طاقة حرارية تساوي 1MWd تقريباً عند انشطار جرام واحد من اليورانيوم 235.

2.6.3 – آلية الانشطار The Mechanism of Fission

حتى يحدث الانشطار يجب أن تكون الطاقة Q_f في المعادلة (9) موجبة، أي:

$$Q_f > 0$$

$$0.36 a_c \frac{Z^2}{A^{1/3}} > 0.25 a_s A^{2/3} \quad \text{أو}$$

ومنها نجد:

$$\frac{Z^2}{A} > 16$$

حيث: $a_s = 17.23 \text{ MeV}$, $a_c = 0.74 \text{ MeV}$ والمعطاة في المثال (15) من الفصل الأول. هذا الشرط محقق من أجل النوى الثقيلة كافية والتي تبدأ بالفضة:

$$\frac{Z^2}{A} ({}^{108}_{47}\text{Ag}) = \frac{(47)^2}{108} = 20 > 16$$

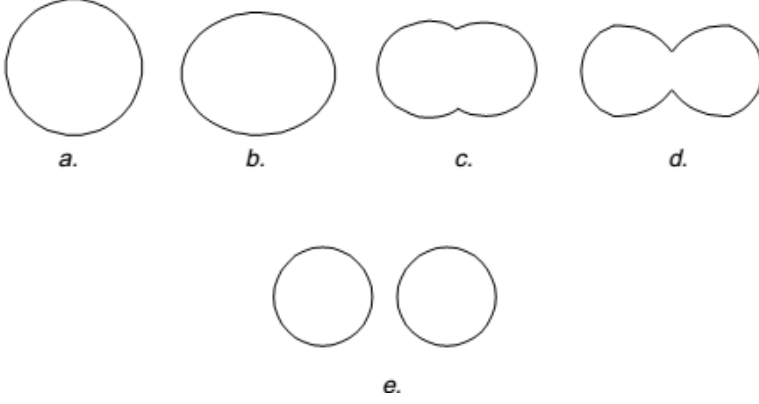
فمن وجهة طاقة، فإن الانشطار ممكن من أجل كل النوى الواقعة في النصف الثاني من الجدول الدوري. ولا تؤكد التجربة هذه النتيجة حيث تم التأكد تجريبياً من انشطار ثلاث نوى فقط هي الثوريوم ${}^{90}\text{Th}$ والبروتكتينيوم ${}^{91}\text{Pa}$ واليورانيوم ${}^{92}\text{U}$. وبالتالي لا بد من تطوير الدراسة السابقة.

لنفرض أن النواة قد تمت إثارتها بوساطة أسر نيوترون وبالتالي فإنها تبدأ بالاهتزاز، ففي حالة طاقة الإثارة المنخفضة فإن النواة ستهتز وسيغير شكلها من الشكل الكروي إلى مجسم القطع الناقص Ellipsoidal ثم تعود إلى الشكل الكروي تحت تأثير قوى المرونة الناتجة عن التوتر السطحي.

أما إذا كانت طاقة الإثارة كافية فإن النواة لن تعود إلى شكلها الأولي (الشكل الكروي). وعند هذه الحالة، فإن قوى كولون التنافرية تتابع بتغيير شكل النواة لتمر بالمرحلة التالية: كرة، مجسم قطع ناقص، ساعة رملية، شظايا كثرية، كرتان كما في الشكل (4). فقوى كولون

التنافرية كبيرة بحيث لا يمكن أن تعوضها قوى التوتر السطحي في المرحلة الثانية (ساعة رملية).

فإذا فرضنا أن مجسم القطع الناقص الناتج في المرحلة الأولى عبارة عن مجسم قطع ناقص دوراني Ellipsoidal of Revolution، وبالتالي يمكن حساب



الشكل (4)

التغير في الطاقتين السطحية والكولونية. لنفرض أن المحور الكبير لمجسم القطع الناقص الدوراني $a = R(1 + \eta)$ والمحور الصغير $b = R/\sqrt{1+\eta}$ حيث η وسيط صغير. إن الاختيار السابق مبرر لأن النواة المشبهة بقطرة السائل غير قابلة للانضغاط حيث حجم النواة الكروية $\frac{4}{3}\pi R^3$ يساوي حجم النواة التي شكلها مجسم قطع ناقص $\frac{4}{3}\pi a b^2$ ، أي:

$$V_{el} = \frac{4}{3}\pi a b^2 = \frac{4}{3}\pi R^3$$

إن سطح مجسم القطع الناقص الدوراني يُعطى بالعلاقة:

$$S_{el} = 2\pi a b \left(\sqrt{1-g^2} + \frac{\sin^{-1} g}{g} \right)$$

حيث: $g = \sqrt{a^2 - b^2} / a$

وبتعويض قيمتي a و b في المعادلة السابقة وبالاكتفاء بعد النشر بحد الدرجة الثانية لـ η نجد:

$$S_{el} = 4p R^2 (1 + \frac{2}{5}h^2)$$

وبالتالي فإن الطاقة السطحية B_s^{\setminus} متناسبة مع S_{el} ، أي:

$$B_s^{\setminus} = B_s (1 + \frac{2}{5}h^2)$$

حيث B_s حد السطح في علاقة ويزكر، وذلك باعتبار أن النواة كروية الشكل. ونلاحظ من العلاقة السابقة أن B_s^{\setminus} تزداد بازدياد η . ويمكن حساب الطاقة الكولونية لنواة لها شكل مجسم قطع ناقص بحل معادلة بواسون لمجسم قطع ناقص دوراني مشحون بانتظام، والتي تعطي:

$$B_c^{\setminus} = B_c (1 - \frac{1}{5}h^2)$$

حيث B_c حد التناظر الكولوني في علاقة ويزكر باعتبار النواة كروية الشكل. ونلاحظ من العلاقة السابقة أن B_c^{\setminus} تتناقص بازدياد η . واعتماداً على المعادلتين السابقتين يمكن إيجاد طاقة التشوه ΔQ ، كما يلي:

$$\begin{aligned} \Delta Q &= (B_s^{\setminus} - B_s) + (B_c^{\setminus} - B_c) \\ &= \frac{2}{5}h^2 B_s - \frac{1}{5}h^2 B_c \\ &= \frac{h^2}{5} (2B_s - B_c) \end{aligned}$$

وتبين المعادلة الأخيرة أن النواة تكون مستقرة إذا كان $\Delta Q > 0$ ، أي إذا كان:

$$2B_s > B_c$$

أو:

$$-2a_s A^{2/3} > -a_c \frac{Z^2}{A^{1/3}}$$

$$\frac{Z^2}{A} > 2 \frac{a_s}{a_c} = 47 \quad \text{ومنها نجد:}$$

ونستنتج من ذلك أن النواة التي تحقق الشرط السابق تتشطر تلقائياً.

لكن نجد من أجل النوى $^{253}_{100}Fm$ ، $^{249}_{98}Cf$ ، $^{245}_{96}Cm$ أن:

$$\frac{Z^2}{A} (Fm) = 40 , \frac{Z^2}{A} (Cf) = 39 , \frac{Z^2}{A} (Cm) = 38$$

ومع ذلك فإن احتمال انشطار النوى السابقة غير معدوم. ويتم تفسير ذلك بوساطة مفعول النفق الكمي كما هو الحال بالنسبة لتفكك جسيمات ألفا. حيث يوجد هنا حاجز انشطار شبيه بحاجز الجهد الكولوني الذي يعترض جسيمات ألفا عند تفككها. وهذا ما سنتحدث عنه في الفقرة التالية.

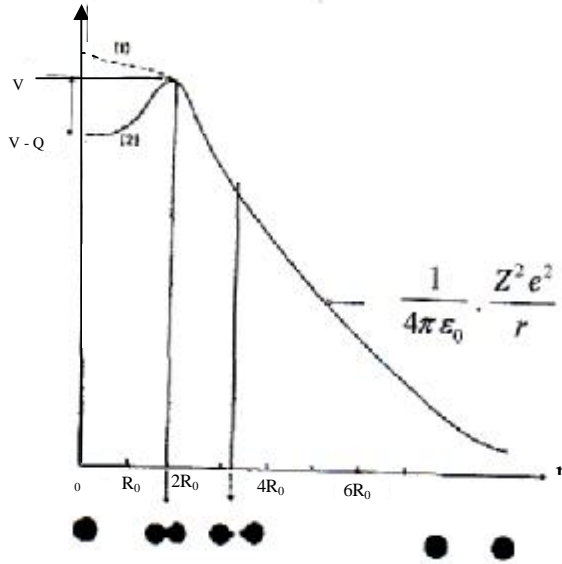
3.6.3 – حاجز الانشطار Fission Barrier

من أجل السهولة، لنأخذ الانشطار المتماثل. ولنفرض أن كل شظية ناتجة عن الانشطار عبارة عن كرة نصف قطرها $r_0 \left(\frac{A}{2}\right)^{1/3}$ حيث $R_0 = r_0$ العدد الكتلي للنواة المنشطرة. لنفرض أننا حاولنا تقريب شظيتي الانشطار المشحونتين بشحنتين موجبتين من اللانهاية إلى مسافة أدنى اقتراب $r = 2R_0$ بحيث تتلامسان كما في الشكل (5). وعند المسافة السابقة تبدأ القوى النووية بالظهور. فإذا كانت شدة القوى النووية كافية من أجل $r < 2R_0$ فإن الطاقة الكامنة تتناقص ويكون بئر جهدي والنواة المتشكلة من الشظيتين مستقرة. وبالعكس، إذا لم تتناقص الطاقة الكامنة، من أجل $r < 2R_0$ فإن استقرار النواة الناتجة غير ممكن، وبالتالي يمكن اعتبار حاجز انشطار بالارتفاع التالي:

$$V = \frac{1}{4\pi e_0} \cdot \frac{(Z/2)^2 e^2}{2R_0}$$

ويمكن رسم المخطط المبين في الشكل (5). يمثل V حاجز كولون الذي يجب أن تتغلب عليه شظية الانشطار كي تتطلق من النواة. وتوجد حالتان ممكنتان حسب الطاقة المحررة من عملية الانشطار.

أ – **الانشطار التلقائي:** ويحدث من أجل $Q > V$ حيث تمثل الطاقة الكامنة بالمنحني المبين بالشكل (5). والنوى الناتجة لا يمكن أن تكون مستقرة، فهي تعاني مباشرة من الانشطار. ويحدث هذا، وفي أغلب الحالات من أجل $Z > 100$ ويفسر هذا لماذا يكون من الصعب أكثر فأكثر صنع نوى تكبر أكثر فأكثر نوى اليورانيوم، والتي تسمى نوى ما بعد اليورانيوم.

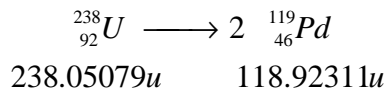


الشكل (5)

ب _ الانشطار المحرّض: حيث تمثل الطاقة الكامنة بالمنحني (5) ويكون $Q < V$. ويمكن أن تحصل النواة على طاقة التحريض عن طريق قذفها بالنيوترونات، فتتكون نواة مركبة مثارة يمكن أن تنشط كما هو الحال بالنسبة للنواة ^{235}U . كما يمكن للانشطار التلقائي أن يحدث عن طريق مفعول النفق، إلا أن حاجز الانشطار يصبح مهماً بازدياد $V - Q$. فمثلاً في حالة ^{238}U فإن $V - Q \approx 5\text{MeV}$ وعمر نصف الانشطار من مرتبة تساوي 10^{16} سنة، حيث نحصل على 25 انشطراً في الساعة لكل جرام من ^{238}U .

مثال (4):

بفرض أن نواة اليورانيوم 238 تنشط كما في المعادلة التالية:



فاحسب طاقة الانشطار Q ثم احسب V-Q.

الحل:

$$Q = (238.05079 - 2 \times 118.92311) \text{uc}^2 \approx 191 \text{ MeV}$$

وقد وجدنا، في مقدمة هذا الفصل، أن:

$$V = V_c \approx 200 \text{ MeV}$$

وبالتالي فإن:

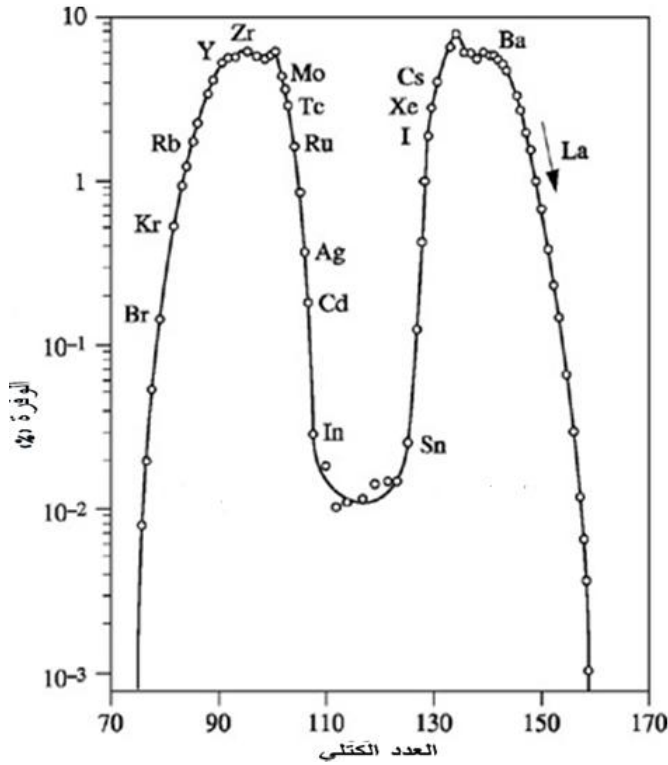
$$V - Q = 9 \text{ MeV}$$

إن حساباً أكثر دقة يعطي:

$$V - Q \approx 5 \text{ MeV}$$

4.6.3 شظايا الانشطار Fission Fragments

إن تقسيم نواة إلى شظيتين متقاربتين بالكتلة وكل منهما قريبة من نصف كتلة النواة الأم يمكن أن يتم بواسطة عدد كبير من الطرق المختلفة. فاليورانيوم 235، وتحت تأثير نيوترون حراري، يمكن أن ينشطر بواسطة ثلاثين طريقة مختلفة معطياً حوالي ستين شظية انشطار متميزة. وبالنسبة للعدد الكلي لشظايا الانشطار الناتجة عن اليورانيوم 235، يبين الشكل (6) النسبة المئوية

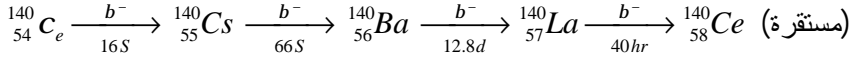


الشكل (6)

(الوفرة %) لكل شظية بتابعة العدد الكتلي A للشظايا السابقة.

إن المنحنيات الموافقة للنوى الثقيلة الأخرى (^{232}Th , ^{238}U , ^{233}U) مماثلة لما هو مبين في الشكل (6)، حيث يبقى عدد شظايا الانشطار الناتجة ثابتاً.

إن نواتج الانشطار تتغير من الناحية الكيميائية نتيجة لتفكك β . والسلسلة التالية مثال على مجموعة من التفككات التي يتلو الواحد منها الآخر:

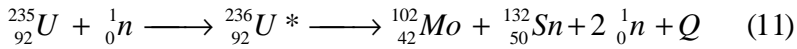


وإذا كانت عملية الانشطار تستمر زمناً كافياً بسرعة ثابتة فإننا نصل إلى اتزان في معظم السلاسل ولا يتغير التركيب الكيميائي لنواتج الانشطار فيما بعد. ويكون كل عنصر عندئذ مثلاً بعدد من النظائر من مختلف السلاسل. وفي حالة الاتزان يكون ربع نواتج الانشطار كلها من العناصر الترابية النادرة. ومن أهم العناصر الأخرى الزيركونيوم بنسبة 15% والموليبدينوم بنسبة 12% والسيزيوم بنسبة 6.5%. وتساوي نسبة غازي الكزنيون والكريبنتون 16% حيث يبلغ حجم هذين الغازين عن انشطار كيلو جرام واحد من اليورانيوم 235 على مدى حوالي 4 سنوات أكثر من 25m^3 في الظروف العادية.

5.6.3- نيوترونات الانشطار Fission Neutrons

إن نواة اليورانيوم 236 الناتجة عن قذف نواة اليورانيوم 235 بالنيوترونات تكون غنية بالنيوترونات، أي أن: $N/Z > 1$ للنوى القابلة للانشطار.

وبعد انشطار النواة إلى نواتين كلٌّ منهما أصغر منها، فإن النسبة N/Z لهاتين النواتين مماثلة غالباً للنسبة N/Z للنواة الأم. ولنأخذ الانشطار المبين في المعادلة التالية:



ف نجد أن النواة المركبة ^{236}U غنية بالنيوترونات حيث $\frac{N}{Z} = 1.57$. وهكذا سيظل الحال بالنسبة لشظيتي الانشطار الناتجتين، حيث نجد أن الشظية ^{132}Sn زوجية السحرية، $N = 82$ ، $Z = 50$ ومن ثم نتوقع أن تكون النواة السابقة أهم النوى الناتجة عن الانشطار.

ونجد أن النواتين الناتجتين في كل منهما $\frac{N}{Z} > 1$. وأكثر من ذلك فإن النسبة السابقة

تحقق المتراجحة $\frac{N}{Z} > \frac{N_0}{Z_0}$ لكل من شظيتي الانشطار السابقتين، حيث تعطى N_0 / Z_0

بالعلاقة (18) من الفصل الثاني. وبالتالي فكل نواة من شظيتي الانشطار السابقتين تصدر جسيمات فور تكونها للوصول إلى الاستقرار.

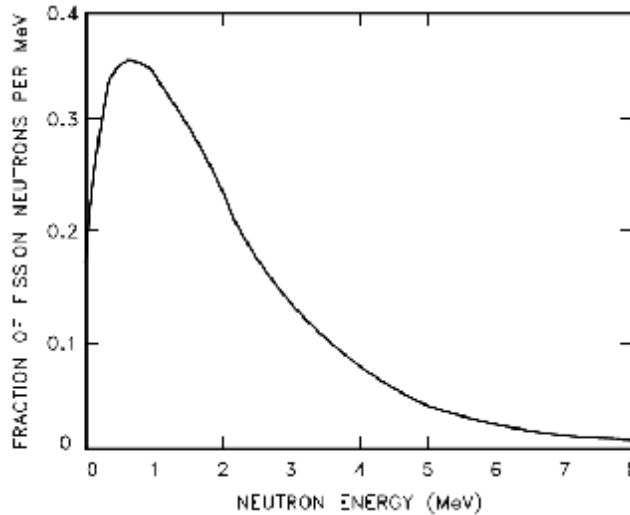
إن كلاً من شظيتي الانشطار غالباً ما تكون مثارة بطاقة عالية تقع ضمن المجال: 6 MeV إلى 8 MeV. وحيث إن كلاً من هاتين الشظيتين غنية بالنيوترونات وحيث إن طاقة ارتباط النيوترون في النواة تساوي حوالي 7 MeV فإن هذه الشظايا غالباً ما تطلق النيوترونات فور تكونها أي تنطلق منها نيوترونات لحظية Prompt وذلك خلال زمن قصير جداً في حدود 10^{-14} ثانية. وقد وجد أن النيوترونات المنطلقة في الانشطار النووي تنقسم إلى قسمين رئيسين:

6.6.3 – النيوترونات اللحظية Prompt Neutrons

بعد 10^{-14} ثانية من انشطار نواة اليورانيوم 236 ينطلق 99% من نيوترونات الانشطار والتي تسمى نيوترونات الانشطار اللحظية. ويرافق أيضاً النيوترونات اللحظية إصدار لأشعة جاما تسمى كذلك أشعة جاما اللحظية Prompt γ - Rays.

تنطلق النيوترونات اللحظية بطاقات مختلفة. إن طيف الطاقة للنيوترونات اللحظية مبين في الشكل (7) من أجل اليورانيوم 235 المنشطر بواسطة نيوترونات حرارية.

ويبين الشكل (7) أن طاقة النهاية العظمى للطيف تساوي 1 MeV تقريباً. أما متوسط طاقة النيوترونات اللحظية فتساوي 2 MeV تقريباً.



الشكل (7)

وقد سجلت لنيوترونات الانشطار قيم طاقة تبلغ 18MeV، إلا أن النيوترونات اللحظية ابتداءً من 10MeV تكون قليلة لدرجة أنها لا تكون ذات قيمة عملية. إن طيف الطاقة للنيوترونات اللحظية والمبين بالشكل (7) يمكن أن يُعبر عنه بواسطة المعادلة التالية:

$$c(K) = 0.453 e^{-1.036K} \sinh(2.29K)^{0.5}$$

حيث K الطاقة الحركية للنيوترون وsinh يمثل تابع الجيب القطعي.

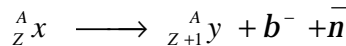
3. 7.6 — النيوترونات المتأخرة Delayed Neutrons

تمثل النيوترونات المتأخرة 1% من نيوترونات الانشطار. وقد أطلق عليها هذا الاسم لأنها تنطلق متأخرة قليلاً بعد عملية الانشطار، كما وأن شدتها تتخفف بمرور الزمن. ويمكن تصنيف هذه النيوترونات في ست مجموعات حسب عمرها النصفى. ونبين في الجدول التالي هذه المجموعات

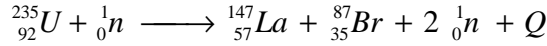
المجموعة	عمر النصف (s)	الطاقة (MeV) الخاصة بـ ^{235}U
1	54 - 56	0.25
2	21 - 23	0.56
3	5 - 6	0.43
4	1.9 - 2.3	0.62
5	0.5 - 0.6	0.42
6	0.17 - 0.27	—

وعمر النصف وطاقة كل منها بالنسبة لليورانيوم 235، حيث يتم الانشطار بواسطة النيوترونات الحرارية. ومما يجب ملاحظته من الجدول السابق أن طاقة النيوترونات المتأخرة أقل من طاقات معظم النيوترونات اللحظية.

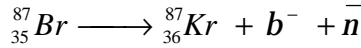
ولتوضيح آلية انطلاق النيوترونات المتأخرة نعود إلى شظايا الانشطار، حيث بينا أن هذه الشظايا هي نوى غنية بالنيوترونات أي أنها غير مستقرة وتشع لجسيمات β^- . وكما بينا في الفصل الثاني، فإن النواة $^A_Z C$ تصدر جسيم β^- كما في المعادلة التالية:



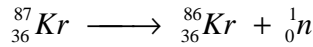
فالنواة الناتجة عن تفكك β^- يزداد عددها الذري، أي يزداد عدد بروتوناتها بينما ينقص عدد نيوتروناتها مقارنة مع عدد بروتونات ونيوترونات النواة الأم. فإذا كانت النواة الوليدة y ذات طاقة إثارة كبيرة أعلى من طاقة ارتباط النيوترون بها فإن هذا النيوترون ينطلق حيث يسمى نيوتروناً متأخراً. ويرتبط زمن انطلاقه بعمر النصف لتفكك β^- للنواة الأم x ، أي لشظية الانشطار. وبالتالي فإن تصنيفنا للنيوترونات بـ «نيوترونات متأخرة» راجع لعمر نصف المصادر β الأصلية، أي لشظايا الانشطار. فمثلاً في الانشطار التالي:



عمر النصف لشظية الانشطار Br يساوي 55.6 ثانية والتي تتفكك مصدرة جسيم β^- كما يلي:



إن نواة الكريبتون 87 الناتجة يمكن أن توجد في عدة مستويات إثارة تصل حتى 6.3 MeV وحيث إن هذه الطاقة أكبر من طاقة ارتباط النيوترون في نواة الكريبتون السابقة فإن نيوتروناً ينطلق منها وفق المعادلة:



وبالتالي فإن عمر النصف للنيوترون المتأخر السابق يساوي 55.6 ثانية.

ويجب أن نلاحظ أن نواة الكريبتون 87 تحتوي على 51 نيوتروناً، أي تحتوي على عدد سحري (50) ونيوترون مفرد. ومن ثم فإن هذا النيوترون الأخير مرتبط ارتباطاً ضعيفاً بالنواة وتكون نواة الكريبتون 86 المبينة في المعادلة السابقة مستقرة. أما بالنسبة لنوى الكريبتون 87 والتي لا تملك طاقة إثارة أكبر من طاقة ارتباط النيوترون فإنها تتفكك بإصدار جسيمات β^- حتى تصل إلى عنصر السترنشيوم Sr المستقر. ونلخص تفكك شظية البروم Br بالشكل (8).

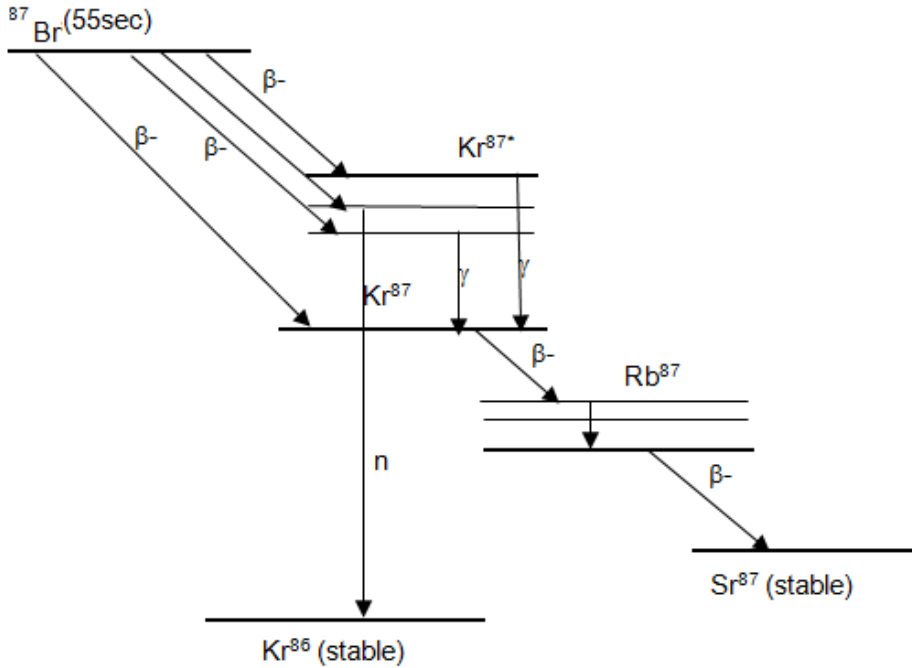
أما باقي مجموعات النيوترونات المتأخرة فيمكن أن تدرس بالأسلوب السابق نفسه. فقد وجد أن مجموعة النيوترونات المتأخرة بعمر نصف قدره 24.5 ثانية تنشأ عن شظية الانشطار $^{137}_{53}I$ الذي يتفكك عن طريق إصدار β^- معطياً $^{137}_{54}Xe$. إن النواة $^{137}_{54}Xe$ تحتوي على 83 نيوتروناً، حيث يمثل هذا العدد 82 عدداً سحرياً ونيوتروناً مفرداً. وبالتالي فإن النواة السابقة تعطي نيوتروناً بسهولة متحولة إلى النظير $^{136}_{54}Xe$ وذلك عندما تمتلك طاقة الإثارة الكافية.

تلعب النيوترونات المتأخرة دوراً فعالاً للسيطرة على المفاعلات النووية. ويرجع ذلك إلى أنه إذا فرضنا وجود النيوترونات اللحظية فقط فإن عمر النصف لهذه النيوترونات يبلغ 63 ميكروثانية مما يجعل السيطرة على المفاعل بالغة الصعوبة، وذلك لقصر الفترة الزمنية السابقة. أما في حالة وجود النيوترونات المتأخرة بعمر نصف متوسط قدره حوالي 12 ثانية فإن عمر النصف الكلي للنيوترونات يعطي كما يلي:

$$T_1 = 63 \times 10^{-6} \times 0.9936 + 12 \times 0.0064 = 77 \times 10^{-3} \text{ s}$$

حيث 0.9936 هي نسبة النيوترونات اللحظية عند انشطار اليورانيوم 235 والعدد 0.0064 يمثل نسبة النيوترونات المتأخرة.

وبالتالي تسمح الفترة الزمنية السابقة بحرية مقبولة للسيطرة على المفاعل النووي.



الشكل (8)

مثال (5):

إذا علمت أن كتلة كل من النظيرين $^{86}_{36}\text{Kr}$, $^{87}_{36}\text{Kr}$ تساوي:

$$m_n = 1.0087 \text{ u} \quad \text{وإن} \quad ^{87}\text{Kr} = 86.9134 \text{ u} , \quad ^{86}\text{Kr} = 85.9106 \text{ u}$$

والمطلوب: 1- احسب طاقة ارتباط النيوترون في النواة ^{87}Kr . ماذا تستنتج؟

2- بفرض أن النواة ^{87}Kr قد هيّجت بطاقة قدرها 5.8 MeV فاحسب كتلة النواة $^{87}\text{Kr}^*$ المبهجة ثم احسب طاقة النيوترون الناتج عن النواة السابقة.

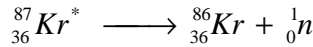
الحل:

$$\begin{aligned} S_n &= [m_n + M(A-1, Z) - M(A, Z)] c^2 \\ &= (1.0087 + 85.9106 - 86.9134) \text{ u} c^2 \\ &= 5.50 \text{ MeV} \end{aligned}$$

ونستنتج من ذلك أنه إذا كانت النواة ^{87}Kr مبهجة بطاقة أكبر من 5.50 MeV فإن نيوتروناً سينطلق من النواة السابقة وخاصة أن فيها 51 نيوتروناً حيث عدد سحري بالإضافة لنيوترون مفرد.

$$^{87}\text{Kr}^* = ^{87}\text{Kr} + \frac{5.8}{931.84} \text{ u} = 86.9196 \text{ u} \quad (2)$$

إن النواة $^{87}\text{Kr}^*$ تتفكك معطية نيوتروناً كما يلي:



وبالتالي الطاقة الحركية للنيوترون الناتج تساوي:

$$\begin{aligned} K_n &\approx Q = (^{87}\text{Kr}^* - ^{86}\text{Kr} - n) c^2 \\ &= (86.9196 - 85.9106 - 1.0087) \text{ u} c^2 \\ &= 0.0003 \times 931.48 \end{aligned}$$

$$K_n \approx 0.28 \text{ MeV} \quad \text{أي أن:}$$

7.3- طرق الانشطار النووي: Nuclear Fission Method

هناك طرق عديدة لإثارة نواة ما بحيث تكون طاقة الإثارة كافية لانشطارها، ومن ثم يحدث الانشطار النووي. وسوف نتناول فيما يلي هذه الطرق:

1.7.3- الانشطار الحراري Thermal Fission

يمكن للنيوترونات الحرارية أن تسبب انشطاراً لبعض النوى عند قذفها بهذه النيوترونات مثل اليورانيوم 235 والبولونيوم 239. حيث تعرف هذه النوى بالنوى الانشطارية كما بينا فيما سبق. ويعرف الانشطار الناتج عن النيوترونات الحرارية بالانشطار الحراري.

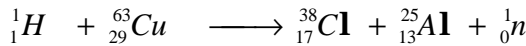
2.7.3 – الانشطار السريع Fast Fission

تتشطر بعض النوى عند قذفها بنيوترونات سريعة كما يحدث لنواة اليورانيوم 238. إذ يمكن لهذا النظير أن ينشطر عند قذفه بنيوترونات تبلغ طاقتها 1 MeV أو أكثر. إن النظير السابق لا ينشطر عندما يقذف بنيوترونات حرارية، ولكن انشطاره ممكن عندما يقذف بالنيوترونات السريعة. ويرجع ذلك إلى قيمة طاقة الإثارة التي تحصل عليها النواة عند قذفها بالنيوترونات.

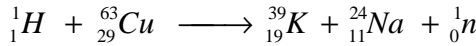
3.7.3 – الانشطار بواسطة الجسيمات المشحونة:

Fission With Charged Particles

بعد الانشطار من الناحية النظرية ممكن الحدوث عند قذف نواة ما بجسيمات مشحونة. فقد وجد أن النوى متوسطة الكتلة يمكن أن تتشطر عند قذفها بالبروتونات. فعلى سبيل المثال، عندما تُقذف نوى النحاس 63 بالبروتونات، بطاقة 50 MeV على الأقل، فإنها تتشطر إلى الكلور والألمنيوم حسب المعادلة التالية:



كما ويمكن أن تتشطر نواة النحاس إلى الصوديوم والبوتاسيوم كما في المعادلة التالية:



4.7.3 – الانشطار الثلاثي Ternary Fission

ليس هناك نظرياً ما يمنع النواة المركبة من انشطارها إلى ثلاث شظايا بدلاً من اثنتين. إن ذلك ممكن الحدوث أيضاً في ضوء نموذج القطرة السائلة. فقد وجد أنه عند قذف نواة يورانيوم 235 بالنيوترونات الحرارية فإن هناك 3 إلى 4 انشطارات ثلاثية من مجموع 10^6 انشطارات ثنائية. كما وجد أنه هناك إمكانية لانطلاق شظيتي انشطار بالإضافة إلى جسيم ثالث هو عبارة عن جسيم α عالي الطاقة، حوالي 15 MeV، كما يمكن أن ينطلق التريتيوم 3_1H أو الهيدروجين الثقيل.

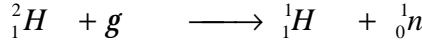
5.7.3 – الانشطار الضوئي Photo fission

يمكن لنواة ما أن تتشطر بعد قذفها بأشعة γ عالية الطاقة. فمثلاً يمكن استخدام أشعة جاما الناتجة عن مسرع البيئاترون بطاقة تتراوح من 8 إلى 16 MeV لشرط اليورانيوم الذي يوضع أمام هذه الأشعة على شكل أكسيد اليورانيوم. ويمكن الكشف عن شظايا الانشطار

الناتجة بالكشف عن أشعة β الناتجة عن تفكك هذه الشظايا. ولقد لوحظ أن بداية الانشطار لليورانيوم يحدث عندما تكون طاقة أشعة جاما حوالي 7MeV أو أعلى.

مثال (6):

إذا علمت أن أشعة جاما تستطيع شطر نواة الديتريوم 2_1H إلى نيوترون وبروتون حسب المعادلة التالية:



فاحسب عتبة الطاقة اللازمة لأشعة جاما كي تستطيع شطر نواة الديتريوم.

الحل:

إن الطاقة الدنيا (أو عتبة الطاقة) اللازمة لعملية شطر الديتريوم تساوي طاقة ارتباطه. أي أن طاقة الفوتون الذي يستطيع تفكيك نواة الديتريوم إلى نيوترون وبروتون يجب أن تساوي على الأقل طاقة الارتباط للعنصر السابق، لهذا نكتب:

$$\begin{aligned} hn_{th} &= (m_p + m_n - M_d) c^2 \\ &= (1.0078 + 1.0087 - 2.0141) \text{ uc}^2 \\ &= 2.34 \text{ MeV} \end{aligned}$$

8.3- المفاعلات النووية Nuclear Reactors

تعدّ مصادر الطاقة النووية أحد الاختيارات المطروحة أمامنا في بحثنا عن الطاقة، ولنتفحص الآن هذا التطبيق العملي للفيزياء النووية.

فلو عدنا إلى المعادلة (11) من هذا الفصل لوجدنا أن التفاعل بين النيوترون ونواة اليورانيوم 235 يتمتع بخواص هامة، منها:

1- كل نيوترون يمتص بواسطة نواة قابلة للانشطار يولّد نيوترونات جديدة وبمعدل 2.5 نيوترونًا لكل نواة ${}^{235}\text{U}$ تنشط. ونسمي التفاعل السابق بالتفاعل المتسلسل.

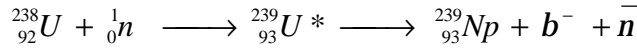
2- تتحرر، عن التفاعل أعلاه، طاقة كبيرة يمكن الاستفادة منها.

ويتم التفاعل السابق بواسطة النيوترونات السريعة والحرارية ولكن يفضل عند إجرائه استخدام النيوترونات الحرارية.

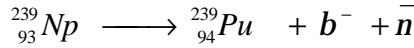
يحتوي اليورانيوم الطبيعي على النظائر $^{238}_{92}U$, $^{235}_{92}U$, $^{234}_{92}U$ بالنسب التالية 99.275% , 0.720% , 0.005% على الترتيب (انظر الملحق C). والنظير الذي ينشطر بواسطة النيوترونات الحرارية هو، كما رأينا، اليورانيوم 235.

فعند ورود نيوترونات حرارية على اليورانيوم الطبيعي فإن معظم النيوترونات الناتجة عن تفاعل متسلسل تهرب أو تمتص بواسطة اليورانيوم 238. ولحل هذه المشكلة يستخدم اليورانيوم المخصب بالنظير ^{235}U كوقود للمفاعل النووي.

وعندما يمتص اليورانيوم 238 نيوتروناً دون أن ينشطر، فإنه يتفكك معطياً عنصر النبتونيوم حسب المعادلة التالية:



ويتفكك عنصر النبتونيوم 239 بإصدار جسيمات β حسب المعادلة:



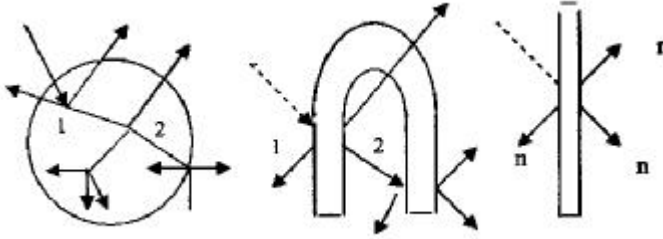
إن عنصر البلوتونيوم Pu غير موجود في الطبيعة، لكن يمكنه أنه ينشطر بواسطة النيوترونات الحرارية مثل اليورانيوم 235.

وكي يعود النيوترون السريع الناتج عن تفاعل الانشطار ليصبح نيوتروناً حرارياً تستخدم في المفاعل مواد مهدئة للنيوترونات. وكما رأينا في الفصل الثالث السابق، فإن أفضل المواد المهدئة (المبطئة) للنيوترونات هي مواد عددها الذري صغير مثل الديتريوم (في الماء الثقيل) والكربون (في الغرافيت). ويقوم المهديء بإبطاء النيوترونات الناتجة عن انشطار نواة اليورانيوم 235 إلى طاقة أقل من 5eV. ويتم أسر نسبة عالية من هذه النيوترونات بواسطة نوى اليورانيوم 238 والتي تتفكك، وكما بينا أعلاه، معطية نواة البلوتونيوم 239 التي تنشط بالنيوترونات الحرارية.

ولو أريد للتفاعل المتسلسل أن يكون ذاتي الاستمرار فإنه يلزم كتلة حرجة وحجم حرج من الوقود النووي كما هو مبين في الشكل (9).

فعندما يحدث الانشطار في السماكة الدقيقة المبينة في الجهة اليمنى من الشكل فإن النيوترونات تهرب بسهولة ولا يستمر التفاعل في النمو.

أما في الجزء الأوسط من الشكل فالموقف أكثر ملاءمة ولكنه يتوقف تماماً بعد خطوتين فقط بسبب فقدان النيوترونات. ونرى في الجزء اليساري كرة من الوقود النووي ويظهر أنها أكثر ملاءمة من الحالتين السابقتين. والكتلة الحرجة



الشكل (9)

هي عبارة عن كمية الوقود النووي التي تأخذ حجماً حرجاً يقوم فيها نيوترون واحد من كل تفاعل ببدا تفاعل جديد. وبهذه الطريقة يستمر التفاعل بنفس معدله الابتدائي.

فإذا كانت الكمية المستخدمة من اليورانيوم أكبر بكثير من الكتلة الحرجة فإن التفاعل سينمو بمعدل سريع ويؤدي هذا إلى حدوث انفجار. وقد يكون هذا مطلوباً إذا أراد الإنسان صنع سلاح نووي. على أنه في المفاعلات النووية يُراد للتفاعل أن يستمر بشكل سلس بحيث نحصل في النهاية على مصدر منتظم وغير متفجر للطاقة، وهذا التفاعل الذي يعرف بالتفاعل الدائم يكون ممكناً فقط إذا كان عدد النيوترونات الناتج في أي جيل مساوياً أو أكثر من عدد النيوترونات الناتجة في الجيل الذي يسبقه. ويعرف عامل التضاعف k بالعلاقة:

$$k = \frac{\text{عدد النيوترونات في الجيل } (n+1)}{\text{عدد النيوترونات في الجيل } n}$$

وهناك ثلاث حالات:

- 1— عندما $k = 1$ وفي هذه الحالة يكون عدد النيوترونات في أي جيل مساوياً عدد نيوترونات الجيل الذي يسبقه، ويقال في هذه الحالة إن المفاعل في الحالة الحرجة.
- 2— عندما $k < 1$ وفي هذه الحالة يكون عدد النيوترونات في أي جيل أقل من عدد النيوترونات في الجيل السابق، وهذه الحالة شبه الحرجة للمفاعل.

3- عندما $k > 1$ ويكون في هذه الحالة عدد النيوترونات في أي جيل أكبر من عدد النيوترونات في الجيل السابق، ويكون المفاعل في الحالة فوق الحرجة.

وبما أننا نريد طاقة باستمرار، فيجب أن يكون المفاعل في الحالة الحرجة، أي $k = 1$ ، وهذا مطلب أساسي لمفاعلات الطاقة. أما في الحالة فوق الحرجة فإن الطاقة تزداد باستمرار ولا نستطيع التحكم بها وينتج عن المفاعل انفجار نووي كما يحدث في القنبلة النووية. أما في الحالة شبه الحرجة فإن الطاقة تقل باستمرار إلى أن تصل إلى الصفر ويوقف المفاعل عن العمل.

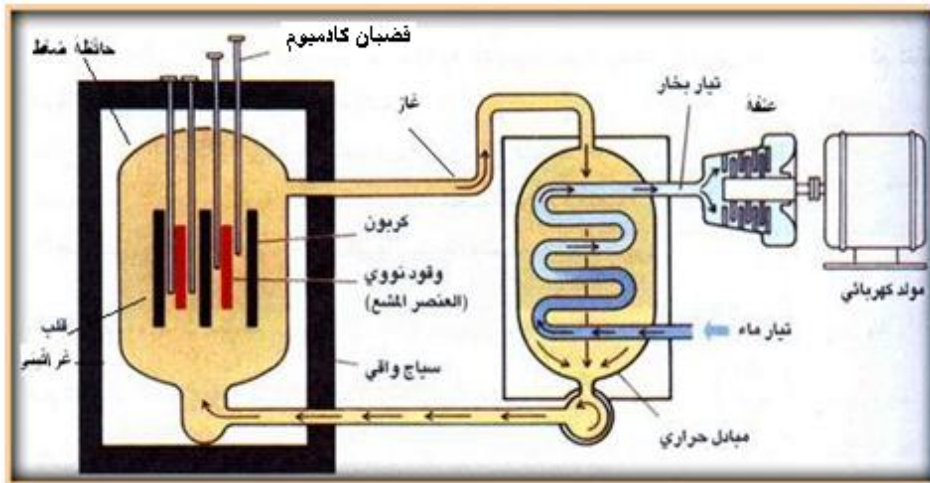
ولكي يبدأ المفاعل بالعمل فإننا نجعل k أكبر من الواحد بقليل وبعد أن تصل الطاقة إلى القيمة المطلوبة فإننا نبقى k عند الواحد الصحيح.

يبين الشكل (10) مخططاً لمفاعل طاقة نووية. يتكون قلب المفاعل من المادة القابلة للانشطار، أو الوقود، وهي محفوظة في أنابيب اسطوانية محكمة.

تغمر هذه القضبان في مادة كتلتها الذرية منخفضة مثل الغرافيت وتكون ما يسمى بالقلب الغرافيتي Graphite Core. تسمى المادة السابقة مهدناً حيث تقوم بإبطاء النيوترونات الناتجة عن الانشطار وتعكسهم ثانية إلى المادة القابلة للانشطار.

عندما تنتشر نواة ما داخل قضيب الوقود، فإن نوى على درجة كبيرة من عدم الاستقرار تنتج عندما تتفكك هذه النوى معطية جسيمات بطاقات عالية. وحين يحدث إبطاء هذه الجسيمات فإن طاقتها إضافة للطاقة الناتجة عن التفاعل المتسلسل، والتي تساوي حوالي 200MeV لكل انشطار، تتحول إلى حرارة وبهذا ترتفع درجة حرارة المفاعل. ثم تحمل هذه الحرارة إلى المبادل الحراري Heat Exchanger بوساطة غاز بارد أو بوساطة الماء الثقيل.

تنتقل الطاقة بوساطة الغاز الساخن Hot Gas، في المبادل الحراري، إلى الماء Water العادي ضمن نظام مرجل بخار. فيتولد بخار يتجه نحو عنفة Turbine كهربائية. وكما نرى فإن البخار نفسه لا يتصل مباشرة مع قلب المفاعل ولذا فنسبة النشاط الإشعاعي فيه تكون منخفضة.



الشكل (10)

وتستخدم قضبان التحكم Control Rod في طاقة المفاعل بالزيادة أو النقصان. وتصنع قضبان التحكم من الكادميوم لأن مقطعه العرضي كبير من أجل النيوترونات الحرارية. ففي حالة الرغبة في زيادة طاقة المفاعل ترفع قضبان التحكم من قلب المفاعل فيزداد عدد النيوترونات الحرارية وبالتالي يزداد الانشطار النووي. وعند الرغبة في العكس، يُدفع بقضبان الكادميوم إلى قلب المفاعل إلى أن نحصل على الطاقة المطلوبة. ويحاط المفاعل بحافظة ضغط Pressure Vessel وتدعم الحافظة السابقة بدرع واق من الاسمنت المسلح Concrete Shield.

مثال (7):

إذا كانت نواة اليورانيوم ^{235}U تعطي 200 MeV عند انشطارها و أردنا بناء محطة كهربائية نووية استطاعتها (قدرتها) 1GW فكم كتلة اليورانيوم الطبيعي التي تستهلكها هذه المحطة في السنة إذا كانت كفاءة (مردود) توليد الكهرباء 33%.

الحل:

1mol يحوي 6.02×10^{23} ذرة يورانيوم ^{235}U وبالتالي الطاقة الناتجة عن 1mol من اليورانيوم ^{235}U تساوي:

$$E (\text{mol}) = 200 \times 6.02 \times 10^{23} \\ = 1.2 \times 10^{26} \text{ MeV}$$

بما أن:

$$1\text{MeV} = 1.6 \times 10^{-13} \text{ J}$$

فلاستطاعة الناتجة عن طاقة قدرها 1MeV تساوي:

$$P = \frac{E}{hr} = \frac{1.6 \times 10^{-13}}{3600} = 4.44 \times 10^{-17} \text{ W.hr}$$

$$P = 4.44 \times 10^{-20} \text{ KW . hr}$$

وبالتالي فلاستطاعة الناتجة عن 1mol تساوي:

$$P (\text{mol}) = 4.44 \times 10^{-20} \times 1.2 \times 10^{26}$$

$$= 5.3 \times 10^6 \text{ kW. hr}$$

وحيث إن استطاعة المحطة هي 1GW ، أي ما تعطيه هذه المحطة من استطاعة خلال سنة يساوي:

$$P(\text{year}) = 10^9 \times 24 \times 365 = 8.76 \times 10^9 \text{ kW.hr}$$

وبما أن مردود توليد الكهرباء 33% فالاستطاعة النووية اللازمة لتوليد الاستطاعة السابقة تساوي:

$$P_{0.33} (\text{year}) = \frac{8.76 \times 10^9}{0.33} = 2.65 \times 10^{10} \text{ kW.hr}$$

وبالتالي فإن عدد المولات من اليورانيوم 235 اللازمة تساوي:

$$n = 2.65 \times 10^{10} / 5.3 \times 10^6 \approx 5000 \text{ mol}$$

وبما أن كتلة 1mol من اليورانيوم 235 تساوي 0.235kg فإن كتلة اليورانيوم 235 اللازمة في السنة تساوي:

$$M (^{235}\text{U}) = 5000 \times 0.235 = 1175 \text{ kg}$$

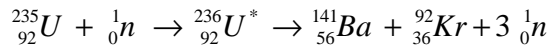
وحيث إن اليورانيوم الطبيعي يحوي على 0.7% تقريباً من اليورانيوم 235 فإن كتلة اليورانيوم الطبيعي اللازمة تساوي:

$$M = \frac{1175}{0.007} = 1.68 \times 10^5 \text{ kg}$$

أي 168 طن .

مسائل الفصل الثالث

1- ليكن التفاعل النووي التالي:



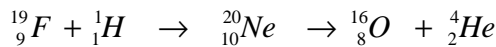
والمطلوب:

أ – احسب اعتماداً على الجداول التي تعطي زيادة الكتلة Δ كتلة النوى والجسيمات الداخلة في التفاعل والناجمة عنه.

ب - ما نموذج التفاعل النووي أعلاه.

جـ - احسب طاقة التفاعل. ماذا تستنتج؟

2- ليكن التفاعل:



حيث إن: $J^P = \frac{1}{2}^+$ للنواة ^{19}F و $J^P = \frac{1}{2}^+$ لـ ^1H و $J^P = 0^+$ لـ ^{16}O و $J^P = 0^+$ لـ ^4He والمطلوب إيجاد سبين ونوعية النواة ^{20}Ne مع المحافظة على قانون حفظ النووية.

3- بفرض \vec{l} , \vec{s} , \vec{j} أشعة العزم المداري والسبيني والكلي للنيوكلون، والمطلوب:

أ - باستخدام العلاقة $\vec{J} = \vec{L} + \vec{S}$ أوجد قيمة الجداء $\vec{L} \cdot \vec{S}$ بتابعية العدد l .

ب - باستخدام الجهد $V_{L,S} = -f(r) \vec{L} \cdot \vec{S}$ برهن أن تغير $V_{L,S}$ يُعطى بالعلاقة:

$$\Delta V_{L.S} = \hbar^2 f(r) \frac{2\mathbf{l} + 1}{2}$$

يؤخذ $s = \frac{1}{2}$ فقط .

4- بفرض، في انشطار نووي، fA العدد الكتلي للشظية الأولى و $(1 - f)A$ العدد الكتلي للشظية الثانية حيث f عدد كسري أصغر من الواحد. برهن أن طاقة الانشطار تعطى بالعلاقة التالية:

$$Q_f = -a_s A^{2/3} [(1-f)^{2/3} + f^{2/3} - 1] + a_c \frac{Z^2}{A^{1/3}} [1 - f^{5/3} - (1-f)^{5/3}]$$

ملحوظة:

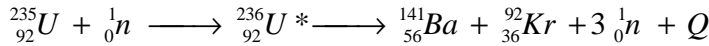
بما أن النيوكلونات موزعة بانتظام في النواة فلنا أن نعتبر شحنة النواة موزعة بين الشظيتين مثل الكتلة. أي أن العدد الذري للشظية الأولى و $(1-f)Z$ العدد الذري للشظية الثانية. ونعتمد على ذلك في حل التمرين أعلاه.

5- بفرض أن انشطاراً لنواة ما يعطي شظيتين: خفيفة كتلتها M_1 وثقيلة كتلتها M_2 . وبفرض K الطاقة الحركية الكلية الناتجة عن الانشطار، برهن بالاعتماد على قوانين حفظ كمية الحركة والطاقة أن:

$$K_2 = K \frac{M_1}{M_1 + M_2}, \quad K_1 = K \frac{M_2}{M_1 + M_2}$$

حيث K_1 و K_2 الطاقة الحركية للشظية الخفيفة والثقيلة على الترتيب.

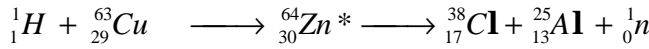
3- ليكن التفاعل النووي التالي:



والمطلوب:

حساب Q اعتماداً على العلاقة المعطاة في التمرين (1) وعلى المعادلة (7) من هذا الفصل.

4- ليكن تفاعل الانشطار النووي التالي:



والمطلوب:

أ - احسب طاقة الانشطار.

ب - احسب حاجز الانشطار ثم احسب $Q - V$ ، ماذا تستنتج؟

6- إذا كانت النسبة بين كتلتي شظيتي الانشطار الناتجتين عن انشطار البلوتونيوم 239 تساوي 1.4 فاحسب النسبة بين سرعتيهما.

- 7- تعطي نواة يورانيوم 235 شظيتي انشطار عددهما الكتليان $A_1 = 91$ و $A_2 = 139$ ، ونيوترونات. احسب الطاقة الكامنة بين شظيتي الانشطار السابقتين لحظة انشطارهما.
- 8- إذا كانت أقل طاقة حركة للبروتون للتغلب على قوة التنافر الكولوني بينه وبين نواة اليورانيوم 238 تساوي 15MeV فاحسب أقل طاقة لازمة للتغلب على قوة التنافر بين اليورانيوم 238 وكل من جسيمات ألفا والنيوترون.
- 9- كم هي كتلة اليورانيوم 235 التي يجب أن تنتشر كل يوم لنحصل على 3000Mw من القدرة الحرارية علماً أن كتلة ذرة اليورانيوم 235 تساوي $3.9 \times 10^{-25} \text{ kg}$
- 10- احسب ارتفاع حاجز الجهد بين نواتي ديتريوم 2_1D ثم احسب درجة الحرارة المطلقة المطلوبة للتغلب على هذا الحاجز علماً أن ثابت بولتزمان $k = 1.38 \times 10^{-23} \text{ J/K}$

الفصل الرابع

التأثير المتبادل بين الإشعاع والمادة

1.4- مقدمة:

تعتبر دراسة التأثير المتبادل بين الأشعاع والمادة أمراً أساسياً لفهم كيفية كشف الإشعاع النووي كي نتمكن من الوقاية من أخطاره، يجب علينا معرفة الأسباب التي تؤدي إلى ضياع طاقته عند عبوره الأوساط المادية. لذا ينبغي علينا دراسة الظواهر الناتجة عن تأثيره على المادة وعلاقتها بخصائص الجسيمات مثل الشحنة والكتلة والطاقة... الخ، وبخصائص المادة مثل شحنة النوى والكثافة وجهد التأين... الخ.

ونشير إلى أنه ليس بإمكاننا هنا أن نشرح نظريات بور و بيتي Bohr and Bethe المتعلقة بضياع طاقة الجسيمات خلال المادة. والذي سنقدمه هنا هو ملخص قصير لهذه النظريات. وتعتبر هذه النظريات أن خسارة طاقة الجسيمات، بواسطة الصدم، تتم مع الكثرونات الوسط خصيصاً الطاقة المشحونة من هذه الجسيمات. وفي كل الأحوال، فإنّ هذا النوع من خسارة الطاقة أهم بكثير من تلك المسببة بواسطة نوى المادة، حيث إن سطح الذرة هو من رتبة 10^{-16} cm^2 بينما سطح النواة من رتبة 10^{-24} cm^2 . وبالتالي فإنه بإمكاننا أن نهمل، نوعاً ما، الآثار الناجمة عن النوى حيث إن نسبة المقطع العرضي للذرة إلى المقطع العرضي للنواة من رتبة 10^8 . وتعتمد خسارة الطاقة على نوع الإشعاع الوارد مثل: الجسيمات الثقيلة المشحونة، الالكترونات، أشعة جاما والنيوترونات.

2.4- التشتت المرن للجسيمات Elastic Scattering of Particles

سندرس في هذه الفقرة التشتت المرن للجسيمات المشحونة مثل ألفا، بيتا،... والمعتدلة مثل النيوترونات. فعندما تمر الجسيمات خلال المادة، فهناك احتمال مهم لحدوث صدم مرن تتغير بعده طاقة هذه الجسيمات. فمثلاً في تشتت رذرفورد المرن للجسيمات المشحونة، فإن طاقة الجسيم الوارد واتجاهه يتغيران.

لنفرض أن كتلة الجسيم الوارد m وسرعته J وأن M كتلة الهدف الساكن قبل الصدم، وبفرض أن v_1 و v_2 سرعة الجسيم الوارد وسرعة الهدف بعد الصدم على الترتيب، وأن الصدم جبهى كما في الشكل (1):

اعتماداً على قانون حفظ كمية الحركة نكتب:

$$K' = \frac{1}{2} m \left(\frac{M - m}{M + m} \right)^2 J^2 = \left(\frac{M - m}{M + m} \right)^2 K$$

وتحسب الطاقة الضائعة في عملية الصدم المرن، كما يلي:

$$\Delta K = K - K' = K \frac{4 M m}{(M + m)^2} \quad (3)$$

وتمثل ΔK الطاقة المنقولة من الجسيم m إلى الهدف M . فمثلاً في الصدم المرن بين جسيم α (طاقته K كتلته m_α) والكترون (كتلة m_0) نجد أن:

$$\Delta K = K \frac{4 m_a m_0}{(m_a + m_0)^2}$$

$$\Delta K \approx K \frac{4 m_a m_0}{m_a^2} = 4 K \frac{m_0}{m_a} = 5.44 \times 10^{-4} K \quad \text{فإن: } m_\alpha \gg m_0$$

فمن أجل جسيم α ، طاقته 6 MeV، نجد:

$$\Delta K = 5.44 \times 10^{-4} \times 6 \times 10^3 = 3.264 \text{ keV}$$

والتي تمثل الطاقة التي يعطيها جسيم α السابق إلى الكترون طاقته السكونية $M_0 c^2 = 0.511 \text{ MeV}$. وإذا كان الجسيم الوارد الكترون، نجد:

$$\Delta K = K \frac{4 m_0^2}{4 m_0^2} = K$$

أي أن الالكترون، الذي يفترض ساكناً، يأخذ كل الطاقة الحركية للالكترون الوارد. وفي هذه الحالة فإنه من غير الممكن التمييز بين الالكترون الوارد والالكترون الثانوي المنطلق من الذرة. واصطلاحاً، فإن الالكترون الثانوي هو الالكترون صاحب الطاقة الأقل. وتسمى الالكترونات الثانوية، التي طاقتها أكبر من عدة مئات الكترون فولت، أشعة دلتا أو الكترونات δ .

3.4- ضياع طاقة الجسيمات الثقيلة المشحونة خلال المادة:

Energy Loss of Heavy Charged Particles Through Matter

عندما تمر جسيمات ثقيلة مسرعة مثل البروتونات أو الديترونات أو أيونات الهيليوم خلال وسط فإنها تتبادل التأثير مع الكترونات ذرات الوسط الذي تمر فيه. ونظراً لأن الجسيمات الواردة تفقد جزءاً بسيطاً من طاقتها خلال هذه العملية فإن مسارها لا يحدث له أي انحراف

يذكر، وذلك لأن كتلة الجسيم الثقيل المشحون الوارد أكبر بكثير من كتلة الإلكترون الذي يتبادل معه التأثير. وبعد عملية التأثير المتبادل، فإما أن تترك الذرة في حالة إثارة (تحريض) أو يخرج الكترون تماماً من الذرة وهذه حالة تأين (تشرّد) الذرة.

لنفرض أن شحنة الجسيم الثقيل Z_1e وسرعته v وأن كتلة الكترون من الوسط m_0 وشحنته e ، وليكن Z_2 العدد الذري لذرات الوسط ولتكن كثافة هذه الذرات n ذرة في وحدة الحجم من هذا الوسط، وليكن I متوسط طاقة التأين اللازمة لإحداث تأين في ذرة من ذرات الوسط الذي يمر فيه الجسيم الثقيل.

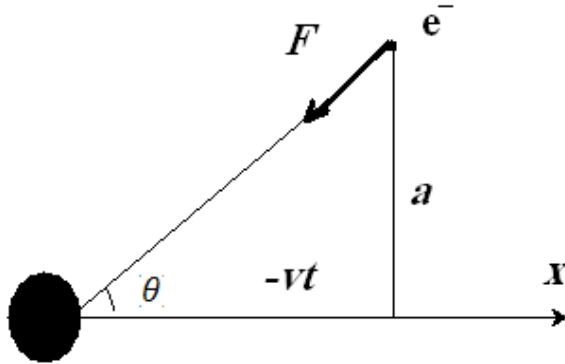
نحصل على كمية الحركة المنقولة من الجسيم الثقيل إلى الإلكترون من مكاملة فترة بقاء التصادم:

$$p = \int_{-\infty}^{+\infty} \frac{ze^2}{4\pi\epsilon_0 r^2} \sin(\theta) dt$$

حيث r بعد الإلكترون عن الجسيمة المشحونة في أي لحظة زمنية t . ويمكن التعبير عن r بالعلاقة:

$$r = \frac{a}{\sin(\theta)}$$

حيث a أقرب مسافة يقترب بها الجسيم من الإلكترون



الشكل (2)

إن كمية الحركة المنقولة هي تلك وفق المحور y أما الموازية لمركبة السرعة فهي معدومة،

من الشكل (2) نكتب:

$$\chi = -vt = a \cotg(\theta)$$

$$dt = \frac{a}{v} \text{Cosec}(\theta)^2 d\theta$$

بتعويض هاتين المعادلتين في معادلة كمية الحركة نحصل على:

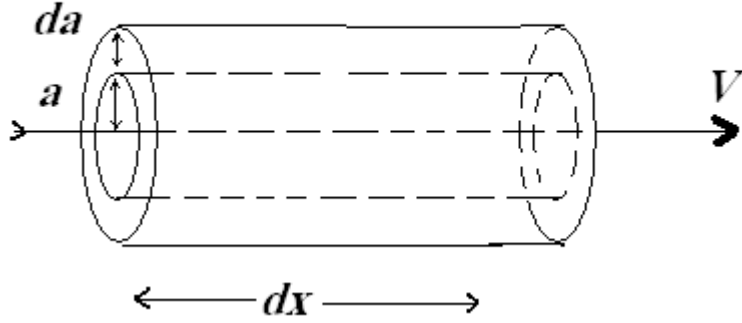
$$p = \frac{ze^2}{4\pi\epsilon_0 av} \int_0^\pi \sin(\theta) d\theta = \frac{ze^2}{2\pi\epsilon_0 av}$$

أخرجت v خارج التكامل لافتراضنا أن v ثابتة خلال التكامل. وتصبح علاقة الطاقة الحركية للإلكترون الذي كتلته m_0 :

$$K = \frac{p^2}{2m_0} = \frac{z^2 e^4}{8\pi^2 \epsilon_0^2 a^2 v^2}$$

وحيث أنه في مسار $d\chi$ يبعد مسافة المسافة a و $a + da$ عن مسار الجسيمة المشحونة يوجد $2\pi n Z a \cdot da \cdot d\chi$ الكترون (انظر الشكل (3)) حيث n عدد الجسيمات المشحونة في واحدة الحجم و Z العدد الذري للوسط ، فتكون الطاقة المنتقلة من الجسيمة المشحونة إلى الالكترونات الموجودة في شريحة اسطوانية هي:

$$dE = K 2\pi n Z a \cdot da \cdot d\chi$$



الشكل (3)

نعرف المسار أو المدى المتوسط R للجسيم بأنه المسافة المتوسطة التي يجتازها جسيم طاقته الحركية الأولية K_0 قبل أن يتوقف تماماً في الوسط المفروض. ونحصل على المدى كما يلي:

$$R = \int_0^R dc = \int_{K_0}^0 \left(\frac{dc}{dK} \right) dK = \int_0^{K_0} \left(-\frac{dK}{dc} \right)^{-1} dk$$

يُسمى المقدار $-\frac{dK}{dc}$ الطاقة الضائعة، ونفرض أن:

$$S(K) = -\frac{dK}{dc} = n_i I$$

حيث: n_i عدد أزواج الأيونات التي تحدث في وحدة الطول.

وبمعرفة $S(K)$ لمادة ما فإنه يمكننا حساب المدى R للجسيمات التي طاقتها الحركية K كما يلي:

$$R = \int_0^{K_0} \left(-\frac{dK}{dc} \right)^{-1} dK = \int_0^{K_0} \frac{dK}{S(K)}$$

إذا قسمت الطاقة الضائعة $S(K)$ على ρ تسمى باستطاعة (قدرة) التوقف الكتلية Stopping Power.

وغالباً، ما تعطى الطاقة الضائعة كما يلي:

$$\frac{S(K)}{r} = -\frac{dK}{r dc} = -\frac{dK}{dm}$$

حيث فرضنا أن $dm = r dc$ ، وحيث ρ تمثل الكتلة النوعية للمادة التي يعبرها الجسيم، ونلاحظ من عبارة $S(K)$ أنها مستقلة عن المفهوم الفيزيائي للمادة المعبورة من قبل الشاردة. وهكذا في هذه الحالة يكون:

$$R = \int_0^R dm = \int_{K_0}^0 \frac{dm}{dK} dK = \int_0^{K_0} \left(-\frac{dK}{dm} \right)^{-1} dK$$

R : المسافة التي تقطعها هذه الجسيمات قبل أن تصبح ساكنة.

أو نكتب:

$$R = \int_0^{K_0} \frac{dK}{S(K)}$$

حيث يقاس هنا R بـ $\text{kg} \cdot \text{m}^{-2}$ ، في الجملة SI، على أن تقاس $S(K)$ بـ $\text{MeV/kg} \cdot \text{m}^{-2}$.

وتعطى الطاقة الضائعة $-\frac{dK}{dc}$ اعتماداً على الميكانيك الكلاسيكي أو ميكانيك الكم بالعلاقة التالية:

$$-\frac{dK}{dc} = \frac{4p Z_1^2 e^4}{m_0 J^2} n Z_2 \ln (2m_0 J^2 / I) \quad (4)$$

عندما يكون الهواء هو وسط الانتشار، فإن أي جسيم مشحون يمر خلاله يفقد حوالي 30eV من طاقته في إحداث زوج الكترون – أيون.

ويُعرف التأين النوعي Specific Ionization بأنه عدد أزواج الأيونات التي تحدث في وحدة الأطوال من مسار الجسيمات الواردة. ونحتاج، في معظم التجارب، إلى معرفة سمك المادة اللازمة لإيقاف الجسيمات الواردة.

وتُعرف هذه الكمية بالسمك المكافئ ووحدة قياسها mg/cm^2 . ويعطى السمك المكافئ Equivalent Thickness ET بالعلاقة:

$$ET = R \times \rho \times 1000 \quad \text{mg/cm}^2$$

حيث R المدى مقدراً بـ cm و ρ الكثافة مقدرة بـ g/cm^3 .

كما تعرف استطاعة التوقف النسبية RSP بأنها النسبة بين مدى الجسيمات في الهواء إلى مدى هذه الجسيمات في وسط ما، ونكتب:

$$RSP = \frac{Rang \text{ In Air}}{Rang \text{ in Medium}}$$

مثال (1):

يخسر جسيم α طاقة قدرها 35.5 eV لتكوين زوج أيوني، والمطلوب:

1— إذا علمت أن طاقة الحركة لجسيم α السابق 5.5MeV فاحسب عدد أزواج الأيونات المكوّنة بوساطة الجسيم السابق.

2— إذا كان مدى جسيم α السابق 10cm فاحسب متوسط الكثافة الخطية لأزواج الأيونات المولدة.

الحل:

$$N = \frac{5.5 \times 10^6 \text{ eV}}{35.5 \text{ eV} / \text{ip}} = 154.93 \text{ ion Pairs} \quad (1)$$

$$S_{ave} = \frac{N}{R} = \frac{154.93 \text{ ip}}{10 \text{ cm}} = 15.493 \text{ ip / cm} \quad (2)$$

4.4 – معادلة المدى الطاقية لجسيمات ألفا والبروتونات:

Range – Energy Relation ship for a Particles and Protons

نبين المعادلة (4) أن ضياع الطاقة للجسيم المشحون الثقيل يتناسب طردياً مع مربع شحنة الجسيم الوارد Z_1e . ولهذا، فإنه من المتوقع أن يتوقف جسيم α أسرع من توقف بروتون في وسط معين ما.

من أجل جسيمات α ، توجد علاقة نصف تجريبية تعطي مدى الجسيمات السابقة في الهواء (عند درجة الحرارة 15°C والضغط 760 mm) كما يلي:

$$R_{air} (\text{cm}) = \begin{cases} 0.56 \left(\frac{\text{cm}}{\text{MeV}} \right) K (\text{MeV}) & K < 4 \text{ MeV} \\ 1.24 \left(\frac{\text{cm}}{\text{MeV}} \right) K (\text{MeV}) - 2.62 (\text{cm}) & 4 \text{ MeV} < K < 8 \text{ MeV} \end{cases}$$

ويُعطى مدى جسيم α في وسط آخر، R_m ، كما يلي:

$$R_m = \frac{0.00056 A^{1/3}}{r_m} R_{air}$$

حيث A العدد الكتلي للوسط و ρ_m كثافة الوسط و R_{air} مدى جسيم α في الهواء.

إن التركيب الذري الفعلي للنسيج Tissue مشابه جداً للهواء. وتُعطى قاعدة براج – كليمان Bragg - Kleeman المعادلة التالية لحساب مدى جسيم α في النسيج:

$$R_{tissue} \rho_{tissue} = R_{air} \rho_{air}$$

إن كثافة الهواء ρ_{air} ، عند شرطي الضغط والحرارة النظاميين، تساوي $1.293 \times 10^{-3} \text{ g/cm}^3$ بينما كثافة النسيج f_{tissue} تعتبر عادة مساوية لكثافة الماء، أي تساوي 1 g/cm^3 .

ويعطى مدى بروتون في الهواء بالمعادلة نصف التجريبية التالية:

$$R_{air}(m) = \left[\frac{K_p (MeV)}{9.3} \right]^{1.8}$$

حيث طاقة البروتون K_p تتراوح بين عدة قيم من وحدة الطاقة MeV وحتى 200MeV.

بينما يعطى مدى البروتونات، في الألمنيوم، بالعلاقة نصف التجريبية التالية:

$$R_{Al}(mm) = \begin{cases} \frac{10.5 K_p^2}{0.68 + 0.434 \ln K_p} & 2.7 MeV \leq K_p \leq 20 MeV \\ 14.21 K_p^{1.5874} & 1 MeV < K_p \leq 2.7 MeV \end{cases}$$

مثال (2):

احسب مدى جسيمات α في الهواء والنسيج، بفرض أن طاقتها 3MeV. واحسب سماكة الألمنيوم الخطية اللازمة لوقف جسيمات α كلياً، علماً أن $\rho_{Al} = 2.7 \text{ g/cm}^3$

الحل:

$$R_{air}(cm) = 0.56 (cm/MeV) K (MeV) = 1.68 \text{ cm}$$

وبالتالي فإن مدى جسيمات α في النسيج:

$$R_{tissue} = \frac{R_{air} r_{air}}{r_{tissue}} = 1.293 \times 10^{-3} R_{air} = (1.293 \times 10^{-3})(1.68 \text{ cm})$$

$$= 0.0022 \text{ cm}$$

وسماكة الألمنيوم اللازمة لوقف جسيمات α كلياً تساوي:

$$R_{Al}(cm) = \frac{0.00056 A^{1/3}}{r_m} R_{air} = \frac{0.00056 (27)^{1/3}}{2.7 (g/cm^3)} (1.68 \text{ cm})$$

$$= 0.00105 \text{ cm}$$

مثال (3):

بفرض أن طاقة بروتون 3MeV فاحسب مداه في الهواء والألمنيوم.

الحل:

$$R_{air}(m) = \left[\frac{K_p (MeV)}{9.3} \right]^{1.8} = \left[\frac{3}{9.3} \right]^{1.8} = 0.13 \text{ m}$$

وفي الألمنيوم:

$$R_{Al} (mm) = \frac{10.5 K_p^2}{0.68 + 0.434 \ln(3)} = 81.69 mm$$

5.4 – ضياع طاقة الإلكترونات: Energy Loss of Electrons

إن تأثير الإلكترونات المتبادل مع المادة أكثر تعقيداً من تأثير الجسيمات الثقيلة المشحونة المتبادل مع المادة وذلك لأنه يجب استخدام النظرية النسبية عند معالجة حالة الإلكترونات، وتوجد طريقتان أساسيتان يخسر الإلكترون بهما طاقته عند عبوره خلال وسط ما.

أ – ضياع طاقة الإلكترونات بالتصادم غير المرن:

Energy Loss by Inelastic Collision

بمعالجة هذا التصادم اعتماداً على النظرية النسبية فإن استطاعة التوقف للإلكترون تعطى بالعلاقة:

$$S(K)_{co} = \left(-\frac{dK}{dc} \right)_{co} = \frac{2pe^4}{m_0 J^2} nZ_2 \left\{ \ln \frac{m_0 J^2 K}{2I^2 (1-b^2)} - (2\sqrt{1-b^2} - 1 + b^2) \ln 2 \right. \\ \left. + 1 - b^2 + \frac{1}{8} (1 - \sqrt{1-b^2})^2 \right\}$$

حيث $\beta = v/c$ و K طاقة الإلكترونات الواردة.

ب – ضياع طاقة الإلكترونات بالإشعاع: Energy Loss by Radiation

تتنبأ النظرية الكهرومغناطيسية الكلاسيكية أن أي جسيم مشحون مسرّع أو يعاني من عملية إبطاء فإنه يشعّ أمواجاً كهرومغناطيسية. وعلى ذلك فإن الإلكترون الذي يتحرك في مجال النواة يعاني من عملية إبطاء (كبح) تؤدي إلى إشعاع كهرومغناطيسي يُسمى إشعاع الكبح .Bremsstrahlung.

وبالتالي فإن الطاقة الكلية التي يفقدها الإلكترون بالطريقتين (أ) و (ب) تعطى بالعلاقة:

$$\left(\frac{dK}{dc} \right)_t = \left(\frac{dK}{dc} \right)_{co} + \left(\frac{dK}{dc} \right)_{ra}$$

وقد وجد أن:

$$\frac{(dK / dc)_{ra}}{(dK / dc)_{co}} \approx \frac{KZ_2}{F}$$

حيث K تقدر بالـ MeV وقيمة F تساوي 700 من أجل العناصر الخفيفة وتساوي 800 من أجل العناصر الثقيلة.

فمثلاً، إذا كانت قيمة النسبة أعلاه تساوي 1 فإن ضياع الطاقة بالإشعاع يساوي ضياع الطاقة بالصدمة غير المرن.

مثال (4):

احسب قيمة طاقة الكترون التي يبدأ عندها بخسارتها بالتساوي بين طريقتي الصدمة غير المرن والكبح وذلك عند عبوره خلال الرصاص ($Z_2 = 82$).

الحل:

$$\frac{(dk / dc)_{ra}}{(dk / dc)_{co}} = 1 = \frac{KZ_2}{800} \Rightarrow K = 9.76 \text{ MeV}$$

6.4- التأثير المتبادل لأشعة جاما مع المادة:

Interaction of Gamma- rays with Matter

تصنف الفوتونات حسب المنشأ وليس حسب طاقتها؛ حيث تمثل أشعة جاما إشعاعات كهروطيسية تصدر أثناء الانتقالات النووية. بينما تتولد الأشعة السينية المستمرة من تباطؤ أو تسريع الجسيمات المشحونة وخاصة الالكترونات. وتصدر الأشعة السينية المميزة أثناء انتقال الالكترونات بين الطبقات M, L, K, في الذرة. وتنشأ إشعاعات الإفناء عند التقاء البوزيترون والالكترون، ويعتقد أن تبادل التأثير لهذه الفوتونات مع المادة مستقل عن مصدرها وهو يتبع فقط لطاقتها. وبما أننا سندرس في هذا القسم تبادل تأثير هذه الفوتونات مع المادة فإننا سنستعمل اصطلاح أشعة جاما لنعبر عن أي نوع من الإشعاعات الكهروطيسية السابقة بدون النظر لطريقة تولدها.

هناك الكثير من المفاعيل التي تسبب تبعثر أو امتصاص أشعة جاما، ويمكن تصنيف عمليات تبادل التأثير لأشعة جاما، مع المادة، إما وفقاً لنوع التأثير أو تبعاً لمفعول التأثير. ونبين ذلك في الجدول التالي:

مفعول التأثير	نوع التأثير
a — الامتصاص الكامل.	(1) التأثير المتبادل مع الكترونات الذرة.
b — التبعثر المرن.	(2) التأثير المتبادل مع نوى الذرات.
c — التبعثر اللامرن.	(3) التأثير المتبادل مع المجال الكهربائي المحيط بالنواة أو المحيط بالالكترون.

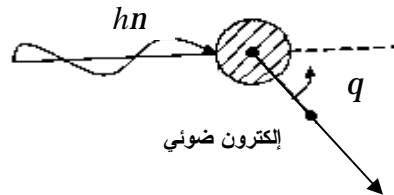
وتصنف عمليات التأثير للأشعة بتركيب العمود الأول مع العمود الثاني من الجدول السابق. وينتج عن ذلك أكثر من عشر عمليات للتأثير نذكر منها:

أ — تبعثر تومسون Thomson Scattering الذي يمثل التبعثر المرن للفوتونات مع الكترونات الذرة (1b) أو التبعثر المرن للفوتونات مع نوى الذرات (2b). فهو تبعثر أشعة جاما دون تغيير في طاقتها:

$$hn (KeV) = \frac{12.40}{I (A^0)}$$

فتصبح كل ذرات المادة منابع مترابطة من أجل المسافة بين الذرات والتي هي من مرتبة الطول الموجي λ للفوتون. ويتم تبعثر تومسون من أجل الطاقات الضعيفة والمهملة بالنسبة للطاقة $m_0 c^2 = 0.511 \text{ MeV}$ أي من أجل $h\nu < 100 \text{ keV}$. فهذا التبعثر لا أهمية له في الفيزياء النووية.

ب — المفعول الكهروضوئي Photoelectric Effect والذي يمثل عملية لا مرنة للفوتون يأخذ بنتيجتها الالكترون المرتبط كل طاقته (1a). وهو المفعول المسيطر لأشعة جاما التي طاقتها أقل من 0.1 MeV فعندما يرد فوتون خارجي على الكترون، طاقة ارتباطه بالذرة I ، فإنه يتحرر من الذرة. ويُسمى، بعد تحرره، الكتروناً ضوئياً Photoelectron كما في الشكل (4). ويعطى قانون حفظ الطاقة:



الشكل (4)

$$hn = I + \frac{1}{2} m_0 J^2$$

حيث: $h\nu$ طاقة الفوتون الوارد.

$\frac{1}{2} m_0 J^2$: الطاقة الحركية التي اكتسبها الإلكترون بعد تحرره من الذرة و ϑ سرعته.

وينطلق الإلكترون الضوئي بزاوية قدرها θ وترتد الشاردة (الأيون) الناتجة فيتحقق بذلك قانون حفظ كمية الحركة. فلو كان الإلكترون حر، أي $I \approx 0$ ، لكان لدينا:

$$hn = \frac{1}{2} m_0 J^2$$

ولكن لدينا حسب قانون حفظ كمية الحركة:

$$\frac{hn}{c} = m_0 J$$

وبقسمة المعادلتين السابقتين على بعضهما، نحصل على:

$$\vartheta = 2c$$

والتي تدل على أن سرعة الإلكترون أكبر من سرعة الضوء في الخلاء، وهذا غير ممكن وفق النظرية النسبية. فلكي يتم المفعول الكهرضوئي وجب أن يكون الإلكترون مرتبطاً في الذرة لتشارك الشاردة المتبقية في حادثة الصدم، فتأخذ جزءاً من كمية الحركة ومقداراً من الطاقة الحركية.

ج — مفعول كمبتون Compton Effect والذي يمثل عملية التبعثر اللا مرن للفوتون مع أحد الكترونات الذرة ($1c$). ومن أجل دراسة مفعول كمبتون يُفترض الإلكترون حراً وغير مقيد. وهذا ممكن لأن طاقة ارتباط الإلكترون مهملة بالمقارنة مع طاقة الفوتون الوارد $E = h\nu$ والذي كمية حركته E/c . ولنفرض أن طاقة الفوتون المتبعثر E' فتكون كمية حركته E'/c وقد تبعثر هذا الفوتون بالزاوية θ عن منحى الفوتون الوارد. بينما يتبعثر الإلكترون بزاوية φ مزوداً بطاقة حركية K وكمية حركة P كما في الشكل (5).

بالاعتماد على قانون حفظ كمية الحركة والإسقاط على المحورين الأفقي والشافولي، نجد:

$$E/c = \frac{E'}{c} \cos q + P \cos j$$

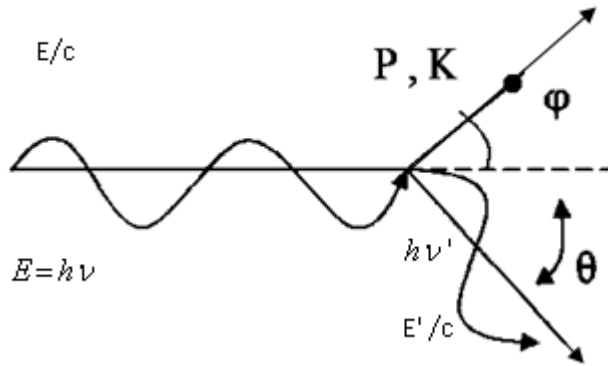
$$0 = \frac{E'}{c} \sin q - P \sin j$$

وبحذف φ بين المعادلتين السابقتين نجد:

$$E^2 + E'^2 - 2EE' \cos \theta = P^2 c^2$$

لكن بالاستفادة من قانون حفظ الطاقة نكتب:

$$E = E' + K$$



الشكل (5)

ومن العلاقة النسبية التي تخص الالكترون (انظر الفصل الأول):

$$Pc = \sqrt{K(K + 2m_0 c^2)}$$

نجد:

$$(E - E')^2 + 2E E' (1 - \cos \theta) = (E - E')^2 + 2(E - E') m_0 c^2$$

والتي تسمح بحساب طاقة الفوتون المتبعثر E' :

$$E' = \frac{E}{1 + a(1 - \cos q)}$$

حيث: $\alpha = E / m_0 c^2$ تمثل ثابتاً لا أبعاد له.

وتحسب الطاقة الضائعة كما يلي:

$$\Delta E = E - E' = \frac{a E (1 - \cos q)}{1 + a (1 - \cos q)}$$

وتبين العلاقة السابقة أن ΔE تأخذ قيمة عظمى من أجل $\theta = \pi$:

$$\Delta E_{\max} = 2 \alpha E / (1 + 2\alpha)$$

وقيمة صغرى $\Delta E_{\min} = 0$ من أجل $\theta = 0$. وبالتالي فإن ΔE تأخذ جميع القيم الممكنة من الصفر وحتى ΔE_{\max} وذلك عند ما تتحول θ من الصفر إلى π .

مثال (5):

بفرض أن فوتوناً، بطاقة 200 keV، يردُّ على الكترون فيتبعثر عنه بزاوية 45°، والمطلوب: احسب طاقة وتردد الفوتون المتبعثر وكذلك طاقة وكمية حركة الالكترون المرتد.

الحل:

$$E' = \frac{200}{1 + a (1 - \cos 45)} = 179 \text{ keV}$$

وهي طاقة الفوتون المتبعثر، ولحساب تردده لدينا:

$$v' = E' / h \quad \text{ومنه:} \quad E' = h v'$$

$$n' = \frac{(179 \times 10^3 \text{ eV}) (1.6 \times 10^{-19} \text{ J/eV})}{6.63 \times 10^{-34} \text{ J.S}} = 4.32 \times 10^{19} \text{ Hz}$$

والطاقة التي يكسبها الالكترون المرتد تساوي:

$$K = \Delta E = E - E' = 200 - 179 = 21 \text{ keV}$$

والطاقة الكلية للالكترون المرتد:

$$E_e = K + m_0 c^2 = 21 + 511 = 532 \text{ keV}$$

ولحساب كمية حركة الالكترون المرتد، نكتب:

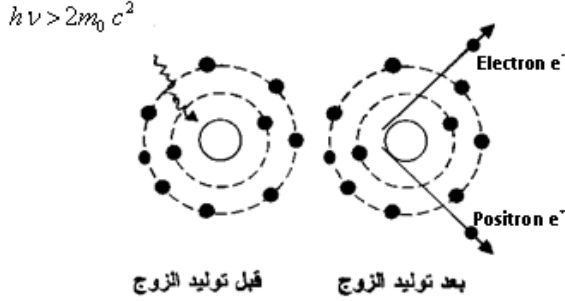
$$E_e^2 = P^2 c^2 + (m_0 c^2)^2$$

ومنه:

$$P = \frac{\sqrt{E_e^2 - (m_0 c^2)^2}}{c} = \frac{147.99 \times 10^3 \text{ eV}}{3 \times 10^8 \text{ m/s}} \times 1.6 \times 10^{-19} \text{ J/eV}$$

أي: $P = 7.89 \times 10^{-23} \text{ kg} \cdot \text{m/s}$

د - توليد الزوجين Pair Production حيث يتحول الفوتون الذي تزيد طاقته على $2m_0 c^2$ في مجال النواة إلى زوج: بوزيترون - إلكترون (3a) كما في الشكل (6). وكما هو مبين في الشكل السابق، فإن الفوتون الوارد يخنفي كلياً ويظهر بدلاً عنه الزوج e^+, e^- حيث تحقق الطاقة الكلية المعادلة التالية: $E = h\nu = (K_- + m_0 c^2) + (K_+ + m_0 c^2)$



الشكل (6)

K_+, K_- الطاقة الحركية للإلكترون والبوزيترون على الترتيب بينما $m_0 c^2$ تمثل الطاقة السكونية لكل من الإلكترون والبوزيترون.

إن عملية توليد الزوجين تتم فقط في مجال الجسيمات المشحونة وبشكل رئيس في مجال النواة التي تعتبر خلال عملية التوليد ساكنة.

واعتماداً على المعادلة السابقة، وباعتبار أن الزوج يتولد بطاقة حركية معدومة ($K_- = 0$)، نجد طاقة عتبة توليد الزوجين في مجال النواة:

$$h\nu_{th} = 2 m_0 c^2 = 1.02 \text{ MeV}$$

أما في مجال الإلكترون، فإن الإلكترون الهدف لا يعتبر ساكناً بعد عملية توليد الزوجين. وبالتالي، فبعد عملية التوليد يكون لدينا إلكترونان وبوزيترون، الكتلة السكونية لكل منهم تساوي $m_0 c^2$.

واعتماداً على النتيجة التي حصلنا عليها في المثال (16) من الفصل الأول، نجد طاقة العتبة لتوليد الزوجين في مجال الإلكترون:

$$\begin{aligned}
hn_{th} &= Mc^2 \frac{m_1 + m_2 + M/2}{m_2} \\
&= (m_0 + m_0)c^2 \frac{0 + m_0 + (m_0 + m_0)/2}{m_0} \\
&= 4 m_0 c^2 = 2.04 \text{ MeV}
\end{aligned}$$

حيث m_1 و m_2 كتلة الجسيم الوارد والهدف على الترتيب و M مجموع كتلة الجسيمات الناتجة والتي تمثل هنا مجموع كتلتي الالكترون e^- والبوزيترون e^+ .

مثال (7):

برهن أن توليد الزوجين غير ممكن في الخلاء، أي بدون وجود جسيم آخر يلعب دور المحفز.

الحل:

لنفرض أن العملية ممكنة في الخلاء فنحصل على الكترون e^- وبوزيترون e^+ حيث اعتماداً على قانون حفظ الطاقة الكلية نكتب:

$$hn = E_{e^-} + E_{e^+} = \frac{m_{e^-} c^2}{\sqrt{1-b_{e^-}^2}} + \frac{m_{e^+} c^2}{\sqrt{1-b_{e^+}^2}} \quad (5)$$

واعتماداً على قانون حفظ كمية الحركة نكتب:

$$\vec{P}_g = \vec{P}_{e^-} + \vec{P}_{e^+} \quad (6)$$

وحسب العلاقة (5) نكتب:

$$\left| \vec{P}_g \right| = \frac{hn}{c} = \frac{m_{e^-} c}{\sqrt{1-b_{e^-}^2}} + \frac{m_{e^+} c}{\sqrt{1-b_{e^+}^2}}$$

لكن:

$$\left| \vec{Pe}^- \right| + \left| \vec{Pe}^+ \right| = \frac{m_{e^-} J_{e^-}}{\sqrt{1-b_{e^-}^2}} + \frac{m_{e^+} J_{e^+}}{\sqrt{1-b_{e^+}^2}} = \frac{m_{e^+} b_{e^-} c}{\sqrt{1-b_{e^+}^2}} + \frac{m_{e^+} b_{e^+} c}{\sqrt{1-b_{e^+}^2}}$$

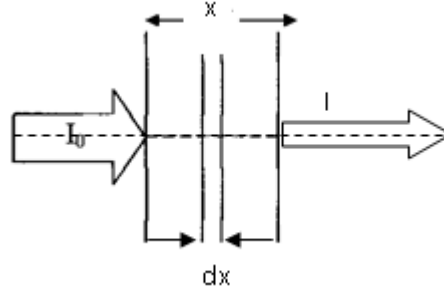
وبمقارنة العلاقتين السابقتين نجد أن:

$$|\vec{P}_g| > |\vec{P}_{e^-}| + |\vec{P}_{e^+}|$$

والمراجعة الأخيرة غير ممكنة، لأنه حسب العلاقة (6) فإن المتجهات \vec{P}_g ، \vec{P}_{e^-} ، \vec{P}_{e^+} تشكل مثلثاً مغلقاً لا يمكن لـ \vec{P}_g أن يكون أكبر من مجموع الضلعين الآخرين. ولإتمام حادثة توليد الزوجين لا بد من وجود مجال لجسيم مشحون حيث يأخذ هذا الجسيم بعد عملية التوليد جزءاً من كمية حركة الفوتون الوارد ليتحقق بذلك قانونا حفظ الطاقة وحفظ كمية الحركة.

7.4 – توهين الإشعاع بواسطة المادة: Attenuation of Radiation by Matter

نفرض أنه لدينا حزمة إشعاع وحيدة الطاقة مكونة من I جسيم في وحدة الزمن. تدخل هذه الحزمة شريحة dc رقيقة من الهدف كما هو مبين في الشكل (7).



الشكل (7)

إن عدد الجسيمات dI الممتصة في الشريحة الرقيقة dc يتناسب طردياً مع عدد الذرات (أو عدد النوى) n في وحدة الحجم ومع I وسماكة الشريحة الرقيقة dc ، أي:

$$dI = -S n I dc \quad (7)$$

حيث الإشارة السالبة تعبر عن تناقص عدد الجسيمات و σ ثابت التناسب. ونرى من العلاقة السابقة أن وحدة قياس σ هي مربع وحدة المساحة. ويقاس σ عادة بوحدته تسمى البارن Barn حيث:

$$1b = 10^{-24} \text{ cm}^2$$

يُسمى σ المقطع العرضي للتفاعل أو المقطع العرضي للتأثير المتبادل بين الإشعاع والمادة. ويعبر σ أيضاً عن احتمال التفاعل أو التأثير المتبادل بين الإشعاع والمادة.

وبمكاملة المعادلة (7) كما يلي:

$$\int_{I_0}^I \frac{dI}{I} = -nS \int_0^c d c$$

نجد:

$$I = I_0 e^{-nSc} \quad (8)$$

نفرض $\mu = n \sigma$ حيث يسمى μ عامل الامتصاص الخطي والذي يُقاس بـ cm^{-1} عندما يقاس σ بالبارن، أما المقدار $\mu_m = \mu/\rho$ فيدعى عامل الامتصاص الكتلي والذي يقاس بـ cm^2/g .

1.7.4 – توهين أشعة جاما بواسطة المادة:

Attenuation of Gamma Rays by Matter

إذا كانت سماكة الشريحة χ في الشكل (7) كبيرة كفاية، فإن إشعاع جاما يتم إضعاف شدته بينما يُمتص إشعاع ألفا وإشعاع بيتا كلياً.

وفي حالة إشعاع جاما، فإن σ يمثل ثلاثة مقاطع عرضية هي σ_e المقطع العرضي لمفعول الكهروضوئي و σ_c المقطع العرضي لمفعول كبتون و σ_p المقطع العرضي لتوليد الزوجين، أي:

$$\sigma = \sigma_e + \sigma_c + \sigma_p$$

وبالتالي فإن عامل الامتصاص الخطي μ يُعطى كمايلي:

$$\mu = n\sigma = n\sigma_e + n\sigma_c + n\sigma_p$$

أو

$$\mu = \mu_e + \mu_c + \mu_p$$

واعتماداً على ذلك فإن عامل الامتصاص الكتلي يُعطى كما يلي:

$$m_m = m_e / r + m_c / r + m_p / r$$

يُسمى السمك الذي يسبب إضعاف حزمة أشعة جاما إلى نصف قيمتها الأصلية السمك النصفى. وباستخدام المعادلة (8) نكتب:

$$I/I_0 = 1/2 = e^{-m c_{1/2}}$$

ومنها:

$$C_{1/2} = \frac{Ln2}{m} = \frac{0.693}{m}$$

مثال (7):

إذا كان عامل الامتصاص الخطي الكلي لأشعة جاما ذات الطاقة 2MeV في الرصاص 207 يساوي 0.74 cm^{-1} فاحسب:

أ — السماكة النصفية $\chi_{1/2}$ للرصاص عند هذه الطاقة.

ب — سماكة الرصاص اللازمة لإضعاف شدة أشعة جاما السابقة إلى 1/1000 من شدتها الأصلية.

ج — المقطع العرضي لأشعة جاما أعلاه عند تبادلها التأثير مع الرصاص 207 علماً أن كثافة الرصاص $\rho_{Pb} = 11.4 \text{ g/cm}^3$

الحل:

$$\text{أ — } C_{1/2} = \frac{0.693}{m} = \frac{693}{740} = 0.94 \text{ cm}$$

أي أن شريحة من الرصاص سماكتها 9.4 mm تلزم الإضعاف شدة أشعة جاما التي طاقتها 2MeV إلى نصف شدتها الأصلية.

ب — لدينا $I = I_0 e^{-\mu x}$ فإذا كان $I/I_0 = 1/1000$ فإن:

$$C = \frac{Ln10^3}{m} = \frac{3Ln10}{0.74} = 9.33 \text{ cm}$$

أي أن سمك قدره 9.33 cm من الرصاص يلزم لإضعاف شدة أشعة جاما طاقتها 2MeV إلى 0.001 من شدتها الأصلية. ويُسمى السمك السابق بالسمك الألفي.

ج — لحساب المقطع العرضي σ المطلوب، نكتب:

$$\sigma = \mu/n \quad \text{ومنه} \quad n\sigma = \mu$$

ولحساب n نكتب:

$$207 \text{ g من الرصاص يحوي } 6.02 \times 10^{23} \text{ atoms}$$

11.4 g من الرصاص يحوي n

ومنها:

$$n = \frac{6.02 \times 10^{23} \times 11.4}{207} = 3.32 \times 10^{22} \text{ atoms/cm}^3$$

وبالتالي فإن:

$$S = m/n = \frac{0.74}{3.32 \times 10^{22}} = 2.23 \times 10^{-23} \text{ cm}^2$$

أو: $\sigma = 22.3 \text{ b}$

وهو المقطع العرضي لتبادل التأثير بين أشعة جاما التي طاقتها 2MeV مع مادة الرصاص.

مثال (8):

يمكن اعتبار النسيج الحي، وبتقريب مقبول، مكوناً من 10.1174% من الهيدروجين و 11.1% من الكربون و 2.6% من النيتروجين و 76.1826% من الأوكسجين. إن كثافة النسيج الطري السابق حوالي 1 g/cm^3 . احسب عامل الامتصاص الخطي لأشعة جاما التي طاقتها 0.6 MeV في النسيج الحي علماً أن عامل الامتصاص الكتلي لأشعة جاما السابقة في العناصر أعلاه كما يلي:

$0.1599 \text{ cm}^2/\text{g}$ في الهيدروجين، $0.8058 \text{ cm}^2/\text{g}$ في الكربون ، $0.08063 \text{ cm}^2/\text{g}$ في النيتروجين و $0.08070 \text{ cm}^2/\text{g}$ في الأوكسجين.

الحل:

إن معامل الامتصاص الكتلي للنسيج tissue الحي المكون من العناصر أعلاه يُعرف كما يلي:

$$\mu_{m\text{-tissue}} = W_H \mu_{mH} + W_C \mu_{mC} + W_N \mu_{mN} + W_O \mu_{mO}$$

أي أن:

$$\begin{aligned} \mu_{m\text{-tissue}} &= 0.101174 \times 0.1599 + 0.111 \times 0.8058 + 0.026 \times 0.08063 + \\ &\quad 0.761826 \times 0.08070 \\ &= 0.088698 \text{ cm}^2/\text{g} \end{aligned}$$

وبالتالي فإن معامل الامتصاص الخطي للنسيج:

$$\mu = \mu_{m-tissue} \times \rho_{tissue} = 0.088698 \times 1$$

$$\mu = 0.088698 \text{ cm}^{-1}$$

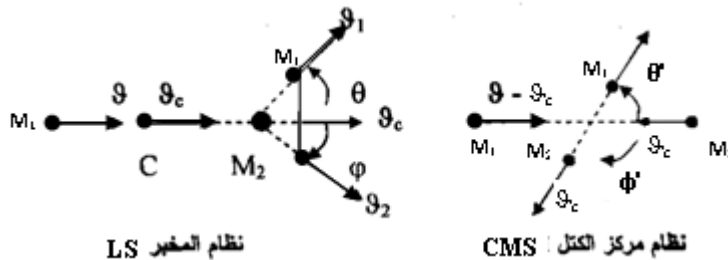
8.4- ضياع طاقة النيوترونات Energy Loss of Neutrons

بما أن النيوترون معتدل الشحنة الكهربائية فهو لا يمكنه أن يتبادل التأثير مع المادة بواسطة القوى الكولونية. وعليه فإن التصادمات النووية فقط هي التي تؤثر على طاقة النيوترون. ويمكن للنيوترون أن يُمتص من قبل النواة حيث تصنف هذه العملية ضمن التفاعلات النووية.

إن احتمال تبادل النيوترون للتأثير مع المادة متناسب مع المقطع العرضي النووي. وبما أن المقطع العرضي النووي أصغر بنحو 10^8 مرة من المقطع العرضي الذري فإن احتمال تبادل النيوترون للتأثير أصغر بكثير من احتمال تبادل الجسيمات المشحونة له.

إن تبادل التأثير الأكثر شيوعاً للنيوترون هو التبعثر المرن مع نوى الذرات حيث إن التبعثر المرن هو المسيطر. فيخسر النيوترون طاقته عن طريق ارتداد النوى نتيجة لتبعثره عليها. فلا تولد النيوترونات أيونات بواسطة الصدم وإنما تبطأ بواسطة الصدم المرن. ويضاف لهذا الصدم تفاعلات نووية مثل الأسر المشع (γ , n) والذي لا يدخل وكما أشرنا ضمن دراسة ضياع طاقة النيوترونات.

من أجل حساب الخسارة في طاقة النيوترونات: سنعود إلى ما قد درسناه في الفصل الأول حول نظام المخبر LS ونظام مركز الكتل CMS. ونبين في الشكل (8) ملخصاً لهذه الدراسة. وبما أن كمية الحركة محفوظة في مركز الكتل، فإن:



الشكل (8)

$$M_1 (\vartheta - \vartheta_c) = M_2 \vartheta_c$$

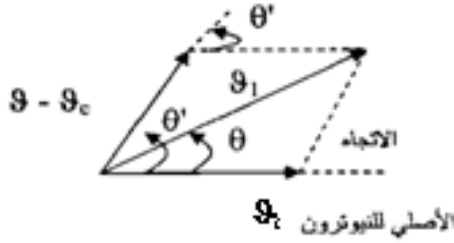
حيث M_1 كتلة النيوترون و M_2 كتلة النواة الهدف، ومن العلاقة السابقة نجد:

$$J_c = \frac{M_1}{M_1 + M_2} J \quad (9)$$

إن طاقة النيوترون في جملة المخبر تساوي بعد الصدم:

$$K' = \frac{1}{2} M_1 J_1^2 \quad (10)$$

وبما أن نظام مركز الكتلة CMS يتحرك بالنسبة للنظام LS بسرعة مركز الكتلة ϑ_c فإن متجه السرعة النهائية ϑ_1 للنيوترون بعد الاصطدام في النظام SL يمكن الحصول عليه بإضافة المتجه ϑ_c إلى المتجه $\vartheta - \vartheta_c$ الذي يمثل متجه سرعة النيوترون بعد الاصطدام في النظام CMS ونوضح ذلك في الشكل (9).



الشكل (9)

واعتمادا على الشكل السابق فإن:

$$J_1^2 = (J - J_c)^2 + J_c^2 + 2J_c (J - J_c) \cos q'$$

حيث θ' هي زاوية التبعثر في جملة مركز الكتلة CMS. وبالتعويض في العلاقة (10)

نجد:

$$K' = \frac{1}{2} M_1 [(J - J_c)^2 + J_c^2 + 2J_c (J - J_c) \cos q']$$

إن الطاقة الحركية السابقة أعظمية من أجل $\theta' = 0$ أي من أجل تبعثر نحو الأمام،

وتساوي:

$$K'_{\max} = \frac{1}{2} M_1 J^2$$

وتساوي هذه الطاقة الطاقة الحركية التي ورد بها النيوترون:

$$K = \frac{1}{2} M_1 J^2$$

ونلاحظ أنه لا ضياع للطاقة في هذه الحالة، أي:

$$\Delta K = K - K'_{\max} = 0$$

إن الطاقة K' أصغرية من أجل تبعثر للخلف، أي من أجل صدم مرن جبهي حيث في هذه الحالة $\theta' = \pi$ ونكتب:

$$K'_{\min} = \frac{1}{2} M_1 (J - 2J_c)^2$$

وبتبديل قيمة ϑ_c من (9) نجد:

$$K'_{\min} = \frac{1}{2} M_1 J^2 \left(\frac{M_2 - M_1}{M_2 + M_1} \right)^2$$

وبالتالي فإن خسارة طاقة النيوترون في هذه الحالة تساوي:

$$\Delta K = K - K'_{\min} = \frac{4M_1 M_2}{(M_1 + M_2)^2} K$$

ونلاحظ من هذه العلاقة أن ضياع الطاقة الحركية للنيوترون أعظمي كلما كانت كتلة النواة الهدف M_2 صغيرة، فمثلاً خسارة طاقة النيوترون الذي يصدم جبهياً صدماً مرناً نواة النيتروجين ($M_2 \approx 14u$) تساوي:

$$\Delta K = \frac{4 \times 1 \times 14}{(1+14)^2} \times K = 0.25 K$$

بينما تساوي هذه الخسارة للطاقة في حالة الصدم الجبهي المرن من قبل نيوترون طاقته الحركية K لنواة ذرة الهيدروجين.

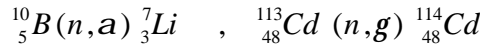
$$\Delta K \approx \frac{4 \times 1 \times 1}{(1+1)^2} \times K = K$$

وبالتالي فإن كامل الطاقة الحركية للنيوترون قد تحولت تقريباً لنواة ذرة الهيدروجين.

نعلم أنه ليست جميع التصادمات المرنة جبهية، إنما تتبع خسارة طاقة النيوترونات، لكتلة نواة الهدف، الشكل نفسه من أجل أية زاوية من زوايا التبعثر.

كما ذكرنا، فإن النيوترون يمكن أن يُمتص من قبل النواة ويحدث ما نسميه التفاعل النووي أو أسر النيوترون حيث يمكن للنواة الناتجة أن تصدر أشعة جاما أو أشعة سينية أو جسيمات ألفا أو بروتونات وما شابه ذلك. وبعد حادثة أسر النيوترون الأصلي يمكن أن يُرسل نيوترون آخر بطاقة أقل من الطاقة الأصلية والذي يترك النواة في حالة محرّضة. وتسمى هذه العملية التبعثر اللا مرن.

إن المقطع العرضي للنيوترونات المسببة للتفاعلات النووية أصغر عموماً من المقطع العرضي للتبعثر المرن. ولذا فإن حزمة من النيوترونات تُبطأ بشكل أساسي عند مرورها خلال مادة مبطنة بوساطة التبعثر المرن. ونشير إلى أنه يوجد استثناء لهذه القاعدة؛ فبعض التفاعلات النووية تملك مقطعاً عرضياً كبيراً من أجل النيوترونات ذات الطاقة المنخفضة، نذكر منها التفاعلين:



فالمقطع العرضي الكلي لهذين التفاعلين 20000 , 3840 بارناً على الترتيب.

ومن أجل معظم النوى فإن المقطع العرضي الكلي أقل من 1 بارناً. ويجعل المقطع العرضي الكلي الكبير للتفاعلين السابقين عنصر الكاديوم Cd وعنصر البورون B مفيدتين جداً عند الضرورة كمادة واقية من الإشعاعات النيوترونية وكمواد مفيدة لكشف وعد النيوترونات.

إذا لم يُؤسر النيوترون، بوساطة تفاعل نووي، فإن طاقته الحركية تتناقص باستمرار بوساطة التبعثرات المرنة حتى تصبح قريبة من طاقة الاضطراب الحراري Thermal Agitation Energy للوسط المبطئ. فالنيوترون عند هذه الحالة يمكنه أن يكتسب طاقة كما بإمكانه أن يخسرها بوساطة التصادم مع نوى ذرات الاضطراب الحراري. وفي درجة الحرارة العادية للغرفة فإن الطاقة المحتملة العظمى للنيوترونات تساوي

$$0.025eV = \frac{1}{40}eV$$

وتسمى النيوترونات في هذه الحالة النيوترونات الحرارية Thermal

.Neutrons

إننا نلاحظ من دراسة ضياع طاقة النيوترونات أن فاعلية المادة المبطنة تزداد كلما صغر العدد الذري لها؛ على عكس الجسيمات المشحونة حيث تبين العلاقة التي تعطي $S(K)$ أن فاعلية المادة المخمّدة لهذه الجسيمات تزداد بازدياد العدد الذري لهذه المادة.

مثال (9):

نيوترون كتلته m وسرعته v يصدم نواة ساكنة كتلتها km . بفرض أن سرعة الجسيمات قبل الصدم وبعده مرتبطة خطياً وأن الطاقة الحركية محفوظة خلال عملية الصدم، فأوجد طاقة النيوترون K' بعد الصدم بدلالة طاقة حركته K قبل الصدم وبدلالة k .

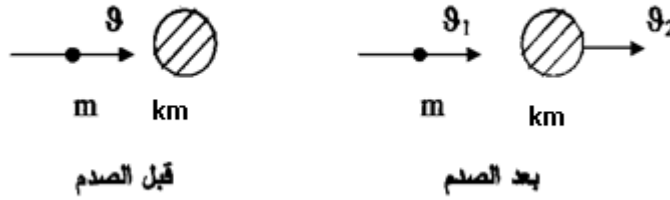
بفرض أن الطاقة الحركية للنيوترون قبل الصدم تساوي 1MeV فاحسب عدد مرات الصدم اللازمة للنيوترون حتى تصبح طاقة حركته 0.025 eV أي كي يصبح نيوتروناً حرارياً عندما يصدم:

— نوى ذرات الهيدروجين $k=1$

— نوى ذرات الديتريوم $k=2$

— نوى ذرات الكربون $k=12$

الحل:



نفرض v_1 و v_2 سرعة النيوترون والنواة بعد الصدم على الترتيب، وأن الصدم جبهوي والتبعثر نحو الأمام كما هو مبين بالشكل. واعتماداً على قانون حفظ كمية الحركة نكتب:

$$m\vec{J} = m\vec{J}_1 + km\vec{J}_2$$

وبالإسقاط على المحور الأفقي نجد:

$$mv_2 = mv_1 + kmv_2$$

واعتماداً على أن الصدم مرّن أي أن الطاقة الحركية محفوظة، نكتب:

$$\frac{1}{2} m J^2 = \frac{1}{2} m J_1^2 + \frac{1}{2} k m J_2^2$$

واعتماداً على المعادلتين السابقتين نكتب:

$$\vartheta_2 k \vartheta - \vartheta_1 =$$

$$\vartheta_2^2 k (\vartheta - \vartheta_1) (\vartheta + \vartheta_1) =$$

واعتماداً على ذلك نكتب المعادلتين:

$$\vartheta_2 k \vartheta - \vartheta_1 =$$

$$\vartheta + \vartheta_1 = \vartheta_2$$

وبحذف ϑ_2 بين المعادلتين السابقتين نجد:

$$J_1 = \frac{1-k}{1+k} J$$

$$K = \frac{1}{2} m J^2 \quad , \quad K' = \frac{1}{2} m J_1^2 \quad \text{وبما أن:}$$

فإن:

$$K' = \frac{1}{2} m \left(\frac{1-k}{1+k} \right)^2 J^2 = K \left(\frac{1-k}{1+k} \right)^2$$

ومن أجل $k = 1$ أي من أجل نوى ذرات الهيدروجين نجد $K' = 0$ أي أصبح النيوترون حرارياً من الصدم الأول.

$$\text{ومن أجل } k = 2 \text{ أي من أجل نوى الديتريوم نجد: } K' = \frac{1}{9} K$$

وذلك بعد الصدم الأول. ومن أجل الصدمة N يكون:

$$K' = \frac{1}{9^N} K$$

وبأخذ لغاريتم الطرفين نجد:

$$\text{Ln } K' = -N \text{Ln } 9 + \text{Ln } K$$

$$N = \frac{\text{Ln}(K / K')}{\text{Ln} 9} \quad \text{ومنه:}$$

$$\frac{K}{K'} = \frac{10^6}{0.025} = 4 \times 10^7 \quad \text{وبمعرفة أن:}$$

$$N = \frac{\text{Ln} 4 \times 10^7}{\text{Ln} 9} = 7.96 \approx 8 \quad \text{نجد أن:}$$

أي يصبح النيوترون حرارياً بعد ثمانية صدمات مع نوى ذرات الديتريوم.

ومن أجل $k=12$ نجد:

$$K' = \left(\frac{11}{13} \right)^2 K$$

بعد صدمة واحدة. وبعد N صدمة يكون:

$$K' = \left(\frac{11}{13} \right)^{2N} K$$

$$N = \frac{1}{2} \frac{\text{Ln}(K / K')}{\text{Ln}(13/11)} \approx 53 \quad \text{ومنها نجد:}$$

أي نحتاج إلى 53 صدمة مع نوى ذرات الكربون كي يصبح النيوترون حرارياً.

ونسنتج من ذلك أن المواد الخفيفة أكثر فاعلية لإبطاء النيوترونات من المواد الثقيلة.

مسائل الفصل الرابع

1— تتناسب خسارة الطاقة لجسيم مشحون، من أجل الطاقات المنخفضة، في وحدة الطول مع مساره عكسياً مع سرعته v ، أي أن:

$$dK / dc = k / J$$

برهن أن مدى الجسيم المشحون، في مادة، يتناسب مع طاقته الحركية في بداية مداه مرفوعة إلى القوة $3/2$. واستنتج من ذلك أن مدى الجسيم المشحون R يتناسب مع مكعب سرعة الجسيم لدى دخوله الوسط، وهو قانون يعرف باسم قانون جايجر، أي أن:

$$R = k' J_0^3$$

2— يدخل جسيم شحنته $Z_1 e$ وكتلته السكونية M وسطاً مادياً سماكته لا متناهية بطاقة حركية K_0 . إذا أخذت التصحيحات النسبية فإن الطاقة الضائعة تعطى كما يلي:

$$-\frac{dK}{dc} = \frac{4p Z_1^2 e^4}{m_0 J^2} n Z_2 \left[\text{Ln} \frac{2m_0 J^2}{I} - \text{Ln} (1-b^2) - b^2 \right]$$

حيث: تمثل $\beta = v/c$ السرعة المختزلة. والمطلوب:

أ — برهن اعتماداً على العلاقة السابقة أن:

$$S(K) = \frac{4p e^4}{m_0 c^2} \cdot \frac{Z_1^2}{b^2} \cdot \frac{n Z_2}{r} \left[\text{Ln} \frac{2m_0 c^2 b^2}{I (1-b^2)} - b^2 \right]$$

ب — برهن، بإهمال أن المعادلة السابقة غير صالحة من أجل السرعة المنخفضة، أن

$$R = M Z_1^{-2} F(b_0) \text{ يكتب بالشكل:}$$

حيث $F(\beta_0)$ تابع للسرعة المختزلة للجسيم عند دخوله إلى الوسط.

ثم أوجد، من أجل جسيمين $(Z_2, M_2), (Z_1, M_1)$ لهما السرعة المختزلة β_0 نفسها عند دخولهما إلى الوسط، العلاقة بين مدى كل منهما داخل الوسط من جهة والعلاقة بين طاقتيهما الحركيتين البدائيتين من جهة أخرى.

تطبيق عددي: بفرض أن مدى بروتون، كمية حركته $P = 10^3 \text{ MeV/c}$ ، يساوي 8 أمتار ضمن هيدروجين سائل 27.6 K فاستنتج مدى جسيم يُسمى ميزوناً ويُرمز له بالرمز K^+ ضمن الهيدروجين السائل السابق. مع العلم أن كثافة الهيدروجين السائل في الدرجة 27.6 K تساوي $5.86 \times 10^{-2} \text{ g/cm}^3$ وطاقة الميزون K^+ السكونية 494 MeV وطاقة البروتون السكونية 938.25 MeV .

3— ترد أشعة γ بطاقة قدرها 662 keV على سماكة من الرصاص فتخرج بطاقة قدرها 640 keV والمطلوب:

- أ — احسب زاوية تبعثر أشعة γ السابقة. $m_0c^2 = 0.51\text{MeV}$.
- ب — سرعة الالكترونات المتبعثرة.
- 4— نفرض أن فوتوناً طوله الموجي 0.0002nm يسقط على هدف ويمر في أثناء مساره بالقرب من نواة ما والمطلوب:
- أ — احسب عدد أزواج الكترون — بوزيترون الساكنة التي يمكن أن يولدها هذا الفوتون.
- ب — إذا نتج عن هذا الفوتون زوج بحيث كانت طاقة حركة البوزيترون ضعف طاقة حركة الالكترون فاحسب طاقة حركة هذا الزوج.
- $h = 6.63 \times 10^{-34} \text{ J. s}$, $c = 3 \times 10^8 \text{ m/s}$
- 5— يتم إضعاف شدة حزمة من فوتونات γ إلى النصف بعد اختراقها العمودي لشريحتين مستقلتين الأولى من الألمنيوم سمكها 1.6cm والثانية من الرصاص 207 معامل امتصاصها الخطي 58cm^{-1} والمطلوب:
- أ — احسب معامل الامتصاص الخطي لشريحة الألمنيوم.
- ب — إذا أديرت شريحة الألمنيوم بزاوية 30° بالنسبة للحزمة الواردة فأوجد نسبة إضعاف شدة الحزمة بعد اختراق الشريحة.
- ج — أوجد سمك شريحة الرصاص. ماذا تستنتج؟
- د — إذا كانت كثافة مادة الرصاص 11.4 g/cm^3 فأوجد المقطع العرضي الكلي لامتصاص فوتونات γ أعلاه. $N_a = 6.02 \times 10^{23} \text{ atoms/ mol}$

الفصل الخامس

كواشف الاشعاعات النووية

1.5 - مقدمة:

نظرا لطبيعية الإشعاع غير المرئية كان لابد من إيجاد الطرائق والأدوات الملائمة للكشف عن الإشعاع وذلك لمعرفة وقياس الإشعاع وتوفير المعلومات اللازمة عنه و معرفة مقدار ما قد يحدثه من أثار إضافة الى تقدير ضرورة إجراء هذه القياسات ودرجة ملائمة الأجهزة لنوع القياس ومن هنا تم تطوير عدة تقنيات وأدوات لقياس الإشعاع ينتج من تفاعل الأشعة المؤينة مع المواد المختلفة عدة أثار تتوقف على نوع الإشعاع وطبيعته وشدته، وكذلك طبيعة المادة. وتسمى المواد التي تتأثر بالإشعاع بشكل يمكن معه الاستفادة من الأثر الناتج " كواشف الإشعاع " فعندما تتفاعل الأشعة على اختلاف أنواعها سواءً أكانت جسيمات مشحونة أم جسيمات غير مشحونة، مثل النترونات، أو حتى الأشعة الكهرومغناطيسية؛ مع الكاشف، فإن الحصلة النهائية لتبادل التأثير بالنسبة لأغلب أنواع الكواشف هي تشكُّل كمية من الشحنات الكهربائية ضمن مادة الكشف أو ما يسمى بالحجم الفعَّال للكاشف التي تجمع عند قطب معاكس. يعتمد مبدأ الكشف عن الإشعاعات المؤينة في معظم الكواشف على تأيين أو إثارة الإشعاعات المؤينة لذرات أو جزيئات مادة الكاشف عند مرور الإشعاعات المؤينة فيها. وعند التأين يتم إنتاج الأزواج الالكترونية الأيونية في الكواشف الغازية أو الالكترونية التجوفية في أشباه الموصلات ويعتمد عدد الأزواج المتكونة على نوع مادة الكاشف وعلى طاقات الإشعاعات الساقطة.

2.5 - التأين والتفريغ الغازي (Ionization and gaseous discharge) :

تعرف المواد العازلة بأنها مواد تبدي مقاومة كبيرة لعبور التيار من خلالها وعند تسليط جهد عال عليها تفقد خاصية العزل الكهربائي ، وقد تكون غازاً أو سائلاً أو صلباً. ولا تخلو العوازل الغازية من وجود جسيمات مشحونة كهربائياً خاصة الالكترونيات الحرة التي تنتج من التشعيع أو تنتج من الحقل مما يؤدي الى بداية عملية الانجراف (الانهيار) ، تسرع هذه الالكترونيات بواسطة الحقل المطبق من القطب السالب إلى القطب الموجب بطاقة حركية $\frac{1}{2}mv^2$ وتصطدم مع جزيئات الغاز بين القطبين وبذلك تفقد بعضاً من طاقتها بينما تمتص البعض الآخر من قبل الجسيمات المحايدة ، فعندما تكتسب هذه الجسيمات طاقة كافية (أكبر

من طاقة الالكترونات اللازمة لحدوث التأين) عندئذ يمكنها أن تتأين بواسطة التصادمات (الكثرون - جسيم حيادي).

تتسارع الالكترونات المتحررة الجديدة بالحقل حيث يتولد انهيار الكتروني عندها ، و بتزايد الجهد المطبق تتزايد عملية تأيين الجسيمات وتكون سريعة حيث تحدث عمليات تأين ثانوية وصولاً الى عملية الانهيار اخيراً.

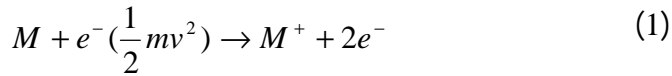
3.5- عمليات التأين في التفريغ الغازي (Ionization processes in gas discharges) :

يحدث الانهيار الكهربائي في الغاز بعمليات تأين مختلفة كـ (التأين بتصادم الالكترونات مع بعضها او تصادم الأيونات والفوتونات مع جزيئات الغاز والتأين عند سطح القطبين و...الخ) وهي عملية تحول التفريغ الغازي من تفريغ تابع الى تفريغ ذاتي (يستمر فيه تأثير المؤين الخارجي حتى بعد رفعه).

يعرف التأين بصورة عامة بأنه عملية خروج الالكترون من الذرة تاركاً إياها كشاردة موجبة، و يزداد احتمال خروج الالكترون من المدار الخارجي بعمليات التصادم وتسمى الطاقة اللازمة لحدوث ذلك طاقة التأين الاولى (first ionization potential). تقسم هذه العمليات الى :

أ- التأين بالتصادم البسيط (Ionization by simple collision) :

يحدث عندما تتجاوز طاقة الالكترون ($\frac{1}{2}mv^2$) المتصادم مع جزيئة الغاز طاقة تأينها ($E_i = eV_i$) وينتج عن عملية التصادم أيون موجب والكترونين بطيئين :



يكون احتمال حدوث هذه العملية مساوياً الى الصفر في حال تساوي طاقتي الالكترون وجزيء الغاز ويزداد بزيادة طاقة الالكترون على حساب طاقة الجزيء.

ب- التأين بعملية الاثارة (Excitation) :

لا تتأين جزيئات الغاز المتعادل بالالكترونات دائماً في عملية التصادم البسيط بسبب فرق الطاقة ، وفي هذه الحالة تترك الجزيئة في حالة إثارة M^{*} بطاقة E_e :

$$M + e^{-} \left(\frac{1}{2} mv^2 \right) \rightarrow M^{*} + e^{-} \quad (2)$$

والتي تعطي بالنتيجة فوتونا ذات تردد n وطاقة hn بانتقاله من مدار الى اخر.

$$M^{*} \rightarrow M + hn$$

ت - التأين بالتصادم المضاعف للإلكترون (Ionization by Double electron impact)

إذا تم رفع طاقة جزيء الغاز الى مستوى مثار (E_e بطاقة) بتصادم سابق فإنه يتأين بتصادمه مع الكترون بطيء نسبياً والذي يكون بحاجة إلى طاقة أقل من طاقة التأين و أعلى من الطاقة الاضافية اللازمة لبلوغ التأين.

$$\frac{1}{2} mv^2 > E_i - E_e \quad (3)$$

$$M^{*} + e^{-} \left(\frac{1}{2} mv^2 \right) \rightarrow M^{+} + 2e^{-} \quad (4)$$

ث - التأين الضوئي (Photo-ionization)

يمكن تأيين جزيء في الحالة الأساسية بفوتون تردده n والذي يبعث طاقة مقدارها hn (بالقفز من مدار الى اخر) أكبر من طاقة تأين الجزيء $hn > E_i$:

$$M + hn \rightarrow M^{+} + e$$

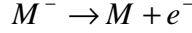
ج - التأين بالإلكترون المرافق (Electron Attachment)

إذا كانت جزيئات الغاز لها مستويات طاقة غير مملوءة فإن الإلكترون المتصادم يمكن أن يستقر في إحدى هذه المستويات محولاً الجزيء الى شاردة سالبة M^{-} والتي تكون في حالة مثارة بسبب فرق الطاقة. $M + e^{-} \rightarrow M^{-}$

يقلص التصادم بهذه العملية عدد الإلكترونات الحرة بعكس العمليات السابقة التي تزيدها.

ح - التأين بفصل الإلكترون (Electron detachment)

وهي بعكس عملية ارتباط الإلكترون وفيها تفقد الشاردة السالبة طاقتها الإضافية لتفصل الكترونها المكتسب وتحول الى جزيئة متعادلة.



خ- عمليات أخرى :

ومنها على سبيل المثال :

- تصادم (الأيون - الذرة)
- تصادم (الذرة المهيجة - الجزيئية)
- تصادم (الذرة - الذرة)

ويخلص الجدول التالي مجمل عمليات التأين:

جدول (1) يوضح عمليات التأين المختلفة

$A + e \rightarrow A^* + e$	Excitation by electron impact.
$A + e \leftarrow A^* + e$	A collision of the second kind.
$A + e \rightarrow A^+ + e + e$	Ionization by electron impact.
$A + h\nu \rightarrow A^*$	Photo excitation (absorption of light).
$A + h\nu \leftarrow A^*$	Emission of light.
$A + h\nu \rightarrow A^+ + e$	Photo-ionization.
$A + h\nu \leftarrow A^+ + e$	Radiative recombination.
$A + B \rightarrow A^* + B$	Excitation by atom impact.
$A + B \rightarrow A^+ + e + B$	Ionization by atom impact.
$A^* + B \rightarrow A + B^*$	Excitation by excited atoms.
$A^+ + B \rightarrow A + B^+$	Change of charge.
$A^+ + B \rightarrow A^+ + B^+ + e$	Ionization by positive ion impact.

} Collisions of the second kind

تشير * إلى أن الذرة مثارة

4.5- آلية الانهيار الغازي (breakdown Characteristic in gases):

يمكن دراسة التأين والتفريغ الغازي تحت نوعين من الضغط :

✓ تحت ضغط منخفض .

✓ تحت ضغط عال .

هناك آليتان معروفتان ضمن التفريغ الغازي الذاتي تحت ضغط عال لدراسة عملية

الانهيار في الغازات (avalanche و streamer) (التجميعي و الشراري) هما :

§ آلية التكتل الالكتروني (عملية انهيار تاونسند)

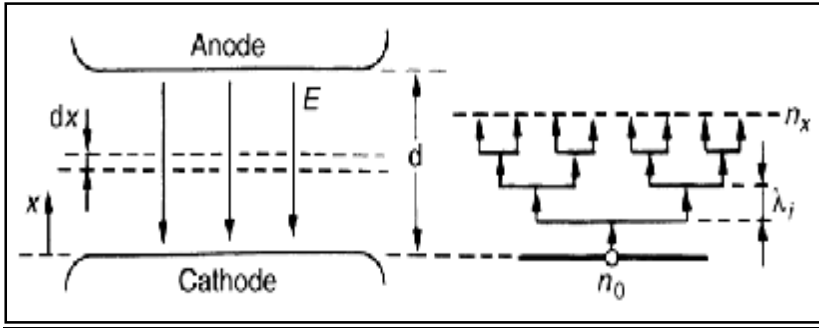
§ و آلية الانهيار الشراري

1.4.5 - آلية التكتل الإلكتروني (عملية انهيار تاونسند) :

Electron Avalanche Mechanism (Townsend Breakdown Process)

تستند هذه الآلية على توليد انهيارات ثانوية متتالية لإتمامها. لنفرض وجود إلكترون حر في غاز (نتيجة بعض المؤثرات الخارجية كالإشعاع أو أشعة كونية) وبوجود حقل كهربائي قوي كافٍ يسبب تسارع الإلكترون. مسبباً تأين جزيئة الغاز بالتصادم البسيط مما يؤدي إلى الحصول على إلكترونين حرين و أيون موجب حيث يكون هذان الإلكترونان قادرين على التسارع و التصادم أكثر مما يؤدي إلى الحصول على 4 إلكترونات حرة و 3 أيونات موجبة .

والعملية بمجملها تراكمية حيث يتزايد عدد الإلكترونات الحرة كلما زاد تأثير الحقل الكهربائي و يتولد سرب من ملايين الإلكترونات الحرة وأيونات موجبة بطريقة تسمى انهيار الإلكترون (electron avalanche) في حيز صغير بأبعاد ملليمترية.



الشكل (1) يمثل آلية انهيار الإلكترون

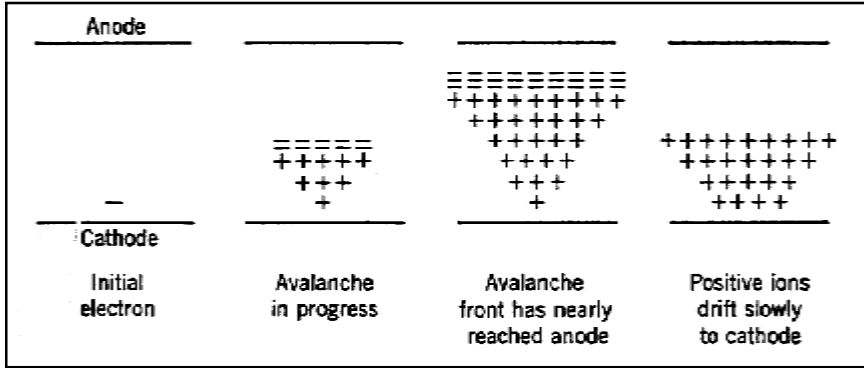
وعند زيادة الفولتية بين قطبي المنظومة يبدأ التيار بالازدياد بصورة بطيئة أيضاً كلما انبعثت الإلكترونات من القطب السالب إلى القطب الموجب عبر الغاز بمعدل سرعة يعطى من خلال حركتها بفعل قوة الحقل. ويكون التأين بتصادم الإلكترونات أكثر احتمالاً وذا أهمية ملحوظة خلال هذه الآلية .

ولتكن :

$n_e(x)$: عدد الإلكترونات المنبعثة من القطب السالب لكل وحدة زمن.

$n_e(0)$: عدد الإلكترونات المتحركة مسافة x من القطب السالب لكل وحدة زمن)

$n_e(x) > n_e(0)$ خلال التصادمات المؤينة في الفجوة).



الشكل (2) يبين تجميع الالكترونات مع مرور الزمن

a : عدد التصادمات المؤينة والتي تنتج بـ (الكترون لكل وحدة انجراف باتجاه المجال) وتسمى معامل تاونسند الاول للتأين (Townsend's first ionization coefficient). وعليه تكون $1/a$ معدل المسافة المقطوعة في اتجاه المجال بين التصادمات المؤينة. والآن لنفترض وجود شريحة سمكها dx على مسافة x من القطب السالب فان الالكترونات $n_e(x)$ التي تدخل الشريحة ستجتازه بوجود الحقل المطبق E حيث يتناسب عدد التصادمات المؤينة في فجوة الغاز مع dx و $n_e(x)$:

$$dn_e(x) \propto n_e(x)$$

$$dn_e(x) \propto dx$$

$$\Rightarrow dn_e(x) = an_e(x)dx \quad (5)$$

بإعادة ترتيب وأخذ تكامل الطرفين نجد :

$$\int_{n_e(0)}^{n_e(x)} \frac{dn_e(x)}{n_e(x)} = a \int_0^x dx$$

$$\ln(n_e(x)/n_e(0)) = ax \quad (6)$$

$$n_e(x) = n_e(0)e^{ax} \quad (7)$$

إذا كان القطب الموجب على بعد $d = x$ من القطب السالب فان عدد الالكترونات التي تصل اليه في كل ثانية :

$$n_e(d) = n_e(0)e^{ad} \quad (8)$$

لذا فان كل الكترون يغادر القطب السالب يُنتجُ $[n_e(d) - n_e(0)]/n_e(0)$ من الالكترونات الجديدة (يقابله أيونات موجبة بالعدد نفسه) في الفجوة بين القطبين .
عدد الأيونات الموجبة التي تصل إلى القطب السالب في كل ثانية في حالة الاستقرار يجب أن يساوي عدد الالكترونات الجديدة التي تصل إلى القطب الموجب ، ويعطى التيار الناتج :

$$I = I_0 e^{ad} \quad (9)$$

حيث I_0 تمثل التيار الكهروضوئي الاولي عند القطب السالب .
يتبع تأين الالكترونات بالتصادم على القطب السالب "الذي يملا فجوة الغاز بالكترونات حرة" بعملية الانهيار الفعلي عمليات ثانوية ، ويزداد عددها مع كل عملية جديدة .
ولنأخذ الآن معادلات زيادة التيار في الآلية الثانوية بعين الاعتبار .
نفرض ان g : معدل عدد الالكترونات الثانوية المتولدة في القطب السالب لكل تصادم مؤين في الفجوة (معامل تاوونسد للتأين الثاني Townsend's second ionization coefficient)

$n_e(0)$: عدد الكترونات الكهروضوئية الأولية المتولدة من القطب السالب في الثانية .
 $n'_e(0)$: عدد الكترونات الكهروضوئية الثانوية المتولدة في القطب السالب في الثانية .
 $n''_e(0)$: عدد الكترونات الكلية التي تغادر القطب السالب في الثانية .
لذا فان :

$$n'_e(0) = n_e(0) + n''_e(0)$$

وبالمحصلة إن كل الكترون يغادر القطب السالب يولد $(e^{ad} - 1)$ تصادماً في الفجوة وبالتالي يعطى عدد التصادمات المؤينة في الثانية في الفجوة بـ $n''_e(0)[e^{ad} - 1]$ ومن التعريف :

$$g = \frac{n'_e(0)}{n''_e(0)[e^{ad} - 1]}$$

من معرفة $n'_e(0) = n_e(0) + n''_e(0)$ تكون الحل بالنسبة لـ $n''_e(0)$:

$$n''_e(0) = \frac{n_e(0)}{1 - g[e^{ad} - 1]}$$

مشابها لحالة العملية الأولية (مع a) نجد :

$$n_e(d) = n''_e(0) \exp(ad) = \frac{n_e(0)[e^{ad} - 1]}{1 - g[e^{ad} - 1]}$$

وتعطى التيار في حالة الاستقرار بالمعادلة :

$$I = \frac{I_0[e^{ad} - 1]}{1 - g[e^{ad} - 1]} \quad (10)$$

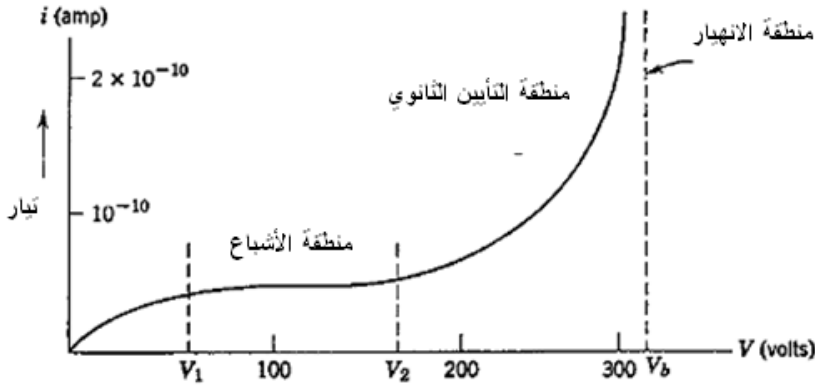
التي تمثل معادلة التيار المتزايد في الفجوة قبل حدوث انهيار الشرارة (spark breakdown) .

وبزيادة قيمة الكمون المطبق يزداد كل من e^{ad} و ge^{ad} لتصل $ge^{ad} \rightarrow 1$ عندما يصبح المقام في معادلة التيار مساوياً إلى الصفر ، والتيار إلى ∞ عندها ستحدد قيمتها العملية بمقاومة مجهز القدرة والغاز الموصل. يعرف هذا الشرط كانهيار ويكتب :

$$g[e^{ad} - 1] = 1$$

والذي يعرف بمعيار تاونسند لانهيار الشرارة (Townsend criteria for spark breakdown) و خلالها ينمو الانهيار التجميعي على مدى فترات زمنية طويلة نسبياً (يزيد على 1ms) ولا تحدث في حالة تطبيق كمون نبضي عموماً.

تحدد معاملات تاونسند في غرفة التأين مفرغة بدرجة عالية بحدود 10^{-4} و 10^{-6} تور قبل تعبئتها بالغاز المطلوب عند ضغط قليل ، والكمون المطبق بحدود 2 إلى 10 كيلو فولت.



الشكل (3) منحنى خصائص التيار و الفولتية في آلية تاونسند

عند زيادة الكمون المطبق تدريجياً يبدأ التيار بالازدياد أيضاً للوصول الى قيمة I_0 ببطء و يعتمد على قوة إضاءة الأشعة حيث تتبع تلك الزيادة عملية إشباع بسبب عودة معظم الالكترونات المشعة الى القطب السالب ثانية بعملية الانتشار بنسبة تقل بزيادة الكمون مع عدم وصول جميع نظيريتها المنبعثة الى القطب الموجب مالم تصل قيمة الكمون المطبق إلى كمون

تأين الغاز ، ويصل التيار الى قيمة عظمى له عند جهد V_b (breakdown voltage) وفي هذه المنطقة وبلاستفادة من آلية تاونسند نعرف تيار التفريغ بالعلاقة التالية :

$$I = \frac{I_0[e^{ad} - 1]}{1 - g[e^{ad} - 1]} = I_0 e^{ad} \quad ad \gg 1$$

في هذا التفسير لم نأخذ مرافقة الالكترون للجسيمات المحايدة بعين الاعتبار لان ذلك يزيل الالكترونات الحرة وبهذا يعطي للغازات قوة عزل كهربائي عالية جداً ، عندها تطلق تسمية الغازات الالكتروسالبة (electro-negative) عليها ويعرف عامل الربط او المرافقة (attachment coefficient) بـ h بأنها عدد المرافقات لكل الكترون لوحدة الانجراف باتجاه الحقل ، وعليه تكون قيمة التيار في المجال المنتظم :

$$I = I_0 \frac{\left[\frac{a}{a-h} e^{(a-h)d} - \frac{h}{a-h} \right]}{1 - g \frac{a}{a-h} [e^{(a-h)d} - 1]}$$

وفي المقابل لدينا علاقة معايرة انهيار الشرارة (spark breakdown) كالآتي :

$$g \frac{a}{a-h} [e^{(a-h)d} - 1] = 1$$

2.4.5 - قانون باشن (Paschen's Law) :

عندما يتحرك كل من الالكترون أو الشاردة الموجبة في حقل منتظم E وضغط الغاز p فان وصول متوسط طاقتيهما الى التوازن يتعلق بالنسبة E/p أو بدقة اكثر :

$$g = f_2(E/p) \quad a/p = f_1(E/p)$$

الحقل الكهربائي المنتظم في الفجوة يعطى بـ $E=V/d$ لذا فان معايرة تاونسند لانهيار الشرارة للغازات تكون :

$$g(e^{ad} - 1) = 1$$

والذي يمكن كتابته بالشكل :

$$f_2\left(\frac{V}{pd}\right) \left[e^{pdf_1\left(\frac{V}{pd}\right)} - 1 \right] = 1$$

ونتضح من خلال المعادلة ان كمون الانهيار V تابع لجداء ضغط الغاز p و مسافة الفجوة d

$$V = f(p.d) \quad \text{أي}$$

ونلاحظ أن تأثير درجة الحرارة لم يؤخذ بالاعتبار.

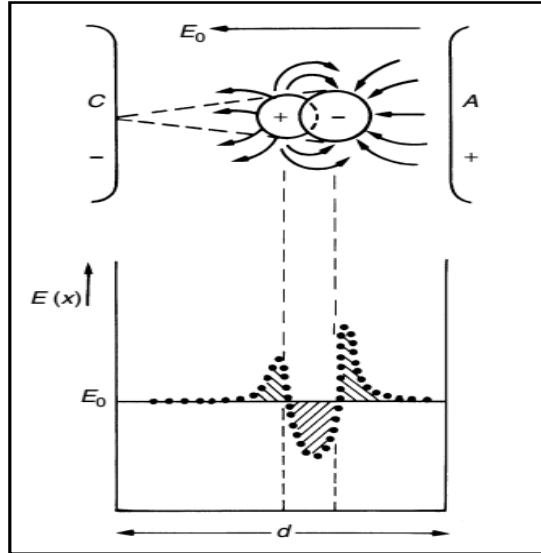
وباستخدام القانون العام للغازات $pV=nRT$ نرى ان $p = rRT$ ، لذا تكون الصيغة الصحيحة لتابع الكمون يكون بدلالة جداء الكثافة بمسافة الفجوة $V = f(r.d)$ ، وهذه هي صيغة قانون باشن (Paschen's Law) حيث r كثافة الغاز .

3.4.5 - آلية الانهيار الشراري (The streamer breakdown mechanism):

ينشأ هذا النوع من الانهيار نتيجة التأثير المضاف من قبل حقل فضاء الشحنة للانهيار العادي و تأثير التأين الكهروضوئي في الغاز ، وتنتبأ بحدوث تفريغ لانهيار الشرارة مباشرة من خلال انهيار عادي منفرد ، في حين أن آلية تاونسند تنتبأ بانتشار كبير للتفريغ ، حيث وجد في التطبيقات العملية أن الكثير من التفريغ كان خطياً وغير منتظم .

يسبب فضاء الشحنة المتولد في الانهيار التجميعي تشويه مناسب للحقل الكهربائي يكفي لتحريك الالكترونات الحرة باتجاه رأس الكتلة حيث يتضاعف ويترام بسرعة على شكل حجم كروي . كلما تقدمت الالكترونات بسرعة تركت الشوارد الموجبة بحركة بطيئة نسبياً في مؤخرة الحقل بينما تقوى جبهتها ومقدمتها الامامية ، لكن الحقل بين الالكترونات واشوارد الموجبة يكون بعكس اتجاه المجال المطبق (E_0) الذي يقلل من قوة المجال الناشئ لذا فالمجال المتبقي بين الكاثود والمؤخرة تتطور باستمرار لتغذية مقدمة المجال .

كما في الشكل (4) الذي يبين تشوه الحقل في الفجوة بسبب التداخل بين الحقل الكهربائي لفضاء الشحنة لتكتل الالكترونات والحقل المطبق E_0 الذي يزيد حركية الالكترونات .



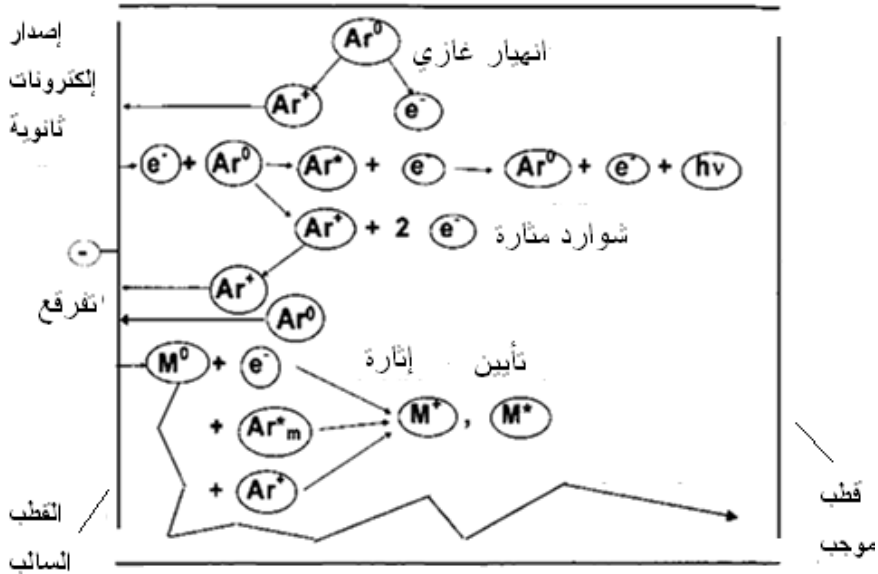
الشكل (4)

4.4.5 - الانهيار التوهجي (Glow discharged):

أ- الانهيار التوهجي بالتيار المستمر (Direct current (d.c.) glow discharges):

يحصل هذا النوع من الانهيار نتيجة تسليط حقل كهربائي قوي من مصدر تيار كهربائي مستمر على وسط غازي تحت ضغط منخفض فيؤدي الى انهيار ذرات وجزيئات الغاز كهربائياً والسماح بتدفق التيار في الغاز حيث تبدأ العملية من تصادم الالكترونات الحرة المسرعة بوجود الحقل الكهربائي مع جزيئات الغاز ، والتي عند اكتسابها طاقة كافية تسبب في تأيين وإثارة جزيئات الغاز المحايدة بالتصادمات غير المرنة التي تتبع بعملية إعادة التحام المصاحب بانبعثات فوتونات ضوئية عادة وبالتالي يتم توليد شوارد موجبة والكترونات جديدة حيث تتسرع الشوارد الموجبة وتكتسب سرعة عالية جداً وتتجه نحو القطب السالب بتأثير الحقل الكهربائي وتسبب في اثارة مادة الكاثود (الكاثود) وانبعثات الكترونات ثانوية لكونها تعود الى ذرات مادة الكاثود وليس الغاز مما يترك ذراتها الاصلية في حالة تأين تطلق عليها (الذرات المتفرقة) لأن عملية توليد الكترونات ثانوية تسمى بعملية (التفرقع - sputtering) وتكرر هذه العمليات عدة مرات لتكون سلسلة مستمرة تؤدي الى توهج الغاز ذاتياً .

ويمكن تمثيل مجمل العمليات بين القطبين بالشكل :



الشكل (5)

ب - التفريغ التوهجي التفرقي (Glow Discharge Sputtering):

ينتج التفريغ التوهجي التفرقي بعد عودة الشوارد الموجبة (الذرات المتأينة) للوسط الغازي الى مادة القطب السالب بفعل قوة التجاذب الكولوني ، ونظراً لكتلة الشوارد الموجبة الكبيرة والسرعة الإضافية التي تكتسبها من الحقل الكهربائي تكتسبُ اندفاعاً كبيراً فتقصف الذرة مادة القطب السالب وتنقل طاقتها واندفاعها الى تلك الذرات (ذرات مادة القطب السالب) وتحققها وتجعلها تتأين وتفقد الكتروناتها الخارجية (توليد الكترونات ثانوية) وتترك ذرة مادة القطب السالب في حالة خاصة تسمى بالذرة المتفرقة (sputtered atom).

يشترط في هذا التفريغ الخاص أن تكون المسافة بين مادة الهدف (القطب السالب) والشوارد أن تكون أقل ما يمكن لاكتساب سرعة عالية وعدم تضييع طاقتها، وأن يكون ضغط الغاز مناسباً لتوليد بلازما ذاتية التكوين اي بين (10-1000) mTorr ، وطاقة الأيون أكبر من 100eV وان يبلغ كمون القطب السالب حوالي 2.5 Kv .

5.5 - كواشف الإشعاع: Radiation Detectors

إن غاية كشف الإشعاع النووي وتسجيله هي التعرف على نوعية وميزات هذا الإشعاع. فنعين بوساطة تسجيل الإشعاع مثلاً: طاقة وشحنة الجسيمات، كتلتها وأعمارها الوسطية، العزوم الميكانيكية والمغناطيسية، المقاطع العرضية للعمليات المختلفة، التوزيعات الزاوية... الخ. تتكون الجملة المستخدمة لتسجيل الجسيمات عادة من كاشف (عداد) وآلية تحليل Analyzer مع آلية عد (معداد). ففي الكاشف يتم التأثير المتبادل للإشعاع مع مادته ومن ثم تضخم الإشارة الناتجة وتحلل وتصنف ثم تقوم آلية العد بعدد كل صنف منها.

تعتبر عملية ضياع الطاقة بالتشريد، في المادة، أساس عملية الكشف حيث يمكن تحويل التشريد، بطرق مختلفة، إلى نبضة كهربائية يتناسب مطالها مع الطاقة الضائعة في وسط الكاشف. ويمكن بطرق معينة جعل التشريد مرئياً على طول مسار الجسيم: على شكل فقاعات، قطرات، انفراغ شحني، أو إظهار حبيبات تتشكل لتولد أثراً مرئياً. فإذا كان الكاشف تحت تأثير حقل مغناطيسي فإن الأثر الذي يتركه الجسيم (أي مساره) ينحني ومن هذا الانحناء يمكن تعيين عزم الجسيم.

ونشير إلى الطبيعة الإحصائية عند كشف وتسجيل الحوادث في الفيزياء النووية، فالمفهوم الإحصائي للقياس أساسي. فظاهرة التفكك الإشعاعي ظاهرة إحصائية، حيث لا يمكننا القول

متى تتفكك النواة المعطاة بالضبط، إنما بوسعنا أن نشير فقط بأي احتمال يمكنها التفكك خلال فترة زمنية ما. وظاهرة التبعثر يُعبر عن احتمال حدوثها بالمقطع العرضي.. الخ. فلا يمكن أن نتطبق نتيجتا قياسين متعاقبين، وإنما إحداهما قريبة من الأخرى. ويعود هذا الاختلاف إلى التذبذب الإحصائي Statistical Fluctuation.

وتمثل النتائج لقياسات عددها أقل من 10 وفق توزيع بواسون Poisson Distribution. بينما تمثل النتائج لقياسات عددها كبير، وهذه هي الحالة العامة، وفق توزيع جاوس Gauss Distribution الذي يسمح بتقدير قيمة التذبذب لكل قياس.

سنحاول أن نركز اهتمامنا على النواحي التقنية للكواشف التي سندرسها مثل: قوة الفصل Resolution والفعالية أو الكفاءة Efficiency والحساسية Sensitivity. ويُقصد بقوة الفصل العرض الكلي للإشارة (والتي تمثل منحني جاوسي) عند منتصف أعظم قيمة. وتعني الفعالية (أو الكفاءة) نسبة عدد الجسيمات التي يسجلها الكاشف إلى العدد الكلي للجسيمات الداخلة إليه. بينما تمثل الحساسية أصغر طاقة تستطيع إحداث شاردة واحدة في الكاشف.

1.5.5 – الكواشف الغازية: Gas- Filled detectors

إن من أقدم وأبسط الكواشف التي استخدمت لتسجيل الإشعاع هي الكواشف المعبأة بالغاز. ويوضع الغاز في اسطوانة موصولة مع القطب السالب للمولد (أو موصولة بالأرض) بينما يوصل السلك المنطبق على محور الاسطوانة إلى القطب الموجب للمولد الذي فرق الجهد بين قطبيه يساوي أو أكبر من 1000 فولت (الشكل 6).

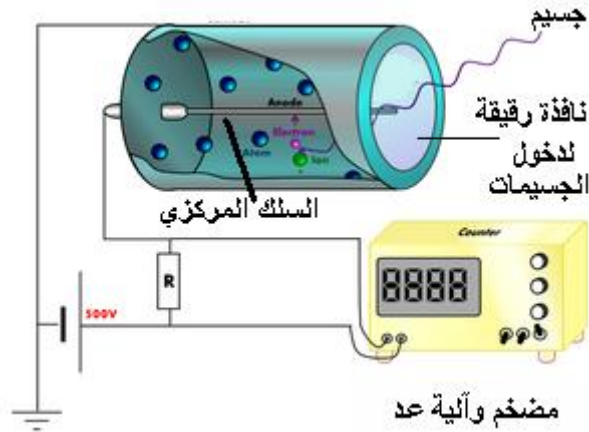
تملأ الاسطوانة بغاز الأرجون Argon، أو غاز البروبين Propane. فعندما تدخل جسيمات إلى الاسطوانة عن طريق نافذة الدخول الرقيقة فإنها تخسر طاقتها بتأيين ذرات الغاز على طول مسارها.

إذا كانت E طاقة الجسيم فإن عدد الشوارد التي يسببها (أو يولدها) هذا الجسيم يساوي:

$$n = \frac{E}{e}$$

حيث e الطاقة الدنيا اللازمة لتوليد زوج الكترون – أيون وهذه الطاقة هي ما اصطلاحنا على تسميته حساسية الكاشف. وتتراوح قيمة e تبعاً للغاز المستخدم. فمن أجل مزيج نموذجي مؤلف من 90% أرجون و 10% ميثان Methane، فإن:

$$e \approx 27\text{eV}$$



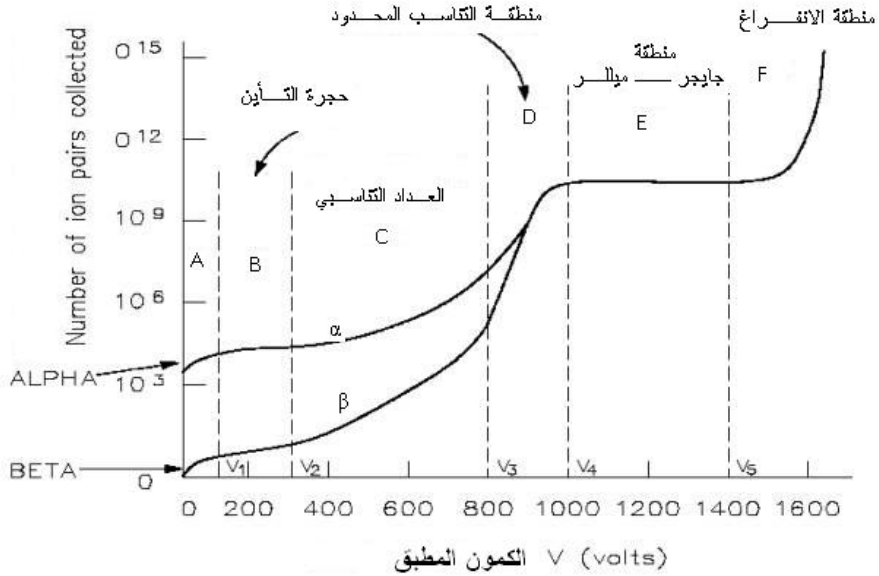
الشكل (6)

تتجه الالكترونات نحو السلك المركزي، بينما تتجه الأيونات الموجبة نحو جدار الاسطوانة. فمن أجل جسيم طاقته محددة، تتعلق الشحنة المجمعة على السلك المركزي بفرق الجهد V المطبق على الكاشف (شكل 5).

فإذا قسنا نبضات الجهد (والتي كل منها تمثل قياساً لجسيم وارد) بين طرفي المقاومة R بتابعية الجهد V فإننا نلاحظ المنحني المبين بالشكل (7).

فالمنحني β يمثل الجسيمات التي طاقتها ضعيفة (أو الفوتونات التي طاقتها منخفضة) مثل الالكترونات. بينما يمثل المنحني α الجسيمات التي طاقتها عالية (أو الفوتونات عالية الطاقة) مثل جسيمات ألفا.

فمن أجل جهد ضعيف فإن الأيونات تعتدل قبل وصولها السلك المركزي أو جدار الاسطوانة: وهذه هي المنطقة A. بينما هناك عدد قليل من الأيونات التي باستطاعتها الاعتدال في المنطقة B؛ فيمثل الكاشف الغازي من أجل هذا المجال من الجهد ما يسمى بحجرة التأين Ion Chamber. إن فرق الجهد بين قطبي المولد، في حجرة التأين، ضعيف بحيث لا يحدث تضخيم ذاتي للتأين أي لا تقوم الأيونات أو الالكترونات، المتولدة بواسطة الجسيم الداخل إلى الكاشف، بتوليد أيونات أخرى. فيمثل عدد الأيونات أو الالكترونات المجمعة عدد الأيونات



الشكل (7)

المولدة في الغاز بواسطة الإشعاع فقط. وتتناسب الطاقة الضائعة، لجسيم مشحون، مباشرة مع عدد الأزواج أيون - الكترون. وارتفاع نبضة الخرج متناسب إذن مع الطاقة الضائعة لهذا الجسيم، وبالتالي فإن الميزة الأساسية لحجرة التأين أنها تعطينا قيمة الطاقة الضائعة بواسطة تأين الغاز والتي تمثل الطاقة الحركية K للجسيم المشحون (أو تمثل طاقة الفوتون). (E)

لا تستعمل حجرة التأين ككاشف على نطاق واسع: لأن زمن جمع الأيونات من أجل الجهد المستخدم طويل تماماً وهو من مرتبة 10^{-3} ثانية مما يحدد عدد الجسيمات المسجلة. وأيضاً فإن مطال النبضة صغير وهو من مرتبة الضجيج الالكتروني. ولهذه الأسباب فإن حجرة التأين تستخدم للجسيمات المشحونة الثقيلة، لأن هذه الجسيمات تسبب ضياعاً مهماً للطاقة مما يولد تأيناً مهماً عند مرور هذه الجسيمات في غاز الكاشف.

وتمثل المنطقة C، من الشكل (7)، ما يسمى العداد التناسبي Proportional Counter فيكون الحقل الكهربائي بالقرب من السلك المركزي، في هذه المنطقة، عالياً كفاية بحيث تسرع الالكترونات المتولدة عن الإشعاع بسرعة كبيرة، فتولد بدورها أيونات إضافية في غاز الكاشف. يولد هذا، عند خرج الكاشف، نبضة أكبر من تلك المتولدة في حجرة التأين. إن عدد الالكترونات الثانوية (الالكترونات التي ولدتها الالكترونات الأولية الناجمة عن الجسيم

المشحون) متناسب مباشرة مع عدد الالكترونات الأولية. وبالتالي فإن العداد يضاعف الأثر الذي يولده الإشعاع وتنتج عن ذلك إشارة خرج متناسبة مع الطاقة التي أضاعها الجسيم في غاز الكاشف. ويمكن أن تتضاعف الالكترونات الأولية بعامل من مرتبة 10^3 إلى 10^4 . وهكذا فإن نبضة الخرج أكبر من تلك الناتجة عند خرج حجرة التأين ولا تعاني من الضياع في الضجيج الالكتروني.

وبما أن الالكترونات تتضاعف بعامل كبير، فإن نبض الخرج الناجم عن تجمع الالكترونات كبير بشكل كافٍ بحيث يمكن إهمال المشاركة التي تؤديها الأيونات. إن الالكترونات تتجمع بسرعة كبيرة (حوالي 10^{-6} ثانية)، وبالتالي فإن العداد التناسبي يمكن أن يستخدم في حالة النسبة العالية للعد وعلى العكس من حجرة التأين.

تقع في المجال D من الشكل (7) منطقة التناسب المحدود limited Proportional حيث تبقى الجسيمات المشحونة (أو الفوتونات) تولد نبضات خرج output pulses بارتفاعات مختلفة. ثم تأتي بعد ذلك المنطقة E من الشكل (7) والتي تمثل منطقة جايجر – ميللر Geiger – Mueller حيث تولد مختلف الطاقات الضائعة نبضات خرج متساوية الارتفاع فلا يوجد في هذه المنطقة تناسب بين الطاقة الضائعة في الكاشف وارتفاع نبض الخرج. فليس باستطاعة عداد جايجر – ميللر إلا القيام بعد الجسيمات الداخلة إليه فقط ودون إعطاء أية معلومات عن طاقة هذه الجسيمات. وأخيراً تنتهي منطقة جايجر – ميللر عند منطقة الانفراغ المستديم ذاتياً وهي المنطقة F من الشكل (7).

إن العداد التناسبي هو أهم عداد بين كواشف الغاز ولذا فإننا سنشير إلى قوة فصل هذا الكاشف وفعاليته.

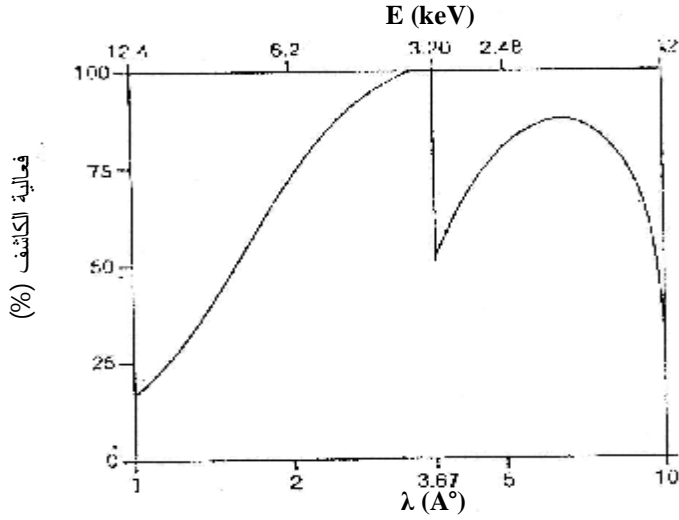
إن قوة الفصل لكاشف، وكما سبق لنا وعرفناها، تمثل العرض الكلي للإشارة عند منتصف القيمة العظمى full width at half maximum، ويرمز لها بالرمز FWHM. إن قيمة قوة الفصل بالنسبة للعداد التناسبي، وبإهمال مساهمة الضجيج الالكتروني، تساوي:

$$\Gamma = k E^{1/2} \quad (11)$$

حيث k ثابت تساوي قيمته من أجل العداد الجيد:

$$k = 0.35 \quad (\text{keV})^{1/2}$$

يبين الشكل (8) فعالية الكشف بتابعية الطول الموجي للأشعة السينية.



الشكل (8): فعالية العداد التناسلي بتابعية الطول الموجي (أوبتائية الطاقة، السلم العلوي) للأشعة السينية التي أضاعت طاقتها في غاز الكاشف.

وتعزى الفعالية الضعيفة من أجل الأمواج الطويلة (الطاقات الضعيفة) لامتصاص هذه الأشعة من قبل مادة نافذة الدخول وهي تتغير أيضاً تبعاً لتصميم هذه النافذة. أما الفعالية الضعيفة بالنسبة للأمواج القصيرة (الطاقات العالية) فتعزى لنموذج الغاز المستخدم، وكثافة هذا الغاز التي تتبع للضغط ضمن الاسطوانة حيث يكون الضغط عادة بين 50 - 760 mmHg، ولسماعة الحجم الحساس من الكاشف. ويعزى الانقطاع في الفعالية عند الطول الموجي 3.87 \AA إلى طاقة حد الانقطاع لعنصر الأرجون (والتي تمثل طاقة ارتباط الإلكترون K من ذرة الأرجون)، حيث تصدر ذرة الأرجون إلكترونات ضوئياً من الطبقة K عند هذه الطاقة ($E = 3.20 \text{ keV}$). وعندما تعود الذرة إلى الاستقرار تصدر فوتوناً ينفذ من الكاشف واحتمال إعادة امتصاصه من قبل غاز العداد مهم. وهذا ما يؤدي إلى الانقطاع في فعالية الكاشف عند هذه الطاقة.

2.5.5 - عداد الوميض Scintillation detector

إن الوميض Scintillator عبارة عن مادة صلبة أو مادة سائلة، يتبادل التأثير معها الإشعاع النووي وفق إحدى الطرق التي درسناها سابقاً؛ فتثار في أثناء عملية التبادل ذرات الوميض. وعند عودة هذه الذرات إلى حالة الاستقرار تصدر فوتونات. إن هذه الفوتونات، من أجل المواد العادية، لا يقع طولها الموجي ضمن مجال الطول الموجي للضوء المرئي. بينما من أجل مادة الوميض يقع الطول الموجي للفوتونات الصادرة ضمن منطقة الضوء المرئي.

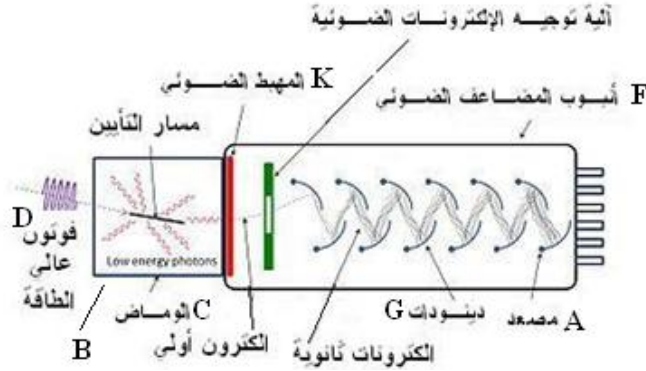
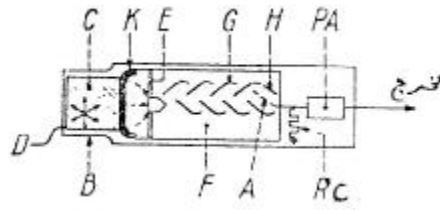
ويتناسب عدد الفوتونات الضوئية الصادرة مع الطاقة الضائعة، في الومّاض، والتي أودعها الإشعاع الوارد.

يجب أن يولد الومّاض هذه الفوتونات بفعالية عالية ويجب أن يكون شفافاً بالنسبة لهم. ويمكن لهذه الفوتونات أن تحول إلى إشارة كهربائية بواسطة أنبوب المضاعف الضوئي Photomultiplier tube الذي يوصل ملاصقاً للومّاض كما في الشكل (9)، الذي يوضح آلية عمل عداد الوميض. ونلاحظ من الشكل السابق أن جملة الومّاض C مع أنبوب المضاعف الضوئي F قد وضعت في حافظة B عازلة للضوء تكون عادة من الألمنيوم مع نافذة لدخول الجسيمات الواردة D تكون عادة من مادة البيريليوم.

كما توضع طبقة من أوكسيد المغنيزيوم بين الألمنيوم والومّاض لتعمل كمبدد للانعكاس. وتحول دائرة مصعد المضاعف الضوئي RC النبض الناتج عن الومّاض إلى المضخم الأولى Preamplifier PA الذي يقدم، اعتماداً على مقاومة مناسبة، نبضة إلى كبل الاتصال. ويتم تدفق الحوادث كما يلي: يتبادل الجسيم الوارد التأثير مع مادة الومّاض، فينتج من ذلك ضوء مرئي. تُمتص هذه الفوتونات المرئية ضمن المهبط الضوئي Photocathode K ويصدر نتيجة لذلك إلكترونات ضوئية. وتركز هذه الإلكترونات على الدينود Dynode الأول الذي يضاعفها بإصداره إلكترونات ثانوية، وهكذا من أجل كل دينود من بنية المضاعف.

لقد استخدم رذرفورد كبريت التوتياء (ZnS) كومّاض من أجل دراسة تبعثر جسيمات ألفا حيث كان يعد الحوادث الضوئية بالعين المجردة. ويصنع الومّاض حالياً باستخدام بلورات يود الصوديوم NaI بعد إشتابها بمادة منشطة مثل التاليوم (Tl) لزيادة فعالية تحويلها. ويوضع عادة رمز المادة المنشطة بين قوسين بعد رمز الومّاض. فمثلاً معنى (Tl) NaI أنه لدينا ومّاضاً من يود الصوديوم المشاب بالتاليوم. ويستخدم الومّاض السابق خصوصاً من أجل أشعة جاما. أما الومّاض (ZnS) فيستخدم من أجل الجسيمات الثقيلة (مثل جسيمات ألفا) والبروتونات.

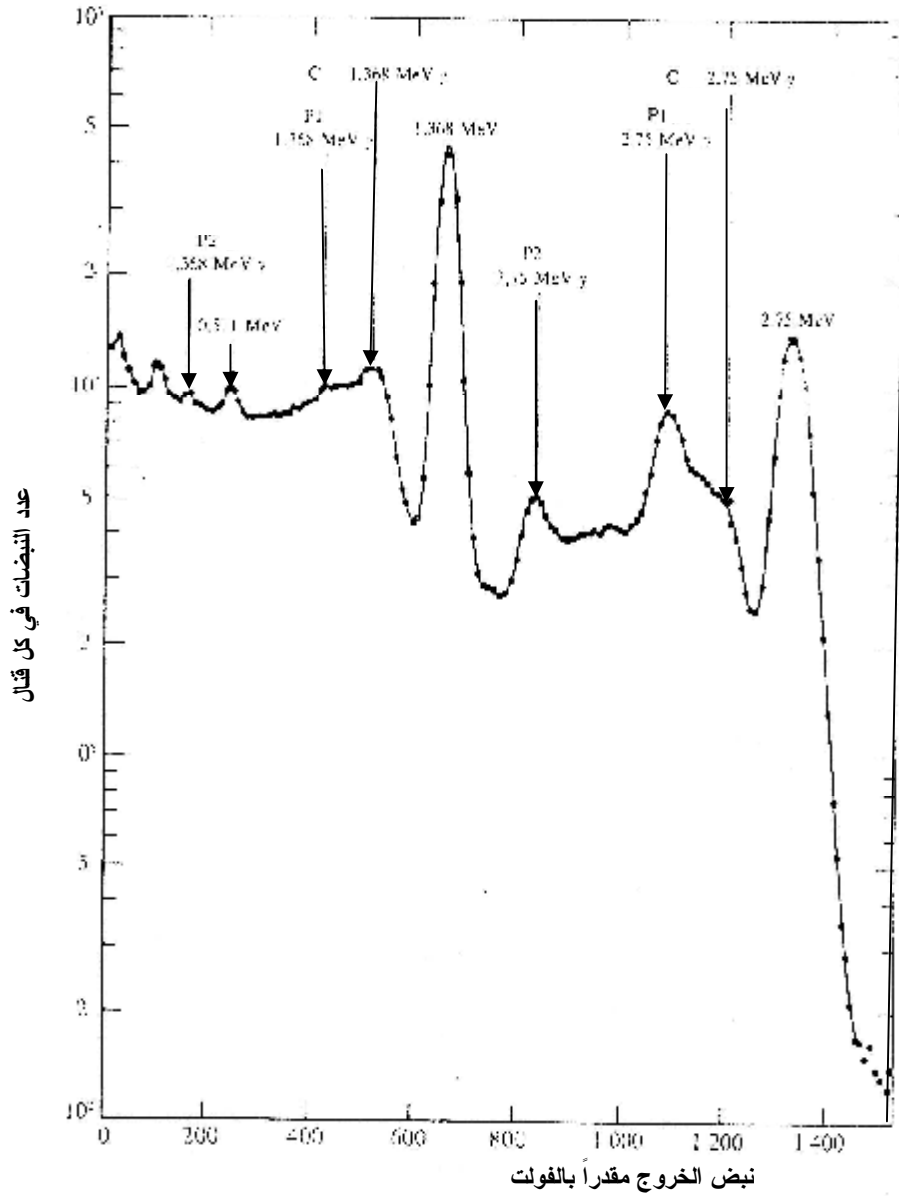
ويصنع الومّاض من مواد عضوية، مثل النفثالين Naphthalene، على شكل بلورات أحادية. وتصنع الومّاضات البلاستيكية من مواد مثل البوليستايرين Polystyrene وهو مادة متعددة الهيدروكربونات. والومّاضات المصنوعة من المادة السابقة (أو من مثيلاتها) قليلة الكلفة وتستخدم بحجوم كبيرة (مكعب طول ضلعه 50 سنتمترًا). وتتميز الومّاضات العضوية والبلاستيكية بأن زمن وميضها قصير جداً.



الشكل (9): مبدأ مطياف الوميض. A — مصعد، B — حافظة عازلة للضوء، C — الوماض، D — الجسم الوارد، E — آلية توجيه الإلكترونات الضوئية، F — أنبوب المضاعف الضوئي، G — دينودات، H — الدينود الأخير، K — المهبط الضوئي، PA — المضخم الأولي، RC — مقاومة مع مكثف.

يمكن للوماض السائل أن يحفظ في كبسولة ويستخدم بنفس الطريقة التي تستخدم فيها الوماضات الصلبة، إنما استخدامها الأساسي من أجل الإشعاعات ذات الطاقات المنخفضة والتي لا يمكن أن تدخل بقية الكواشف الأخرى. فتمزج المواد المولدة للإشعاع ضمن الوماض السائل مباشرة، وبهذه الطريقة لا يكون هناك حاجز أمام الإشعاع قبل وصوله إلى مادة الوماض.

إن عداد الوميض NaI(Tl) يمثل، وكما أشرنا، الكاشف الأساسي لإشعاعات جاما. إن الأشكال الثلاثة للتأثير المتبادل بين أشعة جاما ومادة الوماض تساهم بتوليد الإلكترونات ضمن بلورة الكاشف: المفعول الكهروضوئي ومفعول كمبتون وتوليد الأزواج. وهكذا تثار ذرات مادة الوماض وعندما تعود هذه إلى وضع الاستقرار تصدر الضوء المرئي. ولا يكون خرج البلورة متناسباً مع طاقة أشعة جاما الداخلة إلا إذا امتصت البلورة كامل الطاقة لهذه الأشعة. فعند الامتصاص الكامل نحصل في الطيف الناتج على ما يسمى بالذروة الضوئية Photopeak.



الشكل (9): طيف أشعة جاما الصادرة عن العنصر المشع $^{24}_{11}\text{Na}$. فقد أشرنا للذرى الضوئية بطاقتها فقط، بينما استعملنا الرموز التالية بالنسبة للذرى الأخرى: P2 للهروب المضاعف، P1 للهروب البسيط، C لجبهة كمبتون، فمثلاً 2.75 MeV يعني جبهة كمبتون الناجمة عن الذروة التي طاقتها 2.75 MeV، وهكذا بالنسبة لبقية الذرى.

وإذا لم يتم الامتصاص الكامل فيعزى ذلك إلى مفعول كمبتون أو توليد الأزواج. فعند عدم إعادة امتصاص الفوتون المتبعثر، في مفعول كمبتون، فإن الطاقة E الممتصة بواسطة الكاشف (انظر المثال 1 من هذا الفصل) تأخذ قيمة ممتدة بين الصفر وقيمة عظمى E_{\max} تظهر في الطيف كضجيج خلفية كما في الشكل (10).

وعند توليد الزوجين فإن حادثة إفناء البوزيترون تولد زوجاً من أشعة جاما طاقة كل منها 511keV (انظر المثال «2» من هذا الفصل). ويمكن للكاشف أن يعيد امتصاص هذين الفوتونين، ولكن احتمال هروب أحدهما أو كلاهما من الكاشف غير مهمل وهذا يعني أن الطاقة الممتصة في الكاشف تساوي $E = 511 \text{ keV}$ أو $E = 1022 \text{ keV}$. وهكذا فإننا نحصل على الذرى التالية: الذروة الضوئية (حالة إعادة امتصاص فوتوني الأفناء) وذروة الهروب البسيط (حالة إعادة امتصاص فوتون إفناء واحد) وذروة الهروب المضاعف. ونبين في الشكل (10) الطيف الصادر عن المنبع المشع $^{24}_{11}\text{Na}$ حيث نرى في هذا الطيف الذرى الضوئية والذرى الأخرى التي تزيد من تعقيده.

إن حساسية بلورة يود الصوديوم المشابة بالتاليوم NaI(Tl) ، أي الطاقة الدنيا اللازمة لتوليد زوج الكترون-أيون، تساوي :

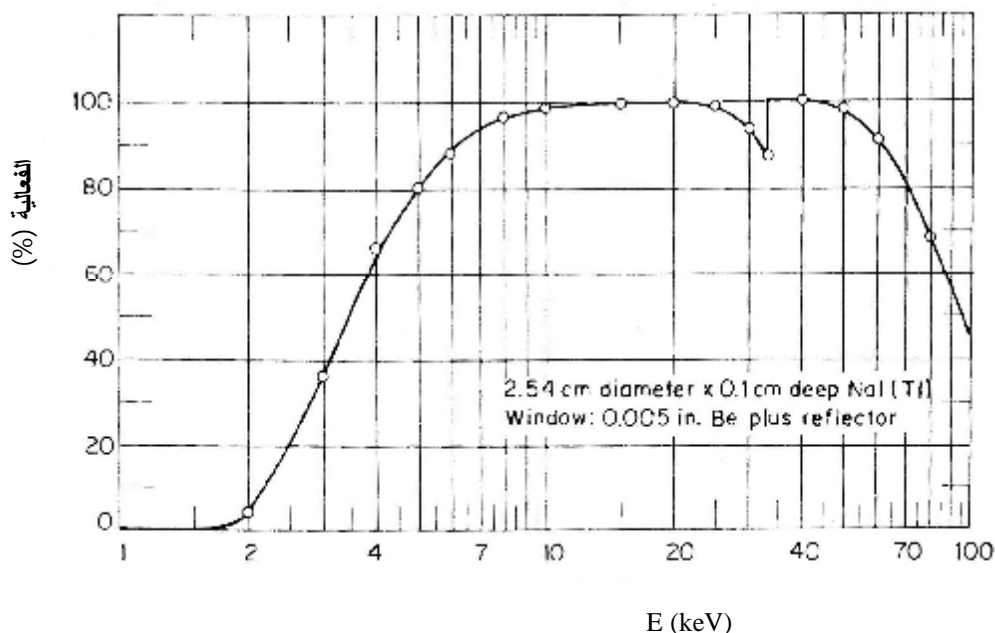
$$\varepsilon \approx 20 \text{ eV}$$

أما بالنسبة لقوة فصل هذا الكاشف ، فتساوي :

$$\Gamma = k\sqrt{E} = 2.46\sqrt{E} \quad : k = 2.46(\text{keV})^{\frac{1}{2}} \quad (12)$$

ويبين الشكل (11) فعالية عداد الوميض NaI(Tl) . تُمتص أشعة جاما، ذات الطاقات الضعيفة، بواسطة نافذة الدخول (0.127 ملم من البيريليوم بالإضافة إلى $1\mu\text{m}$ ألومنيوم) وهكذا فإن الفعالية، عند هذه الطاقة ضعيفة.

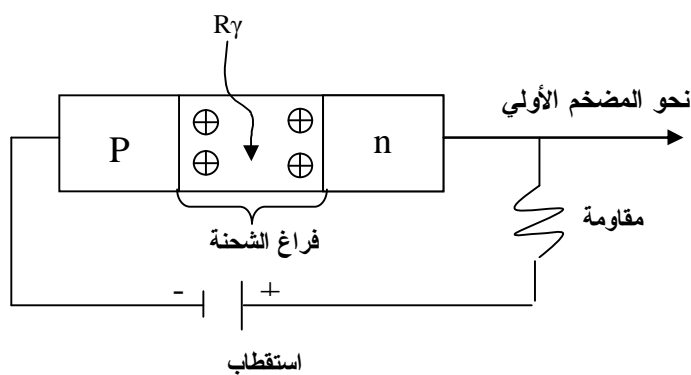
ويصبح الكاشف شفافاً من أجل الطاقات العليا (أكبر من 10^2 keV)، ولذا فإن الفعالية تنخفض من أجل هذه الطاقات. ويوضح الشكل السابق بأن أفضل فعالية لكاشف الوميض هي من أجل الأشعة التي طاقاتها بين 6 keV و 100 keV .



الشكل (11): فعالية كاشف نموذجي من يود الصوديوم. يعزى الانقطاع في الفعالية عند الطاقة 33.2 keV إلى طاقة حد الانقطاع K لعنصر اليود.

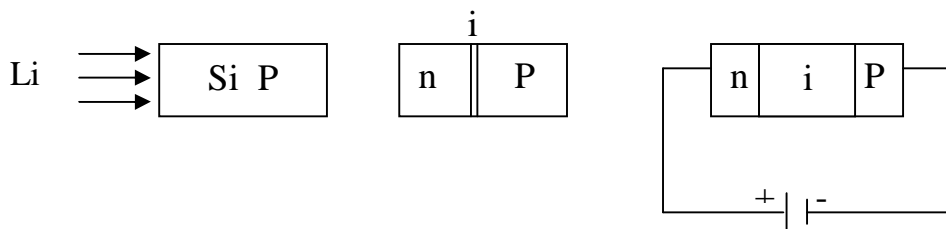
3.5.5 — كواشف أنصاف النواقل Semiconductors Detectors

إن الكاشف نصف الناقل عبارة عن ثنائي (P - n أو n - P) مستقطباً استقطاباً عكسياً، كما في الشكل (12).



الشكل (12)

فعندما يُمتص شعاع جاما، مثلاً في المنطقة الحساسة (فراغ الشحنة) من الكاشف، فيترك فيها طاقته مولداً أزواج (الكترن - أيون) حرة الحركة تحت تأثير الحقل الكهربائي المطبق. ويُصنع الكاشف عادة بإشابة بلورة من السيلسيوم أو الجرمانيوم بالليثيوم. فمثلاً نشكل على بلورة من السيلسيوم من النوع P طبقة رقيقة من النوع n بوساطة تبعر قوي لعنصر الليثيوم (Li) خلال دقائق عند درجة قريبة من 500°C فنحصل على ثلاث مناطق كما في الشكل (13):



الشكل (13)

منطقة غنية بالليثيوم من النوع n ومنطقة سماكتها ضعيفة من النوع I حيث السويات المستقبلية والتي تعزى للبورون قد عُوْضَتْ عن طريق السويات المعطية والتي تعزى لعنصر الليثيوم، والمنطقة الثالثة السيطرة فيها لذرات البورون فهي من النوع P. وبإجراء الاستقطاب العكسي، في درجة حرارة قريبة من 150°C ، نزيد من عرض المنطقة i كما في الشكل (13). ويُبقي على الاستقطاب العكسي عدة ساعات حتى نحصل على العرض المطلوب للمنطقة i. وهكذا نحصل على الكاشف Si (Li) أو الكاشف Ge (Li).

إن الطاقة الدنيا اللازمة لتوليد زوج الكترن - أيون، أي حساسية الكاشف من النوع Si (Li)، تساوي:

$$\varepsilon = 3.8 \text{ eV}$$

في الدرجة 77K، وهي تساوي من أجل النوع Ge (Li):

$$\varepsilon = 2.98 \text{ eV}$$

في الدرجة 77 K.

إن قيمة قوة الفصل الطاقية Energy Resolution للعداد نصف الناقل، وبإهمال مساهمة الضجيج الالكتروني، تساوي:

$$\Gamma = 2.35 \sqrt{e F E}$$

حيث F عامل يدعى بعامل فانو Fano Factor. إن قيمة عامل فانو من أجل السيليسيوم والجرمانيوم:

$$F \leq 0.1$$

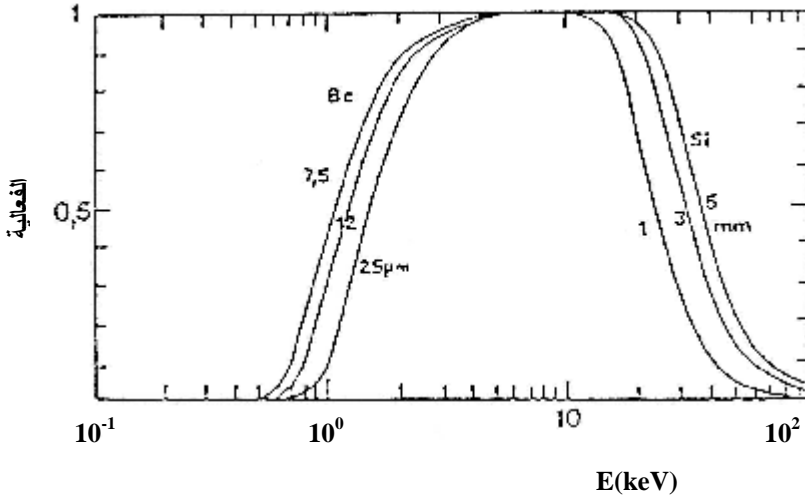
وباعتبار أن $F = 0.1$ نجد أن قيمة قوة الفصل للسيليسيوم والجرمانيوم، في الدرجة 77K، تساوي على الترتيب:

$$\Gamma = 0.05 \sqrt{E}$$

(13)

$$\Gamma = 0.04 \sqrt{E}$$

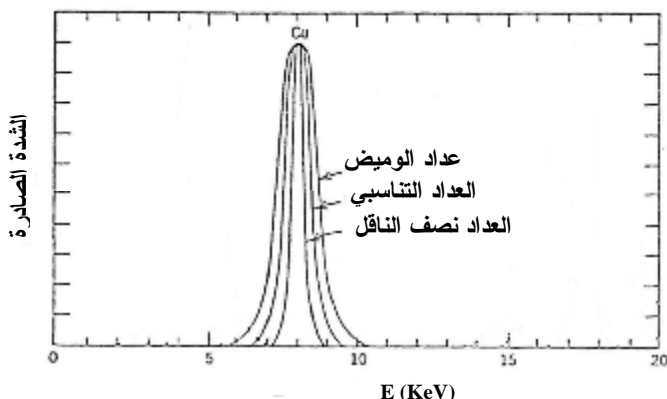
يبين الشكل (14) أن فعالية الكاشف نصف الناقل تزداد مع سماكة المنطقة الذاتية i التي يجب أن تكون أعلى كلما زادت طاقة الفوتونات التي نريد تسجيلها.



الشكل (14): فعالية الكاشف Si (Li) بتابعية سماكة i وتابعية سماكة نافذة الدخول المصنوعة من معدن البيريليوم (Be).

وهذه السماكة هي التي تمثل حد الكشف من أجل الطاقات العالية. بينما تمثل سماكة نافذة الدخول حداً من أجل الطاقات الضعيفة، فكلما زادت هذه السماكة كلما تضاعلت فعالية الكاشف.

توضح العلاقات (11)، (12)، (13) أن أفضل قيمة لقوة الفصل هي من أجل الكاشف نصف الناقل وتأتي بعدها قيمة قوة الفصل للعداد التناسبي، وتؤيد التجربة ما توقعته المعادلات السابقة حيث نبين في الشكل (15) ذلك.



الشكل (15): مقارنة لقوة الفصل من أجل الكواشف الثلاثة:

الوميضي والتناسبي ونصف الناقل

4.5.5 — كواشف النيوترونات Neutron Detectors

يمكن تقسيم كواشف النيوترونات تبعاً لنوع التأثير المتبادل بين النيوترونات ومادة الكاشف، والتأثيران الأساسيان هما:

— التبعثر المرن مع النوى، خصوصاً التبعثر مع نوى الهيدروجين الذي يعطي بروتونات مرتدة Recoil Protons.

— تفاعلات النيوترونات مع النوى والتي تولد نواتج (تدعى بنواتج التفاعل) تتبادل التأثير بدورها مع مادة الكاشف. وتكون نواتج التفاعل جسيمات مشحونة مثل البروتونات أو جسيمات ألفا أو حتى نواتج الانشطار والتي تستخدم عموماً في الكشف بسبب التشريد العالي للجسيمات المشحونة في أثناء عملية التسجيل.

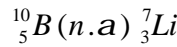
يستخدم النوع الأول من الكواشف (أي كواشف التبعثر المرن للنيوترونات مع النوى) غاز الهيدروجين حيث ينتشر النيوترون مع بروتون ذرة الهيدروجين. وبما أن كتلة نواة ذرة الهيدروجين من مرتبة كتلة النيوترون، فيمكن للنيوترون أن يخسر كامل طاقته ويعطيها

للبروتون (نواة ذرة الهيدروجين، انظر الفقرة 7 من الفصل الثالث). يمكن لغاز الهيدروجين أن يشكل جزءاً من غاز العداد التناسبي، وهكذا فالبروتون المرتد يسبب تأيّن غاز الكاشف مولداً بذلك نبضة خرج. إن البروتونات بطاقة أكبر من بعض مئات كيلو الكترون فولت هي فقط القادرة على توليد نبضات أعلى من الضجيج الالكتروني ولذا تستخدم كواشف البروتونات المرتدة من أجل النيوترونات السريعة فقط.

إن طاقة البروتون المرتد تتحول من الصفر حتى الطاقة الكلية للنيوترون الوارد وذلك تبعاً للزاوية التي ينتثر بها النيوترون عن البروتون. وبالتالي فإن النبض الناتج يمتد على مجال من الطاقة وليس وفق خط طيفي كذاك المتولد عن نبض ناتج عن أشعة جاما مثلاً. لكن باستخدام نظام تجميع مناسب، يمكن للنيوترونات المرتدة وفق زاوية محددة فقط أن تتبادل التأثير مع غاز العداد التناسبي. ويكون في هذه الحالة مطال نبض الخرج متناسباً مع طاقة النيوترون الوارد. إن عدادات التناسب للبروتونات المرتدة من هذا النوع تستخدم كثيراً لتحديد طاقة النيوترونات.

إن الوماضات البلاستيكية أو العضوية تحتوي على كمية كبيرة من الهيدروجين. يتبادل البروتون المرتد، المولد بوساطة نيوترون متبعثر، التأثير مع مادة عداد الوميض البلاستيكي منتجاً بذلك ضوء خرج حيث يسجل هذا الأخير بوساطة أنبوب المضاعف الضوئي. ويتبع ضوء الخرج لطاقة البروتون والتي تتغير من الصفر وحتى طاقة النيوترون الوارد. ولذا فإن عداد الوميض البلاستيكي لا يعطي نبضات بحجم موحد للنيوترونات وحيدة الطاقة. ويظهر سريعاً نبض الخرج بعد التأثير المتبادل للنيوترون مع مادة الوماض، فزمن صعود النبض Pulse rise time من مرتبة 10^{-9} ثانية، ولذا فإن هذا النوع من العدادات تستخدم لمعرفة زمن وصول النيوترونات بدقة.

ويستخدم النوع الثاني من كواشف النيوترونات تفاعلات نووية متعددة. وسنشير فقط إلى بعض الأمثلة المستخدمة كثيراً. والنموذج الكلاسيكي الأكثر شيوعاً هو التفاعل التالي:



إن طاقة التفاعل (انظر الفقرة 5 من الفصل الأول)، من أجل العملية السابقة تساوي:

$$Q = 2.79 \text{ MeV}$$

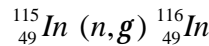
وكذلك فإن قيمة المقطع العرضي للتفاعل السابق كبيرة جداً من أجل النيوترونات الحرارية. إن الاستخدام الشائع لهذا التفاعل يتم بملء اسطوانة عداد غازي بالغاز BF_3 ومن ثم يُغنى

الغاز السابق بالنظير $^{10}_5B$. فيتفاعل النيوترون مع النظير السابق معطياً جسيمات ألفا التي تسجل بوساطة العداد عن طريق التأين الذي تحدثه في غاز العداد. ويستخدم العداد السابق من أجل النيوترونات الحرارية فقط لأن المقطع العرضي للتفاعل النووي السابق صغير جداً من أجل نيوترونات عالية الطاقة. ويمكن أن يستخدم العداد BF_3 من أجل النيوترونات السريعة بإحاطة اسطوانة العداد بمواد غنية بالهيدروجين الذي يسبب إبطاء النيوترونات إلى درجة النيوترونات الحرارية وهكذا يمكن لهذه النيوترونات أن تتفاعل مع النظير $^{10}_5B$.

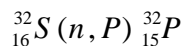
ويستخدم التفاعل $^3_2He(n, p)^3_1H$ كثيراً لتسجيل النيوترونات السريعة حيث يضاف الغاز 3_2He إلى غاز العداد التناسبي.

وتستخدم أيضاً التفاعلات الانشطارية التي تتم بين النيوترونات والنوى الثقيلة. فمثلاً المقطع العرضي الانشطاري للعنصر $^{235}_{92}U$ من أجل النيوترونات الحرارية كبير جداً، بينما يملك العنصر $^{238}_{92}U$ مقطعاً عرضياً كبيراً فقط من أجل النيوترونات التي طاقتها حول 1MeV. تتحرر في حادثة انشطار نموذجي طاقة قيمتها حوالي 200MeV. وتشكل هذه الطاقة أساساً الطاقة الحركية لأجزاء الانشطار، حيث يكون لدينا نموذجياً نواتان عدد الكتلة لكل منهما أكبر من 100. وتمثل نواتج الانشطار السابقة جسيمات مشحونة قدرتها على التأين عالية. فتوضع، عملياً، طبقة رقيقة من مادة انشطارية مثل اليورانيوم المذكور أعلاه ضمن غاز لعداد تناسبي أو ضمن عداد نصف ناقل. وتولد أجزاء الانشطار المرتدة، بعد التفاعل بين النيوترونات والطبقة الانشطارية، أيونات في غاز الكاشف. ثم تحول هذه الأخيرة إلى نبضات خرج على مخرج العداد.

وهناك طريقة لقياس التدفق النيوتروني وهي طريقة التنشيط Activation Method، حيث تولد العديد من تفاعلات النيوترونات مع المادة نوى متبقية نشيطة. وتسجل هذه النوى النشيطة بملاحظة الإشعاع الصادر عند تفككها. ويتناسب عدد نواتج الإشعاع المولدة مباشرة مع عدد النيوترونات الواردة على الهدف. ويتعلق المقطع العرضي لتوليد النوى المشعة بطاقة النيوترونات الواردة. فمثلاً يملك التفاعل:



مقطعاً عرضياً عالياً وبشكل خاص من أجل النيوترونات التي طاقتها بين 1 و 2eV، بينما يملك التفاعل:



مقطعاً عرضياً مفيداً من أجل النيوترونات التي طاقتها حول 1MeV. ونشير هنا إلى أن طريقة التنشيط بالنيوترونات تستخدم لتقفي آثار العناصر في عينة بملاحظة النشاط الإشعاعي (قياس الشدة الإشعاعية بواسطة كاشف) الناجم عن تشعيع هذه العينة بالنيوترونات. وتسمى هذه التقنية بالتحليل العنصري المشع بواسطة النيوترونات. وهناك فرق أساسي بين طريقة التنشيط، ونماذج كواشف النيوترونات التي أشرنا إليها سابقاً. فبينما تعطي كواشف النيوترونات معدل وصول النيوترونات إلى الكاشف فإن طريقة التنشيط تعطي فقط العدد الكلي لهذه النيوترونات.

5.6- بعض أنواع الكواشف الأخرى Some Other types of detectors

سنستعرض في هذه الفقرة بعض أنواع الكواشف التي تستخدم في حالات خاصة وفي تطبيقات خاصة. نذكر منها:

5.6.1- الألواح التصويرية The Photographic Plate

إن أول من استخدم الألواح (أو الأفلام) التصويرية لتسجيل الإشعاع النووي هو العالم بيكرل، لا بل يمكن القول إن هذه الألواح شكلت السبب الأساسي في كشف النشاط الإشعاعي. ومن ثم تطورت هذه الطريقة في تسجيل الإشعاع إلى صناعة أفلام ذات طبقة سميكة من مستحلب ذي حبيبات ناعمة. وتتأثر هذه الأفلام لدى تعرضها للإشعاع النووي، وبمعالجة هذه الأفلام (عن طريق التحميض)، فإنه يمكن إظهار الأثر الذي تتركه الجسيمات عليها. وتستخدم هذه التقنية لتحقيق أحد الهدفين:

— لدراسة مسارات الجسيمات حيث يمكننا أن نستخلص منها طاقاتها أو يمكننا تمييز هذه الجسيمات؛

— أو لصنع مقاييس الجرعة يحملها الأشخاص المعرضون للإشعاعات النووية حيث تستخدم هذه المقاييس خصوصاً في المنشآت النووية ومنها منشآت الطب النووي. ونشير إلى أنه إذا أردنا استخدام الأفلام السابقة لكشف النيوترونات يجب إغناء المستحلب المستخدم لصنعها بعنصر البورن $^{10}_5B$.

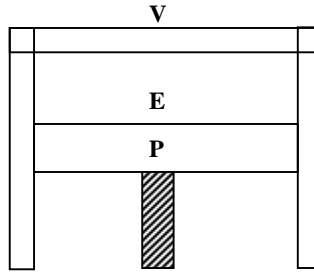
5.6.2- عداد تشيرنكوف Cherenkov Counter

يستخدم مفعول تشيرنكوف (انظر المثال 3 من هذا الفصل) لتسجيل الجسيمات النسبية: الأشعة الكونية، الجسيمات المشحونة الخارجة من المسرعات. فعند ما تعبر هذه الجسيمات

وسطاً شفافاً (مثل الزجاج) فإنه يصدر عن مرورها ضوء مرئي. وتضاعف الالكترونات الثانوية الناتجة عن نقل هذه الفوتونات إلى أنبوب المضاعف الضوئي فنحصل بذلك على نبضة كهربائية كما هو الحال في عداد الوميض. وهكذا نلاحظ أن عداد تشيرنكوف هو عداد ووميض ذو بلورة قرينة انكسارها أكبر من الواحد.

3.6.5 — حجيرة ويلسون الضبابية Wilson Cloud chamber

إذا كان لدينا وعاء يحوي بخاراً غازياً مشبعاً، وأُخضع إلى عملية تمدد كظوم Adiabatic expansion من الحجم V_1 إلى الحجم V_2 ، بوساطة مكبس كما في الشكل (16)، فإن درجة الحرارة تنخفض من T_1 إلى T_2 . يوضع البخار في الحجيرة (E) في حالة فوق الإشباع. وبتمديد سريع بوساطة تحريك المكبس (P) نحو الأسفل نستدل على حركة الجسيمات الداخلة إلى الحجيرة بتكاثف البخار على طول المسار الذي يسلكه الجسيم بسبب الشوارد التي ولدها في أثناء مروره.



الشكل (16)

ويبدو مسار الجسيم مثل الخط الأبيض الذي تتركه الطائرات النفاثة في الجو الرطب، ومن الممكن مشاهدة المسارات وتصويرها من خلال اللوح الزجاجي العلوي (V). فإذا كانت الحجيرة موضوعة ضمن حقل مغناطيسي فإن المسارات ستتحنى مما يسمح بمعرفة شحنة وكتلة وسرعة الجسيم وذلك من جراء دراسة نصف قطر الانحناء.

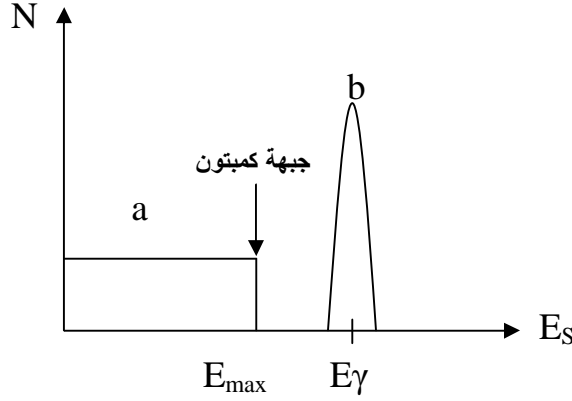
مثال (1):

لتكن E_γ طاقة فوتونات جاما الصادرة عن مصدر مشع وبفرض أن الطاقة السابقة تقع ضمن المجال [50, 1000 keV] وأننا نسجل الطيف الصادر عن المصدر السابق بوساطة عداد الوميض، والمطلوب: ارسم مخطط الطيف الناتج.

الحل:

من أجل مجال الطاقة [50, 1000 keV] يوجد نوعان مسيطران من التأثير المتبادل بين أشعة جاما ومادة الوماض، هما:

1- المفعول الكهروضوئي والذي بواسطته يتم نقل كامل الطاقة E_γ لالكترون من إحدى ذرات بلورة الوماض، أي أن الطاقة الممتصة E_s تساوي طاقة فوتونات جاما. وبالتالي فإن فوتونات جاما يتم تسجيلها في الذروة الضوئية b كما هو مبين في الشكل (17).



الشكل (17)

2- مفعول كمبتون الذي يحدث بين فوتون جاما والكترون من إحدى ذرات بلورة الوماض. وكما رأينا في الفصل الثالث فإن جزءاً من طاقة الفوتون يتحول لطاقة حركة يحملها الالكترون. أما الفوتون المتبعثر فإن احتمال هروبه من بلورة الوماض غير مهمل ويمكن أن ينفذ منها.

وفي هذه الحالة فإن الطاقة الممتصة من قبل بلورة الوماض تتراوح قيمتها بين 0keV وقيمة عظمى $E_{max} = 2\alpha E_\gamma / (1 + 2\alpha)$. أي أن الطيف الناتج a عن الطاقة الممتصة السابقة تمثل توزيع كمبتون، كما هو مبين في الشكل (17).

مثال (2):

بفرض أن لدينا مصدراً مشعاً يعطي فوتونات جاما بطاقة E_γ أكبر من 1.02 MeV وأردنا أن نسجل طيف هذه الفوتونات بواسطة عداد الوميض، اشرح ما الذي يحدث لهذه الفوتونات ضمن بلورة الوماض.

الحل:

1— يمكن أن تمتص هذه الفوتونات امتصاصاً كاملاً بواسطة المفعول الكهروضوئي وينتج عنها بالتالي في الطيف ما يسمى بالذروة الضوئية.

2— يمكن للفوتونات أعلاه أن تمر في مجال نوى إحدى ذرات الوماض ويتولد عنها زوج: الكترون — بوزيترون.

إن البوزيترون من مضادات المادة فهو ينفني بالتأثير المتبادل بينه وبين أحد الكترونات بلورة الوماض وينتج عن ذلك فوتونان جاماويان طاقة كلٍّ منها:

$$h\nu = m_0 c^2 = 0.511 \text{ MeV}$$

وتسمى الفوتونات السابقة بفوتونات الإفناء.

إن إصدار فوتون واحد عن عملية الإفناء يسبب عدم انخفاض كمية الحركة إلا إذا كان الالكترون مرتبطاً بالذرة حيث يتم إصدار فوتون واحد وتتلقى الذرة كمية الحركة الضرورية للحفاظ على كمية الحركة.

يمكن للكاشف أن يعيد امتصاص فوتوني الإفناء، ولكن احتمال هروب أحدهما أو كلاهما من الكاشف غير مهمل ويعني هذا أن الطاقة الممتصة في الكاشف تساوي $E_\gamma - 511 \text{ keV}$ أو $E_\gamma - 1022 \text{ keV}$.

مثال (3):

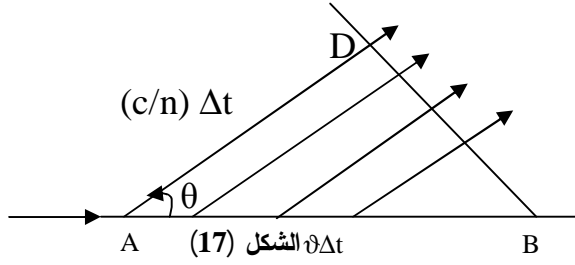
بفرض أن لدينا وسطاً مادياً عازلاً سرعة الضوء فيه J_1 وأن جسيماً مشحوناً يعبر الوسط السابق بسرعة J أكبر من J_1 ، والمطلوب:

1— ما الإشعاع الذي ينطلق في الوسط نتيجة مرور الجسيم المشحون؟

2— أوجد العلاقة التي تحدد الحد الأدنى لقيمة β والتي يصدر عندها الإشعاع أعلاه من الوسط حيث $b = J/c$.

الحل: 1— إن الجسيم المشحون يُحدث استقطاباً للوسط على طول مساره ويقدم طاقة محددة لكل ذرة تحررها عندما تعود إلى حالتها الطبيعية على شكل أشعة ضوئية ترددها في حدود تردد الضوء المرئي تسمى إشعاع تشيرنكوف Cerenkove Rays

2— من الفرض فإن: $J > J_1$ وبالتالي ينبعث الإشعاع وتتشكل جبهة أمواج متحدة كما في الشكل (17).



فخلال فترة زمنية Δt ينتقل الجسم مسافة مقدارها:

$$AB = J \Delta t = \frac{J}{c} c \Delta t = b c \Delta t$$

وخلال هذه الفترة ينتقل الشعاع الصادر عن المادة مسافة قدرها:

$$AD = J_1 \Delta t$$

لكن سرعة الضوء في وسط ما تساوي $J_1 = c/n$ حيث n قرينة انكسار الضوء في هذا الوسط. وبالتالي فإن:

$$AD = \frac{c}{n} \Delta t$$

أي أن إشعاع تشيرنكوف ينطلق ضمن مخروط نصف زاويته الرأسية تعطى بالعلاقة:

$$\cos q = \frac{AD}{AB} = \frac{1}{b n}$$

وتحدد هذه العلاقة الحد الأدنى لقيمة β التي يصدر عندها إشعاع تشيرنكوف، حيث نجد أنه بالنسبة لمادة ما قرينة انكسارها n يجب ألا تقل قيمة β عن:

$$\beta_{\min} = 1/n$$

لأنه إذا كان $\beta < 1/n$ فإن $\frac{J}{c} < 1/n$ ومنها $J < J_1$ وهذا مخالف لنص المثال.

مسائل الفصل الخامس

1— تولد أشعة جاما طاقتها 2MeV ، عند مرورها في حقل نواة، زوجاً من الكترون — بوزيترون حيث يسير كل فرد من الزوج السابق باتجاه معاكس للآخر وبسرعتين متساويتين. فإذا دخل الالكترون إلى كاشف مملوء بغاز الهيليوم وفقد كل طاقته الحركية في تأيين الغاز، فاحسب عدد أزواج الأيونات الناتجة علماً بأن متوسط طاقة التأين لكل زوج من غاز الهيليوم هو 42.6eV وإذا كانت سعة الكاشف $C = 10\text{PF}$ فاحسب ارتفاع نبضة الخرج الناتجة من الكاشف.

توجيه للحل: بعد حساب n عدد الأزواج احسب الشحنة $Q = ne$ ثم بعد ذلك احسب ارتفاع نبضة الجهد من العلاقة $V = Q/C$.

2— احسب عدد أزواج الأيونات الناتجة عن مرور بروتون طاقته 10MeV في عداد تناسبي وذلك إذا كان كل من حجم العداد وضغطه كبيران لدرجة تكفي لامتصاص كامل طاقة البروتون. واحسب الشحنة المتدفقة في حجرة العداد إذا كان عامل التضخيم للغاز المستخدم يساوي 10^3 ، ثم احسب ارتفاع نبضة الجهد إذا كانت مدة مرور التيار تساوي 10^{-3}s وكانت مقاومة العداد تساوي $10^4\Omega$ والطاقة اللازمة لتوليد زوج من الأيونات 35eV .

الفصل السادس

دراسة بعض تطبيقات الفيزياء النووية

1.6- مقدمة:

تمتد تطبيقات الفيزياء النووية إلى مجالات واسعة. فمثلاً تستخدم المواد المشعة في التشخيص والعلاج الطبي. ولا تزال التجارب العلمية والطبية تجرى تبعاً لاستخدام آلات تصوير وتشخيص طبية باستخدام النيوترونات والبوزيترونات إضافة إلى آلات التشخيص باستخدام الرنين المغناطيسي النووي Nuclear Magnetic Resonance. كما يستخدم النشاط الطبيعي للتأريخ وقياس الأعمار وذلك عن طريق استخدام تقنية قياس أعمار النصف إضافة إلى كل ذلك فإن النظائر المشعة تستخدم في المجالات الصناعية المختلفة.

استطاع العلماء، في العقود القليلة الأخيرة، إنتاج عدة مئات من النيوكليدات المشعة صناعياً. كما وظفوا الطاقة النووية لأغراض متنوعة ابتداء من الطب حتى الأسلحة النووية ومن إنتاج الطاقة حتى كشف الحرائق، ومن إنارة الساعات حتى التنقيب عن المعادن.

إن الراديوم يستخدم لإضاءة الساعات، وتستخدم كذلك النيوكليدات المشعة في إضاءة إشارات منافذ الخروج (في الشوارع والمشافي والمباني) والبوصلات ومواقع الأسلحة وأقراص الهاتف. وتستخدم جسيمات ألفا الصادرة عن الأمريسيوم 241 للكشف عن الدخان. ويستخدم الثوريوم في بعض العدسات الضوئية الرقيقة اللاصقة للعين. أما اليورانيوم فقد شاع استعماله في الأسنان الاصطناعية لجعلها لامعة.

2.6- قياس أعمار النصف:

هناك عدة طرق لتعيين عمر النصف لمادة مشعة، حيث تتراوح أعمار النصف للمواد المشعة بين أجزاء من الثانية و 10^{10} سنة أو أكثر. ويتضح من هذا المدى الشاسع أنه يجب أن تكون هناك طرق عدة لقياس الفترات الزمنية لأعمار النصف.

1.2.6- عمر النصف الطويل جداً:

يمكن حساب النشاط الإشعاعي A إذا عرفنا كتلة المادة المشعة m. فقد بينا سابقاً أن الكتلة m من المادة المشعة والتي يتفكك منها N ذرة تعطى بالعلاقة:

$$m = N \frac{M}{N_a}$$

حيث M كتلة الذرة و N_a عدد أفوجادور. ومن العلاقة السابقة نكتب:

$$m = I N \frac{M}{N_a I} = \frac{AM}{N_a I}$$

ومنه:

$$\frac{1}{I} = \frac{m N_a}{AM}$$

وحيث إن λ ثابت التفكك يُعطى بدلالة عمر النصف T بالعلاقة:

$$\lambda T = 0.693$$

$$T = \frac{0.693 m N_a}{AM} \quad \text{فإن:}$$

فإذا توفر لدينا كاشف عن الإشعاع (انظر الفصل الخامس) مناسب يقيس لنا النشاط

$$A = \left| \frac{dN}{dt} \right| \quad \text{فإنه يمكننا حساب عمر النصف الطويل والذي يصل إلى } 10^{10} \text{ سنة أو أكثر.}$$

2.2.6 – عمر النصف القصير:

عندما يتراوح عمر النصف للمادة المشعة بين دقائق وساعات أو أيام أو شهور فإنه من المناسب هنا اتباع طريقة بسيطة تتلخص في وضع المادة المشعة أمام كاشف إشعاع مناسب يقيس النشاط A للمادة. وحيث بينا، في الفصل الثاني، أن A تعطى بالعلاقة التالية:

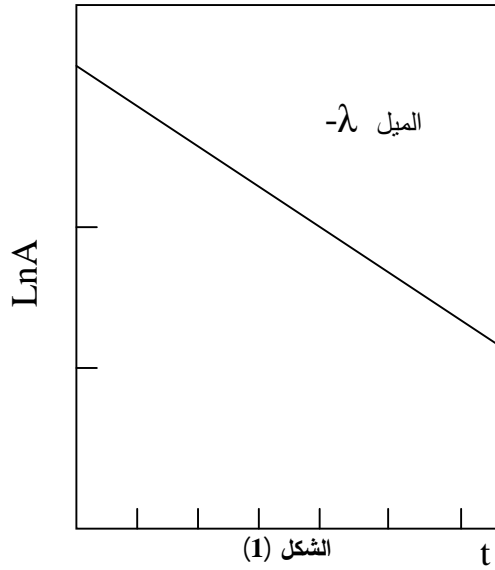
$$A = A_0 e^{-\lambda t}$$

فإننا إذا رسمنا A بدلالة الزمن t سوف نحصل على منحنى أسى متناقص يمكن أن نحدد منه عمر نصف المادة المشعة والذي يمثل الفترة الزمنية المساوية للفرق بين الزمنين t_1 و t_2 ، الموافق للنشاطين A_1 و $A_2 = A_1/2$ على الترتيب:

وبأخذ اللغاريتم الطبيعي لطرفي العلاقة السابقة نجد:

$$\ln A = -\lambda t + \ln A_0$$

فإذا رسمنا $\ln A$ بدلالة t نحصل على خط مستقيم، كما في الشكل (1)، ميله سالب ويساوي $-\lambda$ حيث منه نحصل على عمر النصف.



3.2.6- عمر النصف القصير جداً:

عندما تتفكك النوى فإنها غالباً تصدر جسيمات α , β , γ . وغالباً ما تكون النواة الوليدة في حالة إثارة أو في مستويات إثارة. وتظل النواة السابقة في مستويات الإثارة فترة من الزمن ثم تتفكك إلى مستويات أدنى أو إلى مستوى الاستقرار وذلك بإصدارها فوتونات جاما.

وما يهمنا هنا هو الفترة اللازمة لمستوى إثارة كي ينتقل إلى مستوى آخر حيث عندما يتم ذلك ينطلق إشعاع جاما يمكن تسجيله بواسطة كاشف إشعاع. وبالتالي يمكن أن نلاحظ نشاطاً إشعاعياً للمادة ونتمكن بذلك من قياس عمر النصف للمستوي الإشعاعي المدروس.

وتتراوح أعمار النصف لهذه المستويات بين 10^{-6} إلى 10^{-20} ثانية وهذا هو المدى الذي يمكن أن نتناوله في هذا الكتاب.

وتستخدم لقياس عمر النصف في هذا المدى تقنيتان رئيسيتان هما:

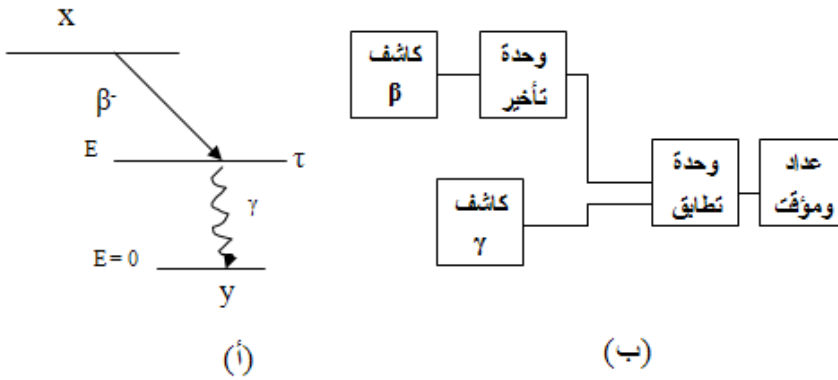
تقنية التطابق الزمني وتقنية مبدأ الأرتياب. فالتقنية الأولى تصلح لقياس أعمار نصف تتراوح بين نانو وبيكو ثانية أما التقنية الأخرى فتستخدم لقياس أعمار تقع في حدود 10^{-20} ثانية.

4.2.6- التطابق الزمني المتأخر Delayed Coincidence

لنفرض أن العنصر x قد تفكك بإصدار جسيمات β فتحول إلى العنصر y لمستوى إثارة طاقته E أعلى من طاقة مستوى الاستقرار كما في الشكل (2). فبعد إصدار جسيمات β ينتج المستوى E الذي يهبط فجأة، بعد إصدار أشعة γ ، إلى مستوى الاستقرار $E = 0$. ويمثل

إصدار γ نهاية عمر المستوي السابق، حيث الفترة الزمنية τ الفاصلة بين إنتاج المستوي E ونهايته تمثل عمر هذا المستوى.

فإذا كان لدينا كاشف يقيس أشعة β وآخر يقيس أشعة γ فإن كلاهما يولد نبضة عندما يصله هذا الإشعاع وبما أن إشعاع جاما يتولد بعد إشعاع بيتا فإن دارة تأخير (أو وحدة تأخير) توضع كي تتأخر نبضة كاشف β حتى تصل نبضة الكاشف γ (أي لينطلق إشعاع γ). فإذا ما وصلت النبضتان إلى وحدة تطابق زمني فإننا نحصل على نبضة خرج. إن منظومة التطابق الزمني المتأخر لقياس عمر النصف مبينة في الشكل (2، ب).

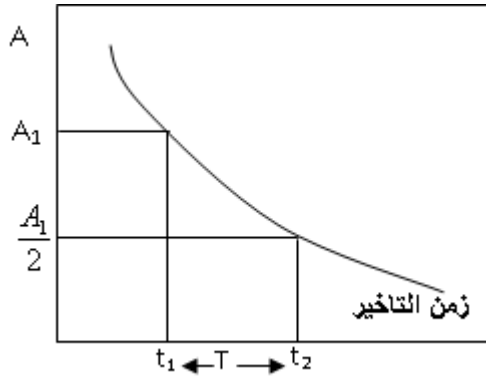


الشكل (2): التطابق الزمني المتأخر.

أ – تفكك العنصر x إلى العنصر y . ب – منظومة التطابق الزمني المتأخر لقياس عمر النصف.

إذا رسمنا معدل العد A بدلالة زمن التأخير كما هو مبين في الشكل (3)، حيث t_1 و t_2 هما الزمانان الموافقان للمعدلين A_1 و $A_1/2$ على الترتيب، فإن عمر النصف للمستوى E المبين في الشكل (2، أ) يساوي $T = t_2 - t_1$.

كما ويمكن لعنصر معين أن يُصدر جسيمات α متحولاً إلى عنصر آخر يصدر أشعة γ بعد ذلك. وبالمثل فإنه يمكن استخدام التطابق الزمني المتأخر بين جسيمات α وأشعة γ لقياس عمر النصف للمستوى المعني.



الشكل (3)

5.2.6 - مبدأ الارتياح:

إذا كان لدينا مستوى إثارة طاقته E ومتوسط عمره τ فإنه وحسب مبدأ الارتياح نكتب:

$$\Delta E \cdot t \approx h$$

حيث ΔE يمثل الارتياح في قياس الطاقة.

تبين المعادلة السابقة أن ΔE تساوي صفرًا عندما تأخذ τ قيمة كبيرة (أي تمتد إلى ما لا نهاية)، أي أن قيمة الطاقة في هذه الحالة تساوي قيمة محددة لا ارتياح فيها. لكن عند قياس الطاقة فإننا نجد أن هناك عرضاً Width معيناً لخط الطاقة كما يسجله كاشف إشعاع معين. فإذا تمَّ انتقال بين مستوى إثارة معين طاقته E ومستوى الاستقرار ($E=0$) فإن عدم التعيين في قيمة الطاقة يعود إلى الارتياح الناتج عن قياس طاقة هذا المستوى. أي أن الطاقة المقاسة لا يمكن معرفتها بدقة أحسن من:

$$\Delta E \approx h / t$$

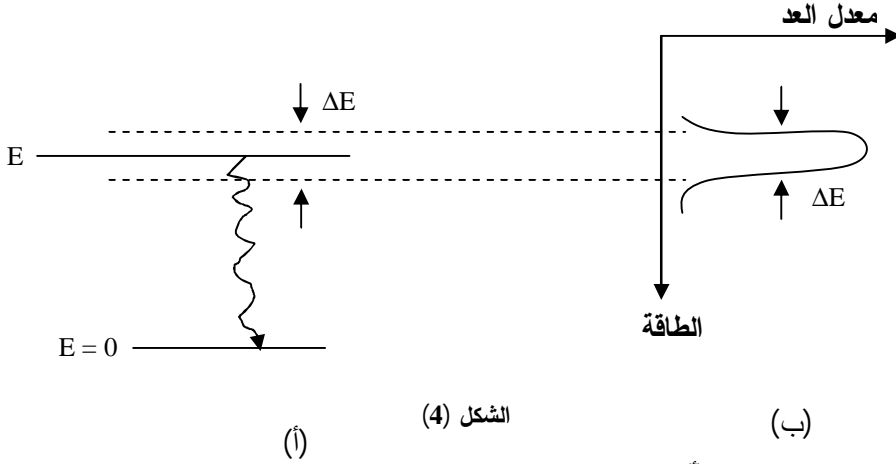
يبين الشكل (4) إصدار أشعة γ وقياس الارتياح في طاقتها والذي يمثل عرض المستوى ΔE . يُرمز للعرض السابق بـ Γ ونكتب:

$$\Gamma \cdot t \approx h$$

$$t \approx h / \Gamma$$

ومنها:

فإذا تم قياس Γ بالـ keV فإن h يجب أن يعطى بـ keV وبالتعويض عن قيمة h بالعلاقة السابقة نجد:



(أ) تفكك المستوى E إلى مستوى الاستقرار بإصدار γ ؛

(ب) طيف طاقة أشعة γ كما يسجله كاشف مناسب.

$$t = \frac{6.59 \times 10^{-19}}{\Gamma}$$

ونبين العلاقة السابقة أنه إذا كانت Γ في حدود عدة قيم من وحدات الـ keV فإن τ تقدر بحوالي 10^{-20} ثانية. وهذه فترة زمنية صغيرة جداً لا يمكن لأي جهاز في الوقت الحاضر أن يقيسها، لكننا نستطيع حساب τ بتعيين Γ التي يمكن للأجهزة الحديثة أن تقيسها بسهولة.

وبمعرفة متوسط العمر τ يمكن حساب عمر النصف T اعتماداً على العلاقة التي تربط بينهما (انظر الفصل الثاني).

ويمكن تجريبياً الحصول على تابع توزيع الطاقة P(E) لمستوى إثارة معين، والذي يُعرف بالتوزيع الطبيعي لطاقة مستوى الإثارة وذلك عن طريق قياس طاقة هذا المستوى عدداً كبيراً من المرات ومن ثم التحقق من صحة التوزيع المبين في الشكل (4).

بالإضافة إلى العرض الطبيعي في طاقة مستويات الإثارة يوجد عرض إضافي للطاقة بسبب تأثيرات أخرى مثل تأثير دوبلر Doppler Effect وتأثير الارتداد Recoil Effect. فمن المعلوم أن الانتقالات بين المستويات النووية تكون في حدود الـ MeV. ويكون العرض الطبيعي للمستويات النووية في حدود الـ 10^6 eV. أما بالنسبة للعرض الناشئ عن ارتداد النواة فسيكون في حدود أعداد قليلة من eV للنوى الخفيفة أو أجزاء من الألف من eV للنوى

الثقيلة، وفي الحالتين كليهما سيكون العرض الناشيء عن ارتداد النواة أكبر بكثير من العرض الطبيعي. وبما أن قيمة العرض الارتدادي أكبر بكثير من العرض الطبيعي فإن الارتداد سيؤثر على طاقة الفوتون المنبعث ولن يكون بإمكان الفوتون السابق أن يمتص من جديد ويحرّض النواة نظراً لفقد الطاقة بسبب الارتداد. لكن في بعض الحالات الخاصة مثل نوى البلورات يكون تأثير الارتداد مساوياً للصفر تقريباً عند درجات حرارة منخفضة. ويرجع ذلك إلى ارتباط الذرات بالبلورة. وبذلك يكون عرض الخط الطيفي في هذه الحالة هو العرض الطبيعي ويمكن أن يمتص الفوتون من جديد. وهذا التأثير يُسمى تأثير موسباور Mossbauer Effect حيث يكون مفيداً في التجارب التي تحتاج إلى دقة كبيرة في الطاقة.

مثال (1):

يتولد الكربون 14 المشع في جو الأرض نتيجة لتفاعل الأشعة الكونية مع الآزوت 14 الطبيعي، ثم يمتص الكربون 14 مع الكربون 12 الطبيعي غير المشع بوساطة الكائنات الحية مما ينتج عنه نشاط إشعاعي قدره 0.16d/g.s. وعند موت هذه الكائنات يتوقف امتصاص الكربون بينما يستمر تفكك الكربون المشع بعمر نصف قدره 5730 سنة.

إذا فحصت عينة من حفرة فوجد أن نشاطها يبلغ 0.13d/g.s فأوجد عمر هذه العينة (وهذا ما يُعرف: التأريخ بالكربون).

الحل:

$$A = A_0 e^{-\lambda t} = A_0 e^{-\frac{\ln 2}{T} t}$$

لدينا:

حيث:

$$A_0 = 0.16 \text{ d/g.s} , \quad A = 0.13 \text{ d/g.s}$$

وبالتعويض نجد :

$$\ln \frac{0.16}{0.13} = \frac{\ln 2}{T} t = \frac{\ln 2}{5730} t$$

ومنها:

$$t = 1720 \text{ years}$$

مثال (2):

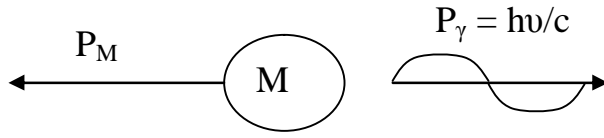
بفرض أن فوتوناً $h\nu$ يصدر عن نواة كتلتها M والمطلوب:

1— برهن أن طاقة حركة ارتداد النواة تعطى بالعلاقة:

$$K_r = \frac{(hn)^2}{2Mc^2}$$

2— علماً أن نظير الإيريديوم $^{191}_{77}\text{Ir}$ يصدر فوتوناً طاقته 0.129 MeV فاحسب طاقة حركة ارتداد نواة ذرة إيريديوم واحدة. ثم احسب الطاقة السابقة لنواة إيريديوم 191 في بلورة تحوي 10^{10} ذرة من النظير السابق. قارن مع العرض الطبيعي للنظير السابق والذي يساوي $\Gamma = 4.7 \times 10^{-6} \text{ eV}$.

الحل:



اعتماداً على الشكل السابق وعلى قانون حفظ كمية الحركة نكتب:

$$P_M = P_\gamma$$

وبما أن طاقة حركة ارتداد النواة تعطى بالعلاقة:

$$K_r = \frac{P_M^2}{2M}$$

$$K_r = \frac{P_g^2}{2M} = \frac{(hn)^2}{2M c^2} \quad \text{فإن:}$$

2—

أ — طاقة حركة ارتداد نواة الإيريديوم 191:

$$K_r = \frac{(0.129)^2}{2 \times 191 \times 931} = 4.7 \times 10^{-8} \text{ MeV} = 4.7 \times 10^{-2} \text{ eV}$$

ب — طاقة حركة ارتداد النواة أعلاه في البلورة:

$$K_r (10^{10}) = \frac{(0.192)^2}{2 \times 10^{10} \times 191 \times 931} = 4.7 \times 10^{-18} \text{ MeV} = 4.7 \times 10^{-12} \text{ eV}$$

وبالمقارنة مع Γ نجد أن:

K_r أكبر بكثير من Γ بينما $K_r (10^{10})$ أصغر منها بكثير.

مثال (3):

أ — إذا كان متوسط العمر لبعض الانتقالات الذرية في حدود 10ns فما أقل ترتيبات في كل من الطاقة والتواتر (التردد) للفوتون المنبعث من هذه الانتقالات؟ وإذا كان $\lambda = 589 \text{ nm}$ هو الطول الموجي لأحد هذه الانتقالات فما النسبة بين العرض الطبيعي لتوزيع التردد لهذا الخط وتردد الفوتون؟

ب — إذا كان للميون عمر طبيعي قدره $2.2 \mu s$ فما أقل ترتيبات في طاقة الميون؟

ج — إذا كان للجسيم Z^0 عرض طبيعي $\Gamma = 2.5 \text{ GeV}$ فما العمر الطبيعي لهذا الجسيم (Z^0 جسيم مسؤول عما يُسمى بالقوة الضعيفة) ؟

أ — لنحصل على أقل ترتيبات في الطاقة نكتب:

$$\Delta E = \frac{h}{t} = \frac{6.58 \times 10^{-16} \text{ eV} \cdot s}{10 \times 10^{-9} \text{ s}} \approx 7 \times 10^{-8} \text{ eV}$$

ومن هذه القيمة نحسب أقل ترتيبات في تردد الفوتون، حيث:

$$\Delta E = h \Delta \nu$$

ومنه:

$$\Delta n = \frac{\Delta E}{h} = \frac{7 \times 10^{-8} \text{ eV}}{4.14 \times 10^{-15} \text{ eV} \cdot s} \approx 2 \times 10^7 \text{ Hz}$$

وبذلك يكون العرض الطبيعي لهذا الخط الطيفي:

$$2\Delta \nu = 4 \times 10^7 \text{ Hz}$$

فإذا كان للخط الطيفي طول موجي $\lambda = 589 \text{ nm}$ فإن قيمة التردد المناظر يكون:

$$n = \frac{c}{\lambda} = \frac{3 \times 10^8 \text{ m/s}}{589 \times 10^{-9} \text{ m}} = 5.1 \times 10^{14} \text{ Hz}$$

وبالتالي فإن:

$$\frac{2\Delta n}{n} = \frac{4 \times 10^7 \text{ Hz}}{5.1 \times 10^{14} \text{ Hz}} \approx 10^{-7}$$

ب — إن أقل ارتياب في طاقة الميون يحسب كما يلي:

$$\Delta E = \frac{h}{t} = \frac{6.58 \times 10^{-16} \text{ eV} \cdot s}{2.2 \times 10^{-6} \text{ s}} \approx 3 \times 10^{-10} \text{ eV}$$

ج — لدينا: $\Gamma \cdot \tau = h$ ومنها نحسب العمر الطبيعي كما يلي:

$$t = \frac{h}{\Gamma} = \frac{6.58 \times 10^{-16} \text{ eV} \cdot s}{2.5 \times 10^9 \text{ eV}} = 2.63 \times 10^{-25} \text{ s}$$

3.6 - مفعول موسباور Mossbauer Effect

لكي نفهم مفعول موسباور لابد لنا أن نعرف أولاً بعض المبادئ الأساسية وهي:

عرض الخط الطيفي - الطاقة المرتدة في عملية الإصدار - الرنين والفلورة الرنينية - مفعول دوبلر

1.3.6 - عرض الخط الطيفي:

اعتدنا في تعاملنا مع الفيزياء الذرية والنووية على وجود ما يدعى مستويات الطاقة، حيث نشير عادة إلى هذه المستويات بخطوط ونفترض أن طاقة الحالة تساوي E_0 . لكن طاقة هذه المستويات في الحقيقة ليست "حادة" أي ليست خطاً (انظر الشكل 5)، إنما ذات عرض معين، وهي تنتشر على مدى طاقي معين. يمكننا الحصول على العرض التقريبي لهذا المدى من مبدأ الإرتياب لهايزنبرج Heisenberg حيث:

$$\Delta E \cdot \Delta t \geq h \quad (1)$$

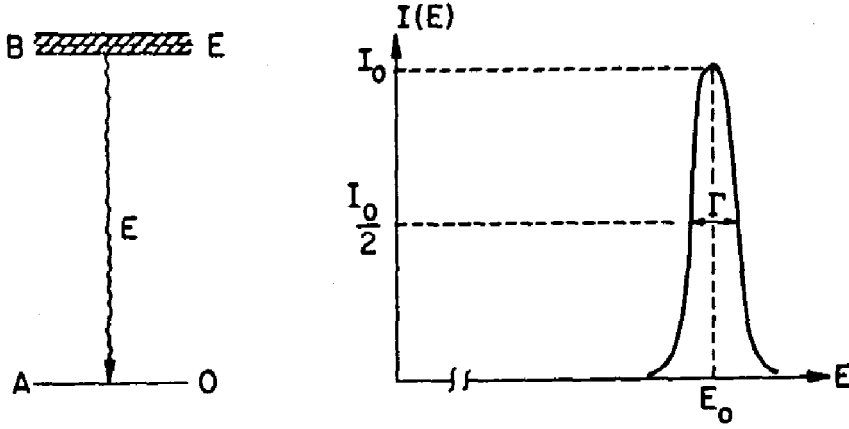
ΔE الإرتياب في الطاقة ، Δt المجال الزمني المتوفر لقياس الطاقة (حيث أن المجال الزمني من رتبة العمر الوسطي للمستوي المدروس).

فإذا وضعنا t (العمر الوسطي للحالة) بدلاً من Δt (إذا كانت تجربتنا تستغرق زمناً أكثر من t تكون الحالة قد اختفت) نحصل على العرض التقريبي للمستوى $\Gamma = \Delta E$ وبالتالي:

$$\Gamma = \frac{h}{\Delta t} \quad (2)$$

عالج ويسكوف Wiskopf & Wigner وفيغنر هذه المسألة ووجدوا أن المعادلة (2) تشير بشكل كامل إلى عرض توزع الطاقة عند منتصف أعظم قيمة. وبشكل أدق، وجدوا أن هذا التوزع له شكل توزيع لورنتز Lorentz أو بریت-فيغنر Breit & Wigner ويمكن وصفه بالعلاقة:

$$I(E) = \frac{\Gamma}{2p} \frac{1}{(E - E_0)^2 + (\frac{\Gamma}{2})^2} \quad (3)$$



الشكل (5). عرض الخط الطيفي

من أجل المستوى الأساسي يكون معدل الحياة الوسطى غير منته، وتبين المعادلة (3) أن مثل هذا التوزع يكون "حاداً".

يمكن كتابة المعادلة (2) كما يلي:

$$\Gamma(\text{eV}) = \frac{6.58 \times 10^{-16}}{t(s)} \quad (4)$$

من أجل حياة متوسطة قدرها 10^{-8} s نحصل على خط طيفي له عرض 6.58×10^{-8} eV. نجد بأنه إذا كان الانتقال الطاقى 60keV تكون نسبة عرض الخط إلى الطاقة صغيرة جداً $\frac{\Gamma}{E_0} = 10^{-12}$.

2.3.6 - الطاقة المرتدة في عملية الإصدار:

بفرض أن الفوتونات، التي تصدر خلال عملية الانتقال من مستوى طاقي إلى

آخر ، تملك طاقة E_0 حين تصدر من جملة ذات كتلة كبيرة، فسوف يكون هناك خسارة طاقة E_R . لحساب هذه الخسارة نفرض أن الفوتون يصدر من نواة لها كتلة M . نجد من قانون حفظ كمية الحركة أن:

$$p_{nucleus} = p_{photon} \quad (5)$$

تتعلق قيمة p_{photon} بطاقته E_{photon} بالعلاقة:

$$p_{photon} = \frac{E_{photon}}{c} \quad (6)$$

حيث c سرعة الضوء .

وبما أن النواة ثقيلة جداً فهذا يمكننا من استخدام التقريب اللانسبوي وذلك لربط قيمة كمية حركة الفوتون بطاقة الارتداد E_R

$$E_R = \frac{p_{nucleus}^2}{2M} \quad (7)$$

وحيث إن E_R سوف تكون صغيرة بالمقارنة مع E_0 وبالتعويض في المعادلة (6) عن $E_{photon} = E_0$ ، وبالتالي يمكننا أن نكتب من المعادلتين (7) و(5)

$$E_R = \frac{E_0^2}{2Mc^2} \quad (8)$$

ونستطيع باستخدام هذه العلاقة حساب طاقة الارتداد من أجل طاقة E_0 معلومة وكتلة نواة معلومة، ونكتب العلاقة (8) بالشكل:

$$E_R(eV) = \frac{5.37 \times 10^{-4} E_0^2(keV)}{A}$$

حيث A العدد الكتلي للنواة المتفككة.

والآن إذا حسبنا طاقة الارتداد من أجل نواة لها العدد الكتلي $A=100$ ، وطاقة $E_0 = 66keV$ ، وحياة وسطى $t = 10^{-8}s$ ، نجد أن قيمة طاقة الارتداد $E_R=0.02eV$.

نلاحظ أن قيمة هذه الطاقة صغيرة جداً ومهملة مقارنة بطاقة التفكك . ولكن إذا قارنا هذه الطاقة (طاقة الارتداد) بعرض الخط الطبيعي وهو 6.6×10^{-8} في مثالنا هذا، فنجد أن طاقة الارتداد ذات قيمة معتبرة.

3.3.6- الرنين والفلورة الرنينية:

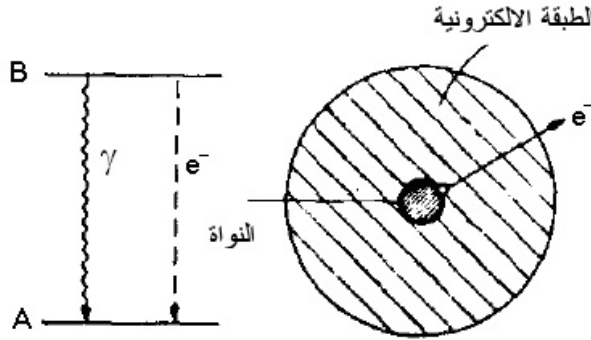
نحصل على أعظم مقطع عرضي للامتصاص حين تكون أشعة جاما الساقطة ذات طاقة E_0 (طاقة الاثارة للمستوى النووي) والذي يحسب بالعلاقة:

$$S_0 = \frac{I^2}{2p} \frac{2J_B + 1}{2J_A + 1} \frac{\Gamma_g}{\Gamma} \quad (9)$$

I الطول الموجي للفوتون، J_B سبين الحالة المثارة B، J_A سبين الحالة الأساسية A.

ولنتذكر أن عملية التفكك من مستوى طاقي إلى آخر لاتحدث بإصدار جاما فقط! ولكن هناك تنافس بين عدة عمليات وأهم هذه العمليات "لمفعول موسباور" هي التحول الداخلي (انظر الشكل 6)، حيث تنتقل الطاقة المثارة للنواة مباشرة إلى الطبقة الالكترونية ويتم إصدار الكترون.

لا توصف خواص التفكك للمستوي B بشكل كافٍ بالاعتماد على الحياة الوسطى t أو العرض $\Gamma = \frac{h}{t}$ لذا فإننا نقدم معاملاً جديداً هو زمن الحياة



الشكل (6) المنافسة بين عمليتي إصدار جاما والتحول الداخلي.

الجزئي t_g و t_e والعرض الجزئي للخط $\Gamma_g = \frac{h}{t_g}$ و $\Gamma_e = \frac{h}{t_e}$ ، وتعطى نسبة النوى

التي تتفكك بالتحول الداخلي إلى النوى التي تتحول بإصدار جاما بالعلاقة:

$$(10) \frac{\Gamma_e}{\Gamma_g} = \frac{t_g}{t_e} = a$$

ويعطى زمن الحياة الوسطى بالعلاقة:

$$t = \frac{h}{(\Gamma_g - \Gamma_e)} \quad (11)$$

وهو الزمن الذي ينبعث خلاله الفوتون والكترونات التحول.

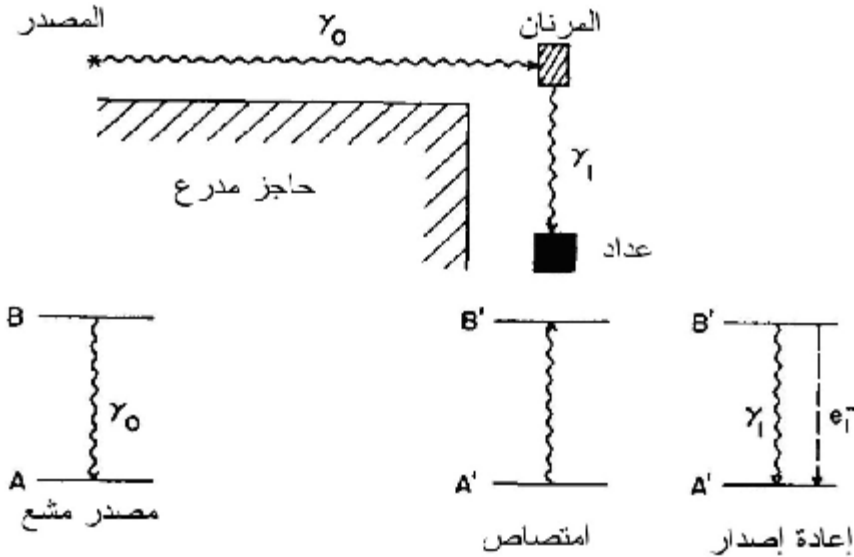
يمكن فهم النسبة $\frac{\Gamma_e}{\Gamma_g}$ كما يلي: إذا حاولنا إثارة المستوى B بقذف النواة بفوتونات ذات طاقة مناسبة فإن قيمة المقطع العرضي للإثارة بالفوتونات سوف تنقص إذا كان التفكك الرئيس للمستوي يحدث عبر تحول داخلي. ولحساب المقطع العرضي S_0 نلاحظ أن:

$$\frac{\Gamma_g}{\Gamma} = \frac{1}{1+a} \quad (12)$$

وبالاستعانة بالمعادلة (6) و $I = \frac{hc}{E}$ يمكننا كتابة المعادلة (9) كما يلي:

$$S_0(b) = \frac{2.45 \times 10^9}{E^2 (KeV)} \frac{2J_B + 1}{2J_A + 1} \frac{1}{1+a} \quad (13)$$

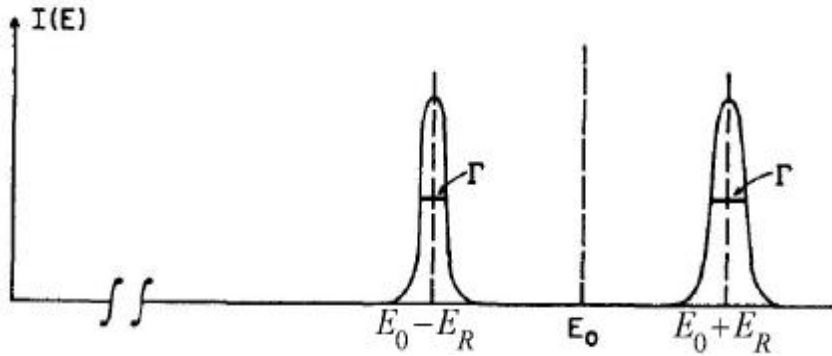
$1b = 10^{-24} cm^2$ (واحدة المقطع العرضي الفعال) ، أي أن المقطع العرضي S_0 يمكن أن يصبح كبيراً. يؤدي هذا المقطع الكبير إلى حصول الرنين كما في الشكل (7) .



الشكل (7) تجربة الفلورة الرنينية النووية.

تُمتص الفوتونات الواردة من المصدر المشع من قبل المرنان إذا كانت النوى في المرنان متطابقة مع النوى في المصدر، أي أننا نتوقع أن الفوتونات سوف تُمتص رنينياً وأنها سوف تثير نوى المرنان إلى المستوى B، وحالما يستثار المرنان فإن النوى سوف تتفكك مرة أخرى مع إعادة إصدار أشعة جاما ذات الطاقة E_0 . تدعى هذه العملية كاملة " الفلورة الرنينية النووية".

لنفترض أن الحالة التي تكون فيها نوى المصدر والمرنان هي نوى حرة في حالة الاسترخاء عندها سنجد أنفسنا أمام صعوبة هي أن أشعة جاما الساقطة g_0 لها طاقة قدرها $E_0 - E_R$ (طاقة الارتداد) بل وإذا كانت النواة ذات كتلة M وكانت في حالة راحة وامتصت فوتوناً له كمية حركة p فإنها سوف ترتد بكمية حركة قدرها p . وتكتسب النواة طاقة حركية قدرها $E_R = \frac{p^2}{2M}$ وهي طاقة الارتداد. أي كي تثير مستوى ذي طاقة E_0 فإن أشعة جاما الساقطة يجب أن تكون ذات طاقة $E_0 + E_R$ وسوف يكون الوضع كما في الشكل (8). ونجد أن كل الحالات التي تهما تكون فيها طاقة الارتداد E_R أكبر بكثير من عرض الخط الطبيعي Γ .



الشكل (8) تشير E_0 إلى طاقة المستوى B. يملك الفوتون المنبعث من النواة فقط الطاقة $E_0 - E_R$ بينما يحتاج المستوى B إلى الطاقة $E_0 + E_R$ كي يستثار.

4.3.6-مفعول دوبلر : Doppler Effect

لا تكون النوى في الغازات أو السوائل في حالة راحة، بل إنها تتحرك بسرعة عالية، يمكن حساب سرعة النواة في الغاز بسهولة من اعتبارات كلاسيكية، تعطى الطاقة الحركية للذرة أو الجزيء بالعلاقة:

$$E_{kin} = \left(\frac{1}{2}\right)MJ_0^2 = \left(\frac{3}{2}\right)kT \quad (14)$$

T درجة الحرارة مقدرة بالكلفن، k ثابت بولتزمان. J_0 السرعة، M الكتلة.

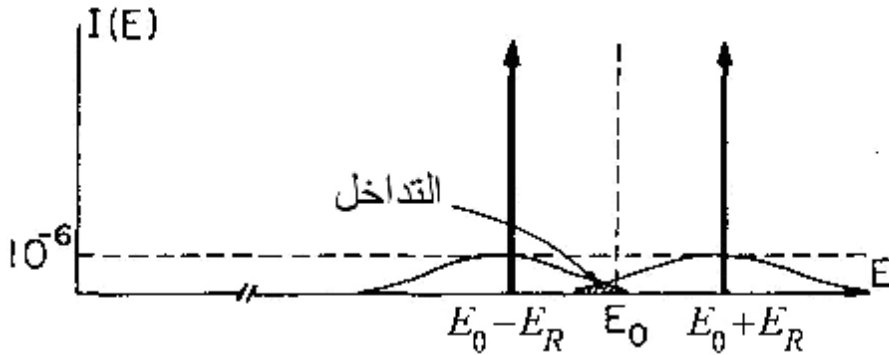
تكون السرعة في درجة حرارة الغرفة بضع مئات من الأمتار في الثانية. مثل هذه السرعة تقود إلى مفعول دوبلر. تتزاح طاقة جاما- المنبعثة من مصدر متحرك بسرعة J_g على طول اتجاه الإصدار- بمقدار ΔE ويعطى الانزياح بالعلاقة: (15)

$$\Delta E = \frac{J_g}{c} E_0$$

تتوجه سرعات الذرات الباعثة (لأشعة جاما) في المصدر الغازي بشكل عشوائي بالنسبة لاتجاه مصدر الرنين. تتغير السرعة على طول اتجاه الإصدار من J_0 إلى $-J_0$ ، ومن أجل عدد كبير من الذرات المتفككة، سوف يكون شكل الخط أكثر عرضاً بمقدار:

$$\bar{D} \cong 2 \frac{J_0}{c} E_0 \quad (16)$$

يبلغ ازدياد العرض من أجل مثالنا ($E_0 = 60keV, A = 100, T = 300K$) حوالي 0.1eV أي من مرتبة E_R (طاقة الارتداد). أي أن الشكل (8) يجب استبداله بالشكل (9).



الشكل (9). خطوط الإصدار والامتصاص أكثر عرضاً بسبب مفعول دوبلر.

وهكذا تتداخل خطوط الاصدار والامتصاص ونتوقع مقدراً أقل من الفلورة الرنينية. وهذا يعني أن ارتفاع الخط سوف ينخفض بالمقدار $\frac{\Gamma}{D}$ ، والذي يساوي في مثالنا حوالي 10^{-6} ؛ أي يؤثر هذا الانخفاض على عدد الفوتونات المتفلورة.

وإذا كيف يمكننا تسجيل الفلورة الرنينية بدون خطوط التعريض هذه؟

بالطبع الجواب سهل جداً، كل ما يلزمنا هو تثبيت المصدر والمرنان وذلك كي نحصل على خط حاد ، وهو ما اكتشفه رودولف موسباور Rudolph Mossbauer خلال تحضيره لأطروحة الدكتوراه، وهي المسألة التي طرحها عليه أستاذه ماير ليبنتز Mayer Leibentz وكانت المسألة هي "دراسة الفلورة الرنينية في درجة الحرارة المنخفضة".

5.3.6 - ما هو مفعول موسباور؟

في ضوء ما تقدم يمكننا أن نوضح مفعول موسباور كما يلي:

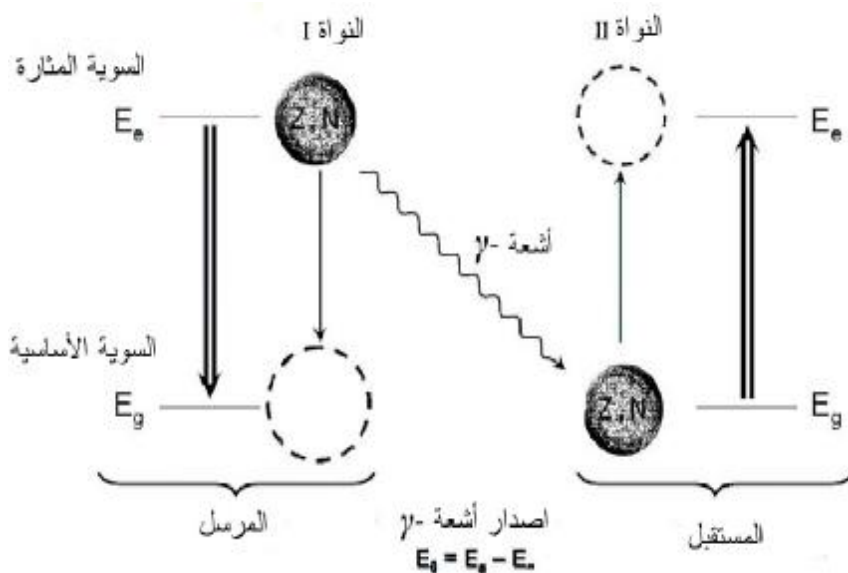
مفعول موسباور هو دراسة أطياف امتصاص الطنين النووي الارتدادي لأشعة جاما .

كي يحدث الامتصاص في تجربة الامتصاص الرنيني، يجب أن تكون طاقة الإشعاع الصادر تساوي تماماً الفرق بين الحالتين الطاقيتين للجملة الممتصة. مثلاً، الإشعاع الصادر من ذرة الصوديوم Na يطابق تماماً طاقة الاثارة لذرة صوديوم أخرى، وبالتالي فإنه يمكنها امتصاصه. بتطبيق المنطق نفسه على امتصاص وإصدار أشعة جاما يتم إصدار الإشعاع الكهرطيسي من قبل النوى الذرية بطاقة مرتفعة (انظر الشكل 10). وسوف نجد شرط الرنين نفسه والذي يتطلب أن يكون الفرق الطاقى بين المستويين الطاقيين في النواة المصدر مطابقاً تماماً للنواة التي ستقوم بامتصاص الإشعاع. أي لابد أن تكون نواتا المصدر والماص متطابقتين.

وهكذا نتوقع أن يكون هناك امتصاص وإصدار لأشعة جاما من قبل النوى المتطابقة، لكن هذا غير كاف لملاحظة رنين الفلورة، حيث إنه خلال عملية إصدار أشعة جاما من قبل النواة تنتقل كمية معينة من طاقة الإثارة (طاقة الارتداد E_R) إلى النواة وذلك لحفظ كمية الحركة. ولهذا السبب فإن طاقة كوانتم جاما المنبعث E_g تنخفض بالمقدار نفسه. وتعطى علاقة طاقة الارتداد بطاقة كم جاما المنبعث E_g بالعلاقة:

$$E_R = \frac{p^2}{2M} = \frac{E_g^2}{2Mc^2}, E_g = E_0 - E_R \quad (17)$$

P هو كمية الحركة المعطاة للنواة والمكافئة لكمية حركة فوتون جاما، M كتلة النواة المثارة.



الشكل (10) يوضح إصدار وامتصاص أشعة جاما.

وهكذا كلما تم امتصاص كم جاما تنخفض الطاقة المنقولة إلى النواة المثارة بمقدار E_g .

من أجل الانتقالات الضوئية تكون الخسارة في الطاقة لصالح الارتداد أقل بكثير من عرض خط الامتصاص وهذا ما يجعل الفلورة الضوئية ممكنة ببساطة أكثر. لكن في حالة الإشعاع النووي ذي الطاقة العالية تكون طاقة الارتداد أكبر بكثير من عرض خط الامتصاص وهو ما يعرقل الفلورة النووية.

يمكن الحصول على الامتصاص الرنيني إذا كانت نوى المصدر (مصدر أشعة جاما) والنوى الماصة موجودة ضمن بنية بلورية بدرجات حرارة منخفضة، عندئذ ترتد البلورة، ويمكن اعتبار النوى الباعثة والماصة ثابتة في مواقعها في الشبكة البلورية. وبما أن البلورة كبيرة مقارنة بالنواة فإنها ستمتص الدفع، ولكنها لا تمتص إلا كمية قليلة جداً من الطاقة.

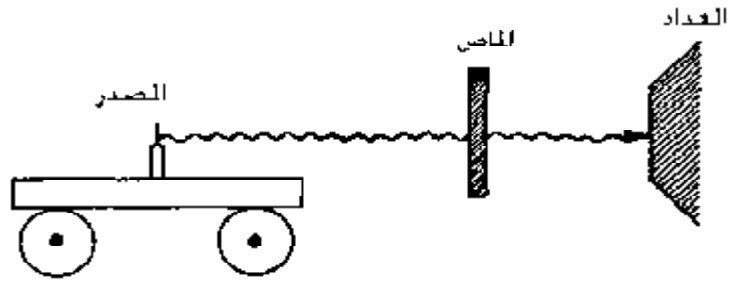
استخدم موسباور عنصر الإيريديوم $^{191}_{77}Ir$ ، الذي ينتج من تفكك بيتا للنظير $^{191}_{76}Os$ ، ودرس نفاذ أشعة جاما ذات الطاقة 129keV وذلك بمرورها في الإيريديوم البلوري الماص. ورتبت الأجهزة المستخدمة في التجربة بحيث يمكن تحريك مصدر الأشعة ببطء إلى الأمام أو الخلف على طول الخط بين المصدر والماص (انظر الشكل 11 ، 12). تنتج هذه الحركة انحراف دوبلر موجب وسالب في تردد أشعة جاما، وهذا بدوره يقود إلى تغيرات صغيرة جداً في طاقة المصدر. كذلك تم وضع جهاز يمكن من خفض درجة حرارة المصدر

أو الماص أو كلاهما لغاية 88K. و قد استنتج موسباور أن النسبة المئوية للامتصاص تكون أعظم ما يمكن عند السرعة النسبية الصفرية.

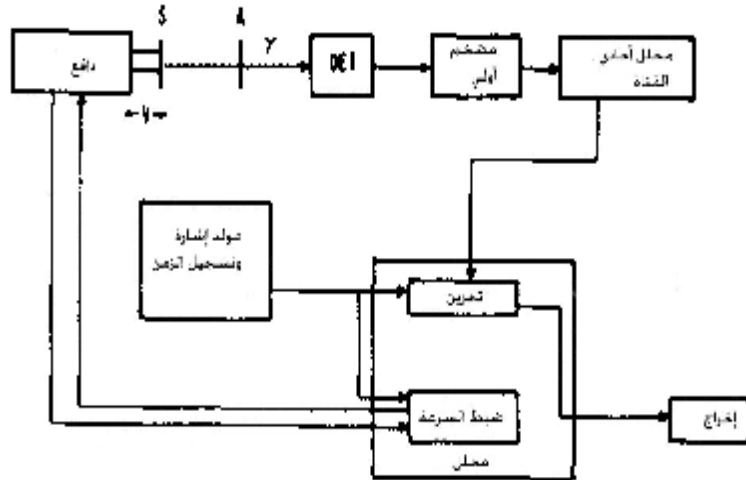
بلغ عرض منتصف القيمة العظمى حوالي 10^{-5} eV والذي كان مطابقاً للتوقعات. يبلغ عمر الحالة المثارة في عنصر الإريديوم $t = 1.4 \times 10^{-10} \text{ s}$

$$\Gamma = \frac{h}{\Delta t} = \frac{6.6 \times 10^{-16}}{1.4 \times 10^{-10}} = 4.7 \times 10^{-6} \text{ eV} \quad (18) \quad \text{وبالتالي:}$$

حيث إن Γ يمثل عرض الخط الطيفي . وهكذا فإن التجربة أيدت صحة حسابات عرض الخط باستخدام Δt وهذا يعني أنها أثبتت صحة مبدأ الارتياح أيضاً .

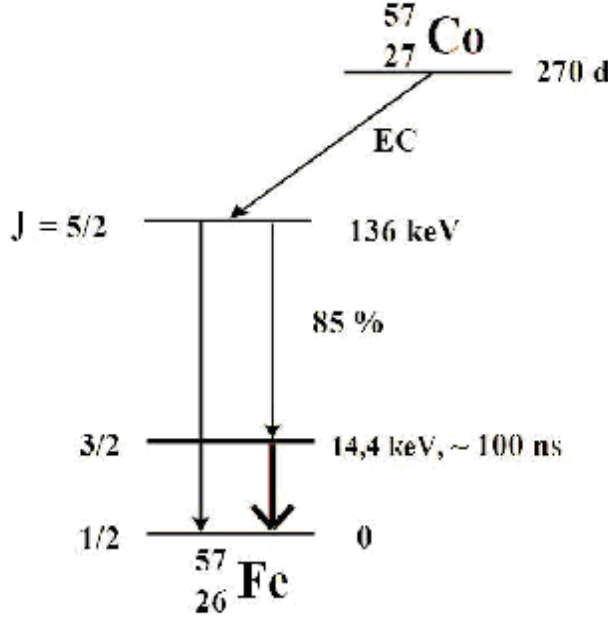


الشكل (11). تجربة موسباور.



الشكل (12). رسم تخطيطي لجهاز مطياف مسباور

أكثر النوى ملائمة لمثل هذه الدراسات (التي يظهر فيها مفعول موسبار) هي نواة نظير الحديد $^{57}_{26}\text{Fe}$ الناتجة من تفكك الكوبالت $^{57}_{27}\text{Co}$ عبر اسر الكترون بعمر نصف قدره 267 يوماً كما هو موضح في الشكل (13) .



الشكل (13) مخطط تفكك الكوبالت إلى حديد بواسطة اسر الكترون

طاقة الحالة المثارة الأولى للحديد تساوي 14.4keV . مع هذه القيمة المنخفضة للطاقة E نجد أن طاقة الارتداد تساوي:

$$E_R = \frac{P^2}{2M} = \frac{5.9 \times 10^{-47}}{2 \times 57 \times 1.66 \times 10^{-27}} = 3.11 \times 10^{-22} \text{ J} = 0.002 \text{ eV}$$

حيث:

$$P = \frac{h}{l} = 7.683 \times 10^{-24} \text{ kg.m}$$

$$l = \frac{hc}{E} = 8.59 \times 10^{-11} \text{ m}$$

لحساب انزياح دوبلر نستخدم العلاقة:

$$\Delta E = \pm \frac{J}{c} h n_0 \quad (19)$$

J سرعة المصدر ، c سرعة الضوء ، و n_0 التردد الرنيني .

تشمل أهمية مفعول موسباور قياس الانشطارات الدقيقة جداً لمستويات الطاقة النووية وكذلك حساب التغير في النسبة $\frac{\Delta R}{R}$ لنصف القطر النووي، وحساب عزوم رباعي الأقطاب الكهربائي والسبين والنوعية والعديد غيرها. يبين الشكل (14) النوى التي يظهر فيها مفعول موسباور.

IA																			VIIIA
H	IIA													IIIA	IVA	VA	VI	VIIA	He
Li	Be													B	C	N	O	F	Ne
Na	Mg	IIIB	IVB	VB	VIB	VII	VIII	VIII	IB	IIB				Al	Si	P	S	Cl	Ar
K	Ca	Sc	Ti	V	Cr	Mn	Fe	Co	Ni	Cu	Zn	Ga	Ge	As	Se	Br	Kr		
Rb	Sr	Y	Zr	Nb	Mo	Tc	Ru	Rh	Pd	Ag	Cd	In	Sn	Sb	Te	I	Xe		
Cs	Ba	La	Hf	Ta	W	Re	Os	Ir	Pt	Au	Hg	Tl	Pb	Bi	Po	At	Rn		
Fr	Ra	Ac																	

Ce	Pr	Nd	Pm	Sm	Eu	Gd	Tb	Dy	Ho	Er	Tm	Yb	Lu
Th	Pa	U	Np	Pu	Am	Cm	Bk	Cf	Es	Fm	Md	No	Lw

الشكل (14) النوى التي يظهر فيها مفعول موسباور (اللون الرمادي الغامق)

4.6 - الرنين النووي المغناطيسي Nuclear Magnetic Resonance

الرنين النووي المغناطيسي (NMR) ظاهرة، تحدث عندما توضع نوى ذرات معينة تحت تأثير حقل مغناطيسي ثابت ومن ثم يتم تعريضها إلى حقل مغناطيسي آخر متغير.

بدأ ذلك مع العالم زيمان Zeeman الذي نال في عام 1902 جائزة نوبل في الفيزياء وذلك عن اكتشافه أن نوى ذرات معينة تتصرف بشكل مختلف عند وضعها تحت تأثير حقل

مغناطيسي خارجي وسمي هذا المفعول بمفعول زيمان. وبعد خمسين عاماً نال العالمان بلوخ و بيورسل Bloch&Purcell جائزة نوبل لوضعهما ما يسمى بمفعول زيمان في التطبيق عبر تركيبهما لأول مطياف رنين نووي مغناطيسي؛ حيث استعملتا التفاعل بين الحقل المغناطيسي والعزم النووي لتوليد إشارة الرنين النووي المغناطيسي (NMR). تتناسب الطاقة والتوزيع السكاني للنوى مع شدة الحقل المغناطيسي، وتعتمد كثافة وتردد إشارة الرنين النووي المغناطيسي على شدة هذا الحقل. وتتشابه ظاهرة الرنين النووي المغناطيسي مع بقية ظواهر الرنين بخصائص معينة مثل، زمن الاستجابة والتخامد، وتردد الاستجابة.

1.4.6- وصف نواة في حقل مغناطيسي

تتألف النوى من مجموعة من الشحنات المتحركة لذا فإنها تتصرف وكأنها مجموعة من المغناطيس الصغيرة حيث تكون ذات اتجاهات عشوائية ولدى تطبيق حقل مغناطيسي عليها فإنها تأخذ اتجاهًا موازيًا للحقل سواء مع الحقل أو معاكسة له (انظر الشكل 15). إلا أن الحالة السبينية العليا في التوزيع السكاني هي الحالة الأكثر انخفاضاً بالطاقة والتي تتوازى فيها السبينات مع الحقل المغناطيسي.

تُظهر بعض النوى ظاهرة الرنين النووي المغناطيسي لكن بعضها الآخر لا يظهرها، ويعتمد هذا على كون هذه النوى تملك سبيناً أم لا. يكون السبين للنوى (ذات العدد الكتلي الزوجي وعدد البروتونات الزوجي) مساوياً للصفر مثل ^{12}C . لا تملك مثل هذه النوى سبيناً وسوف لن تبدي ظاهرة الرنين النووي المغناطيسي. بينما تنتج الحالات الطاقية للنوى التي تملك سبيناً لا يساوي الصفر من تفاعل العزم المغناطيسي النووي مع الحقل المغناطيسي المطبق، ويكون لهذه النوى عزم زاوي كلي تحدد قيمته بالعلاقة:

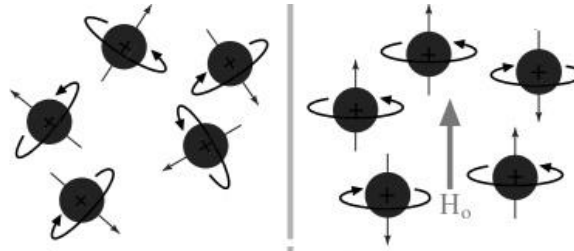
$$L = \frac{h\sqrt{j(j+1)}}{2\pi} \quad (20)$$

j : العدد الكمي الزاوي السبيني (سبين النواة) h : ثابت بلانك

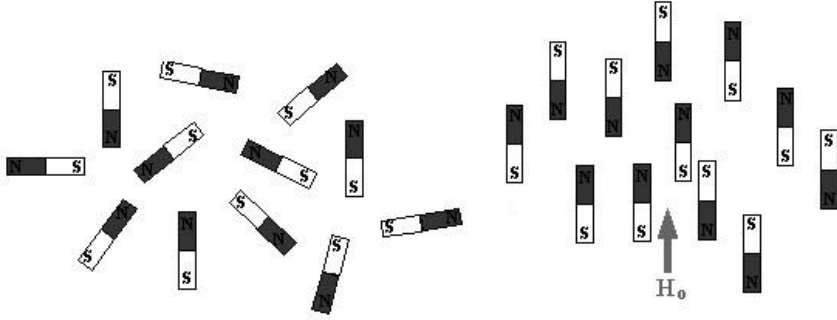
تتعلق قيمة j بكتلة وشحنة النواة وتكون قيمة j إما عدداً صحيحاً أو نصف عدد صحيح. تعطى المركبة z للعزم الزاوي بالعلاقة:

$$L_z = \hbar m \quad (21)$$

حيث $\hbar = \frac{h}{2\pi}$ وتأخذ m القيم $j, j-1, \dots, -j+1, -j$



توجه النوى بوجود حقل مغناطيسي | توجه النوى بدون حقل مغناطيسي



توجه مجموعة من المغناطيسات بوجود حقل مغناطيسي | توجه مجموعة من المغناطيسات بدون حقل مغناطيسي

الشكل (15) يوضح توجه النوى عند تطبيق حقل مغناطيسي

نفهم من هذه العلاقة أن مسقط العزم الزاوي النووي على المحور z مكتم في الفراغ ويأخذ $j+1$ قيمة ممكنة. وتتحدد الاتجاهات المسموحة للعزم الزاوي النووي بقيم m المسموحة، فمثلاً من أجل سبين نووي $\frac{1}{2}$ تكون قيم m المسموحة هي $\frac{1}{2}, -\frac{1}{2}$ وبالتالي فالعزم الزاوي ذو السبين $\frac{1}{2}$ له اتجاهان أحدهما للأعلى باتجاه المحور z والآخر نحو الأسفل باتجاه $-z$. (انظر الشكل 16).

تدور النوى (ذات العدد الكوانتي السبيني الذي لا يساوي الصفر) حول الحقل المغناطيسي B_0 بسبب عزم التدوير المتولد عن تفاعل العزم الزاوي النووي مع الحقل المغناطيسي، ويكون العزم المغناطيسي m ، إما موازياً وإما غير مواز للعزم الزاوي ويعطى بالعلاقة:

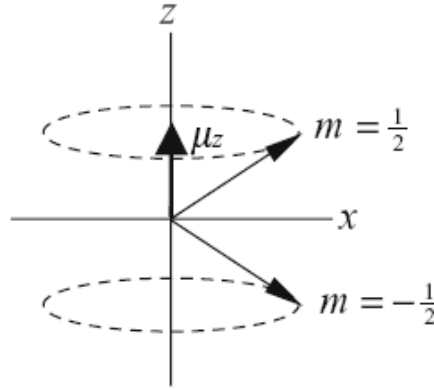
$$m = g L = g \hbar \sqrt{j(j+1)} \quad (22)$$

g هي معامل يدعى نسبة الجيرومغناطيسية النووية وتكون ذات قيمة محددة من أجل نظير معين. وبالتالي فإن g هي ثابت مميز من أجل النواة المحددة. أما العزم الزاوي L فيكون له

القيمة نفسها من أجل كل النوى التي لها العدد الكوانتي المغناطيسي نفسه. ويختلف العزم المغناطيسي m باختلاف النوى، مثلاً ^{13}C , ^1H يكون لها العزم الزاوي المداري L نفسه حيث إنه لديها العدد الكوانتي السبيني نفسه $(\frac{1}{2})$ ، إلا أنها تكون مختلفة بالعزم m لأنها تختلف بمعامل الجيرومغناطيسية g ، وبالتالي يستخدم العزم m لتمييز السبين النووي. إذا كانت النسبة الجيرومغناطيسية g موجبة عندئذ يكون العزم m موازياً للعزم الزاوي، ويكون غير مواز له إذا كانت g سالبة.

تعطى بشكل مشابه المركبة z للعزم L_z والمركبة z للعزم الزاوي m_z بالعلاقة:

$$m_z = g L_z = g \hbar m \quad (23)$$



الشكل (16) يبين اتجاهات العزم الزاوي m ذي السبين $\frac{1}{2}$ ومسقطه m_z

تشير هذه العلاقة إلى أن m_z له قيم مختلفة من أجل نوى مختلفة حتى لو كان لها العدد الكوانتي المغناطيسي m نفسه (انظر الجدول 2). فعندما توضع النوى ذات العدد السبيني غير المعلوم في حقل مغناطيسي فإنها تترنح حول الحقل المغناطيسي وينشأ ذلك من العزم المتولد من تفاعل الحقل المغناطيسي B_0 مع العزم m . وتعتمد الزاوية المشكلة ما بين m و B_0 على قيمة m . وتدعى هذه النوى بالسبينات النووية لأن عزومها الزاوية النووية هي التي تجعل النواة تدور ضمن الحقل المغناطيسي.

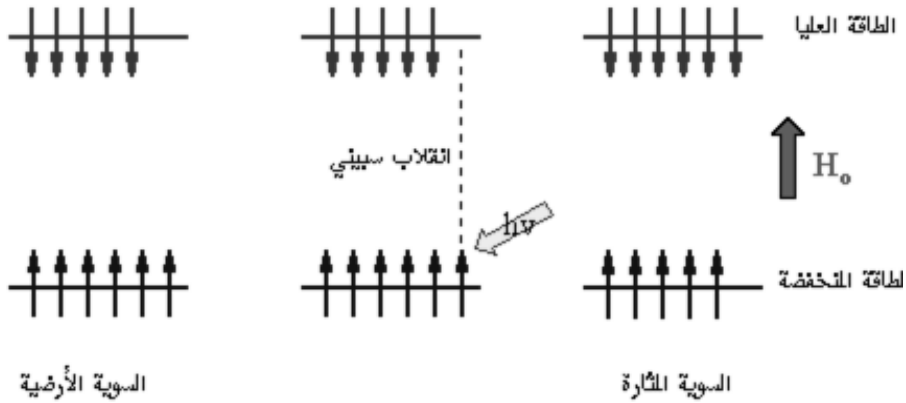
تعتمد الطاقة المطلوبة لقلب السبين على شدة الحقل المغناطيسي المطبق على النواة فعند عدم وجود حقل مطبق لا يوجد أي فرق طاقي بين الحالات السبينية ولكن عند زيادة الحقل

يزداد الفصل الطاقى بين الحالات السبينية (انظر الأشكال 17-18-19) وكذلك التردد المطلوب (عند التردد الراديوي، انظر الجدول 1) ، لكي يحدث الانقلاب السبيني والذي يعرف بالرنين. إذا كان تردد النبضة يطابق الفرق بين مستويي الطاقة ، يعطى فرق الطاقة بالعلاقة:

$$hu = \Delta E = 2mB \quad (24)$$

وتعطى طاقة الحالة i بالعلاقة:

$$E_i = -m_i \frac{h g B_0}{2p} \quad (25)$$



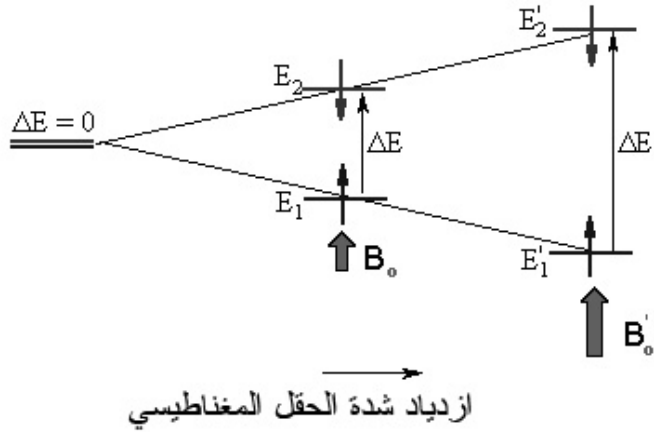
الشكل (17) يوضح استخدام الاشعاع الكهرومغناطيسي في الرنين النووي المغناطيسي لنقل السبين الموازي من الطاقة المنخفضة في الحالة التي يوازي فيها السبين الحقل المغناطيسي إلى الحالة الأعلى التي يعاكس فيها السبين الحقل المطبق.

مثلاً من أجل نواة ذات سبين $\frac{1}{2}$ يكون فرق الطاقة بين الحالات:

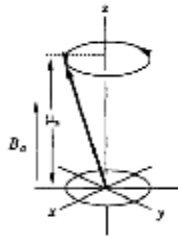
$$\Delta E = E_{(m=-\frac{1}{2})} - E_{(m=+\frac{1}{2})} = -\left[(-\frac{1}{2}) - (\frac{1}{2})\right] g \hbar B_0 = g \hbar B_0 \quad (26)$$

أي أن فرق الطاقة بين أي حالتين سبينيتين سوف يكون عدداً صحيحاً من $g \hbar B_0$ حيث تبين g (النسبة الجيرومغناطيسية) مقدار تغير الحالات الطاقية السبينية لنواة معينة بتغير الحقل المغناطيسي الخارجي. تعتمد قيمة g على الوحدة المختارة للحقل B_0 . إذا اخترنا التسلا T كواحدة للحقل فستكون وحدة g هي [راديان/(تسلا.ثانية)] ، $\text{radian.T}^{-1}.\text{s}^{-1}$ ، تجدر الإشارة إلى أن أجهزة (NMR) الحالية تستعمل حقلاً مغناطيسياً تتراوح شدته من 5-

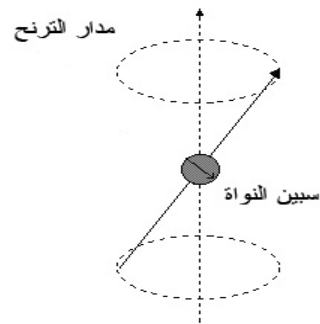
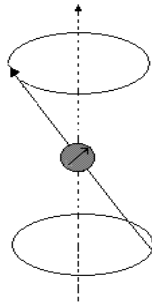
16 تسلا ولنذكر للمقارنة أن الحقل المغناطيسي الأرضي يبلغ $6 \times 10^{-5} T$ ، استعملت في البداية الكتب حول NMR واحدة هي الجاوص gauss أو الكيلوجاوص kilogauss للتعبير عن شدة الحقل المغناطيسي ($1T=10^4 \text{ gauss}$).



الشكل (18) يبين مفعول زيمان النووي حيث يزداد الفرق الطاقى مع ازدياد شدة الحقل المطبق



الحقل المغناطيسي المطبق



الشكل (19) يبين ترنج العزم المغنطيسي حول محور الحقل المغناطيسي المطبق B_0 .

مثال (4):

ما هو الفرق الطاقى بين الحالتين السبينيتين لنواة الهيدروجين ^1H في حقل تبلغ شدته

5.87T؟ وما هو الفرق الطاقى من أجل النواة ^{13}C ؟

الحل: نأخذ قيمة g من الجدول (1)

$$^1\text{H}: \Delta E = \frac{ghB_0}{2p} = \frac{(2.67.512 \times 10^6 \text{ rad.T}^{-1}.\text{s}^{-1})(6.63 \times 10^{-34} \text{ J.s})(5.87\text{T})}{2(3.14\text{rad})}$$

$$= 1.66 \times 10^{-25} \text{ J}$$

$$^{13}\text{C}: g = 67.264 \times 10^6 \Rightarrow \Delta E = 4.18 \times 10^{-6} \text{ J}$$

أي أكثر بحوالي أربع مرات من الفرق فى ^1H .

مثال (5):

نفرض أنه فى تجربة الـ NMR قمنا باستخدام شعاع ذى تردد 250MHz وذلك لفحص مادة الفورم ألدهيد. فهل تستطيع تجربة الـ NMR هذه أن توضح لنا الأبعاد المختلفة للرابطة $\text{C}=\text{O}$ (الوظيفة الألدهيدية) عند اهتزازها، أم أن كل ما سنستطيع كشفه هو المتوسط الزمنى لطول الرابطة؟

الحل:

من علاقة الارتياب لهايزنبرج $\Delta E.\Delta t \geq h$ يمكننا استنتاج أن $\Delta t \geq \frac{1}{\Delta u}$ وذلك من

العلاقة:

$E = hu \Leftarrow \Delta E = h\Delta u$ حيث Δu الخطأ فى تواتر الفوتون، ΔE الخطأ فى مقدار طاقة الفوتون.

وهكذا فإن الزمن اللازم (Δt) لكي يتم امتصاص الفوتون يجب أن يكون طويلاً بحيث يأخذ دورة واحدة من الموجة لكي يعبر الجسم وهذا الزمن t_0 ما هو إلا $\frac{1}{u}$ (زمن هزة واحدة) وهكذا فإن:

$$\frac{1}{u} = \frac{1}{(5.13 \times 10^{13}) \text{ Hz}} = 1.9 \times 10^{-14} \text{ s}$$

وهذا الزمن أقصر بكثير (أي أسرع) من مقياس زمن NMR والذي يساوي:

$$\frac{1}{u} = \frac{1}{(2.5 \times 10^8) \text{ Hz}} = 4 \times 10^{-9} \text{ s}$$

أي أن الـ NMR يُمكننا في هذه الحالة من تسجيل المتوسط الزمني لطول الرابطة
C = O.

جدول (1) يبين الطيف الكهرومغناطيسي

الطيف الكهرومغناطيسي				
الاشعاع		λ (nm)	ν (Hz)	E (kJ mol ⁻¹)
الأشعة الكونية	Cosmic rays	$<10^{-3}$	$>3 \times 10^{20}$	$>1.2 \times 10^5$
أشعة غاما	Gamma rays	$10^{-1}-10^{-3}$	$3 \times 10^{18}-3 \times 10^{20}$	$1.2 \times 10^6-1.2 \times 10^3$
أشعة السينية	X-rays	$10-10^{-1}$	$3 \times 10^{16}-3 \times 10^{18}$	$1.2 \times 10^4-1.2 \times 10^6$
الأشعة فوق البنفسجية البعيدة	Far ultraviolet	200-10	$1.5 \times 10^{15}-3 \times 10^{16}$	$6 \times 10^2-1.2 \times 10^4$
الأشعة فوق البنفسجية	Ultraviolet	380-200	$8 \times 10^{14}-1.5 \times 10^{15}$	$3.2 \times 10^2-6 \times 10^2$
الأشعة المرئية	Visible	780-380	$4 \times 10^{14}-8 \times 10^{14}$	$1.6 \times 10^2-3.2 \times 10^2$
الأشعة تحت الحمراء	Infrared	$3 \times 10^4-780$	$10^{13}-4 \times 10^{14}$	$4-1.5 \times 10^2$
الأشعة تحت الحمراء البعيدة	Far infrared	$3 \times 10^6-3 \times 10^4$	$10^{12}-10^{13}$	0.4-4
الأشعة الميكروية	Microwaves	$3 \times 10^2-3 \times 10^5$	$10^{11}-10^{12}$	$4 \times 10^{-3}-0.4$
الترددات الراديوية	Radio frequency	$10^{11}-3 \times 10^7$	10^5-10^{10}	$4 \times 10^{-7}-4 \times 10^{-3}$

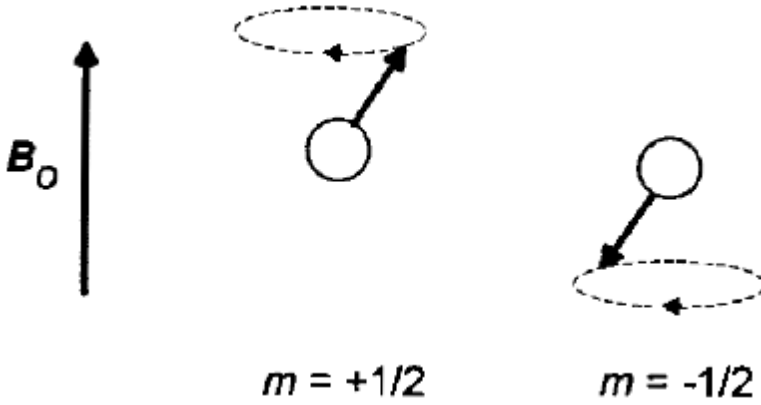
جدول (2) يبين الخواص المغناطيسية لبعض النظائر

النظير	عدد البروتونات	عدد النيوترونات	نسبة الجبرومغناطيسية	تردد الرنين	العزم المغناطيسي	
	Z	N	J	γ	μ	
				$10^6 \text{ rad T}^{-1} \text{ s}^{-1}$	megahertz	nuclear magnetons
n	0	1	$\frac{1}{2}$	-183.26	29.167	-1.91315
^1H	1	0	$\frac{1}{2}$	267.512	42.5759	2.79268
^2H	1	1	1	41.0648	6.53566	0.857387
^7Li	3	4	$\frac{3}{2}$	103.96	16.546	3.2560
^{10}B	5	5	3	28.748	4.5754	1.8007
^{11}B	5	6	$\frac{3}{2}$	85.828	13.660	2.6880
^{13}C	6	7	$\frac{1}{2}$	67.2640	10.7054	0.70219
^{14}N	7	7	1	19.325	3.0756	0.40347
^{15}N	7	8	$\frac{1}{2}$	-27.107	4.3142	-0.28298
^{17}O	8	9	$\frac{5}{2}$	-36.27	5.772	-1.8930
^{19}F	9	10	$\frac{1}{2}$	251.667	40.0541	2.62727
^{23}Na	11	12	$\frac{3}{2}$	70.761	11.262	2.2161
^{27}Al	13	14	$\frac{5}{2}$	69.706	11.094	3.6385
^{29}Si	14	15	$\frac{1}{2}$	-53.142	8.4578	-0.55477
^{31}P	15	16	$\frac{1}{2}$	108.29	17.235	1.1305
^{33}S	16	17	$\frac{3}{2}$	20.517	3.2654	0.64257
^{35}Cl	17	18	$\frac{3}{2}$	26.212	4.1717	0.82091
^{37}Cl	17	20	$\frac{3}{2}$	21.82	3.472	0.6833

2.4.6-الترنج (التبادر) وتردد لارمور Larmor Frequency

نعلم الآن أنه عند وضع النوى التي لها $j \neq 0$ ، في حقل مغناطيسي فإنها سوف تتخذ $2j+1$ اتجاهاً سببياً، وكل منها له مستوى طاقي مختلف، ولكن قبل أن تستطيع هذه النوى امتصاص فوتونات لا بد من جعلها تهتز بأحد أشكال الحركة الدورية. وبحسب ميكانيك الكم فإن هذا لا يتطلب أن تكون العزوم المغناطيسية مصطفة تماماً بشكل مواز أو غير مواز للحقل المغناطيسي الخارجي، بل بدلاً عن ذلك فإنه من الكافي أن تجبر على أن تبقى بزاوية معينة مع الحقل B_0 وهذا يجعلها تتذبذب حول محور الحقل عند تردد ثابت. وهكذا فإن شعاع العزم المغناطيسي للنواة m يترنج (يتبادر) ضمن الحقل المغناطيسي بتردد زاوي مميز يدعى تردد لارمور (w) وهو تابع فقط لكل من g و B_0 . واحدة تردد لارمور الزاوي هي راديان /ثانية ويمكن تحويله إلى التردد الخطي u وذلك بقسمته على 2π .

$$u = \frac{w}{2\pi} = \frac{g B_0}{2\pi} \quad (27)$$



الشكل (20) يبين ترنج العزم المغناطيسي في كل من الحالتين السببيتين المحتملتين من أجل نواة لها

$$j = \frac{1}{2} \text{ وذلك بعد وضعها ضمن حقل مغناطيسي خارجي } B_0.$$

يرسم رأس شعاع العزم المغناطيسي مساراً دائرياً بسبب الحركة الترنجية (انظر الشكل 20)، ونلاحظ أن تردد الحركة الترنجية مستقل عن m ، لذا فإن كل اتجاهات السبين لنواة معينة تترنج بالتردد نفسه ضمن حقل مغناطيسي ثابت.

مثال (6):

احسب تردد الترنح للنواة ^1H عند وضعها ضمن حقل مغناطيسي شدته 5.87T ؟ ما هو التردد من أجل نواة ^{13}C ؟ في أي منطقة من الطيف الكهرومغناطيسي يقع اشعاع هذا التردد؟

الحل:

نأخذ قيمة g للنواة ^1H من الجدول (2) فنجد:

$$u = \frac{g B_0}{2p} = \frac{267.512 \times 10^6 \text{ rad} \cdot \text{T}^{-1} \cdot \text{s}^{-1} (5.78\text{T})}{2(3.14\text{rad})} = 2.50 \times 10^8 \text{ s}^{-1} = 250\text{MHz}$$

ومن أجل نواة ^{13}C ينتج لدينا $u = 62\text{MHz}$.

يمكننا حساب التردد u مباشرة من الجدول (2)، وذلك كما يلي : نلاحظ أن u هو تردد الترنح معطى بوحدة MHz من أجل كل نواة في حقل مغناطيسي شدته 1.0 T وإذن ببساطة كل ما علينا فعله هو ضرب هذه الأعداد بشدة الحقل الفعلي (بالتسلا) فينتج لدينا التردد u من أجل شدة أي حقل آخر. مثلاً من أجل ^1H

$$u = (42.5759\text{MHz} \cdot \text{T}^{-1})(5.87\text{T}) = 250\text{MHz}$$

وهذا يتم كما يلي:

$$m_p = 2.7928 m_N = 2.7928 \left(\frac{eh}{2M_p} \right)$$

m_p هو العزم المغناطيسي للبروتون، m_N العزم المغناطيسي للنيوترون ، M_p كتلة

البروتون

$$\begin{aligned} u &= \frac{\Delta E}{h} = \frac{2m_p B}{h} = (2.7908) \left(\frac{eB}{2p} M_p \right) \\ &= 2.7928 \left[\frac{(1.6022 \times 10^{-19})(5.87\text{tesla})}{2p(1.6726 \times 10^{-27})} \right] = 250\text{MHz} \end{aligned}$$

تقع هذه الترددات في منطقة الترددات الراديوية rf (انظر جدول 2).

3.4.6- توزيع بولتزمان والإشباع

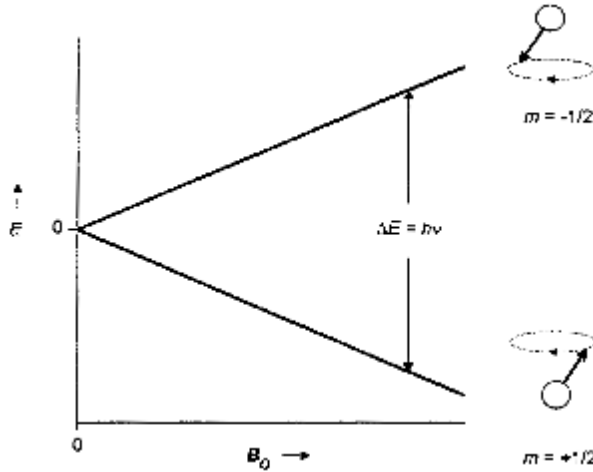
كما نعلم بأنه حالما يقوم الجسم بامتصاص فوتون تظهر الطاقة المتعلقة أصلاً مع الحقل الكهرومغناطيسي بطريقة ما في حركة الجسم، والسؤال الآن، أين تذهب الطاقة الممتصة في حالة ترنح نوى ^1H ؟

بما أن هناك فقط حالتين سبينيتين ممكنتين فإن الطاقة تذهب لقلب السبين، وهكذا فإن النواة التي تمتص طاقة الفوتون وتكون في الحالة السبينية السفلى $m = (+\frac{1}{2})$ ، وتتقلب النواة إلى حالتها السبينية العليا $m = (-\frac{1}{2})$ كما يظهر في الشكل (21) ويجب أن نذكر هنا أن الانقلاب السبيني الحاصل لا يغير في تردد الترنح للنواة.

حسبنا سابقاً الفرق الطاقى بين الحالتين السبينيتين العليا والسفلى وهذا الفرق يجب أن يكون مساوياً لطاقة الفوتون الممتص وهكذا يمكننا أن نكتب العلاقة:

$$\Delta E = \frac{ghB_0}{2p} = h\nu_{\text{فوتون}} = E_{\text{فوتون}} = h\nu_{\text{ترنح}} \quad (28)$$

إذاً كي يحصل الرنين فإن تردد الإشعاع يجب أن يكون مساوياً تماماً لتردد الترنح.



الشكل (21) يبين الطاقة النسبية لحالتي السبين من أجل نواة $j = \frac{1}{2}$ كتابع لشدة الحقل المغناطيسي الخارجي B_0 .

لكن يظهر لدينا إشكال هنا، وهو أن ميكانيك الكم يخبرنا أنه كي يحدث الامتصاص الكلي للإشعاع يجب أن يكون هناك جسيمات أكثر في الحالة السفلى منها في الحالة العليا. وإذا حدث وأن كان التوزيع السكاني متساوياً فقد تتبأ أينشتاين Einstein نظرياً بأن الانتقال من الحالة العليا $(m = -\frac{1}{2})$ إلى الحالة السفلى $(m = +\frac{1}{2})$ ، [تسمى هذه العملية الإصدار المستمر]، ممكن الحدوث كما هو الامتصاص في مثل هذه الحالة وبالتالي لا يوجد امتصاص كلي ممكن ويسمى هذا الشرط بالإشباع.

هل هناك ما يجعلنا نتوقع وجود زيادة في عدد النوى في الحالة السفلى؟ الجواب هو نعم، من أجل أية جملة من المستويات الطاقية عند التوازن الحراري، سنجد دوماً جسيمات أكثر في الحالات الأدنى منها في الحالات الأعلى، وما نحتاجه الآن حقاً هو علاقة تربط الفجوة الطاقية ΔE بين الحالات بالتوزيع السكاني من أجل كل حالة. وهو ما يمكننا الحصول عليه من توزيع بولتزمان Boltzman في ميكانيك الكم حيث نجد العلاقة:

$$\frac{P_{m=(-\frac{1}{2})}}{P_{m=(+\frac{1}{2})}} = \text{Exp}\left(\frac{-\Delta E}{kT}\right) \quad (29)$$

حيث P التوزع السكاني في كل حالة، T درجة الحرارة المطلقة ونقاس بالكلفن، k ثابت بولتزمان.

مثال (7):

ما هو التوزع السكاني في الحالتين العليا والسفلى لنوى ^1H عند درجة الحرارة 25°C في حقل مغناطيسي خارجي شدته 5.8T ؟

الحل:

وجدنا في مسألة سابقة قيمة ΔE لذا نستخدمها هنا فنجد:

$$\frac{P_{m=(-\frac{1}{2})}}{P_{m=(+\frac{1}{2})}} = \text{Exp}\left(\frac{-\Delta E}{kT}\right) = \text{Exp}\left(-\frac{1.66 \times 10^{-25} \text{ J}}{1.381 \times 10^{-23} \text{ Jk}^{-1} \times (25 + 273) \text{ K}}\right) = 0.9996$$

وحيث إن هناك فقط حالتين سبينيتين فهذا يؤدي إلى العلاقة:

$$P_{m=(-\frac{1}{2})} + P_{m=(+\frac{1}{2})} = 1$$

وبحل المعادلتين الناتجتين نجد:

$$P_{m=(-\frac{1}{2})} = 0.49999 , \quad P_{m=(+\frac{1}{2})} = 0.50001$$

يمكننا أن نلاحظ من هذه المسألة بأن الفرق في التوزيع السكاني بين الحالتين السبينيتين صغير جداً بحوالي 20 جزءاً من المليون، وتكون الفروق من أجل العناصر الأخرى أصغر من ذلك بسبب صغر قيمة g النسبة الجيرومغناطيسية. لكن هذا الفرق مع صغره كافٍ ليسمح بتسجيل إشارة NMR. ولنضع في أذهاننا أن عوامل مثل قوة الحقل المغناطيسي المطبق وارتفاع النسبة الجيرومغناطيسية أو انخفاض درجة الحرارة، جميعها عوامل تساعد في زيادة الفرق السكاني وبالتالي تنقص إمكانية الإشباع وبالتالي تؤدي إلى إشارة NMR أكثر حدة.

4.4.6- عمليات الاسترخاء

لا تجري الأمور غالباً في الجمل الحقيقية كما نتوقعه بالنسبة للترنح المستمر، إذ عند وضع عينة في حقل مغناطيسي B فإنها تعطي حقلاً مغناطيسياً M يعبر عنه بالعلاقة:

$$M = \frac{C_0}{h_0} B \quad (30)$$

C_0 الطواعية المغناطيسية، h_0 النفاذية في الفراغ

عند وضع جملة حقيقية في حقل مغناطيسي فإن النوى الموازية للحقل المغناطيسي المطبق تتزايد حتى قيمة التوازن، وتنتهي النوى العمودية على الحقل المطبق إلى الصفر، لكننا نعلم أن النوى تدور باستمرار عند تردد لارمور.

عند التوازن وفي غياب حقل مغناطيسي خارجي تكون الحالات السبينية متطابقة وبالتالي تكون الجمل ذات احتمالات وتوزيعات سبينية متكافئة. وعند وضع الجملة في الحقل الخارجي يلاحظ في الحالات السبينية توزيعات متوازنة جديدة بزيادة طفيفة في عدد النوى التي في الحالات الطاقية المنخفضة. وسوف تسترخي النوى إلى قيمة التوازن $M_0 = \frac{C_0}{h_0} B_0$ على طول المحور Z ، حيث يسترخي M_Z إلى القيمة M_0 و M_x, M_y إلى القيمة صفر.

والسؤال الآن كم من الوقت يستغرق الحقل الخارجي بعد وضعه كي يعيد التوازن في عدد النوى؟ بالتأكيد فإن هذه العملية غير منتهية وتتحكم بالحالة التي يلاحظ فيها التوازن الجديد كمية تدعى زمن الاسترخاء الطولي (أو زمن الاسترخاء سبين-شبكة) T_1

$$\frac{P_{eq} - P_t}{P_{eq} - P_0} = \text{Exp}\left(-\frac{t}{T_1}\right) \quad (31)$$

$P_{eq} - P_t$ الفرق مابين السكان المتوازن لحالة معطاة ، (مثلاً من أجل الحالة $m = +\frac{1}{2}$) والسكان بعد زمن قدره t ويشير الدليل صفر إلى $t=0$ وهذا يعني أن P_{eq} هي السكان عند $t = \infty$. ويمكننا القول إن دراسة الاسترخاء تعطي المعلومات نفسها التي يعطيها الرنين.

مثال(8):

بفرض أنه من أجل مجموعة من نوى ^1H عند درجة الحرارة 25°C كانت قيمة زمن الاسترخاء الطولي $T_1 = 0.20\text{ s}$ فكم من الوقت سيسغرق التوزيع السكاني الأساسي المتكافئ للحالات السبينية للنوى ^1H ، كي تصل إلى 95% من التوازن؟ وما الذي سيحدث إذا تم إلغاء الحقل عند هذه النقطة؟

الحل:

وجدنا في المثال السابق أن الحالة النهائية للتوزيع السكاني المتوازن للحالة $m = +\frac{1}{2}$ سوف تكون 0.50001، وعند 95% من التوازن يكون :

$$P_{eq} - P_t = 0.05(P_{eq} - P_0)$$

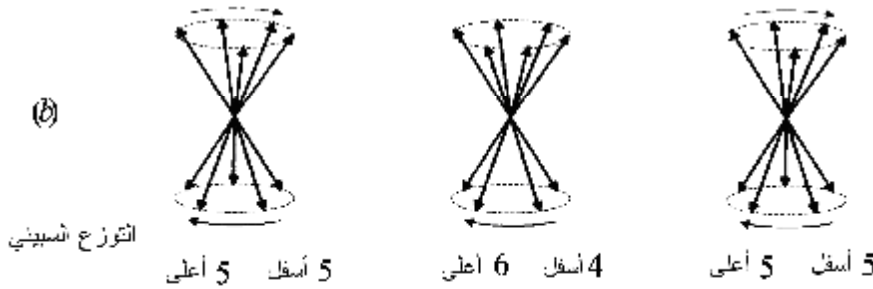
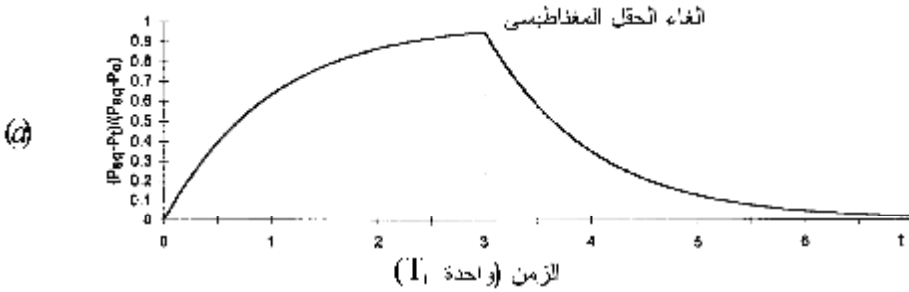
ومن ثم نكتب العلاقة

$$\frac{P_{eq} - P_t}{P_{eq} - P_0} = \frac{0.05(P_{eq} - P_0)}{P_{eq} - P_0} = \text{Exp}\left(-\frac{t}{T_1}\right) = 0.05$$

والآن نحل المعادلة $\text{Exp}\left(-\frac{t}{T_1}\right) = 0.05$ لإيجاد قيمة t فنجد $t = -3T_1$ وبالتعويض بقيمة T_1 نجد $t = 3 \times 0.20 = 0.6\text{ s}$.

عندما تصبح شدة الحقل المغناطيسي مساوية للصفر فإن مجموع النوى سوف يتخامد بشكل أسي كي يعطي التوزيع السكاني الأساسي المتكافئ للحالات السبينية عند حالة تتحكم بها قيمة T_1 نفسها.

نلاحظ في الشكل (22) ما نعينه في المثال السابق، حيث تشير الأسهم في التخطيطات الثلاثة أسفل الشكل إلى التوزيع السكاني للترنحات المنفصلة للعزوم المغناطيسية للنوى 1H ، إما إلى الأعلى وإما إلى الأسفل. أي توجد أساساً أعداداً متكافئة من النوى في كل حالة سبينية، ولكن عند التوازن في الحقل المغناطيسي نجد زيادة قدرها 20ppm (20 جزء من المليون) في السبينات نحو الأعلى، وعندما يتم إلغاء الحقل المغناطيسي يتخامد المجموع عائداً إلى التوزيع السكاني المكافئ الأصلي.



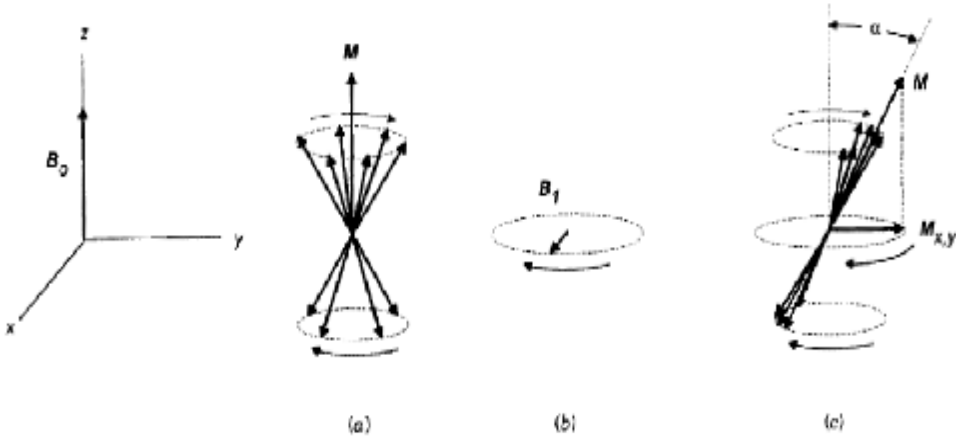
الشكل (22) a: مخطط بياني يبين اقتراب مجموعة النوى من التوازن عند تطبيق الحقل المغناطيسي
b: مخطط تصويري للتوزيعات السبينية عند $t = 0, \dots, 3T_1$. ثم يتم إزالته

بفرض أن هناك طريقة لتوليد حقل مغناطيسي آخر معامد للحقل المغناطيسي B . إن الحقل الجديد B_1 سوف يكون أضعف بكثير من الحقل B وسوف يترنح في المستوي x, y ، وسوف يهتز عند التواتر نفسه تماماً مثل العزوم النووية المغناطيسية (انظر الشكل 23b).

يحدث شيء غريب عندما يبدأ إصدار الإشعاع بواسطة الحقل B_1 ؛ سوف تصبح جميع العزوم النووية المغناطيسية مرتبطة طورياً. أي أنها سوف تتجمع تابعة العزم المغناطيسي المهتز وتشكل حزمة ترنح (انظر الشكل 23c). يتطلب هذا الارتباط الطوري أن يكون M بعيداً عن المحور Z ، ويترنح حوله بتردد لارمور. تملك M مركبة في المستوي x,y هي $(M_{x,y})$ تهتز هذه المركبة بالتواتر نفسه وتعطى العلاقة بين الزاوية a التي تصنعها M مع المحور Z بالشكل:

$$M_{x,y} = M \sin a \quad (32)$$

وأخيراً تصدر إشارة الـ NMR من اهتزاز $M_{x,y}$. نشير هنا إلى نوع آخر من عمليات الاسترخاء تتم بعد أن تتوقف عملية إصدار الإشعاع ويختفي الحقل B_1 ، لا يرتد التوزيع السكاني للحالات $m = +\frac{1}{2}$ و $m = -\frac{1}{2}$ إلى توزيع بولتزمان فقط، وإنما تبدأ العزوم المغناطيسية النووية بفقدان الترابط الطوري وتعود إلى ترتيبها العشوائي حول Z (انظر الشكل 23a). تدعى هذه العملية الاسترخاء سبين-سبين (أو الاسترخاء المستعرض) ويسبب تخامد المركبة $M_{x,y}$ بمعدل يتعلق بزمان التخماد سبين-سبين T_2 ويكون T_2 أقصر بكثير من T_1 لأن التخماد سبين-سبين أسرع بكثير من التخماد سبين-شبكة (توزع بولتزمان).



الشكل (23) الترنح الجماعي للنوى $j = \frac{1}{2}$ حول الحقل الخارجي B_1 ، هنا هي فقط المغناطيسية

النوية، شعاع مجموع كل العزوم المغناطيسية النووية.

(a) قبل إصدار الإشعاع من B_1 . (b) اتجاه الحقل المغناطيسي الدائر B_1 . (c) أثناء إصدار الإشعاع.

5.6 - استخدام النظائر المشعة في الطب

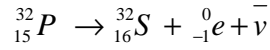
تستخدم النظائر المشعة بكثرة في الطب لأهداف علاجية وتشخيصية ودراسية. وكانت أولى استخدامات النظائر المشعة في دراسات حركية في الجسم الكائن الحي و في علم الدم وفي علم العقاقير كامتصاص الأدوية وطرحها وتوزعها في مختلف أنحاء العضوية الحية وتفاعل الأدوية فيما يتعلق بامتصاصها. كما تستخدم النظائر المشعة في تصوير الإشعاع الذاتي الذي يقوم على تتبع الانقسام الخلوي وذلك باستخدام طلائع موسومة بالكربون ^{14}C أو بالترينيوم 3H . كما تستخدم النظائر المشعة في التصوير الومضاني الذي يقابل التصوير الشعاعي التقليدي بالأشعة السينية ولكنه يتميز عنه بثلاث مزايا خاصة، يمكن أن تكون مهمة سريرياً إذا تمكنا من كيفية استغلالها وهي:

1- النوعية في رسم أحد عناصر التقفي لعضو أو نسيج سليم أو خبيث بصورة اصطفاية كالبيود في الغدة الدرقية وفوسفونات التكنيسيوم في النسيج العظمي والثاليوم في احتشاءات العضلة القلبية والأضداد وحيدة النسيلة الموسومة في السرطانات والنقائل.

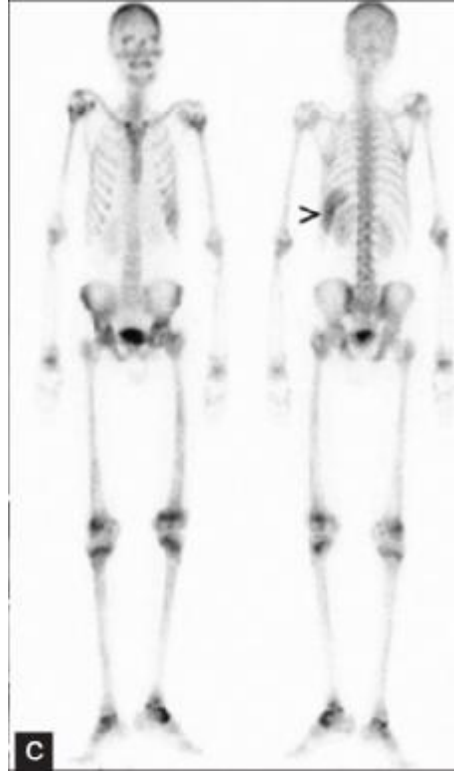
2. الطابع الكمي الذي يسمح بقياس تراكم عنصر التقفي في موقع أو آخر وذلك بإجراء حسابات معقدة أحياناً يمكن أن يكون لها قيمة علاجية.

3. الطبيعة الدينامية، حيث يسمح الكاشف (يتكون من كاميرا ومضانية مقترنة بأجهزة حاسوبية مناسبة) بقياس تطور تثبيت عنصر التقفي واختفائه في كل من قطاعات الكشف الفراغية بدلالة الزمن. تدخل النظائر المشعة أيضاً في دراسات المناعة الشعاعية وهي طريقة منافسة لتقدير جرعات الكميات الضئيلة من المواد التي لا يمكن معها استخدام الطرق الكيميائية التقليدية تقديراً دقيقاً. فالنظير هنا ليس إلا عنصر التقفي للمستضد أو للضد ولا تشكل الجرعات الصغيرة أي خطر على الأشخاص أو على الوسط المحيط. وقد تطورت كذلك تقانات أخرى تستخدم النظائر المشعة (مثل الكوبالت والراديوم والسييزيوم والفوسفور والبيود والإيريديوم والذهب) للأهداف العلاجية، فالنظير المشع للكوبالت يستخدم عند معالجة الخراجات الخبيثة كمصدر لإشعاعات غاما. كما يستخدم الكوبالت المشع في المعالجة الداخلية حيث تغرز إبرة تحوي رأساً رفيعاً من الكوبالت المشع في أنسجة الجسم، كما تستخدم في المعالجات الطبية للنظائر المشعة (الفوسفور لمعالجة أمراض الدم، والبيود لمعالجة الغدة الدرقية)، حيث يعتمد الأثر العلاجي لهذه النظائر على تركّز هذه المواد في أعضاء ونسج

محددة مؤثرة بإشعاعاتها على النسيج المحيطة بها فمثلاً يتركز الفسفور الفعّال في المادة الصلدة من العظام القصبية ويتفكك كما يلي:



لذلك فهو يقذف النخاع العظمي الموجود في قناة العظم بالالكترونات مما يؤدي إلى تنظيم الخلل الحاصل في أثناء إنتاج الدم. أما اليود المشع ^{131}I فيتجمع في الغدة الدرقية حيث يتفكك قاذفاً الأجزاء الداخلية لها بجسيمات β^- الناتجة عن تفككه بطاقة قدرها $606keV$ ويستخدم اليود المشع بكثرة كمادة تشخيصية لأمراض الغدة الدرقية ولأورام الدماغ ويُعطي إضافة إلى إشعاعات β^- فوتونات غاما بطاقة قدرها $364keV$ لذلك تستطيع هذه الفوتونات أن تتفد إلى خارج الجسم وبالتالي استكشافه.



الشكل (24) صورة باستخدام كاميرا جاما لرجل عمره 25 عاماً



شكل (25) صورة للرأس باستخدام تقنية *NMR*

1.5.6 - عناصر التقفي (الاقتفاء) الإشعاعية *Radioactive tracers*

يطلق اسم عناصر التقفي الإشعاعية أو الاستشفاء الإشعاعية على النوى المشعة التي تسمُ جزيئاً نوعياً، والتي يستدل على توزعها في عضو ما أو نسيج بالإشعاعات التي تصدر عنها. يجب أن يتمتع عنصر التقفي الإشعاعي في الجسم الحي ببعض الخصائص المهمة وهي:

1— أن يكون صالحاً من وجهة النظر الفيزيولوجية، أي يسمُ نوعاً خلوياً بشكل اصطفائي أو ينتبث على بنية يراد إظهارها أو يتوزع في مواصفة فيزيولوجية يطلب قياسها كاليود مثلاً الذي يستخدم في فحص وعلاج الغدة الدرقية.

2— أن يكون قادراً على الاقتران بجزيءٍ ، دون أن يغير من صفات ذلك الجزيء.

3. مصدراً لفوتونات جاما لأنها الوحيدة التي يمكن استكشافها من خارج الجسم البشري.

4. أن تكون طاقة الفوتونات التي يصدرها تتراوح بين 100 إلى 400 keV وقابلة للكشف باستخدام كاميرا غاماوية. فإذا كانت طاقة الفوتونات ضعيفة جداً يمتص أغلبها في النسيج الرخوة والجلد. وإذا كانت عالية جداً في هذه الحالة يعبر أغلبها الكاشف دون التمكن

من كشفه. إن العنصر المشع الأكثر استخداماً في مجال الطب النووي هو التكنيسيوم ^{99m}Tc والذي يصدر عنه إشعاع غاما بطاقة قدرها $140keV$.

5. أن يكون دور العنصر المشع قصيراً، فكلما قصر كان عدد الإصدارات التي يسجلها الكاشف أكبر مما يسمح بالحصول على صور أفضل وبتشيع أقل نظراً لسرعة اختفاء الذرات المشعة بعد إجراء الفحص مثل التكنيسيوم ^{99m}Tc الذي يُقدر عمر النصف له بست ساعات.

2.5.6 - الدور الحيوي والدور الفعلي

Biological period and effective period

يتفكك عنصر الاقْتفاء الإشعاعي داخل الكائن الحي وفق آليتين هما:

1. فيزيائية وتتميز بالدور الفيزيائي T_{phy} وهو عبارة عن دور العنصر المشع.
 2. بيولوجية وتتميز بالدور الحيوي T_{bio} وهو عبارة عن الزمن اللازم لطرح نصف كمية العنصر المشع الممتصة من قبل الجسم خارجاً.
- لذلك يمكن أن يختفي عنصر التقفي من العضوية إما بالتفكك الذي يرتبط بالدور الفيزيائي T_{phy} أو بطرحه خارجاً. وترتبط العملية الأخيرة بطبيعة المتجهة الكيميائية ووظائف العضوية الحيوية كشدة الاستقلاب أو الطرح وتتميز بالدور الحيوي T_{bio} للمتجه المفروض في العضوية المفروضة لذلك ينجم تغير في معدلات العد التي يسجلها الكاشف. بناءً على ذلك أُعتمد على تعريف دور ثالث للعنصر المشع ودعي بالدور الفعلي T_{eff} حيث يرتبط مع كل من الدورين الفيزيائي والحيوي بالعلاقة التالية:

$$T_{eff} = \frac{T_{phy} \times T_{bio}}{T_{phy} + T_{bio}}$$

والدور الفعلي هو أصغر من الدورين الفيزيائي والحيوي.

مسائل الفصل السادس

- 1- ما هو سبب مفعول دوبلر في النواة؟ وكيف يبدو تأثير هذا التعريض في القياس؟ وكيف يمكن التخفيف من هذا التأثير؟
- 2- احسب مستعيناً بالشكل (13) نسبة عرض الخط الطيفي للحالة $\frac{3}{2}^-$ ؟
- 3- احسب مستعيناً بالشكل (13) طاقة الارتداد لنواة الحديد Fe^{57} ؟
- 4- احسب عرض منتصف القيمة العظمى لعنصر الإريديوم إذا علمت أن عمر الحالة المنهيجة في عنصر الإريديوم هي $T = 0.14 \text{ sec}$ ؟
- 5- احسب تردد الترنح لنواة B^{10} في حقل مغناطيسي شدته $T = 5.87$ ؟
- 6- ماهي قيمة شدة الحقل المغناطيسي من أجل النوى 1H (بروتونات) والتي تترنح بتردد مقداره 300MHz ؟

الفصل السابع

مخاطر الإشعاع النووي والوقاية منه

1.7- مقدمة:

يسبب النشاط الإشعاعي الطبيعي للنظائر المشعة و الإشعاع النووي أذى للكائنات الحية. تراوحت الحالات بين أضرار بسيطة تلحق بالجلد وأورام سرطانية تنشأ في عظام العاملين في مناجم الفحم وكذلك العاملين في مختلف ميادين علوم الإشعاع حيث يتم تعرضهم إلى جرعات عالية من الإشعاع. وفي أوائل عام 1920، بذلت جهود منظمة لوضع إجراءات سلامة آمنة للتعامل مع أشعة X وأملاح الراديوم واتخاذ الإجراءات الضرورية كافة لتخفيض التعرض الإشعاعي. تمّ بعد ذلك تحديد أقصى جرعة للإشعاع يسمح التعرض لها بحيث ساهم ذلك في تقليل الإصابات الإشعاعية. ومع ذلك فقد كان العلماء يعتقدون حتى بداية العام عند التعامل مع المواد المشعة والعمل في أجهزتها مثل بناء مفاعل نووي أو مسرع للجسيمات ينبغي أخذ الاحتياطات اللازمة والصارمة لحماية العاملين في هذه المنشآت. ويتم ذلك بطرق مختلفة للوقاية من الإشعاع. وقد أثمرت الطرق المتبعة في جعل الإصابات بالإشعاع نادرة الحدوث بالرغم من اتساع استخدام المفاعلات النووية للحصول على الطاقة وعمليات تصنيع وإعادة معالجة الوقود النووي. وتم وضع القواعد لحماية العاملين في العلوم الصحية والذين يستخدمون مختلف تقنيات التصوير وعناصر التقني في عملهم.

للوفاية من الإشعاع لا بد من التعرف على مصدره وشدته؛ وسنتناول فيما يلي مصادر ومخاطر الإشعاع .

2.7- مصادر الإشعاع Radiation Sources

يوجد العديد من مصادر الإشعاع المختلفة التي يمكن أن يتعرض لها الإنسان والتي يمكن أن تصنف كما يلي:

1.2.7- الإشعاع الخارجي

ويشمل القسمين التاليين:

أ - الإشعاع الكوني Cosmic- Rays

يأتي هذا الإشعاع من الفضاء الخارجي من مصادر لا زالت مجهولة نسبياً حتى الآن. ويتكون هذا الإشعاع من جسيمات مشحونة مثل البروتونات وجسيمات α وبعض النوى الثقيلة

التي تتحرك بطاقات عالية جداً. كما تأتي الكترونات وفوتونات ونيوترينات (جمع نيوتريـنو). وتتطلق هذه الجسيمات من الشمس بطاقة تتراوح بين 1 و 200MeV بينما تتطلق بعض مركبات الإشعاع الكوني الأخرى من المجرات بطاقات تصل إلى 10^{13} MeV.

وعندما تقترب الأشعة الكونية من الأرض فإنها تتبادل التأثير مع المجال المغناطيسي غير المنتظم للأرض الذي يعمل على حرفها بعيداً عن سطح الأرض.

وتتغير كمية الإشعاع التي تصل إلى الأرض بتغير الارتفاع عن سطح الأرض؛ ولهذا تتعرض الرحلات الجوية عالية الارتفاع إلى نسبة أعلى من الإشعاع مقارنة مع الرحلات الجوية العادية. ويمتص الغلاف الجوي بعضاً من البروتونات بينما يقوم البعض الآخر بتفاعلات مع هذا الغلاف.

ب – الإشعاع الأرضي Terrestrial Radiation

ويشمل هذا العناصر المشعة الموجودة في الطبيعة. ويوجد حوالي 70 عنصراً منها حيث تتواجد في مناجم اليورانيوم والثوريوم والراديوم.

كما وينطلق غاز الرادون المشع في مناجم الفحم وغيرها. وتعتمد جرعة الإشعاع هنا على نظام التهوية وهندسة الأبنية. وتتوزع هذه النظائر المشعة في قشرة الأرض ومن ثم تشكل هذه مصدراً للطاقة الجيولوجية استطاعته (قدرته) حوالي 65mW/m^2 .

2.2.7 – الإشعاع الداخلي Internal Radiation

ويتمثل هذا الإشعاع في النظائر المشعة الموجودة في المواد التي يتكون منها جسم الإنسان مثل البوتاسيوم الذي يحوي على البوتاسيوم 40 المشع والكربون الذي يشمل على الكربون 14 المشع.

كما ويوجد هناك إشعاع داخلي ينتج عن مواد مشعة يأخذها الإنسان كجزء من العلاج أو التشخيص الطبيين باستخدام المواد المشعة.

3.2.7 – الإشعاع الصناعي Artificial Radiation

ويقسم الإشعاع الصناعي إلى الأقسام التالية:

أ – الإشعاعات الطبية: حيث تعطي هذه الإشعاعات أعلى معدل للإشعاع يتعرض له الإنسان عن طريق الاستخدامات الطبية والتي تتمثل في التشخيص الإشعاعي والعلاج بالأشعة.

ب – الغبار النووي الناتج عن التفجيرات النووية: وتمثل هذه المخلفات الناتجة عن التفجيرات النووية منذ قنبلتي هيروشيما وناجازاكي. كما وتنتج الكثير من هذه المخلفات من التجارب النووية التي تجريها الكثير من الدول لتحسين ترسانتها النووية، وتتعلق إلى الغلاف الجوي نظائر كثيرة ناتجة عن هذه التفجيرات مثل ^{14}C ، ^{137}Cs ، ^{90}Sr وغيرها.

ج – الإشعاع الناتج عن استخدام الإنسان: حيث يأتي هذا الإشعاع من استخدام المصادر المشعة في الصناعة ومن المفاعلات النووية المستخدمة لتوليد الطاقة النووية.

3.7 – التأثيرات الحيوية للإشعاع Biological Effect of Radiation

لا يختلف تأثير المادة المشعة على جسم الإنسان سواء أكانت هذه المادة داخل الجسم أم خارجه إلا من خلال الاختلاف في توزيع الجرعة الإشعاعية. وتنتج هذه الاختلافات عن عاملين رئيسيين:

أ – ميل بعض العناصر الكيميائية إلى التركز في أنواع معينة من الخلايا أو الأنسجة. فمثلاً يميل البلوتونيوم والسترنشيوم إلى الاستقرار في العظام، بينما يميل اليود إلى الاستقرار في الغدة الدرقية.

ب – إضعاف الإشعاع الخارجي عند اختراقه للأعماق المختلفة في جسم الإنسان. وعندما تدخل المادة المشعة إلى جسم الإنسان فإن الإشعاع الناتج سيحدث أضراراً للأنسجة أكبر من تلك التي ينتجها الإشعاع الناتج عن مصدر خارجي. حيث نجد هنا أن التعرض للإشعاع عملية تتحكم فيها كمية المادة المشعة التي ترتبط بمعدل تفكك العنصر واستخراجه الحيوي. كما وأن النسيج المعرض للإشعاع، في هذه الحالة، لا يفصله عنه حاجز أو درع Shield. ففي حالة جسيمات α ، β المنخفضة الطاقة، والقادمة من مصدر خارجي، لا تتمكن من اختراق الجلد للوصول إلى النسيج الحساس.

وعند تعرض المادة للإشعاع فإنها تتأين أو تتأثر. وينتج عن هذا التأين أو الإثارة تغيرات كيميائية في المادة. فإذا كانت هذه المادة هي مادة حية كجسم الإنسان مثلاً فإن ذلك ينتج عنه أضرار وجراح إشعاعية متفاوتة. وسنفرق فيما يلي بين نوعين من التعرضات الإشعاعية.

1.3.7 – التعرض الحاد Acute Exposure

وهنا فإن الإنسان يتعرض إلى جرعة عالية من الإشعاع خلال فترة زمنية

قصيرة. وتنتج هذه الجرعة عن إهمال بشري أو حوادث عارضة أو تنتج عند وقوع حرب نووية.

2.3.7 – التعرض المزمن Chronic Exposure

وتعبر هذه الحالة عن تعرض الإنسان اليومي والمتتالي لجرعات إشعاعية منخفضة كتلك التي يتعرض لها العاملون في المفاعلات النووية والمسرات. وبصورة عامة ولنفس الجرعة الإشعاعية الكلية المعرض لها الإنسان فإن خطر التعرض المزمن للإشعاع أقل من نظيره المتمثل في التعرض الحاد له. ومن ثم فإن جرعة إشعاعية معادلة للكلية والتي تؤثر على الإنسان لعدة ثواني ستسبب أخطاراً؛ بينما لا تمثل الجرعة الكلية تأثيرات تذكر إذا تعرض لها الإنسان خلال فترة طويلة أو لعدة سنوات.

وستتعرف فيما يلي على الوحدات المستخدمة لقياس كمية الإشعاع والجرعات الإشعاعية.

4.7 – كثافة تدفق الإشعاع (معدل سيولة الإشعاع):

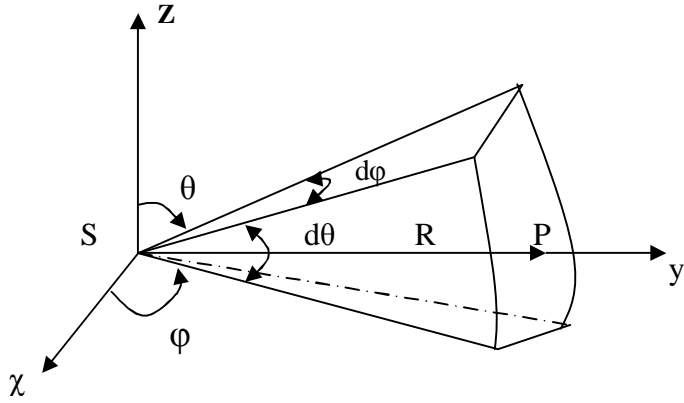
Radiation Flux Density (Fluidity Rate)

كثافة التدفق للجسيمات النووية أو الإشعاعات عند نقطة ما هي عبارة عن عدد الجسيمات المارة خلال مساحة قدرها 1 cm^2 (أو خلال وحدة المساحة) في الثانية عند هذه النقطة. ويمكن حساب كثافة التدفق للمصادر المشعة ذات الأشكال المختلفة. فإذا كان حجم المصدر صغيراً بالنسبة للمسافة حتى النقطة المطلوب تحديد كثافة التدفق عندها فيمكن اعتبار هذا المصدر نقطياً. ويوضح الشكل (1) كيفية حساب كثافة التدفق الناتج عن مصدر نقطي عند نقطة ما P تبعد مسافة R عن مركز المصدر S بحيث تكون المسافة R أكبر بكثير من نصف قطر المصدر. فكثافة التدفق ϕ تكتب كما يلي:

$$f = \frac{I}{A}$$

حيث I شدة المصدر مقاسة بوحدة Particles/s و A مساحة سطح الكرة التي يكون المصدر S في مركزها ونصف قطرها R. وحيث إن مساحة الكرة التي نصف قطرها R هي $4\pi R^2$ فتعطى كثافة التدفق كما يلي:

$$f = \frac{I}{4\pi R^2} \quad \text{Particles / s.cm}^2$$



الشكل (1)

أي أن كثافة التدفق عند نقطة معينة تتناسب طردياً مع شدة المصدر I وعكساً مع مربع المسافة عن النقطة المدروسة. ويطلق على كثافة التدفق، حسب الوحدات الدولية $S.I$ ، معدل سيولة الجسيمات.

وتُعرف العلاقة الأخيرة بقانون التربيع العكسي لكثافة التدفق. وفي كثير من الأحيان يصدر المصدر أنواعاً مختلفة من الإشعاعات أو إشعاعات من النوع نفسه ولكن بطاقات مختلفة. عندئذ يجب تحديد كثافة تدفق الإشعاعات للأنواع المختلفة. ويستخدم أحياناً مصطلح كثافة تدفق الطاقة Energy Flux Density. وتُعرف كثافة تدفق الطاقة على أنها كمية الطاقة المارة خلال وحدة المساحة في الثانية عند نقطة معينة. ولتحديد كثافة تدفق الطاقة فإنه يجب معرفة كثافة تدفق الإشعاعات وطاقتها. فإذا كانت لهذه الإشعاعات الطاقة E نفسها فتكون كثافة تدفق الطاقة تساوي:

$$D = E \phi$$

أما عند اختلاف طاقة الجسيمات فإنه يمكن تحديد كثافة تدفق الطاقة كما يلي:

$$D = \int_0^{E_{\max}} f dE$$

وعند استخدام الوحدات الدولية SI يطلق على كثافة تدفق الطاقة: معدل سيولة الطاقة.

5.7- التعرض: Exposure

عندما تتعرض الخلايا الحية للإشعاعات المؤينة تمتص هذه الخلايا جزءاً من الطاقة التي تحملها هذه الإشعاعات وربما الطاقة كلها. وهذه الطاقة الممتصة داخل الخلايا هي التي تؤدي إلى تلفها.

وتعرف كمية الإشعاعات التي يتعرض لها جسم الكائن الحي بالتعرض Exposure. أما كمية الطاقة التي امتصها الجسم الحي من هذه الإشعاعات فتعرف باسم الجرعة الممتصة Absorbed Dose.

وأنسب طريقة لقياس كمية الإشعاعات التي يتعرض لها جسم الكائن الحي (أي التعرض) هي قياس الشحنة الكهربائية الناتجة عن تأين الهواء لذا فقد اتفق على اعتبار أن التعرض هو عبارة عن كمية التأين الناتجة عن أشعة X أو إشعاعات جاما في وحدة الحجم من الهواء الجاف عند الشروط الجوية النظامية (أي عند درجة حرارة 0°C وعند ضغط جوي مقداره 760mmHg).

ويقال التعرض بوحدة تعرف بالرونجن Roentgen. وتستخدم هذه الوحدة لقياس التعرض الناتج عن الأشعة السينية أو إشعاعات جاما ذات الطاقة المنخفضة، أي حتى 3MeV. وقد تم تعريف الرونتجن في أول الأمر بأنه كمية الأشعة السينية (أي التعرض) التي تؤدي إلى إنتاج شحنة كهربائية (سالبة أو موجبة) مقدارها وحدة واحدة كهروستاتيكية 1esu في 1 سم³ من الهواء الجاف عند الشروط النظامية، أي أن:

$$1R = 1 \text{ esu/ cm}^3 \text{ air}$$

وحيث أن كثافة الهواء عند الشروط النظامية هي 0.001293 g/cm^3 وأن الوحدة الكهروستاتيكية مرتبطة بالكولون C بالعلاقة:

$$1C = 3 \times 10^9 \text{ esu}$$

فإن تعريف الرونتجن يصبح وحسب النظام S.I كما يلي:

$$1 R = 1/[(0.001293) \cdot (3 \times 10^9)] = 2.58 \times 10^{-7} \text{ C/g}$$

أي أن الرونتجن هو التعرض الذي يؤدي إلى إنتاج شحنة كهربائية مقدارها 2.58×10^{-4} كولون في 1kg من الهواء الجاف عند الشروط النظامية. وحيث أن شحنة الإلكترون أو الأيون تساوي $1.6 \times 10^{-19} \text{ C}$ فيعني هذا أن 1R يولد عدداً من الأزواج الكترون – أيون يساوي:

$$2.58 \times 10^{-4} / 1.6 \times 10^{-19} = 1.61 \times 10^{15} \text{ Pairs/ kg}$$

أي: 1.61×10^{15} زوجاً لكل كيلو جرام من الهواء الجاف والشروط النظامية.

وحيث إن الطاقة اللازمة لإنتاج زوج الكترون — أيون واحد في الهواء الجاف هي 34eV،
أي:

$$34 \times 1.6 \times 10^{-19} = 5.44 \times 10^{-18} \text{ J}$$

فتكون الطاقة الممتصة في 1kg من الهواء الجاف نتيجة للتعرض بمقدار 1R تساوي:

$$1.61 \times 10^{15} \times 5.44 \times 10^{-18} = 8.76 \times 10^{-3} \text{ J/kg air}$$

$$= 0.00876 \text{ J/kg air}$$

وعلى الرغم من أن وحدة الرونتجن مازالت مستخدمة في بعض الأحيان إلا أن هذه الوحدة ليست كافية لأنها تطبق فقط على الإشعاعات السينية وأشعة جاما ذات الطاقة المنخفضة عند مرورها في الهواء الجاف. ولما كان الهدف الرئيس هو وقاية جسم الإنسان والكائنات الحية الأخرى من الإشعاعات المؤينة، ونظراً لاختلاف امتصاص الطاقة في أنسجة الجسم عنه في الهواء فإنه يجب إيجاد وحدة أخرى تتطبق على أنسجة الجسم. وقد وجد أن الطاقة الممتصة في الجسم البشري والناجمة عن تعرض مقداره 1R هي 0.0096 J/kg.

لذا فقد تم إدخال مفهوم آخر يعرف بجرعة الإشعاعات الممتصة.

6.7 — الجرعة الإشعاعية الممتصة Radiation Absorbed Dose

الجرعة الممتصة هي عبارة عن كمية الطاقة التي تنتقل من الإشعاعات للجسم المعين، ويستخدم هذه الإصطلاح لجميع أنواع الإشعاعات ولجميع الأجسام والمواد، ولقد استخدمت في أول الأمر وحدة تُعرف بالراد (rad) لقياس الجرعة الممتصة في المادة.

أب الراد Rad:

عبارة عن انتقال كمية من الطاقة مقدارها 100 ergs لكل جرام من المادة الممتصة عند مرور الإشعاعات فيها، أي أن:

$$1 \text{ rad} = 100 \text{ ergs/g}$$

$$1 \text{ erg} = 10^{-7} \text{ J} \quad \text{فإن:}$$

$$1 \text{ rad} = 100 \times 10^{-7} / 10^{-3} \text{ J/kg}$$

$$= 0.01 \text{ J/kg}$$

ب - الجراي Gray:

طبقاً لنظام الوحدات العيارية الدولية SI فقد استخدمت وحدة جديدة لقياس الجرعة الممتصة هي الجراي Gray نسبة إلى الفيزيائي جراي الذي كان أول من أوجد الطرق العملية الدقيقة لقياس الجرعة الممتصة. والجراي هي الجرعة من الطاقة الممتصة مقدارها 1J لكل كيلو جرام من المادة، أي أن: $1 \text{ Gy} = 1 \text{ J/kg} = 100 \text{ rad}$

7.7 - التكافؤ بين الرونتجن والراد:

نشير إلى أنه في معظم الأحيان يتم تدريب أجهزة قياس الجرعات بوحدات الرونتجن وذلك بغرض قياس التعرض. كذلك يُلاحظ أن العديد من جداول الجرعات موضوعة بوحدات الراد. لذلك يجب معرفة علاقة التكافؤ بين هاتين الوحدتين لإجراء التحويلات اللازمة من قراءة الجهاز بالرونتجن إلى قيمة الجرعة الممتصة بالراد أو الجراي.

لقد بينا سابقاً أن تعرضاً مقداره 1R يكافئ جرعة ممتصة مقدارها 0.00876 J/kg أو يكافئ 0.0096 جول لكل كيلو جرام من جسم الإنسان ولما كان:

$$1 \text{ rad} = 0.01 \text{ J/kg}$$

فإن: 1R في الهواء يكافئ $0.876 \text{ rad} = 0.00876 \text{ Gy}$ و 1R في جسم الإنسان يكافئ $0.96 \text{ rad} = 0.0096 \text{ Gy}$

ونبين العلاقة الأخيرة أن تعرضاً مقداره 1R يكافئ بالنسبة لجسم الإنسان 1rad تقريباً. ولكن يجب أن يؤخذ بعين الاعتبار أن الرونتجن قد عُرِف أساساً للإشعاعات السينية وأشعة جاما، أما الراد فيشمل جميع أنواع الإشعاعات.

8.7 - التأثير البيولوجي داخل جسم الإنسان:

Biological Effects Inside Human Body

يختلف التأثير البيولوجي في جسم الإنسان والنتائج عن الجرعة نفسها باختلاف نوع الإشعاعات. فمثلاً يلاحظ أن التأثير البيولوجي الناتج عن جرعة مقدارها $1 \text{ Gy} (100 \text{ rad})$ من النيوترونات السريعة أكبر بمقدار عشر مرات من التأثير الناتج عن الجرعة نفسها من الإشعاعات السينية. لذا فإنه يجب معرفة ما يسمى بالتأثير البيولوجي النسبي RBE.

1.8.7 - التأثير البيولوجي النسبي: (RBE) Relative Biological Effect

RBE هو عبارة عن نسبة الجرعة الممتصة من إشعاعات جاما عند طاقة معينة إلى الجرعة الممتصة من أي نوع آخر من الإشعاعات بحيث يكون التأثير البيولوجي عنهما

واحداً. فمثلاً إذا كان التأثير الناتج عن جرعة مقدارها 0.2Gy (20rad) من النيوترونات البطيئة يعادل تماماً التأثير الناتج عن جرعة قدرها 1Gy (100 rad) من إشعاعات جاما عند طاقة معينة تكون قيمة الأثر البيولوجي النسبي RBE تساوي:

$$RBE = \frac{1}{0.2} = 5$$

أي أن تأثير النيوترونات البطيئة أقوى خمس مرات من تأثير إشعاعات جاما.

ويختلف RBE للإشعاعات باختلاف طاقاتها وباختلاف نوع ودرجة التلف البيولوجي الناتج عنها وكذلك باختلاف نوع النسيج والعضو. لذا فإنه لأغراض الوقاية الإشعاعية استخدمت كمية أخرى تعرف باسم معامل النوعية Q بدلاً من الأثر البيولوجي النسبي والذي تم استبداله أيضاً.

2.8.7 – العامل الوزني للإشعاع: Radiation Weighting Factor

أوصت اللجنة الدولية للوقاية من الإشعاع، في نشرتها الصادرة في كانون الثاني 1991 م، باستخدام مصطلح العامل الوزني للإشعاع W_R أو عامل الإشعاع المرجح بدلاً من معامل النوعية Q المستخدم سابقاً، حيث يمثل معامل النوعية متوسط التأثيرات البيولوجية النسبية على الجسم كله عندما تؤثر الإشعاعات في نقط محددة من كل عضو أو نسيج. أما العامل الوزني للإشعاع فقد أخذ في الحسبان الجرعة الممتصة في كامل العضو أو النسيج. ويبين الجدول (1) قيم العامل الوزني للإشعاع W_R للإشعاعات عند الطاقات المختلفة.

جدول (1): قيم العامل الوزني للإشعاع W_R للإشعاعات والطاقات المختلفة

الطاقات وطاقتها	قيمة العامل W_R
الأشعة السينية وإشعاعات جاما (جميع الطاقات)	1
الالكترونات والميونات (جميع الطاقات)	1
النيوترونات:	
— نيوترونات بطاقة أقل من 10keV	5

10	— نيوترونات بطاقة من 10 إلى 100 keV
20	— نيوترونات بطاقة من 100 إلى 2000 keV
10	— نيوترونات بطاقة من 2 إلى 20MeV
5	— نيوترونات بطاقة أكبر من 20MeV
10	البروتونات (غير المرتدة) بطاقة حتى 2MeV
20	جسيمات ألفا وشظايا انشطار نووي ثقيلة

3.8.7 — الجرعة المكافئة للعضو أو النسيج: H_T Equivalent Dose

مع استخدام العامل الوزني W_R بدلاً من معامل النوعية Q ، أوصت اللجنة الدولية للوقاية الإشعاعية باستخدام مصطلح الجرعة المكافئة للعضو أو النسيج بدلاً من مكافئ الجرعة للإنسان المستخدم سابقاً.

وتحدد الجرعة المكافئة H_T لعضو أو نسيج من أنسجة الجسم البشري بوساطة العلاقة التالية:

$$H_T = \sum_R W_R D_{TR} \quad (1)$$

حيث D_{TR} الجرعة الممتصة من نوع معين R من الإشعاعات في نسيج أو عضو معين T . ويتم جمع الجرعات المكافئة في النسيج المعين من الإشعاعات المختلفة للحصول على الجرعة المكافئة الكلية في النسيج.

4.8.7 — وحدات قياس الجرعة المكافئة:

تقاس الجرعة المكافئة في عضو أو نسيج بوحدتي الريم rem أو السيفرت sv حسب النظام المستخدم. فعند استخدام النظام الدولي للوحدات SI تقاس الجرعة الممتصة بالجراي Gy وعندئذ تقاس الجرعة المكافئة في العضو بالسيفرت SV . أما عند استخدام النظام السغثي $C.G.S$ تقاس الجرعة الممتصة بالراد rad وعندئذ تقاس الجرعة المكافئة بالريم rem .

مثال (1): في إحدى السنوات وصلت إلى رئتي أحد العاملين في مختبر نووي الجرعات التالية: 0.02 Gy (2 rad) نيوترونات حرارية (أي بطاقة أقل من 10keV) 0.05 Gy (5rad) نيوترونات بطاقة 14 MeV، 0.8Gy (80 rad) إشعاعات جاما. احسب الجرعة المكافئة في رئتي العامل أعلاه.

الحل:

باعتتماد العلاقة (1) والجدول (1) نكتب:

$$H_T = 5 \times 0.02 + 10 \times 0.05 + 1 \times 0.8 = 1.4 \text{ SV}$$

أي أن الجرعة المكافئة في رئتي العامل 1.4 سيفرت وباستخدام الراد rad نجد:

$$H_T = 5 \times 2 + 10 \times 5 + 1 \times 80 = 140 \text{ rem}$$

أي أن الجرعة المكافئة في رئتي العامل 140 ريم ولأن $1 \text{ Gy} = 100 \text{ rad}$ فإن $1 \text{ SV} = 100 \text{ rem}$ وهذا ما أوضحه هذا المثال.

5.8.7 – العامل الوزني للنسيج أو العضو : Tissue Weighting Factor

يعتمد احتمال الإصابة بالتأثيرات العشوائية للإشعاع (كالسرطان أو التأثيرات الوراثية) على نوع العضو أو النسيج المعرض للإشعاع.

ولحساب احتمال إصابة الجسم البشري بهذه التأثيرات فإنه يجب تحديد مدى إسهام كل عضو من أعضاء وأنسجة الجسم في هذا الاحتمال. ولعمل ذلك فإنه يجب وزن الجرعات المكافئة للأنسجة والأعضاء البشرية بمعامل خاص يطلق عليه اسم العامل الوزني للنسيج أو العضو أو عامل النسيج المرجح W_T . ويمثل هذا العامل الإسهام النسبي للنسيج أو العضو، أو عامل النسيج المرجح في الضرر الإجمالي للجسم للتأثيرات الناجمة عن تشعيع كامل الجسم تشعيعاً متجانساً. بمعنى آخر فإنه عند تشعيع الجسم البشري بشكل متجانس بالإشعاع يكون العامل الوزني للنسيج أو العضو هو نسبة إسهام هذا العضو في احتمال الإصابة بالتأثير العشوائي. ويبين الجدول (2) قيم العوامل الوزنية للأنسجة المختلفة للجسم البشري.

الجدول (2): قيم العوامل الوزنية W_T لأعضاء الجسم البشري

العضو أو النسيج	قيمة العامل الوزني W_T
الغدد التناسلية	0.20
النخاع العظمي الأحمر	0.12
القولون	0.12
الرئتين	0.12
المعدة	0.12
المثانة	0.05
الكبد	0.05
الاثني عشر	0.05

0.05	الغدد الدرقية
0.05	الصدر (الثدي)
0.01	الجلد
0.01	سطح العظام
0.05	باقي الأعضاء
1.00	كامل الجسم

6.8.7 – الجرعة الفعالة E The Effective Dose

أوصت اللجنة الدولية للوقاية الإشعاعية باستخدام مصطلح الجرعة الفعالة E بدلاً من المصطلح المتداول قبله وهو مكافئ الجرعة الفعالة. وترتبط الجرعة الفعالة بالتأثيرات العشوائية على كامل الجسم البشري بعد وزن الجرعات المكافئة للأعضاء طبقاً لإسهامها في الضرر العشوائي على كامل الجسم. أي أن الجرعة الفعالة هي مجموع حاصل ضرب الجرعة المكافئة لكل نسيج أو عضو في قيمة العامل الوزني لهذا النسيج أو العضو طبقاً للعلاقة التالية:

$$E = \sum_T W_T H_T \quad (2)$$

حيث W_T هو العامل الوزني للنسيج T؛ H_T هي الجرعة المكافئة في النسيج T.

ويتم جمع مساهمة جميع أنسجة وأعضاء الجسم البشري.

وتقاس الجرعة الفعالة بالوحدات المستخدمة لقياس الجرعة المكافئة نفسها وهي السيفرت

في النظام الدولي SI والريم في نظام الوحدات السغنية C.G.S.

مثال (2):

تعرضت أنسجة وأعضاء أحد فنيي المختبرات الطبية التي يتم تداول المواد المشعة فيها خلال عام إلى الجرعات التالية 150 mrem (1.5 mSV) للرتتين، 500mrem (5mSV) للمعدة 100 mrem (1mSV) للاثني عشر، 250mrem (2.5 mSV) للقولون، (0.5 mSV) 50 mrem للغدد التناسلية.

احسب الجرعة الفعالة التي حصل عليها هذا الفني بالـ mSV وبالـ mrem.

الحل:

باستخدام المعادلة (2) والتعويض عن الجرعة المكافئة H_T للأعضاء والأنسجة وعن العامل الوزني W_T (باستخدام الجدول 2) نجد:

$$\begin{aligned} E &= \sum_T W_T H_T \\ &= 0.12 \times 150 + 0.12 \times 500 + 0.05 \times 100 + 0.12 \times 250 + 0.2 \times 50 \\ &= 18 + 60 + 5 + 30 + 10 \\ &= 123 \text{ mrem} \end{aligned}$$

ولما كان $1 \text{ mSV} = 100 \text{ mrem}$ فإن: $E = 1.23 \text{ mSV}$

أي أن الجرعة الفعالة للجسم كله هي 123 mrem أو 1.23 mSV حيث الجرعة الفعالة هي الجرعة التي يجري على أساسها حساب المخاطر العشوائية واحتمالاتها.

7.8.7 – الجرعة الفعالة الجماعية: Collective Effective Dose

هي عبارة عن مجموع الجرعات الفعالة التي تودع في مجموعة بشرية محددة. وعند تساوي متوسط الجرعة الفعالة التي تودع في جميع أفراد المجموعة تكون الجرعة الجماعية E_c هي عبارة عن حاصل ضرب الجرعة الفعالة للفرد E في عدد الأفراد المتعرضين، أي أن:

$$E_c = n E$$

حيث n عدد الأفراد، وتقاس الجرعة الفعالة الجماعية بوحدة فرد. سيفرت Man Sievert.

9.7 – معدل الجرعة: Dose Rate

يعبر كل من الجراي Gy والسيفرت SV (أو الراد rad والريم rem) عن قيمة الجرعة الممتصة والجرعة المكافئة أو الفعالة التي حصل عليها عضو أو شخص ما خلال مدة زمنية معينة.

ولحساب قيمة الجرعة التي يتعرض إليها الشخص خلال زمن معين فإنه يجب معرفة ما يسمى بمعدل الجرعة. ومعدل الجرعة في مكان ما هو عبارة عن قيمة الجرعة التي يحصل عليها العضو أو الإنسان في وحدة زمن تواجدته في هذا المكان، أي:

$$\text{Dose Rate} = \frac{\text{Dose}}{\text{Time}}$$

مثال (3):

إذا كانت الجرعة الفعالة المسموح بها في الأسبوع هي 0.4 mSV فأوجد الزمن الذي يُسمح خلاله لشخص ما بالتواجد داخل معمل في الأسبوع إذا كان معدل الجرعة الفعالة داخل هذا المعمل هو 100 $\mu\text{SV/hr}$.

الحل:

$$\text{Effective Dose} = \text{Effective Dose Rate} \times \text{Time}$$

وبالتالي فالزمن المسموح به لتواجد شخص داخل المعمل خلال أسبوع كله هو:

$$\begin{aligned} \text{Time} &= \frac{\text{Effective Dose}}{\text{Effective Dose Rate}} \\ &= \frac{0.4 \times 10^{-3}}{100 \times 10^{-6}} = 4 \text{ hr} \end{aligned}$$

10.7 – حدود الجرعة المسموحة Maximum Permissible Dose

تأسست اللجنة الدولية للوقاية الإشعاعية International Commission ICRP Radiological Protection عام 1928، ومنذ ذلك التاريخ كانت هذه اللجنة هي الهيئة الدولية المسؤولة عن وضع الحدود القصوى من الجرعات الإشعاعية التي يُسمح بالتعرض لها، وعن إصدار التوصيات الخاصة بهذه الحدود. وكذلك التوصيات الخاصة بكيفية تداول ونقل وتخزين المواد والمصادر المشعة وغيرها. وتجدر الإشارة إلى أن معظم القوانين والتشريعات الخاصة بالتعرض للإشعاعات المؤينة والتي تسنها معظم الدول تتبثق أساساً عن توصيات هذه اللجنة.

وفي أول الأمر كانت التوصيات التي أصدرتها هذه اللجنة تقوم على أساس الوقاية من الإشعاعات السينية والإشعاعات الصادرة عن عنصر الراديوم. وكانت الحدود القصوى للجرعات الإشعاعية المسموح بها غير كافية الدقة (انظر البند الأول من الجدول 3 التالي).

وكانت أهم التوصيات الأولية لهذه اللجنة بشأن فترات التعرض للعاملين ما يلي:

أ – يجب ألا تزيد ساعات العمل في المختبرات أو الأماكن التي تحوي الإشعاعات أو المصادر المشعة على 7 ساعات في اليوم.

ب – يجب ألا تزيد أيام العمل على خمسة أيام في الأسبوع.

جـ — يجب ألا تقل الإجازة السنوية عن شهر في السنة.

د — يجب قضاء أيام العطلات والإجازات بعيداً عن تلك المختبرات أو الأماكن.

ونتيجة لتطور مصادر الإشعاعات وإنتاج العديد من المفاعلات النووية والمسرّعات في العالم، قامت هذه اللجنة في عام 1950 بإعادة النظر في توصياتها السابقة بحيث تتماشى هذه التوصيات مع العديد من المشكلات الناجمة عن هذا التطور.

وتقوم اللجنة بإعادة النظر في توصياتها وفي قيم الحدود القصوى للجرعات المسموح بها كلما دعت الحاجة إلى ذلك. وقد تم تخفيض الحد الأقصى للجرعات بصورة واضحة خلال السنوات القليلة الماضية.

ويبين الجدول التالي قيم الحدود القصوى المسموح بها. ويلاحظ من هذا الجدول حدوث خفض مستمر لقيمة الحد الأقصى لمعدل التعرض.

الجدول (3): الحدود القصوى المسموح بها للعاملين المهنيين والصادرة عن اللجنة الدولية للوقاية الإشعاعية وتواريخ صدورها.

مسلسل	معدل الجرعة	تاريخ الصدور
1	O.2R في اليوم أو 1R في الأسبوع	1934
2	150 msv في السنة (أي 15rem) أو ما يعادل 3msv في الأسبوع (أي 0.3 rem)	1950
3	50 msv في السنة أي ما يعادل 1msv في الأسبوع	1956
4	يجب أن يكون معدل التعرض أقل ما يمكن، بحيث لا تتجاوز الجرعة المكافئة (5rem) 50msv في السنة.	1977
5	يجب ألا تتجاوز الجرعة الفعالة السنوية للعاملين (20 msv في السنة) 20 rem ويجب ألا تتجاوز الجرعة الفعالة السنوية لعموم الجمهور 1 msv (0.1 rem)	1991

11.7 – جرعة التحمل Tolerance Dose

في أول الأمر، استخدمت اللجنة الدولية للوقاية الإشعاعية اصطلاح «جرعة التحمل» للتعبير عن التعرض الإشعاعي الذي يمكن أن يتحملة الإنسان. ولكن هذا الاصطلاح يعطي انطباعاً بوجود عتبة معينة لا يحدث قبلها ضرر إشعاعي، وإنما يحدث هذا الضرر بعدها. وبناءً على النتائج العملية المتوفرة فإنه لا توجد مثل هذه العتبة للأضرار الإشعاعية سواء الفورية أو الوراثية. لذا فقد أوصت اللجنة في عام 1958 باستخدام اصطلاح آخر يعرف بالحد الأقصى المسموح.

12.7 – الحد الأقصى المسموح للجرعة MPD

Maximum Permissible Dose

الحد الأقصى المسموح للجرعة MPD هو عبارة عن قيمة الجرعة الإشعاعية الفعالة سواء المتراكمة خلال فترات زمنية طويلة أم الناتجة عن تعرض واحد لفترة قصيرة، والتي يكون احتمال الإصابة بأضرار عشوائية (سواء ذاتية أو وراثية) نتيجة لها احتمالاً طفيفاً وذلك في ضوء المعلومات المتوفرة حينها. فعند تعرض مجموعة كبيرة من الأشخاص لجرعة إشعاعية تقع في حدود الحد الأقصى المسموح تكون نسبة الإصابة بأي من الأضرار العشوائية نسبة ضئيلة. كذلك فإن التأثيرات الأخرى لهذه الجرعة كقصر العمر مثلاً يكون محدوداً للغاية. لذا فإنه لا يمكن اكتشاف التأثيرات والأضرار الناتجة عن الجرعات الإشعاعية التي لا تزيد عن الحد الأقصى المسموح إلا بالطرق الإحصائية على مجموعات كبيرة من البشر أو الكائنات الحية عموماً.

لذا فقد أصدرت اللجنة الدولية للوقاية الإشعاعية في نشرتها السادسة والعشرين الصادرة عام 1977 توصية بعد استخدام اصطلاح الحد الأقصى المسموح به للجرعة MPD واستحداث نظام آخر بدلاً منه يعرف بنظام حدود الجرعات.

ويمكن تلخيص مبادئ هذا النظام في التالي:

- أ – لن يتم إقرار نظام معين للتعرض الإشعاعي ما لم يكن وراءه فائدة.
- ب – يجب أن يكون التعرض أقل ما يمكن وأن تؤخذ الظروف الاقتصادية والاجتماعية في الحسبان.
- ج – يجب ألا تتجاوز الجرعة الفعالة الحدود التي توصي بها اللجنة في آخر توصياتها.

13.7- توصيات اللجنة الدولية للوقاية الإشعاعية:

في النشرة السادسة والعشرين لـ ICRP، عام 1977، تم تقسيم التأثيرات الناجمة عن الإشعاعات المؤينة إلى نوعين رئيسيين هما التأثيرات العشوائية Stochastic Effects والتأثيرات الحتمية Deterministic Effects والتي تكون نتيجة لاستنزاف عدد كبير من خلايا الأعضاء والأنسجة.

ومن أهم أهداف الوقاية الإشعاعية - طبقاً لتوصيات اللجنة - ما يلي:

- 1- منع حدوث التأثيرات الحتمية وذلك بتحديد قيمة عتبة الجرعة لكل مرض من هذه الأمراض وخفض الجرعات المسموح بها إلى ما دون هذه العتبة.
- 2- خفض احتمال حدوث التأثيرات العشوائية وذلك بخفض معدل التعرض إلى أقل حد ممكن حتى يبقى احتمال الإصابة بهذه الأمراض في حدود مقبولة مع أخذ العوامل الاقتصادية والاجتماعية في الحسبان.

1.13.7 - حدود الجرعات الفعالة والمكافئة:

Effective and Equivalent Dose limits

لخفض التأثيرات العشوائية بين العاملين في المجالات الإشعاعية أوصت اللجنة الدولية للوقاية الإشعاعية في نشرتها رقم 26 عام 1977 بألا يزيد حد الجرعة الفعالة للمتعرضين للإشعاع مهنيًا عن 50 msv (5rem) في السنة من جميع مصادر التعرض.

وأما بالنسبة لعامة الجمهور فقد أوصت اللجنة بتطبيق حد لا يتجاوز 5msv (0.5rem) في السنة حتى ينخفض احتمال إصابتهم بالتأثيرات العشوائية بمقدار عشرة أضعاف بالمقارنة بالعاملين المهنيين في مجالات الإشعاعات.

كذلك أوصت اللجنة بحدود معينة للجرعات المكافئة لبعض أعضاء الجسم البشري بحيث يتحقق الهدفان السابقان للوقاية من الإشعاع.

وبعد المستجدات التي توصلت إليها كل من اللجنة العلمية للأمم المتحدة ولجنة التأثيرات البيولوجية للإشعاعات المؤينة، اتضح أن عامل المخاطرة الخاص بالإصابة بالأمراض السرطانية أعلى بكثير من العامل المستخدم سابقاً وهو حوالي 0.013 لكل فرد. سيفرت في

المتوسط للجنسين، أوصت اللجنة الدولية للوقاية الإشعاعية في نشرتها رقم 60 لعام 1991 بحدود أقل للتعرض المهني ولتعرض عموم الجمهور.

فبالنسبة للعاملين مهنيًا بالإشعاعات انخفض الحد السنوي إلى 20msv (2rem) وتمّ تحديد حدود للجرعات المكافئة لبعض أعضاء الجسم البشري، كما تمّ وضع حدود منخفضة للنساء العاملات وللمتدربين.

2.13.7 – تصنيف أماكن العمل:

قامت اللجنة بتصنيف أماكن العمل طبقاً للظروف الإشعاعية إلى نوعين:

أماكن الفئة أ:

وهي تلك الأماكن التي يمكن أن يتجاوز فيها التعرض $\frac{3}{10}$ حدود الجرعة الفعالة المسموحة. ويجب أن يخضع العاملون في مثل هذه الأماكن للوقاية الإشعاعية سواء بالنسبة للتعرض الخارجي أو التلوث الداخلي. كذلك يجب أن تخضع هذه المجموعة للفحوص الطبية الدورية كما يجب إجراء فحوص طبية لهم قبل إجراء أي عمليات جراحية.

أماكن الفئة ب:

وهي تلك الأماكن التي لا يتجاوز فيها التعرض $\frac{3}{10}$ حدود الجرعة المكافئة. وعموماً فإنه لا يخضع العاملون في مثل هذه الأماكن لفحوص ما قبل العمليات؛ ولكن يجب إخضاعهم للرقابة الإشعاعية للتأكد من أن التعرض فعلاً لا يتجاوز الحدود المبينة.

3.13.7 – حدود الجرعة الفعالة لعموم الجمهور:

Dos Equivalent Limits for Members of The Public

بالنسبة لعموم الجمهور، أوصت اللجنة الدولية للوقاية الإشعاعية في نشرتها رقم 60 عام 1991 بالحدود التالية للجرعات: لخفض التأثيرات العشوائية بين عموم الجمهور، يجب ألا يتجاوز حد الجرعة الفعالة 1 msv (0.1 rem) في السنة عند تعرض الجسم بأكمله لمجال إشعاعي منتظم. أما بالنسبة للمجال الإشعاعي غير المنتظم فتستخدم المعادلة (2) مع استخدام العوامل الوزنية المبينة في الجدول (2) لإيجاد الجرعة المكافئة للعضو إذا كانت هذه الجرعة لا تتجاوز التأثير الحتمي لهذا العضو.

4.13.7 – التعرض المخطط في ظروف خاصة:

Planned Special Exposure

في بعض الحالات الخاصة والنادرة تتطلب ظروف التشغيل والعمل ضرورة تواجد عدد قليل من العاملين في ظروف إشعاعية معينة قد يتعرضون فيها لجرعة إشعاعية تزيد على الحدود التي أوصت بها اللجنة. وفي مثل هذه الحالات التي لا تتوفر معها وسيلة بديلة لتعرض هؤلاء العاملين فإنه يسمح لأقل عدد ممكن من العاملين بالتعرض لجرعة لا تتعدى ضعف الحد السنوي المتفق عليه (أي لا تزيد على 100 msv لكامل الجسم) في المرة الواحدة. ولا تزيد على خمسة أضعاف الجرعة السنوية أي (250 msv) طول العمر كله.

وفي مثل هذه الحالات لا يُسمح بأي حال من الأحوال لأي عامل يكون قد سبق له التعرض لخمسة أضعاف الجرعة السنوية بأن يشترك في هذا التعرض. كذلك تمنع السيدات في سن الإنجاب من الاشتراك في هذا التعرض. إلا أنه في نشرة عام 1991 أوصت اللجنة الدولية للوقاية الإشعاعية بأنه يجوز أن يتعرض الفرد لجرعة قدرها 50msv في عام واحد بشرط ألا تتجاوز الجرعة خلال خمس سنوات متتالية 100 msv.

5.13.7 – التعرض غير العادي في حالات الطوارئ والحوادث الإشعاعية:

Abnormal Exposure in Emergencies, and Accidents

في حالات الطوارئ والحوادث الإشعاعية لا توجد حدود معينة للجرعات الإشعاعية. وقد أقرت اللجنة الدولية للوقاية الإشعاعية أنه لا يمكن إصدار توصيات خاصة بحدود الجرعات أو المستوى الإشعاعي في حالات الطوارئ والحوادث الإشعاعية نظراً لاختلاف طبيعتها. ولكن لخفض قيمة التعرض (سواء بالنسبة للعاملين أم لعامة الجمهور) الناتج عن حادث معين، فإنه من الضروري وجود خطة طوارئ تفصيلية سبق أن تدرب العاملون عليها.

وعموماً فإنه عند وضع خطة طوارئ يجب مراعاة البنود التالية:

أ – محاولة خفض التعرض إلى أقل قيمة ممكنة ومحاولة تلافي الجرعات الأعلى من حدود الجرعة الفعالة المسموحة.

ب – إعادة السيطرة على الموقف بأسرع ما يمكن.

ج – الحصول على المعلومات الخاصة بأسباب الحادث وتطوره والتصرف تبعاً لذلك.

وفي حالات الطوارئ يمكن أن يتعرض بعض المتطوعين إلى جرعات بهدف إنقاذ الأرواح البشرية أو منع حدوث أضرار جسيمة أو وقف تطور الحادث. ويصعب هنا وضع حدود معينة للجرعات حيث تختلف الظروف من حادث لآخر. ولكن من المحتمل أن تصل إلى بعض المتطوعين جرعات أعلى من الجرعات الفعالة المخططة، وخصوصاً إذا كان الأمر يتعلق بإنقاذ حياة بعض البشر. وعند إجراء عمليات الإنقاذ فإنه قد يكون من الصعب القيام بالأعمال الخاصة بتحديد المستويات أو معدل الجرعات الإشعاعية. ولكن يجب تنفيذ هذه الأعمال على وجه السرعة من قبل شخص أو أشخاص مؤهلين وذلك بغرض اتخاذ القرار على ضوء المعلومات التي ستوفرها هذه المجموعة المؤهلة.

ومن المحتمل أن تصل الجرعة للشخص القائم بالإنقاذ إلى 1Gy (100 rad). ويُسمح بالحصول على مثل هذه الجرعة إذا كان الأمر يتطلب إنقاذ حياة البشر. أما إذا تطلب القيام بالعملية الحصول على جرعة أعلى (أكبر من 1Gy) فإنه في هذه الحالة يجب الحكم بعناية والموازنة بين القيام بالمخاطرة ونتائج العملية. ومن أهم الاعتبارات التي يجب الأخذ بها في مثل هذه الحالات، ما يلي:

أ — مدى دقة المعلومات الخاصة بمعدل الجرعة في منطقة الحادث.

ب — ظروف المصابين ومدى احتمال بقائهم على قيد الحياة. فعلى سبيل المثال إذا كان معدل الجرعة الذي تمّ تقديره أقلّ بمرتين من المعدل الحقيقي للجرعة يمكن أن يحصل الشخص القائم بالإنقاذ على جرعة كافية لإصابته إصابة خطيرة بأحد الأمراض الفورية.

14.7-الحواجز (الدروع) الواقية Shielding

تعتبر الحواجز الواقية من أهم وسائل الوقاية من الأخطار الإشعاعية الخارجية. ففي بعض الأحيان تكون شدة المصدر كبيرة بحيث لا يمكن الاقتراب منه حتى لمسافة عدة عشرات من الأمتار وبالتالي فإنه لا يمكن إنجاز الأعمال عليه. كذلك فإن الاعتماد على عاملي المسافة والزمن فقط يتطلب وجود مسؤول الوقاية بصفة مستمرة حتى لا يتجاوز العاملون المسافات أو الأزمنة المحددة.

لذلك توضع المصادر المشعة عادة داخل دروع واقية. ويتوقف نوع مادة الدرع وسمكه على نوع الإشعاعات وطاقتها وشدة المصدر وكذلك على معدل الجرعة المطلوبة خارج الدرع.

فبالنسبة لمصادر جسيمات ألفا فإن الأمر لا يحتاج إلى أية دروع حيث إن هذه الجسيمات تمتص بالكامل خلال ورقة رقيقة (حيث يصل مداها في الهواء إلى حوالي 3.5 cm).

1.14.7- الدروع الواقية لمصادر بيتا:

ذكرنا أن جسيمات بيتا تتميز بقدرة على الاختراق أكبر بكثير بالمقارنة بجسيمات ألفا. ولعمل الدروع الواقية لمصادر بيتا التي تتراوح طاقاتها بين 0.5 و 10MeV يفضل استخدام مواد عددها الذري صغير مثل الألمنيوم أو البرسبكس Perspex ويتراوح سمك الدرع بين 0.5 cm وعدة سنتيمترات حسب طاقة الجسيمات. وتجب الإشارة إلى أن مثل هذا الدرع لا يكفي لأغراض الوقاية. فقد تعرفنا في الفصل الثالث على أن هذه الجسيمات تفقد طاقتها إما عن طريق تأيين أم إثارة المادة وإما عن طريق إصدار إشعاعات الكبح. لذا فإن درع الألمنيوم الذي يكفي لامتصاص هذه الجسيمات يصبح مصدراً لإشعاعات الكبح (أشعة سينية). وحيث إن طاقة جسيمات بيتا التي تفقد على شكل إشعاعات الكبح تتناسب طردياً مع العدد الذري للمادة وطاقة جسيمات بيتا فإنه يفضل أن تصنع الدروع الخاصة بمصادر بيتا من مادة خفيفة كالألمنيوم أو البرسبكس وذلك لتقليل كمية إشعاعات الكبح الصادرة. ولامتصاص الأشعة السينية الصادرة من الدرع الألمنيومي يحاط هذا الأخير بدرع آخر من الرصاص لقدرته الفائقة على امتصاص هذا النوع من الإشعاعات.

وقد يعتقد البعض أنه يمكن التعامل مع مصادر بيتا المكشوفة حيث إنها لا تشكل خطورة كبيرة بالمقارنة بإشعاعات جاما أو النيوترونات، ولكن هذا الاعتقاد خاطئ تماماً ويحمل خطورة جسيمة. ولبيان مدى هذه الخطورة يكفي أن نعرف أن معدل الجرعة الناتج عن مصدر بيتا شدته 1MBq (أي 3.7×10^{-2} mci) ومتوسط طاقته 0.6 MeV يكون مساوياً 0.3Gy/hr وذلك على مسافة 3mm من هذا المصدر.

2.14.7- حواجز الإشعاعات السينية وإشعاعات جاما:

تخضع الإشعاعات السينية وإشعاعات جاما عند مرورها خلال المواد لقانون الامتصاص المعروف بالقانون الأسّي exponential law (راجع الفصل الثالث) الذي ينص على أن كمية هذه الإشعاعات تتناقص أسياً مع زيادة سمك المادة الممتصة. ويتخذ هذا القانون الشكل الآتي:

$$I = I_0 e^{-\mu X}$$

وحيث إن معدل الجرعة يتناسب مع كمية الإشعاعات فإنه يمكن التعبير عن معدل الجرعة الناتجة عن هذه الإشعاعات كالآتي:

$$D = D_0 e^{-\mu x}$$

حيث إن D_0 معدل الجرعة قبل اختراق الحاجز، D هو معدل الجرعة بعد اختراق حاجز سمكه x cm، μ عامل الامتصاص الخطي لمادة الحاجز. ويعتمد عامل الامتصاص الخطي μ على نوع المادة المستخدمة في عمل الحاجز وعلى طاقة الإشعاعات. ووحدة هذا العامل هي مقلوب وحدة الطول (أي cm^{-1})

وقد ورد في الفصل الثالث تعريف السمك النصفى HVL وهو عبارة عن ذلك السمك من المادة المعينة الذي يؤدي إلى إضعاف كمية الإشعاعات الواردة عمودياً عليه إلى النصف. وباستخدام المعادلة السابقة نجد:

$$\frac{D}{D_0} = 0.5 = \exp(-\mu X)$$

ومنها يمكن إيجاد السمك النصفى وهو:

$$X_{1/2} = \frac{0.693}{\mu}$$

وهكذا فإن الحاجز ذا السمك النصفى يؤدي إلى خفض معدل الجرعة إلى النصف.

إذا كان سمك الحاجز خمسة أضعاف السمك النصفى، بالنسبة للإشعاعات ذات الطاقة

المعينة، فإنه يؤدي إلى إضعاف معدل الجرعة بمقدار $\left(\frac{1}{2}\right)^5 = \frac{1}{32}$ مرة. وعندما يكون سمك

الحاجز عشرة أضعاف السمك النصفى ينخفض معدل الجرعة بمقدار $\left(\frac{1}{2}\right)^{10} = \frac{1}{1024}$ مرة

وهكذا. واستخدام السمك النصفى مفيد للغاية عند إجراء الحسابات التقريبية السريعة لسمك

الحاجز المطلوب. ويتضح مما سبق أنه لمعرفة السمك النصفى لمادة ما ولإشعاعات ذات

طاقة معينة يكفي معرفة عامل الامتصاص الخطي لهذه المادة عند الطاقة المعينة. ويبين

جدول (4) قيم عامل الامتصاص الخطي μ وقيمة السمك النصفى $X_{1/2}$ بالسنتيمتر لبعض

المواد المستخدمة لعمل الحواجز والدروع الواقية عند قيم مختلفة لطاقة إشعاعات جاما.

وبالإضافة إلى السمك النصفى يستخدم أحياناً سمك آخر يسمى بالسمك العشري. وهو

عبارة عن سمك المادة الذي يؤدي إلى خفض معدل الجرعة عشر مرات أي أن:

$$X_{1/10} = \frac{\ln 10}{\mu} = \frac{2.303}{\mu}$$

جدول رقم (4)

إسمنت مسلح		رصاص		حديد		ماء		طاقة الإشعاعات (MeV)
(cm)X _{1/2}	m(cm ⁻¹)	(cm)X _{1/2}	m(cm ⁻¹)	(cm)X _{1/2}	m(cm ⁻¹)	(cm)X _{1/2}	m (cm ⁻¹)	
0.012	57.8	0.0005	1340	0.0005	1330	0.155	4.48	0.01
1.75	0.397	0.012	58.2	0.27	2.60	4.2	0.65	0.1
3.09	0.224	0.42	1.65	0.53	1.32	15	0.069	0.5
4.62	0.150	0.90	0.77	1.47	0.47	19	0.07	1.0
6.48	0.107	1.45	0.48	1.82	0.38	20	0.034	1.5
7.97	0.087	1.8	0.39	2.10	0.33	22.5	0.031	2.0
9.62	0.072	1.40	0.50	2.48	0.28	27.5	0.025	5
12.8	0.054	1.28	0.54	3.01	0.23	32.5	0.022	10

مثال (4):

مصدر كوبالت 60 موجود داخل غلاف معدني. فإذا علمت أن معدل الجرعة الناتج بدون الغلاف هو 320μSV / hr فما هو سمك الرصاص اللازم لخفض هذا المعدل حتى 10 μSV/hr؟ علماً بأن السمك النصفى للرصاص عند طاقة الكوبالت 60 هو 1.25 cm.

الحل:

$$\text{نسبة الخفض في معدل الجرعة} = \frac{320}{10} = 32 \text{ مرة.}$$

$$32 = 2^5$$

أي أن سمك الدرع المطلوب يعادل السمك النصفى 5 مرات.

$$\text{السمك المطلوب من الرصاص يساوي: } 5 \times 1.25 = 6.25 \text{ cm}$$

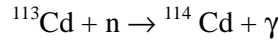
3.14.7 — حواجز النيوترونات السريعة:

درسنا في الفصل الثالث أن النيوترونات السريعة تفقد طاقتها أساساً عن طريق التشتت المرن على النوى الخفيفة. وقد ورد أنه يفضل استخدام مواد غنية بالعناصر الخفيفة كالهيدروجين لتهدئة النيوترونات. لذا فإنه عند عمل حواجز واقية من النيوترونات السريعة يجب أولاً تهدئة هذه النيوترونات وذلك باستخدام طبقة ذات سمك مناسب من الماء أو شمع

البرافين لاحتوائهما على الهيدروجين بنسبة عالية. وقد وجدنا (الفصل الثالث) أن متوسط عدد التصادمات اللازمة لتحويل النيوترون السريع إلى نيوترون حراري هو حوالي صدمة واحدة مع نوى الهيدروجين. وعند معرفة متوسط العمر الحر للنيوترون في المادة المعينة فإنه يمكن حساب سمك المادة (الماء أو البرافين) اللازمة لتهدة النيوترونات.

وبعد تحول النيوترونات السريعة إلى حرارية يصبح من السهل امتصاصها وذلك باستخدام مادة ذات مقطع عرضي كبير لامتصاص النيوترونات الحرارية.

وتستخدم مادة الكاديوم Cd لهذا الغرض حيث إن المقطع العرضي للامتصاص النيوتروني على الكاديوم كبير للغاية. ونتيجة للامتصاص النيوتروني تنطلق إشعاعات جاما طبقاً للتفاعل



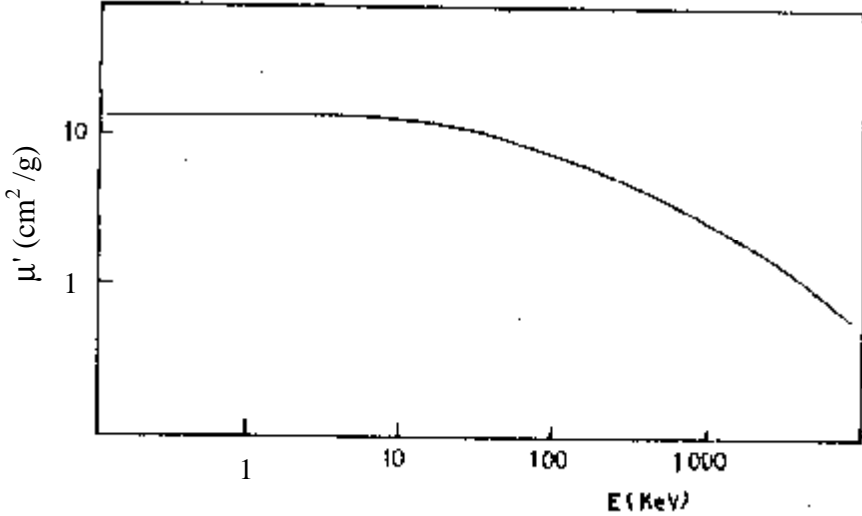
وهكذا فإنه عند عمل حواجز واقية من النيوترونات فإنه يستخدم سمك من الماء أو شمع البرافين (في حدود 25 – 30cm) يليه شريحة رقيقة من مادة الكاديوم لامتصاص النيوترونات الحرارية ثم تغطي هذه الشريحة الأخيرة بسمك من الرصاص أو الاسمنت المسلح وذلك لامتصاص إشعاعات جاما الناتجة.

وفي أغلب الأحيان لا تتاح إمكانية استخدام شرائح الكاديوم لامتصاص النيوترونات الحرارية وإنما يكفي باستخدام سمك كبير من الماء أو شمع البرافين. ويقوم الحاجز بعملية التهدة والامتصاص النيوتروني حيث يتناقص عدد النيوترونات تبعاً للقانون الأسّي الوارد في البند السابق مع اختلاف قيمة عامل الامتصاص μ للنيوترونات عن عامل امتصاص إشعاعات جاما. ويعتمد عامل الامتصاص النيوتروني اعتماداً كبيراً على طاقة النيوترونات وعلى نوع المادة الممتصة. ويبين الشكل (2) كيفية تغير هذا العامل بتغير طاقة النيوترونات وذلك لعنصر الهيدروجين عند وحدة الكثافة. فإذا كانت المادة المستخدمة للامتصاص النيوتروني عبارة عن مركب كيميائي يحتوي على الهيدروجين كأحد العناصر المكونة لها فإنه يجب معرفة النسبة الوزنية للهيدروجين في هذه المادة. وتكون كثافة الهيدروجين p' في هذا المركب هي عبارة عن حاصل ضرب كثافة المركب $x\rho$ النسبة الوزنية C للهيدروجين، أي أن:

$$p' = C\rho$$

عندئذ يكون عامل الامتصاص النيوتروني الفعلي μ هو عبارة عن حاصل ضرب كثافة الهيدروجين في المركب $\times p'$ عامل الامتصاص عند وحدة الكثافة μ' أي أن:

$$m = m' r'$$



السحن (μ) عامل الامتصاص النيوتروني عند وحدة الكثافة للهيدروجين حابع بصاته النيوترونات.

مثال (5):

مصدر نيوتروني يصدر نيوترونات سريعة بطاقة 7MeV، موضوع في مركز خزان ماء اسطواني الشكل. فإذا كان نصف قطر مقطع الاسطوانة 75cm، فكم من المرات ينخفض التدفق النيوتروني عند السطح الاسطواني للخران؟

الحل:

إن النسبة الوزنية للهيدروجين في الماء H_2O هي:

$$\frac{2}{18} = \frac{1}{9} = 0.11 = 11\%$$

كثافة الهيدروجين = كثافة الماء \times النسبة الوزنية للهيدروجين أونكتب:

$$\begin{aligned} \rho' (H) &= C(H) \times \rho (H_2O) \\ &= 0.11 \times 1 \\ &= 0.11 \text{ g/cm}^3 \end{aligned}$$

وبالعودة للشكل (2) نلاحظ أن عامل الامتصاص للنيوترونات بطاقة 7MeV يساوي 0.76 cm²/g عند وحدة الكثافة للهيدروجين.

وبالتالي فإن:

$$\begin{aligned}\mu(H) &= \mu' \times \rho'(H) \\ &= 0.76 \times 0.11 \\ &= 0.0836 \text{ cm}^{-1}\end{aligned}$$

وبالتالي السمك النصفى للهيدروجين في الماء:

$$c_{1/2}(H) = \frac{0.693}{m(H)} = \frac{0.693}{0.0836} = 8.3 \text{ cm}$$

وبالتالي فإن عدد مرات السمك النصفى يساوي:

$$9 \approx 9.04 = \frac{75 \text{ cm}}{8.3 \text{ cm}} \text{ مرات}$$

وبالتالي فإن التدفق النيوتروني، عند السطح الاسطواني، يضعف بمقدار

$$512 = 2^9 \text{ مرة}$$

مسائل الفصل السابع

1— احسب كثافة تدفق النيوترونات الناتج عن مصدر نيوتروني شدته

$$I = 3 \times 10^{10} \text{ Neutrons/s}$$

$$10 \text{ m}, 1 \text{ m}, 0.3 \text{ m}$$

2— مصدر كوبالت $^{60}_{27}\text{Co}$ ، يصدر إشعاعات جاما بطاقة 1.23 MeV فإذا علمت أن شدة

أشعة المصدر $I = 6000 \text{ Ci}$ فاحسب:

أ — كثافة تدفق إشعاعات جاما على مسافة 30 Cm و 5m عن مركز المصدر.

ب — احسب كثافة تدفق الطاقة عند المسافتين أعلاه.

الملحق A

أساسيات ميكانيك الكم في الفيزياء النووية

A. 1 - مقدمة :

لا يمكن فهم البنية النووية ولا البنية الذرية إلا بالاعتماد على مبادئ ميكانيك الكم. وكما رأينا من خلال هذا الكتاب، أن تسلسل العرض يمكن أن يُقطع لتقديم بعض نتائج معادلة شرودنجر التي تحل محل المعادلة الكلاسيكية للحركة. إن حلول معادلة شرودنجر، من أجل حالتين بسيطتين، توضح الأسس الفيزيائية جيداً لمفاهيم البنية النووية.

ولأن الفكرة المبدئية لميكانيك الكم تعتمد على نظرية دي بروي الموجية، فإننا نعطي عرضاً موجزاً للنظرية السابقة.

A. 2 - موجة دي بروي:

بين عامي 1900 و 1930، برهنت عدة تجارب حاسمة أن الميكانيك الكلاسيكي المعتمد على قوانين نيوتن والكهرطيسية المعتمدة على معادلات ماكسويل لا يمكنها الأخذ بالاعتبار تصرف الجسيمات في الذرات وداخل النوى. وأيضاً بينت تجارب إصدار وامتصاص الإشعاع الكهرطيسي أن الطاقة E_r للإشعاع لا يمكن أن تُصدر (بلانك 1901) وأن تُمتص (أينشتاين 1905) إلا بوساطة حزمة طاقة تُدعى كمّاً ولا يوجد أي شكل مستمر كذلك الذي تفرضه معادلات ماكسويل لتوضيح ذلك. وقيمة كل كم تُعطى كما يلي:

$$E_r = h \nu \quad (1)$$

حيث: h ثابت بلانك و ν تردد الموجة الكهرطيسية.

وبسهولة نربط كمّ الطاقة بالطول الموجي للإشعاع الكهرطيسي بوساطة المعادلة التالية:

$$E_r (MeV) = \frac{1240}{\lambda (F)}$$

وقدم تبعثر أشعة X بالكترونات الذرات (كمبتون 1923) البرهان على أن كمية حركة كم الإشعاع الكهرطيسي تُعطى كما يلي:

$$P_r = \frac{h}{\lambda} \quad (2)$$

وبالنتيجة فإنه من المنطقي أن نعتقد أن الإشعاع الكهرومغناطيسي يتكون من فوتونات تمتلك نفس خصائص ميكانيك الجسيمات.

وبالمقارنة مع كم الإشعاع الكهرومغناطيسي، فقد اقترح دي بروي عام 1924، أن الجسيمات المادية يجب أن يكون لها خصائص موجية مماثلة؛ أي تحقق المعادلة السابقة. وبفرض أن موجة دي بروي جيبية يمكن أن نستنتج التواتر والطول الموجي بالاعتماد على (1) و (2):

$$v_d = W/h \quad (3)$$

$$\lambda_d = h/P \quad (4)$$

حيث: W الطاقة الكلية للجسيم المدروس، والتي تعطى كما يلي:

$$W = m c^2 \quad (5)$$

$$m = \frac{m_0}{\sqrt{1 - J^2 / c^2}} \quad (6)$$

حيث كمية الحركة تعطى بالعلاقة:

$$P = m \vartheta \quad (7)$$

وضمن العلاقات السابقة فإن:

m : الكتلة الكلية للجسيم.

m_0 : كتلة الجسيم في حالة السكون.

ϑ : سرعة الجسيم.

c : سرعة الضوء.

ويجب أن نشير إلى أن:

$$W = m_0 c^2 + K$$

حيث: K الطاقة الحركية للجسيم، ومن أجل $c \gg \vartheta$ فإن:

$$K = \frac{1}{2} m_0 J^2 = \frac{1}{2} \frac{P^2}{m_0}$$

واعتماداً على العلاقات (5)، (6)، (7) نجد:

$$W^2 = P^2 c^2 + m_0^2 c^4$$

والتي تعطي، من أجل $m_0 = 0$ ، العلاقة بين E_r و P_r اعتماداً على المعادلتين (1) و(2). ومن أجل نيوترون أو بروتون نجد انطلاقاً من المعادلة $\lambda_d = h/p$ ومن أجل $c \gg v$ ، أن طول موجة دي بروي ترتبط بالطاقة الحركية K بالمعادلة التالية:

$$I_d (F) = \frac{28.6}{[K (MeV)]^{1/2}}$$

وقد أعطت تجارب تبعثر الإلكترونات على بلورات النيكل (دافيسون وجيرمر 1927) البرهان الحاسم على صحة فرض دي بروي والمبين بالمعادلة (4). ولقد اقترح شرودنجر عام 1926، وقبل تجربة دافيسون جيرمر، معادلة تفاضلية لموجة دي بروي أكثر عمومية من الصيغة الجيبية.

وقد استطاع بور، عام 1913، اعتماداً على فرض بلانك المعطى بالمعادلة (1)، وعلى فرض بور نفسه والذي ينص على أن كمية الحركة الزاوية للإلكترون في الذرة مكممة، أن يوضح الطيف الضوئي الصادر عن ذرة الهيدروجين. لكن معادلة شرودنجر سمحت بتوضيح الطيف السابق وبطريقة أسرع وأسهل.

A. 3- معادلة شرودنجر:

يمكن اعتبار موجة دي بروي كموجة رياضية توجه حركة الجسيم (بورن Born، 1926). مطال هذه الموجة Ψ تابع للمكان والزمان.

ومن الواضح أنه ليس بالإمكان استنتاج معادلة تعبر عن الموجة، إلا أنه توجد دلائل مختلفة يمكن أن تستخدم لربط معادلة شرودنجر بمفاهيم مألوفة مثل انحفاظ الطاقة. وضمن هذا المنحى يمكن أن نلاحظ أن قوانين الحركة لنيوتن في الميكانيك الكلاسيكي لا يمكن أيضاً أن تُستنتج، وإنما يمكن توصيفها بوساطة التجارب:

إن معادلة شرودنجر تكتب كما يلي:

$$-\frac{\hbar^2}{2m_0} \nabla^2 \Psi + V \Psi = i\hbar \frac{\partial \Psi}{\partial t} \quad (8)$$

حيث:

$\Psi = \Psi(x, y, z, t)$ تابع الموجة للجسيم؛

$$\nabla^2 \Psi = \frac{\partial^2 \Psi}{\partial c^2} + \frac{\partial^2 \Psi}{\partial y^2} + \frac{\partial^2 \Psi}{\partial Z^2}$$

$V = V(x, y, z, t)$ الطاقة الكامنة للجسيم.

فإذا كان V مستقلاً عن الزمن، فإنه بإمكاننا فصل إحداثيات المكان عن الزمن وذلك بفرض:

$$\Psi = \psi(x, y, z)\tau(t)$$

وبالتعويض في المعادلة (8) نجد:

$$-\frac{\hbar^2}{2m_0} \frac{\nabla^2 \psi}{\psi} + V = \frac{i\hbar}{t} \frac{d\tau}{dt} \quad (9)$$

وحيث إن الطرف اليساري من هذه المعادلة لا يتبع لإحداثيات المكان وأن الطرف الأيمن لا يتبع إلا للزمن، فإن المعادلة السابقة يمكن أن تكون محققة من أجل كل نقاط الفراغ وعند كل لحظة. ولذلك فإن كل طرف من طرفي المعادلة أعلاه يساوي نفس القيمة الثابتة. نفرض هذه القيمة E (حيث نرى فيما يلي أن E تمثل الطاقة الكلية غير النسبية للجملة). واعتماداً على الطرف الأيمن من المعادلة (9) نحصل على:

$$t = C e^{-i(E/\hbar)t}$$

وللسهولة نفرض أن الثابت الاختياري C يساوي الوحدة.

ويكتب الطرف الأيسر للمعادلة (9) كما يلي:

$$-\frac{\hbar^2}{2m_0} \nabla^2 \psi + V\psi = E\psi \quad (10)$$

حيث تسمى هذه المعادلة معادلة شرودنجر المستقلة عن الزمن، والتي نعود إليها غالباً.

ولتوضيح المعادلة السابقة نفرض أن التابع الموجي ψ لا يتبع إلا لإحداثي واحد، ليكن x :

$$\psi = \psi(x)$$

وهذا ليس صحيحاً إلا إذا كان V يتبع أيضاً فقط لـ x ، وبالتالي فإن:

$$\nabla^2 \psi = \frac{d^2 \psi}{dx^2}$$

ولذلك فإن المعادلة (10) تكتب كما يلي:

$$\frac{d^2 y}{dx^2} = -k^2 y \quad (11)$$

حيث يُدعى k عدد الموجة ويُعطى كما يلي:

$$k^2 = \frac{2m_0}{\hbar^2} [E - V(x)] \quad (12)$$

فإذا قبلنا أن V مستقل عن x فإن عدد الموجة k مستقل أيضاً عن x والمعادلة (11) تكافئ رياضياً معادلة الهزاز التوافقي البسيط، حلها:

$$\psi = a e^{ikx} + b e^{-ikx}$$

نعين الثابتين الاختياريين a و b اعتماداً على الشروط الحدية. وشكل خاص للمعادلة السابقة هو التابع الجيبي:

$$\psi = A \sin kx$$

والذي يمثل موجة دي بروي المشار إليها في الفقرة (2. A). وبالنتيجة فإن عدد الموجة مرتبط بالطول الموجي لدي بروي كما يلي:

$$k = \frac{2\pi}{\lambda}$$

وكمية حركة الجسيم p تُعطى بالمعادلة:

$$k = \frac{p}{\hbar}$$

وذلك لتتفق المعادلة السابقة مع المعادلة (4). فإذا عوضنا قيمة k المعطاة بالمعادلة السابقة في المعادلة (12) نجد:

$$\frac{p^2}{2m_0} + V = E \quad (13)$$

والتي تمثل كلاسيكياً قانون حفظ الطاقة. ونشير إلى أن القانون السابق، نحصل عليه في الميكانيك الكلاسيكي عندما تكون القوى، المؤثرة على الجسيم، محافظة. أو عندما يمتلك الجسيم طاقة كامنة (طاقة وضع) لا تتبع مباشرة للزمن. وهذا ما فرضناه لفصل إحداثيات المكان عن الزمن في التابع الموجي Ψ حيث انطلاقاً من هذا الفرض تنتج كل العلاقات

التالية. وبالتالي يمكن أن نقول إن المعادلة (10)، في ميكانيك الكم، هي المكافئ لقانون حفظ الطاقة.

واعتماداً على الحل الذي حصلنا عليه بالنسبة للتابع الزمني τ يمكن أن نحصل على النبض الزاوي ω ($\omega = 2\pi \nu$) للتابع الموجي كما يلي:

$$w = \frac{E}{h}$$

والذي يتفق مع علاقة دي بروي (3). فمعادلة شرودنجر، في ميكانيك الكم، مناظرة لقانون الطاقة اللانسبية. ولهذا السبب فإن E هي W وكل منهما متضمنة في المعادلة (13).

4. A – الشروط الحدية للتابع الموجي Ψ :

إن الحل البسيط ψ لمعادلة شرودنجر المستقلة عن الزمن يمكن أن يؤدي إلى نوعين من الأمواج المرتبطة بمعادلة شرودنجر (8) عندما يكون V مستقلاً عن الزمن: أمواج مستقرة وأمواج متقدمة. إن التابع Ψ يكتب اعتماداً على τ و ψ كما يلي:

$$\Psi = (a e^{ikx} + b e^{-ikx}) e^{-i\omega t}$$

ويذكر هذا بالموجة المستقرة لحبل، حيث الإزاحة y بالنسبة للاستقرار تُعطى كما يلي:

$$y = (a \sin kx + b \cos kx) \sin \omega t$$

وللحصول على الأمواج المتقدمة نكتب:

$$\Psi = a e^{i(kx - \omega t)} + b e^{-i(kx + \omega t)} \quad (14)$$

والذي يذكر بالموجة الجيبية المتقدمة في الاتجاه $+x$:

$$y = a \sin (kx - \omega t)$$

وبالموجة الجيبية المتقدمة في الاتجاه $-x$:

$$y = b \sin(kx + \omega t)$$

وإن من الجدير أن نلاحظ أنه يمكننا دوماً أن نتعرف، انطلاقاً من إشارة E ، على التابع الموجي ψ الممثل لموجة مستقرة أو لموجة متقدمة. ولنوضح ذلك، نفرض أن لدينا حالة من أجل بعد واحد وأن مدى القوى المؤثرة على الجسم محدود بحيث:

$$|x| \longrightarrow \infty \text{ عندما } V(x) \longrightarrow 0$$

فمن أجل $\infty \rightarrow |x|$ نجد، اعتماداً على المعادلة (12)، أن:

$$k = \left(\frac{2m_0 E}{\hbar^2} \right)^{1/2} \quad (15)$$

فإذا كانت $E > 0$ فإن قيمة k حقيقية. فيمكن اعتبار حل معادلة شرودنجر المعطى بالمعادلة (14) موجة متقدمة وذلك من أجل مسافة بعيدة جداً عن نقطة الأصل. إذا كانت $E < 0$ ، فالمعادلة (15) تبين أن k ، بعيداً عن نقطة الأصل، تخيلي (عقدي) صرف. ولنفرض أن: $k = iK$ حيث K عدد حقيقي وبالتالي فإن حل المعادلة (11) يعطى كما يلي:

$$y(x) = a e^{-Kx} + b e^{Kx} \quad (16)$$

حيث:

$$K = \left(\frac{2m_0 / E}{\hbar^2} \right)^{1/2}$$

وبالتالي فإن حل معادلة شرودنجر (9) يعطى كما يلي:

$$\Psi = y(x) e^{-i\omega t} \quad (17)$$

حيث $\psi(x)$ هنا يمثل تابعاً حقيقياً، ويمثل التابع Ψ السابق العلاقة الرياضية لموجة مستقرة.

وبالنتيجة، إذا كانت E موجبة فإن ψ يمثل، على مسافة بعيدة من مركز القوى، موجة متقدمة والإشارة السالبة لـ E تعني وجود موجة مستقرة.

إن الشروط الفيزيائية المفروضة على Ψ والتي سنوضحها فيما يلي، تملي أن يكون، في المعادلة (16)، $b = 0$ أو $a = 0$ عندما $x \rightarrow \pm\infty$. وحيث إن Ψ يصبح لا متناهيًا في الصغر بعيداً عن مركز القوة فالمعادلة (17) تبين أن حل الموجة المستقرة يمثل اضطراباً محلياً مهتزاً. وتدعى الحالة الموافقة للجسيم حالة مرتبطة. ومن جهة أخرى، فإن الموجة المتقدمة تمثل اضطراباً متجهاً نحو مركز القوة أو مبتعداً عنه؛ وهذا ما يمثل تبعثر جسيم أو انعراج موجة ضوئية بوساطة شق. وبعد الأخذ لمختلف عمليات التبعثر، بعين الاعتبار، والتي تمثل أساس معادلة شرودنجر فقد اقترح بورن عام 1926 أن التابع $\Psi(x, y, z, t)$ يمكن أن ينظر إليه كموجة شبح توجه حركة الجسيم، حيث تمثل العلاقة التالية:

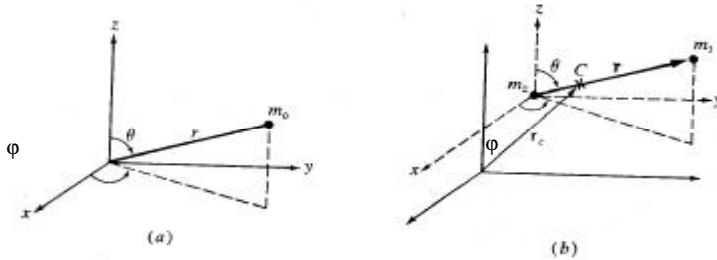
$$\Psi^* \Psi \, dx \, dy \, dz = |\Psi|^2 \, dx \, dy \, dz$$

احتمال وجود الجسيم ضمن العنصر الحجمي $dx dy dz$. وتمثل الكمية $|\Psi(x, y, z, t)|^2$ الاحتمال في وحدة الحجم بعد النقطة x, y, z . وسنرى فيما يلي ربط الاحتمال السابق بالاحتمال الكلاسيكي. وحيث أن $|\Psi|^2$ يمثل احتمالاً، بالمعنى الفيزيائي، فإن للتابع Ψ الخصائص (الشروط) التالية:

- 1- مستمر ويملك في كل نقطة قيمة وحيدة.
- 2- كل المشتقات الجزئية من الدرجة الأولى لـ Ψ ، والتي تمثل كثافة التيار أو تدفق الجسيمات (عدد الجسيمات بوحدة الزمن وبوحدة المساحة)، يجب أن تكون أيضاً مستمرة.
- 3- Ψ يجب أن يكون محدوداً.
- 4- عندما $V \rightarrow \infty$ فإن $\Psi \rightarrow 0$ حيث كل حد من معادلة شرودنجر المستقلة عن الزمن يجب أن يبقى محدوداً.
- 5- من أجل جسيم موجود في مكان محدد من الفراغ، مثل الكترون في ذرة الهيدروجين، فإن: $\int_V |\Psi|^2 dx dy dz = 1$ حيث إن $\Psi \rightarrow 0$ عندما $r \rightarrow \infty$ من أجل أية حالة مرتبطة. تسمى المعادلة السابقة شرط التنظيم (التوحيد).

A. 5 - معادلة شرودنجر في الإحداثيات الكروية:

العديد من الجهود الفيزيائية، مثل الجهد الكولوني، تمتلك تنظيراً كروياً. وفي هذه الحالة يمكن أن نبين (Schiff, 1955) أن التابع الموجي العام يمكن أن يتم فصله تبعاً للإحداثيات r, θ, ϕ والمبينة بالشكل (1a) كما يلي:



الشكل (1): الإحداثيات الكروية، (a) جملة جسيم واحد

(b) جملة جسيمات، نرسم بـ C لمركز الكتلة.

$$y(r, q, j) = R(r) \Theta(q) f(j) \quad (18)$$

علماً أن قيمة ϕ يجب أن تكون محدودة في كل مكان، ما يملئ أن تُعطى Θ و ϕ كما يلي:

$$\Theta(\theta) = P_\ell^{(m)}(\cos \theta)$$

$$\phi(\varphi) = e^{im\varphi}$$

حيث: $P_\ell^{(m)}$ توابع ليجنדר لـ $\cos \theta$ من الرتبة ℓ ؛

m , ℓ أعداد صحيحة (من ضمنها الصفر) مع $|m| \leq \ell$ ، أي m موجب وسالب، لكن ℓ موجب فقط.

ويمكن أن نبرهن أن ℓ و m ترتبط بكمية الحركة الزاوية L للجسيم، حيث قيمة L تُعطى كما يلي:

$$L = [\ell(\ell+1)]^{1/2} \hbar$$

ومسقط L وفق محور التكيم Z يساوي:

$$L_z = m \hbar$$

ويُعطى التابع القطري $R(r)$ ، المبين في المعادلة (18) كما يلي:

$$-\frac{\hbar^2}{2m_0} \frac{d^2 u}{dr^2} + \left[\frac{\ell(\ell+1)\hbar^2}{2m_0 r^2} + V(r) \right] u = Eu \quad (19)$$

حيث: $u = r \cdot R(r)$

لتبسيط المعادلة. يمكننا فهم الشكل العام لهذه المعادلة اعتماداً على أسس الميكانيك الكلاسيكي. لنأخذ حركة جسيم في مجال قوى مركزية، فالجسيم يملك حركة تقع في مستوى. لنحلل سرعته اللحظية \dot{r} وفق مركبتين \dot{r}_r , \dot{r}_t واللّتين تمثلان سرعة قطرية وسرعة مماسية لشعاع نصف القطر اللحظي r للجسيم كما هو مبين في الشكل (2).

يُعطى قانون حفظ الطاقة ما يلي:

$$\frac{1}{2} m_0 (J_r^2 + J_t^2) + V(r, q) = E \quad (20)$$

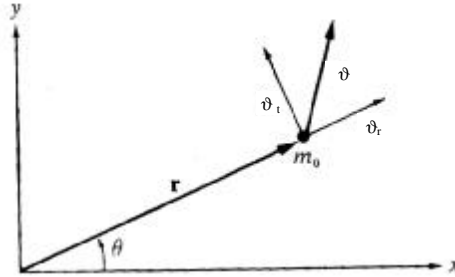
حيث $V(r, \theta)$ الجهد المرتبط بمجال (حقل) القوى المركزية. وبما أنه لا توجد أي مزدوجة تؤثر على الجسيم بوساطة القوة المركزية فكمية الحركة الزاوية L للجسيم

$$L = m_0 \dot{\theta} r$$

تمثل ثابتاً للحركة. وبالتعويض عن $\dot{\theta}$ ، الناتجة من المعادلة السابقة في المعادلة (20) نجد:

$$\frac{1}{2} m_0 \dot{r}^2 + \frac{L^2}{2m_0 r^2} + V(r, q) = E \quad (21)$$

وبمقارنة المعادلتين (21)، (19) نجد أنه توجد بينهما علاقة مشابهة لتلك العلاقة الموجودة بين المعادلتين (13)، (10).



الشكل (2): الحركة الكلاسيكية لجسيم تحت تأثير حقل قوى مركزية.

ونلاحظ أنه يمكننا أن ننقل من الميكانيك الكلاسيكي إلى ميكانيك الكم بواسطة التحويل:

$$L^2 \longrightarrow \mathbf{l}(\mathbf{l}+1)\hbar^2$$

$$P \longrightarrow -i\hbar \nabla$$

ومن المهم أن نشير هنا للحالة التي يكون فيها $\ell = 0$ (أو $L = 0$ أي من أجل كمية حركة زاوية مدارية معدومة)، أي:

$$-\frac{\hbar^2}{2m_0} \frac{d^2 u}{dr^2} + V(r) u = E u$$

فالمعادلة، هنا، لها شكل رياضي مماثل للمعادلة (11). ولنلاحظ أن تعريف u يتطلب: $u = 0$ عندما $r = 0$ لأن $R(r)$ يجب أن يكون محدوداً في أي مكان.

A. 6 – المعادلة الموجية لجسيمين يتبادلان التأثير:

في مسائل الفيزياء النووية، تصادفنا كثيراً حركة جسيمين فقط يخضعان لقوى متبادلة. ولذا فإنه من المفيد أن نقارن الطريقة الكلاسيكية لفصل حركة مركز الكتل والحركة حول مركز الكتل مع فصلهما في ميكانيك الكم. فإذا كان لدينا جسيما كتلتاهما m_1 و m_2 يتحركان

تحت تأثير القوتين المتبادلتين \vec{F}_1 , \vec{F}_2 فإن المعادلتين الكلاسيكيتين لحركتي الجسيمين بالنسبة لمركز محدد، هما:

$$\vec{F}_1 = m_1 \frac{d^2 \vec{r}_1}{dt^2}$$

$$\vec{F}_2 = m_2 \frac{d^2 \vec{r}}{dt^2}$$

$$\vec{F}_1 = -\vec{F}_2 \quad \text{حيث:}$$

نعرف إحداثيات مركز الكتل (الشكل 1b) كما يلي:

$$\vec{r}_c = \frac{\vec{r}_1 m_1 + \vec{r}_2 m_2}{m_1 + m_2} \quad (22)$$

فحركة كل جسيم يمكن التعبير عنها بالنسبة لمركز كتلة الجملة.

وبما أن القوتين \vec{F}_1 , \vec{F}_2 متعاكستين فإن القوة الكلية $\vec{F}_1 + \vec{F}_2$ للجملة $m_1 + m_2$ معدومة. ومن هذا، فإن مركز الكتل يتحرك بسرعة ثابتة. وبالاتماد على الشكل (1b) نجد أن: $\vec{r} = \vec{r}_1 - \vec{r}_2$ حيث r المسافة بين m_1 و m_2 . واعتماداً على ذلك نكتب:

$$\vec{r}_1 = \vec{r}_c + \vec{r} \frac{m_2}{m_1 + m_2} \quad (23)$$

$$\vec{r}_2 = \vec{r}_c + \vec{r} \frac{m_1}{m_1 + m_2}$$

وحيث إن $dr_c / dt = \text{Cte}$ فإن:

$$\vec{F}_1 = M_0 \frac{d^2 \vec{r}}{dt^2}$$

وذلك بفرض:

$$M_0 = \frac{m_1 m_2}{m_1 + m_2}$$

والتي تمثل الكتلة المختزلة.

إن فصلاً للحركة، شبيه بذلك الذي يُجرى في الحالة الكلاسيكية، يمكن أن يتم بالنسبة لمعادلة شرودنجر .

وفي هذه الحالة فإننا نلاحظ، من أجل جسيمين، أن المعادلة (10) يمكن أن تكتب:

$$-\frac{\hbar^2}{2m_1} \nabla_1^2 \psi - \frac{\hbar^2}{2m_2} \nabla_2^2 \psi + V\psi = E\psi \quad (24)$$

فالتابع الموجي ψ يتبع لـ r_1 , r_2 ولكن من أجل التأثيرات المتبادلة فإن V لا يتبع إلا لـ $\vec{r} = \vec{r}_1 - \vec{r}_2$. وباستخدام الإحداثيات الديكارتية، $\nabla_1^2 \psi$ يكتب كما يلي:

$$\nabla_1^2 \psi = \frac{\partial^2 \psi}{\partial x_1^2} + \frac{\partial^2 \psi}{\partial y_1^2} + \frac{\partial^2 \psi}{\partial z_1^2}$$

وبنفس الطريقة يكتب $\nabla_2^2 \psi$ ، وحيث إن x_1 و x_2 يتبعان لـ x_c و x ومعطيان بالمعادلات (22)، (23) فإننا نكتب:

$$\begin{aligned} \frac{\partial \psi}{\partial x_1} &= \frac{\partial \psi}{\partial x} \cdot \frac{\partial x}{\partial x_1} + \frac{\partial \psi}{\partial x_c} \cdot \frac{\partial x_c}{\partial x_1} = \frac{\partial \psi}{\partial x} + \frac{\partial \psi}{\partial x_c} \frac{m_1}{m_1 + m_2} \\ \frac{\partial^2 \psi}{\partial x_1^2} &= \frac{\partial}{\partial x_1} \left(\frac{\partial \psi}{\partial x_1} \right) = \frac{\partial}{\partial x} \left(\frac{\partial \psi}{\partial x_1} \right) \frac{\partial x}{\partial x_1} + \frac{\partial}{\partial x_c} \left(\frac{\partial \psi}{\partial x_1} \right) \frac{\partial x_c}{\partial x_1} \\ &= \frac{\partial^2 \psi}{\partial x^2} + \frac{\partial^2 \psi}{\partial x \partial x_c} \frac{2m_1}{m_1 + m_2} + \frac{\partial^2 \psi}{\partial x_c^2} \left(\frac{m_1}{m_1 + m_2} \right)^2 \end{aligned}$$

وبنفس الطريقة نجد:

$$\frac{\partial^2 \psi}{\partial x_2^2} = \frac{\partial^2 \psi}{\partial x^2} - \frac{\partial^2 \psi}{\partial x \partial x_c} \cdot \frac{2m_1}{m_1 + m_2} + \frac{\partial^2 \psi}{\partial x_c^2} \left(\frac{m_2}{m_1 + m_2} \right)^2$$

وبالتالي المعادلة (24) تكتب كما يلي:

$$-\frac{\hbar^2}{2M_0} \left(\frac{\partial^2 \psi}{\partial x^2} + \frac{\partial^2 \psi}{\partial y^2} + \frac{\partial^2 \psi}{\partial z^2} \right) - \frac{\hbar^2}{2(m_1 + m_2)} \left(\frac{\partial^2 \psi}{\partial x_c^2} + \frac{\partial^2 \psi}{\partial y_c^2} + \frac{\partial^2 \psi}{\partial z_c^2} \right) + V\psi = E\psi$$

حيث M_0 تمثل الكتلة المختزلة. وحيث إن V مستقل عن x , y , z فيمكن فصل المتغيرات ضمن هذه المعادلة باستخدام:

$$\psi(r, r_c) = \psi_0(r) \psi_c(r_c)$$

وبعد القسمة على الجداء $\psi_0 \psi_c$ نجد:

$$\left[-\frac{\hbar^2}{2M_0} \frac{\nabla^2 \psi_0}{\psi_0} + V\right] + \left[-\frac{\hbar^2}{2(m_1+m_2)} \frac{\nabla^2 \psi_c}{\psi_c}\right] = E$$

وبفصل الطاقة E الكلية إلى طاقة مركز الكتل E_c وطاقة بالنسبة لمركز الكتل E_0 فإن المعادلة السابقة تسمح بكتابة المعادلتين:

$$-\frac{\hbar^2}{2M_0} \nabla^2 \psi_0 + V\psi_0 = E_0\psi_0 \quad (24')$$

$$-\frac{\hbar^2}{2(m_1+m_2)} \nabla^2 \psi_c = E_c\psi_c$$

إن المعادلة الأولى تشبه المعادلة (10) والتي تخص جسيماً واحداً، أما المعادلة الثانية فهي معادلة الحركة لمركز الكتل بسرعة ثابتة.

يجب أن نتذكر أن المعادلة (19) تتطابق مع (24')، حيث كمية الحركة الزاوية $\hbar \sqrt{1(1+1)}$ يجب أن تكون الآن مجموع كميتي الحركة الزاوية لكل من الجسيمين حول مركز الكتل.

A. 7- جسيم ضمن مكعب مغلق:

لنطبق الآن معادلة شرودنجر المستقلة عن الزمن (10) على حالتين بسيطتين واللّتين تعطينا أفكاراً محددة عن نظام كمي مثل النواة. الحالة الأولى، تمثل جسيماً ضمن مكعب مغلق يحاكي جسيماً في حالة مرتبطة كالكترون في الذرة أو كنيوكلون في النواة. والحالة الثانية تمثل حزمة من الجسيمات.

يُمثل المكعب المغلق بجهد قيمته غير محدودة عند الأوجه بحيث لا يمكن للجسيم أن يخرج خارج المكعب. وبالتالي فإن Ψ يجب أن يكون معدوماً خارج المكعب (انظر الخاصة الرابعة من خصائص Ψ). ولهذا، فإننا نفرض $V = 0$ داخل المكعب كما هو مبين بالشكل (3). وبالتعويض في المعادلة (10)، وبعد الفرض:

$$\psi(x, y, z) = X(x) Y(y) Z(z)$$

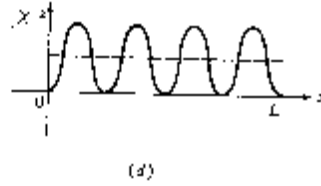
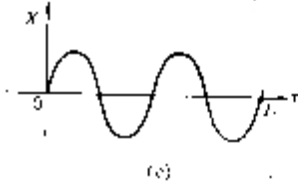
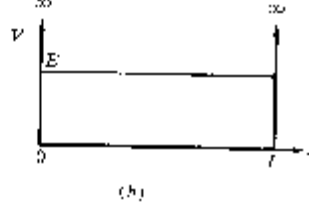
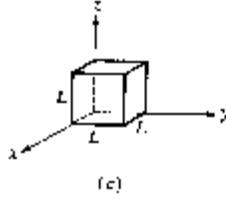
فإنه من السهل فصل المتحولات، فنحصل:

$$\frac{1}{X} \frac{d^2 X}{dx^2} + \frac{1}{Y} \frac{d^2 Y}{dy^2} + \frac{1}{Z} \frac{d^2 Z}{dz^2} = -k^2 \quad (25)$$

حيث k يُعرّف اعتماداً على الطاقة E وكتلة الجسيم m_0 كما يلي:

$$k^2 = \frac{2m_0 E}{\hbar^2}$$

كل حد من حدود الطرف الأيسر في المعادلة (25) يتبع لأحدائي مغاير ومستقل. وبما أن مجموع حدود الطرف السابق يساوي ثابتاً، فكل حد يجب أن يساوي ثابتاً. فمثلاً نفرض:



الشكل (3): جسيم ضمن مكعب مغلق. (a) تحديد المكعب. (b) شكل الجهد حيث E الطاقة الكلية للجسيم. (c) شكل تابع موجي نموذجي وحيد البعد ممتد على x ($n_x = 4$). (d) شكل الكثافة الاحتمالية الموافقة لـ c حيث أشرنا إلى الكثافة الاحتمالية الكلاسيكية بوساطة خط منقط.

$$\frac{1}{X} \frac{d^2 X}{dx^2} = -k_x^2 \quad (26)$$

ونفس الشيء بالنسبة للحددين الآخرين بحيث الثوابت المختلفة تحقق العلاقة التالية:

$$k_x^2 + k_y^2 + k_z^2 = k^2$$

إن المعادلة (26) من شكل المعادلة (11)، فهي تقبل حلاً من الشكل:

$$X = a_x e^{ik_x x} + b_x e^{-ik_x x}$$

ويُحدد الثابتان من الشرطين الحديين:

$$X(0) = 0, \quad X(L) = 0$$

وبمعرفه أن $e^{i\theta} = \cos\theta + i\sin\theta$ ، فالشرط الأول $X(0) = 0$ من الشرطين السابقين يؤدي إلى المعادلة:

$$X = A_x \sin k_x x$$

حيث A_x ثابت اختياري، والشرط الثاني $X(L) = 0$ يؤدي إلى:

$$k_x = \frac{n_x p}{L}$$

حيث: $n_x = 0, 1, 2, 3, \dots$. ونستبعد القيمة $n_x = 0$ لأن القيمة السابقة لـ n_x يجعل $\psi = 0$ في كل نقطة من نقاط المكعب وهذا ما يخالف شرط التنظيم (التوحيد) للتابع ψ ، والذي يعني أن الجسم غير موجود داخل المكعب.

وباستخدام نفس الطريقة بالنسبة للحلين Y و Z نجد:

$$Y = A_y \sin k_y y , \quad Z = A_z \sin k_z z$$

حيث:

$$k_y = \frac{n_y p}{L} , \quad k_z = \frac{n_z p}{L}$$

وبالتالي فإن التابع الموجي ψ يُعطى كما يلي:

$$\psi = A \sin k_x x \sin k_y y \sin k_z z \quad (27)$$

وذلك بفرض:

$$A = A_x \cdot A_y \cdot A_z$$

وكل مركبة من مركبات التابع السابق يمثل موجة دي بروي. فمثلاً الطول الموجي وفق المحور x يساوي:

$$l_x = \frac{2p}{k_x} = \frac{2L}{n_x}$$

وهذا هو الشرط اللازم لتوليد موجة مستقرة ضمن المكعب بحيث تتكون عقد عند وجوه المكعب.

واعتماداً على شرط التنظيم يمكن حساب الثابت A في التابع ψ المبين في المعادلة (27) كما يلي:

$$1 = A^2 \int_0^L \sin^2 \frac{n_x p x}{L} dx \int_0^L \sin^2 \frac{n_y p y}{L} dy \int_0^L \sin^2 \frac{n_z p z}{L} dz = A^2 \left(\frac{1}{2}L\right)^3$$

حيث كل تكامل يساوي $\frac{L}{2}$ لأن القيمة الوسطى لتابع مربع الجيب يساوي $1/2$. وباختيار القيمة الموجبة لـ A نكتب:

$$A = (2/L)^{3/2}$$

والذي يسمح بكتابة الحل المنظم الكامل كما يلي:

$$y = \left(\frac{2}{L}\right)^{3/2} \sin \frac{n_x p x}{L} \sin \frac{n_y p y}{L} \sin \frac{n_z p z}{L} \quad (28)$$

لنقارن الكثافة الاحتمالية $|\psi|^2$ مع نظيرتها الكلاسيكية. فحسب الميكانيك النيوتني، لدينا جسيم يرتد بمرونة على جميع وجوه المكعب المغلق ولا يعاني من أي تأثير متبادل. ولمثل هذا الجسيم سرعة ثابتة داخل المكعب وبالتالي فإن كثافته الاحتمالية تساوي $1/L^3$ ، وهذه هي القيمة التي تنتهي إليها الكمية $|\psi|^2$ عندما تسعى الأعداد n_x و n_y و n_z إلى ∞ حيث القيمة الوسطى لتابع مربع الجيب تساوي $1/2$. وهذا ما يُسمى بمبدأ التناظر Correspondence principle لبور (Bohr , 1923) حيث وحسب هذا المبدأ، فإن ميكانيك الكم يقترب من الميكانيك الكلاسيكي عندما تصبح الأعداد الكمية هنا (n_z, n_y, n_x) كبيرة جداً.

وبالعودة إلى تعريف k^2 نجد أنه يعطى، من أجل الجسيم الموجود داخل مكعب مغلق، كما

$$k^2 = \frac{2m_0}{\hbar^2} E \quad \text{يلي:}$$

وبالتعويض عن مركبات k أي عن k_z, k_y, k_x نجد:

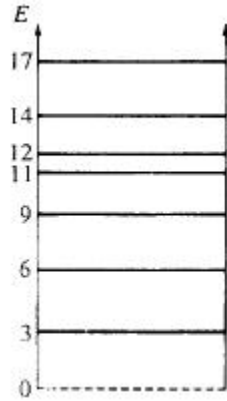
$$E = (n_x^2 + n_y^2 + n_z^2) \frac{p^2 \hbar^2}{2m_0 L^2} \quad (29)$$

وهكذا فإن الشروط الحدية للتابع ψ هي المسؤولة عن تكميم الطاقة E . وأيضاً، فالقيمة المحدودة والوحيدة لـ ψ (الشرطان 1 و 3 للتابع ψ) هي المسؤولة عن تكميم كمية الحركة الزاوية.

نبين في الجدول التالي مستويات الطاقة للجسيم مقدر بالوحدة $p^2 \hbar^2 / 2m_0 L$.

عدد المستويات	$(n_x^2 + n_y^2 + n_z^2)$	n_z	n_y	n_x
1	3	1	1	1
3	6	2	1	1
3	9	2	2	1
3	11	3	1	1
1	12	2	2	2
6	14	3	2	1
3	17	3	2	2

ونلاحظ في الجدول السابق أن الطاقة مقدرية بـ $(p^2 \hbar^2 / 2m_0 L)$ تأخذ القيمة 6 (مثلاً) في السطر الثاني وتوافق 3 مستويات من أجل $(n_z = 1, n_y = 2, n_x = 1)$ ، $(n_z = 2, n_y = 1, n_x = 1)$ ، $(n_z = 1, n_y = 1, n_x = 2)$. فالمستويات الثلاثة لها نفس الطاقة لكن ثلاثة توابع موجية مختلفة، وهذا ما يُسمى بانطباق الطاقة. ونلاحظ حالة انطباق الطاقة أيضاً في الأسطر الثالث والرابع والسادس والسابع من الجدول السابق.



الشكل (4): مستويات الطاقة لجسيم داخل مكعب مغلق.

نلاحظ أن حالة الطاقة الأدنى ليست هي الطاقة الصفرية.

نلاحظ في الشكل (4) مستويات الطاقة الموافقة للجدول السابق. وكما أشرنا سابقاً فإن الأعداد الكوانتية n_x, n_y, n_z لا يمكن أن تأخذ قيمة الصفر. وهكذا فإن الطاقة الأدنى لا تأخذ القيمة الصفرية. وهذا ما يتفق مع مبدأ الارتياب لهايزنبرج. فمن أجل حالة الطاقة الأقل فإن مركبة كمية الحركة P_x تقبل ترتيباً يساوي تقريباً:

$$\Delta P_x \approx 2P_x$$

وحيث إننا لا نستطيع تعيين مسار الجسيم بالاعتماد على التابع الموجي، فالترتيب في موضع الجسيم يساوي تقريباً:

$$\Delta x \approx L$$

وبما أن التابع الموجي يساوي موجة نصف جيبية وينعدم من أجل $x = 0$ و $x = L$ فإنه من غير الممكن تعيين الجسيم على مسافة من رتبة L . وبما أن $P_x = \hbar k_x$ وباستخدام العلاقة التي تعطي k_x أي $k_x = \frac{n_x P}{L}$ نجد:

$$\Delta P_x \cdot \Delta x \approx h$$

وهذه إحدى صيغ مبدأ الارتياب.

ولنحسب الآن قفزة الطاقة الناتجة عن المعادلة (29). فمن أجل الكترون في الذرة: $L = m_0 = 9.1 \times 10^{-28} \text{ g}$, 10^{-8} cm نجد:

$$\frac{p^2 \hbar^2}{2m_0 L^2} = \frac{p^2 (1.05 \times 10^{-27})^2}{2 \times 9.1 \times 10^{-28} \times 10^{-16}} = 0.5 \times 10^{-10} \text{ erg} \approx 30 \text{ eV}$$

من أجل نيوترون ضمن النواة: $m_0 = 1.6 \times 10^{-24} \text{ g}$, $L = 5 \times 10^{-13} \text{ cm}$ نجد:

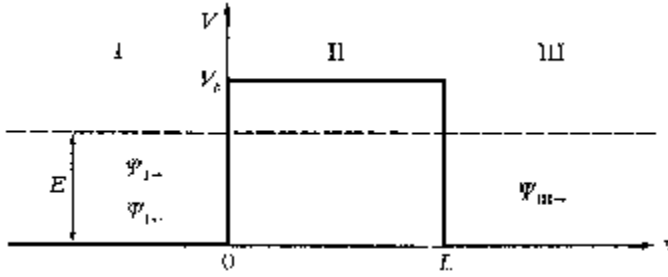
$$\frac{p^2 \hbar^2}{2m_0 L^2} \approx 6 \text{ MeV}$$

والقيمتان السابقتان المحسوبتان هما من رتبتين صحيحتين، وتسمحان لنا بتقدير الاختلاف الهائل بين الطاقة الذرية والطاقة النووية.

A. 8- اختراق جسيم لحاجز:

وكما أشرنا في بداية الفقرة السابقة، فإن الحالة الثانية التي سنطبق فيها معادلة شرودنجر (10) هي اختراق حزمة جسيمات لحاجز جهد وفق بعد وحيد. يناظر الحالة السابقة، في الفيزياء الكلاسيكية، حزمة من الكرات الصغيرة تتدحرج نحو قمة مستوي مائل. إنه من الواضح، إذا لم تكن الطاقة الكلية (غير النسبية) E لإحدى الكرات أكبر من الطاقة الكامنة (أكبر من طاقة الوضع) الثقالية V_b والموافقة لقمة المستوي المائل، فإن الكرة السابقة ستتدحرج دوماً نحو الأسفل أي ستتعاكس بواسطة حاجز الجهد. وبالعكس، من أجل $E > V_b$

فإن الكرة ستجتاز دوماً قمة المستوي المائل. إن النتائج السابقة تختلف في الجملة التي تكون فيها المفاعيل الكمية مهمة.



الشكل (5): حاجز جهد (كمون) بسيط وحيد البعد.

الجسيمات المتجهة نحو اليمين مشار إليها بتابع الموجة الممثل لها مع سهم يتجه نحو اليمين، وكذلك الجسيمات المتجهة نحو اليسار (قيم x السالبة) مشار إليها بتابع موجة مع سهم يتجه نحو اليسار.

يوضح الشكل (5) حاجز جهد بسيط ببعد وحيد. ونفرض أن حزمة الجسيمات قادمة من جهة قيم x السالبة وتجتاز الحاجز باتجاه اليمين. لنفرض أن كل جسيم يمتلك طاقة كلية E. وللسهولة، فإننا نقسم الفراغ لثلاث مناطق I, II, III، ونفرض أن $V_{III} = 0$, $V_{II} = V_b$, $V_I = 0$ ، وحيث إن $E > V_b$ ضمن المنطقتين I و III، فإنه بإمكاننا تمثيل الجسيمات بوساطة موجة متقدمة. ففي المنطقة I فإن بإمكان الجسيمات أن تنعكس باتجاه اليسار بعد صدمها للحاجز. وعلى العكس، فالجسيمات في المنطقة III لا يمكن أن تنعكس نحو اليسار حيث لا يوجد شيء في هذه المنطقة يمكنه أن يعكس الجسيمات نحو اليسار. وحلول المعادلة (11) في المنطقتين I و III هي:

$$y_I = a_1 e^{ikx} + b_1 e^{-ikx} = y_{I \rightarrow} + y_{I \leftarrow} \quad (30)$$

$$y_{III} = a_{III} e^{ikx} = y_{III \rightarrow} \quad (31)$$

وذلك بفرض:

$$k^2 = \frac{2m_0 E}{\hbar^2}$$

أما في المنطقة II فالمعادلة التي يجب أن نحلها هي:

$$\frac{d^2 y_{II}}{dx^2} = K^2 y_{II}$$

$$K^2 = 2m_0(V_b - E)/\hbar^2 \quad \text{حيث:}$$

والحل هو:

$$y_{II} = a_{II} e^{Kx} + b_{II} e^{-Kx} \quad (32)$$

ونرى أن الحل السابق يمثل موجة مستقرة.

إن النفاذية (احتمال عبور الحاجز) P لجسيمات سرعتها \hbar تساوي:

$$P = \frac{|y_{III \rightarrow}|^2 J}{|y_{I \rightarrow}|^2 J} = \frac{|a_{III}|^2}{|a_I|^2}$$

من وجهة نظر كلاسيكية فإن الجسيمات لا يمكن أن تتواجد في المنطقة II من الحاجز لأن طاقتها ستصبح سالبة، ومع ذلك فإن تطبيق مبدأ الارتياح على هذه الحالة يبين أنه إذا أردنا التأكد من وجود الجسيم في المنطقة II وجب علينا أن نعطي الجسيم كمية حركة كافية من أجل أن تصبح طاقته الحركية موجبة.

وأيضاً وباعتماد الميكانيك الكلاسيكي فإن الجسيمات تتحرك بسرعة \hbar بتناير يساوي $n\hbar$ حيث n عدد الجسيمات في وحدة الحجم. فكتافة التيار تساوي عدد الجسيمات التي تعبر، باتجاه معين، وحدة السطوح العمودية على \hbar وخلال وحدة الزمن. والتدفق يساوي عدد الجسيمات الذي يجتاز وحدة السطوح خلال وحدة الزمن. ومن أجل حزمة من الجسيمات، يمكن استخدام التدفق أو كثافة التيار (بحيث إن السطح يجب أن يكون عمودياً على متجه السرعة) بطرق مختلفة. إن العبارة الكمية الصحيحة لكثافة التيار معطاة في المرجع Schiff 1955. ومن أجل أمواج مستوية فإن الكثافة السابقة تساوي $\hbar |\psi|^2$.

ولحساب النفاذية P فإننا نقوم بتعيين العوامل (العقدية) a , b وذلك بفرض ψ و $d\psi/dx$ كل منهما مستمر من أجل $x = 0$ و $x = L$.

من أجل $x = 0$ نجد:

$y_{I \rightarrow} + y_{I \leftarrow} = y_{II}$ والذي يؤدي إلى $a_I + b_I = a_{II} + b_{II}$ ومن أجل $x = L$ نجد أيضاً:
 $y_{II} = y_{III \rightarrow}$ والذي يؤدي إلى $a_{II} e^{KL} + b_{II} e^{-KL} = a_{III} e^{ikL}$ وباشتقاق ψ نحصل على معادلات مماثلة.

إن الحساب التفصيلي لـ P معطى في المرجع إيفانس 1955 Evans حيث النتيجة تساوي:

$$P = \left[1 + \frac{V_b^2}{4E(V_b - E)} sh^2 KL \right]^{-1}$$

ومن أجل $KL \gg 1$ فإن: $sh^2 KL = \frac{1}{4} e^{2KL}$ وبالتالي فإن:

$$P \approx 16 \frac{E}{V_b} \left(1 - \frac{E}{V_b} \right) e^{-2KL}$$

وفي أغلب الحالات الفيزيائية، فإن العامل المسيطر هو العمل e^{-2KL} . فمن أجل بروتونات 5MeV وجهد $V_b = 10\text{MeV}$ وعرض حاجز $L = 10^{-12}\text{cm}$ (من مرتبة أبعاد النواة) نجد:

$$K = \frac{[2 \times 1.6 \times 10^{-24} \times (10 - 5) \times 1.6 \times 10^{-6}]^{1/2}}{1.05 \times 10^{-27}} \approx 5 \times 10^{12} \text{ cm}^{-1}$$

وبالتالي فإن:

$$e^{-2KL} = e^{-10} = 0.5 \times 10^{-4}$$

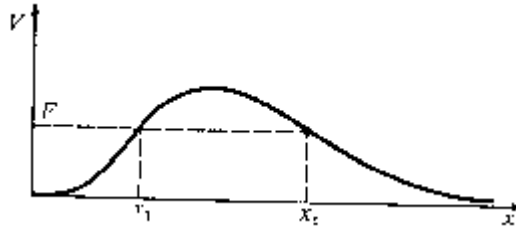
$$P = (16 \times 0.5 \times 0.5) \times 0.5 \times 10^{-4} = 2 \times 10^{-4}$$

وكثيراً ما تكتب النفاذية P كما يلي:

$$P \approx e^{-g}$$

$$g = 2KL = 2[2m_0(V_b - E)]^{1/2} \frac{L}{\hbar}$$

وعندما يكون V تابعاً لـ x، كما في الشكل (6)، يبرهن أن (سشيف 1955):



الشكل (6)

$$g = \frac{2}{h} \int_{x_1}^{x_2} \{2m_0 [V(x) - E]\}^{1/2} dx$$

x_1 و x_2 فاصلتنا الجهد $V(x)$ بحيث $E = V(x)$ كما هو مبين في الشكل (6).

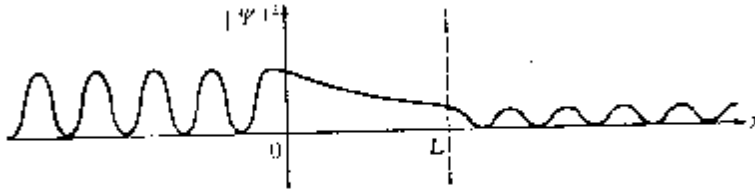
وكما فعلنا في الفقرة (A. 5)، فإننا نحصل، من أجل تناظر كروي، على معادلة ببعد وحيد:

$$g = \frac{2}{h} \int_{r_1}^{r_2} \{2m_0 [V(r) - E]\}^{1/2} dr$$

حيث لدينا هنا أيضاً: $P \approx e^{-g}$.

ونستعمل العبارة الرياضية السابقة لمعالجة تفكك ألفا كما هو مبين في الفصل الثاني من هذا الكتاب. وعندما ينتج الجهد عن التأثير المتبادل بين جسيمين فإن m_0 تمثل الكتلة المختزلة.

ويبين الشكل (7) شكل التابع الموجي الذي نحصل عليه، بعد تعويض قيم a ، b المعينة اعتماداً على الشروط الحديثة في المعادلات (30)، (31)، (32). ونلاحظ، في مثالنا، أن طاقة الجسيم لم تتغير على جانبي حاجز الجهد وبالتالي فإن الطول الموجي لم يتغير أيضاً وإنما الذي تغير مطال التابع الموجي.



الشكل (7): يوضح التابع الموجي بالنسبة لحاجز الجهد المبين في الشكل (5). يقع مصدر جسيمات ألفا عند $x = -\infty$

A. 9 - النوعية (الندية):

واضح من المعادلة (10) ومن عبارة $\nabla^2 y$ أن حلول معادلة شرودنجر لا تتغير عند إجراء التحويلات $(x \rightarrow -x, y \rightarrow -y, z \rightarrow -z)$ والتي تكافئ التحويل $(r \rightarrow -r)$ إذا كان:

$$V(-x_1, -y_1, -z) = V(x_1, y_1, z) \quad (33)$$

وبالتعريف فإن مؤثر النوعية هو تعويض r بـ $-r$. وفي كل عملية تأثير نوعية تتحقق من أجلها المعادلة (33) السابقة، أي يبقى الجهد لا متغيراً، نقول عن الجهد السابق أنه يحفظ النوعية. وعملياً، فإن كل الجهود في الفيزياء، حتى الجهود الناتجة عن القوى النووية، تتمتع بالخاصة السابقة.

من أجل جهد من الشكل المبين بالمعادلة (33)، فإن للتابع الموجي ψ نوعية زوجية إذا كان:

$$\psi(-r) = \psi(r)$$

$$\psi(-r) = -\psi(r) \quad \text{أما إذا كان:}$$

فإن للتابع الموجي ψ نوعية فردية.

إن حفظ النوعية في التفاعلات النووية يؤدي دوراً مهماً على حركة التطورات النووية (تفككات وتفاعلات). وبالنتيجة فإنه من المهم أن نحدد نوعية الحالات النووية بطريقة تجريبية أو نظرية. إن نوعية التابع الموجي (المستقر) يمكن عادة إيجادها اعتماداً على الأعداد الكمية. لنأخذ حالة الجسيم الواقع داخل المكعب المغلق (شكل a.3). إن نوعية التابع الموجي (28) غير محددة لأن $\psi = 0$ خارج المكعب، وبالتالي فإن:

$$\psi(-x) \neq \psi(x)$$

حيث إن وضع المكعب بالنسبة للمبدأ يؤدي إلى أن V لا يحقق المعادلة (33). وبإزاحة المبدأ إلى مركز المكعب فإن V يحقق المعادلة (33) ويكتب التابع الموجي (28) كما يلي:

$$y = \left(\frac{2}{L}\right)^{3/2} \sin\left(\frac{n_x p x'}{L} + \frac{n_x p}{2}\right) \sin\left(\frac{n_y p y'}{L} + \frac{n_y p}{2}\right) \sin\left(\frac{n_z p z'}{L} + \frac{n_z p}{2}\right)$$

حيث x' ، y' ، z' هي الإحداثيات بالنسبة لمركز المكعب، $(x' = x - \frac{L}{2}, \dots)$. من أجل كل القيم الفردية لـ n_x فإن العامل الجيبى الأول من التابع الموجي يساوي:

$$\pm \cos \frac{n_x p x'}{L}$$

وهكذا بالنسبة للعاملين الجيبين الآخرين، وبالتالي فإن:

$$\psi(-x', -y', -z') = \psi(x', y', z')$$

وللتابع الموجي نوعية موجبة.

ومن أجل كل القيم الزوجية لـ n_x فإن العامل الجيبي الأول من التابع الموجي يساوي:

$$\pm \sin \frac{n_x p x'}{L}$$

وهكذا بالنسبة للعاملين الجيبين الآخرين، مما يؤدي إلى:

$$\psi = (-x', -y', -z') = -\psi (x', y', z')$$

أي أن نوعية التابع الموجي سالبة.

وبالنتيجة يمكن أن نقول إن التابع الموجي السابق زوجي أو فردي حسب حاصل الجمع $(n_x + n_y + n_z)$ فردي أو زوجي.

ويمكن أن نبين أن للتابع الموجي المبين في المعادلة (18)، ومن أجل الجهود الكروية، نوعية زوجية تساوي $l^{(-1)}$ حيث l العدد الكمي المداري الذي يحدد العزم الزاوي المداري $\mathbf{h} \sqrt{l(l+1)}$ للجملة.

وهكذا يمكن القول بأننا قد أكملنا معرفتنا بمفاهيم ميكانيك الكم والتي نحتاجها لفهم البنية النووية.

الملحق B

جدول الكتل النووية التجريبية

يتضمن هذا الجدول ما يلي: رمز النواة Nucleus، العدد الكتلي A، العدد الذري Z، زيادة الكتلة Mass Excess مقدرة بـ MeV .

ونبين فيما يلي كيفية حساب كتلة عنصر ما اعتماداً على هذا الجدول. فمثلاً من أجل العنصر ${}^4\text{He}$ نجد من الجدول أن زيادة الكتلة تساوي: $\Delta = 2424.911 \text{ MeV}$ ولنعبر عن Δ بوحدة الكتل الذرية كما يلي:

$$\Delta = \frac{2424.911}{931480} = 0.0026034u$$

وبالتالي فإن:

$$M({}^4\text{He}) = 4 + \Delta = 4.0026034u$$

A	Z	nucleus	Mass access	A	Z	nucleus	Mass access	A	Z	nucleus	Mass access
1	0	n	8.071	16	5	B	37.140	20	8	O	3.796
1	1	H	7.289	17	5	B	43.310	21	8	O	8.066
2	1	H	13.136	18	5	B	52.280	22	8	O	9.44
3	1	H	14.95	19	5	B	59.360	23	8	O	14.540
4	1	H	25.84	8	6	C	35.094	24	8	O	18.790
3	2	He	14.931	9	6	C	28.913	14	9	F	33.610
4	2	He	2.424	10	6	C	15.699	15	9	F	16.77
5	2	He	11.39	11	6	C	10.65	16	9	F	10.68
6	2	He	17.592	12	6	C	0	17	9	F	1.951
7	2	He	26.11	13	6	C	3.125	18	9	F	0.873
8	2	He	31.598	14	6	C	3.02	19	9	F	-1.487
9	2	He	40.81	15	6	C	9.873	20	9	F	-0.017
4	3	Li	25.12	16	6	C	13.694	21	9	F	-0.047
5	3	Li	11.68	17	6	C	21.035	22	9	F	2.83
6	3	Li	14.085	18	6	C	24.92	23	9	F	3.35
7	3	Li	14.907	19	6	C	32.630	24	9	F	7.780
8	3	Li	20.945	20	6	C	37.070	25	9	F	10.940
9	3	Li	24.954	10	7	N	39.700	26	9	F	17.700
10	3	Li	33.84	11	7	N	24.89	16	10	Ne	23.989
11	3	Li	40.9	12	7	N	17.338	17	10	Ne	16.48
6	4	Be	18.374	13	7	N	5.345	18	10	Ne	5.319
7	4	Be	15.768	14	7	N	2.863	19	10	Ne	1.751
8	4	Be	4.941	15	7	N	0.101	20	10	Ne	-7.047
9	4	Be	11.347	16	7	N	5.682	21	10	Ne	-5.737
10	4	Be	12.607	17	7	N	7.871	22	10	Ne	-8.027
11	4	Be	20.174	18	7	N	13.117	23	10	Ne	-5.156
12	4	Be	25.077	19	7	N	15.871	24	10	Ne	-5.95
13	4	Be	35	20	7	N	21.880	25	10	Ne	-2.06
14	4	Be	40.1	21	7	N	25.150	26	10	Ne	0.44
7	5	B	27.87	22	7	N	31.730	27	10	Ne	6.410
8	5	B	22.92	12	8	O	32.06	28	10	Ne	10.780
9	5	B	12.415	13	8	O	23.113	18	11	Na	25.320
10	5	B	12.05	14	8	O	8.006	19	11	Na	12.928
11	5	B	8.668	15	8	O	2.855	20	11	Na	6.839
12	5	B	13.369	16	8	O	-4.737	21	11	Na	-2.189
13	5	B	16.562	17	8	O	-0.809	22	11	Na	-5.185
14	5	B	23.664	18	8	O	-0.782	23	11	Na	-9.532
15	5	B	28.97	19	8	O	3.332	24	11	Na	-8.42

A	Z	nucleus	Mass access	A	Z	nucleus	Mass access	A	Z	nucleus	Mass access
25	11	Na	-9.36	32	13	Al	-11.210	40	15	P	-7.020
26	11	Na	-6.904	33	13	Al	-8.840	27	16	S	18.220
27	11	Na	-5.6	34	13	Al	-3.660	28	16	S	4.13
28	11	Na	-1.14	35	13	Al	-0.660	29	16	S	-3.16
29	11	Na	2.65	36	13	Al	5.050	30	16	S	-14.063
30	11	Na	8.21	23	14	Si	23.530	31	16	S	-19.045
31	11	Na	11.83	24	14	Si	10.755	32	16	S	-26.016
32	11	Na	16.55	25	14	Si	3.827	33	16	S	-26.586
33	11	Na	21.47	26	14	Si	-7.145	34	16	S	-29.932
34	11	Na	26.65	27	14	Si	-12.385	35	16	S	-28.846
20	12	Mg	17.57	28	14	Si	-21.492	36	16	S	-30.664
21	12	Mg	10.913	29	14	Si	-21.895	37	16	S	-26.896
22	12	Mg	-0.397	30	14	Si	-24.433	38	16	S	-26.861
23	12	Mg	-5.473	31	14	Si	-22.95	39	16	S	-23.000
24	12	Mg	-13.933	32	14	Si	-24.081	40	16	S	-22.52
25	12	Mg	-13.192	33	14	Si	-20.492	41	16	S	-17.870
26	12	Mg	-16.214	34	14	Si	-19.958	42	16	S	-16.420
27	12	Mg	-14.586	35	14	Si	-14.32	29	17	Cl	15.050
28	12	Mg	-15.019	36	14	Si	-13.260	30	17	Cl	4.840
29	12	Mg	-10.661	37	14	Si	-7.000	31	17	Cl	-7.06
30	12	Mg	-9.1	38	14	Si	-5.360	32	17	Cl	-13.33
31	12	Mg	-3.650	25	15	P	22.080	33	17	Cl	-21.003
32	12	Mg	-1.75	26	15	P	11.260	34	17	Cl	-24.44
33	12	Mg	5.010	27	15	P	-0.75	35	17	Cl	-29.013
34	12	Mg	8.440	28	15	P	-7.161	36	17	Cl	-29.522
35	12	Mg	14.680	29	15	P	-16.951	37	17	Cl	-31.761
22	13	Al	18.09	30	15	P	-20.2	38	17	Cl	-29.798
23	13	Al	6.767	31	15	P	-24.441	39	17	Cl	-29.802
24	13	Al	-0.055	32	15	P	-24.305	40	17	Cl	-27.53
25	13	Al	-8.915	33	15	P	-26.338	41	17	Cl	-27.4
26	13	Al	-12.21	34	15	P	-24.557	42	17	Cl	-24.420
27	13	Al	-17.197	35	15	P	-24.857	43	17	Cl	-23.13
28	13	Al	-16.851	36	15	P	-20.251	44	17	Cl	-20.010
29	13	Al	-18.215	37	15	P	-19.260	31	18	Ar	11.660
30	13	Al	-15.89	38	15	P	-14.160	32	18	Ar	-2.18
31	13	Al	-15.05	39	15	P	-12.500	33	18	Ar	-9.38

A	Z	nucleus	Mass access	A	Z	nucleus	Mass access	A	Z	nucleus	Mass access
34	18	Ar	-18.379	39	20	Ca	-27.275	46	22	Ti	-44.125
35	18	Ar	-23.048	40	20	Ca	-34.846	47	22	Ti	-44.931
36	18	Ar	-30.23	41	20	Ca	-35.137	48	22	Ti	-48.487
37	18	Ar	-30.948	42	20	Ca	-38.547	49	22	Ti	-48.558
38	18	Ar	-34.715	43	20	Ca	-38.408	50	22	Ti	-51.426
39	18	Ar	-33.241	44	20	Ca	-41.469	51	22	Ti	-49.726
40	18	Ar	-35.039	45	20	Ca	-40.812	52	22	Ti	-49.464
41	18	Ar	-33.066	46	20	Ca	-43.14	53	22	Ti	-46.83
42	18	Ar	-34.42	47	20	Ca	-42.345	54	22	Ti	-45.530
43	18	Ar	-31.98	48	20	Ca	-44.214	42	23	V	-8.220
44	18	Ar	-32.26	49	20	Ca	-41.289	43	23	V	-17.920
45	18	Ar	-29.72	50	20	Ca	-39.57	44	23	V	-23.800
46	18	Ar	-29.72	51	20	Ca	-35.01	45	23	V	-31.875
47	18	Ar	-25.91	52	20	Ca	-32.460	46	23	V	-37.075
33	19	K	8.000	38	21	Sc	-4.460	47	23	V	-42.004
34	19	K	-1.480	39	21	Sc	-14.3	48	23	V	-44.474
35	19	K	-11.167	40	21	Sc	-20.526	49	23	V	-47.956
36	19	K	-17.425	41	21	Sc	-28.643	50	23	V	-49.219
37	19	K	-24.798	42	21	Sc	-32.121	51	23	V	-52.199
38	19	K	-28.802	43	21	Sc	-36.187	52	23	V	-51.438
39	19	K	-33.806	44	21	Sc	-37.815	53	23	V	-51.846
40	19	K	-33.534	45	21	Sc	-41.069	54	23	V	-49.889
41	19	K	-35.558	46	21	Sc	-41.758	55	23	V	-49.15
42	19	K	-35.02	47	21	Sc	-44.33	56	23	V	-46.110
43	19	K	-36.593	48	21	Sc	-44.492	44	24	Cr	-13.45
44	19	K	-35.81	49	21	Sc	-46.558	45	24	Cr	-19.41
45	19	K	-36.614	50	21	Sc	-44.537	46	24	Cr	-29.472
46	19	K	-35.418	51	21	Sc	-43.218	47	24	Cr	-34.553
47	19	K	-35.696	52	21	Sc	-40.060	48	24	Cr	-42.818
48	19	K	-32.122	53	21	Sc	-38.230	49	24	Cr	-45.328
49	19	K	-30.77	40	22	Ti	-9.063	50	24	Cr	-50.257
50	19	K	-25.520	41	22	Ti	-15.69	51	24	Cr	-51.447
35	20	Ca	4.45	42	22	Ti	-25.121	52	24	Cr	-55.414
36	20	Ca	-6.44	43	22	Ti	-29.32	53	24	Cr	-55.282
37	20	Ca	-13.159	44	22	Ti	-37.548	54	24	Cr	-56.93
38	20	Ca	-22.059	45	22	Ti	-39.006	55	24	Cr	-55.105

56	24	Cr	-55.29	53	27	Co	-42.639	60	29	Cu	-58.344
57	24	Cr	-52.690	54	27	Co	-48.007	61	29	Cu	-61.982
58	24	Cr	-52.050	55	27	Co	-54.025	62	29	Cu	-62.797
46	25	Mn	-12.470	56	27	Co	-56.037	63	29	Cu	-65.578
47	25	Mn	-22.650	57	27	Co	-59.342	64	29	Cu	-65.423
48	25	Mn	-29.211	58	27	Co	-59.844	65	29	Cu	-67.262
49	25	Mn	-37.611	59	27	Co	-62.226	66	29	Cu	-66.256
50	25	Mn	-42.625	60	27	Co	-61.646	67	29	Cu	-67.303
51	25	Mn	-48.238	61	27	Co	-62.897	68	29	Cu	-65.54
52	25	Mn	-50.702	62	27	Co	-61.423	69	29	Cu	-65.741
53	25	Mn	-54.686	63	27	Co	-61.839	70	29	Cu	-63.39
54	25	Mn	-55.553	64	27	Co	-59.791	71	29	Cu	-62.920
55	25	Mn	-57.708	65	27	Co	-59.16	56	30	Zn	-26.13
56	25	Mn	-56.907	52	28	Ni	-22.64	57	30	Zn	-32.7
57	25	Mn	-57.487	53	28	Ni	-29.38	58	30	Zn	-42.21
58	25	Mn	-55.83	54	28	Ni	-39.21	59	30	Zn	-47.26
59	25	Mn	-55.476	55	28	Ni	-45.33	60	30	Zn	-54.185
60	25	Mn	-52.9	56	28	Ni	-53.901	61	30	Zn	-56.343
48	26	Fe	-18.13	57	28	Ni	-56.077	62	30	Zn	-61.17
49	26	Fe	-24.58	58	28	Ni	-60.225	63	30	Zn	-62.211
50	26	Fe	-34.47	59	28	Ni	-61.153	64	30	Zn	-66.002
51	26	Fe	-40.217	60	28	Ni	-64.47	65	30	Zn	-65.91
52	26	Fe	-48.331	61	28	Ni	-64.219	66	30	Zn	-68.898
53	26	Fe	-50.943	62	28	Ni	-66.745	67	30	Zn	-67.879
54	26	Fe	-56.25	63	28	Ni	-65.512	68	30	Zn	-70.006
55	26	Fe	-57.476	64	28	Ni	-67.098	69	30	Zn	-68.417
56	26	Fe	-60.603	65	28	Ni	-65.124	70	30	Zn	-69.561
57	26	Fe	-60.178	66	28	Ni	-66.029	71	30	Zn	-67.323
58	26	Fe	-62.151	67	28	Ni	-63.743	72	30	Zn	-68.131
59	26	Fe	-60.661	68	28	Ni	-63.483	73	30	Zn	-65.41
60	26	Fe	-61.406	69	28	Ni	-60.46	74	30	Zn	-65.708
61	26	Fe	-58.919	54	29	Cu	-21.210	75	30	Zn	-62.53
62	26	Fe	-58.896	55	29	Cu	-31.630	76	30	Zn	-62.29
63	26	Fe	-55.19	56	29	Cu	-38.584	77	30	Zn	-58.820
50	27	Co	-17.980	57	29	Cu	-47.35	78	30	Zn	-57.660
51	27	Co	-27.420	58	29	Cu	-51.662	79	30	Zn	-53.820
52	27	Co	-34.287	59	29	Cu	-56.353	80	30	Zn	-51.89

61	31	Ga	-47.540	78	32	Ge	-71.863	75	34	Se	-72.171
62	31	Ga	-51.999	79	32	Ge	-69.49	76	34	Se	-75.254
63	31	Ga	-56.69	80	32	Ge	-69.38	77	34	Se	-74.601
64	31	Ga	-58.837	81	32	Ge	-66.31	78	34	Se	-77.028
65	31	Ga	-62.654	82	32	Ge	-65.38	79	34	Se	-75.92
66	31	Ga	-63.724	83	32	Ge	-61.140	80	34	Se	-77.762
67	31	Ga	-66.878	84	32	Ge	-58.150	81	34	Se	-76.392
68	31	Ga	-67.085	65	33	As	-47.510	82	34	Se	-77.596
69	31	Ga	-69.322	66	33	As	-52.07	83	34	Se	-75.343
70	31	Ga	-68.905	67	33	As	-56.65	84	34	Se	-75.952
71	31	Ga	-70.139	68	33	As	-58.88	85	34	Se	-72.42
72	31	Ga	-68.589	69	33	As	-63.08	86	34	Se	-70.54
73	31	Ga	-69.705	70	33	As	-64.34	87	34	Se	-66.710
74	31	Ga	-68.06	71	33	As	-67.894	88	34	Se	-63.820
75	31	Ga	-68.466	72	33	As	-68.228	69	35	Br	-46.800
76	31	Ga	-66.44	73	33	As	-70.955	70	35	Br	-51.140
77	31	Ga	-66.320	74	33	As	-70.861	71	35	Br	-56.590
78	31	Ga	-63.560	75	33	As	-73.035	72	35	Br	-59.000
79	31	Ga	-62.72	76	33	As	-72.29	73	35	Br	-63.6
80	31	Ga	-59.38	77	33	As	-73.918	74	35	Br	-65.301
81	31	Ga	-57.99	78	33	As	-72.819	75	35	Br	-69.142
82	31	Ga	-53.380	79	33	As	-73.639	76	35	Br	-70.291
63	32	Ge	-47.310	80	33	As	-72.165	77	35	Br	-73.237
64	32	Ge	-54.43	81	33	As	-72.536	78	35	Br	-73.455
65	32	Ge	-56.41	82	33	As	-70.078	79	35	Br	-76.07
66	32	Ge	-61.62	83	33	As	-69.88	80	35	Br	-75.891
67	32	Ge	-62.656	84	33	As	-66.080	81	35	Br	-77.978
68	32	Ge	-66.978	85	33	As	-63.510	82	35	Br	-77.499
69	32	Ge	-67.097	86	33	As	-59.340	83	35	Br	-79.01
70	32	Ge	-70.561	67	34	Se	-46.860	84	35	Br	-77.776
71	32	Ge	-69.906	68	34	Se	-54.080	85	35	Br	-78.607
72	32	Ge	-72.583	69	34	Se	-56.3	86	35	Br	-75.64
73	32	Ge	-71.295	70	34	Se	-61.540	87	35	Br	-73.856
74	32	Ge	-73.423	71	34	Se	-63.090	88	35	Br	-70.72
75	32	Ge	-71.858	72	34	Se	-67.897	89	35	Br	-68.420
76	32	Ge	-73.214	73	34	Se	-68.215	90	35	Br	-64.65
77	32	Ge	-71.216	74	34	Se	-72.215	71	36	Kr	-46.490

72	36	Kr	-53.940	88	37	Rb	-82.601	80	39	Y	-61.190
73	36	Kr	-56.89	89	37	Rb	-81.709	81	39	Y	-65.95
74	36	Kr	-62.13	90	37	Rb	-79.35	82	39	Y	-68.18
75	36	Kr	-64.214	91	37	Rb	-77.786	83	39	Y	-72.37
76	36	Kr	-68.965	92	37	Rb	-74.811	84	39	Y	-74.23
77	36	Kr	-70.194	93	37	Rb	-72.688	85	39	Y	-77.845
78	36	Kr	-74.147	94	37	Rb	-68.518	86	39	Y	-79.279
79	36	Kr	-74.445	95	37	Rb	-65.813	87	39	Y	-83.014
80	36	Kr	-77.894	96	37	Rb	-61.15	88	39	Y	-84.294
81	36	Kr	-77.697	97	37	Rb	-58.29	89	39	Y	-87.703
82	36	Kr	-80.592	98	37	Rb	-54.09	90	39	Y	-86.488
83	36	Kr	-79.982	99	37	Rb	-50.86	91	39	Y	-86.349
84	36	Kr	-82.43	77	38	Sr	-57.88	92	39	Y	-84.833
85	36	Kr	-81.477	78	38	Sr	-63.450	93	39	Y	-84.245
86	36	Kr	-83.262	79	38	Sr	-65.340	94	39	Y	-82.348
87	36	Kr	-80.706	80	38	Sr	-70.19	95	39	Y	-81.214
88	36	Kr	-79.688	81	38	Sr	-71.47	96	39	Y	-78.3
89	36	Kr	-76.72	82	38	Sr	-75.998	97	39	Y	-76.27
90	36	Kr	-74.947	83	38	Sr	-76.781	98	39	Y	-72.52
91	36	Kr	-71.37	84	38	Sr	-80.641	99	39	Y	-70.17
92	36	Kr	-68.65	85	38	Sr	-81.099	100	39	Y	-67.29
93	36	Kr	-64.16	86	38	Sr	-84.518	101	39	Y	-64.650
73	37	Rb	-46.590	87	38	Sr	-84.875	102	39	Y	-61.450
74	37	Rb	-51.67	88	38	Sr	-87.916	81	40	Zr	-58.79
75	37	Rb	-57.21	89	38	Sr	-86.211	82	40	Zr	-64.18
76	37	Rb	-60.53	90	38	Sr	-85.942	83	40	Zr	-66.35
77	37	Rb	-64.917	91	38	Sr	-83.652	84	40	Zr	-71.430
78	37	Rb	-66.98	92	38	Sr	-82.923	85	40	Zr	-73.15
79	37	Rb	-70.839	93	38	Sr	-80.16	86	40	Zr	-77.980
80	37	Rb	-72.176	94	38	Sr	-78.836	87	40	Zr	-79.348
81	37	Rb	-75.459	95	38	Sr	-75.05	88	40	Zr	-83.626
82	37	Rb	-76.203	96	38	Sr	-72.88	89	40	Zr	-84.871
83	37	Rb	-79.049	97	38	Sr	-68.81	90	40	Zr	-88.77
84	37	Rb	-79.748	98	38	Sr	-66.38	91	40	Zr	-87.893
85	37	Rb	-82.164	99	38	Sr	-62.15	92	40	Zr	-88.457
86	37	Rb	-82.744	100	38	Sr	-60.2	93	40	Zr	-87.12
87	37	Rb	-84.593	79	39	Y	-58.140	94	40	Zr	-87.268

95	40	Zr	-85.659	90	42	Mo	-80.17	106	43	Tc	-79.79
96	40	Zr	-85.442	91	42	Mo	-82.208	107	43	Tc	-79.160
97	40	Zr	-82.95	92	42	Mo	-86.809	108	43	Tc	-76.280
98	40	Zr	-81.283	93	42	Mo	-86.805	109	43	Tc	-74.920
99	40	Zr	-77.79	94	42	Mo	-88.413	110	43	Tc	-71.640
100	40	Zr	-76.59	95	42	Mo	-87.709	90	44	Ru	-65.470
101	40	Zr	-73.38	96	42	Mo	-88.792	91	44	Ru	-68.410
102	40	Zr	-71.77	97	42	Mo	-87.542	92	44	Ru	-74.410
103	40	Zr	-68.29	98	42	Mo	-88.113	93	44	Ru	-77.27
104	40	Zr	-66.260	99	42	Mo	-85.967	94	44	Ru	-82.569
84	41	Nb	-61.530	100	42	Mo	-86.186	95	44	Ru	-83.451
85	41	Nb	-66.940	101	42	Mo	-83.513	96	44	Ru	-86.073
86	41	Nb	-69.580	102	42	Mo	-83.559	97	44	Ru	-86.113
87	41	Nb	-74.18	103	42	Mo	-80.76	98	44	Ru	-88.225
88	41	Nb	-76.430	104	42	Mo	-80.37	99	44	Ru	-87.617
89	41	Nb	-80.58	105	42	Mo	-77.36	100	44	Ru	-89.219
90	41	Nb	-82.659	106	42	Mo	-76.27	101	44	Ru	-87.95
91	41	Nb	-86.64	107	42	Mo	-72.910	102	44	Ru	-89.099
92	41	Nb	-86.451	108	42	Mo	-71.460	103	44	Ru	-87.26
93	41	Nb	-87.21	88	43	Tc	-62.330	104	44	Ru	-88.093
94	41	Nb	-86.368	89	43	Tc	-68.000	105	44	Ru	-85.932
95	41	Nb	-86.783	90	43	Tc	-70.970	106	44	Ru	-86.326
96	41	Nb	-85.606	91	43	Tc	-75.99	107	44	Ru	-83.71
97	41	Nb	-85.608	92	43	Tc	-78.939	108	44	Ru	-83.76
98	41	Nb	-83.528	93	43	Tc	-83.607	109	44	Ru	-80.720
99	41	Nb	-82.328	94	43	Tc	-84.158	110	44	Ru	-80.240
100	41	Nb	-79.929	95	43	Tc	-86.018	111	44	Ru	-77.030
101	41	Nb	-78.95	96	43	Tc	-85.819	112	44	Ru	-76.030
102	41	Nb	-76.35	97	43	Tc	-87.222	92	45	Rh	-63.140
103	41	Nb	-75.24	98	43	Tc	-86.429	93	45	Rh	-69.110
104	41	Nb	-72.26	99	43	Tc	-87.324	94	45	Rh	-72.94
105	41	Nb	-70.94	100	43	Tc	-86.017	95	45	Rh	-78.34
106	41	Nb	-67.290	101	43	Tc	-86.337	96	45	Rh	-79.626
86	42	Mo	-64.680	102	43	Tc	-84.569	97	45	Rh	-82.59
87	42	Mo	-67.44	103	43	Tc	-84.601	98	45	Rh	-83.168
88	42	Mo	-72.830	104	43	Tc	-82.49	99	45	Rh	-85.519
89	42	Mo	-75.005	105	43	Tc	-82.35	100	45	Rh	-85.59

101	45	Rh	-87.41	96	47	Ag	-64.430	109	48	Cd	-88.507
102	45	Rh	-86.821	97	47	Ag	-70.790	110	48	Cd	-90.351
103	45	Rh	-88.024	98	47	Ag	-73.000	111	48	Cd	-89.254
104	45	Rh	-86.952	99	47	Ag	-76.76	112	48	Cd	-90.581
105	45	Rh	-87.849	100	47	Ag	-78.17	113	48	Cd	-89.05
106	45	Rh	-86.365	101	47	Ag	-81.19	114	48	Cd	-90.021
107	45	Rh	-86.862	102	47	Ag	-82.08	115	48	Cd	-88.091
108	45	Rh	-85.08	103	47	Ag	-84.787	116	48	Cd	-88.72
109	45	Rh	-85.021	104	47	Ag	-85.114	117	48	Cd	-86.416
110	45	Rh	-82.94	105	47	Ag	-87.078	118	48	Cd	-86.709
111	45	Rh	-82.330	106	47	Ag	-86.941	119	48	Cd	-83.94
112	45	Rh	-79.730	107	47	Ag	-88.407	120	48	Cd	-83.973
113	45	Rh	-78.740	108	47	Ag	-87.605	121	48	Cd	-80.95
114	45	Rh	-75.960	109	47	Ag	-88.721	122	48	Cd	-80.580
94	46	Pd	-66.270	110	47	Ag	-87.459	123	48	Cd	-77.520
95	46	Pd	-70.150	111	47	Ag	-88.217	100	49	In	-63.870
96	46	Pd	-76.18	112	47	Ag	-86.624	101	49	In	-68.360
97	46	Pd	-77.8	113	47	Ag	-87.04	102	49	In	-70.580
98	46	Pd	-81.301	114	47	Ag	-84.96	103	49	In	-74.607
99	46	Pd	-82.193	115	47	Ag	-84.95	104	49	In	-76.080
100	46	Pd	-85.221	116	47	Ag	-82.76	105	49	In	-79.493
101	46	Pd	-85.43	117	47	Ag	-82.25	106	49	In	-80.617
102	46	Pd	-87.918	118	47	Ag	-79.58	107	49	In	-83.568
103	46	Pd	-87.471	119	47	Ag	-78.59	108	49	In	-84.112
104	46	Pd	-89.393	120	47	Ag	-75.77	109	49	In	-86.487
105	46	Pd	-88.416	121	47	Ag	-74.55	110	49	In	-86.41
106	46	Pd	-89.907	98	48	Cd	-67.900	111	49	In	-88.391
107	46	Pd	-88.374	99	48	Cd	-69.890	112	49	In	-87.995
108	46	Pd	-89.523	100	48	Cd	-74.320	113	49	In	-89.368
109	46	Pd	-87.605	101	48	Cd	-75.66	114	49	In	-88.571
110	46	Pd	-88.345	102	48	Cd	-79.720	115	49	In	-89.539
111	46	Pd	-86.03	103	48	Cd	-80.65	116	49	In	-88.252
112	46	Pd	-86.333	104	48	Cd	-83.977	117	49	In	-88.945
113	46	Pd	-83.68	105	48	Cd	-84.339	118	49	In	-87.232
114	46	Pd	-83.46	106	48	Cd	-87.135	119	49	In	-87.733
115	46	Pd	-80.590	107	48	Cd	-86.99	120	49	In	-85.8
116	46	Pd	-80.14	108	48	Cd	-89.253	121	49	In	-85.841

122	49	In	-83.58	128	50	Sn	-83.33	134	51	Sb	-74.02
123	49	In	-83.42	129	50	Sn	-80.62	135	51	Sb	-70.320
124	49	In	-81.06	130	50	Sn	-80.13	136	51	Sb	-65.050
125	49	In	-80.42	131	50	Sn	-77.38	106	52	Te	-58.270
126	49	In	-77.81	132	50	Sn	-76.61	107	52	Te	-60.640
127	49	In	-77.01	133	50	Sn	-71.19	108	52	Te	-65.820
128	49	In	-74.02	134	50	Sn	-67.230	109	52	Te	-67.62
129	49	In	-73.02	104	51	Sb	-59.380	110	52	Te	-72.3
130	49	In	-70.01	105	51	Sb	-63.930	111	52	Te	-73.47
131	49	In	-68.49	106	51	Sb	-66.520	112	52	Te	-77.27
132	49	In	-63.210	107	51	Sb	-70.770	113	52	Te	-78.320
102	50	Sn	-65.020	108	51	Sb	-72.510	114	52	Te	-81.760
103	50	Sn	-67.050	109	51	Sb	-76.253	115	52	Te	-82.36
104	50	Sn	-71.680	110	51	Sb	-77.530	116	52	Te	-85.29
105	50	Sn	-73.24	111	51	Sb	-80.840	117	52	Te	-85.11
106	50	Sn	-77.45	112	51	Sb	-81.603	118	52	Te	-87.653
107	50	Sn	-78.470	113	51	Sb	-84.424	119	52	Te	-87.182
108	50	Sn	-82.05	114	51	Sb	-84.68	120	52	Te	-89.386
109	50	Sn	-82.633	115	51	Sb	-87.004	121	52	Te	-88.551
110	50	Sn	-85.834	116	51	Sb	-86.819	122	52	Te	-90.307
111	50	Sn	-85.943	117	51	Sb	-88.644	123	52	Te	-89.171
112	50	Sn	-88.658	118	51	Sb	-87.998	124	52	Te	-90.525
113	50	Sn	-88.33	119	51	Sb	-89.475	125	52	Te	-89.024
114	50	Sn	-90.56	120	51	Sb	-88.423	126	52	Te	-90.067
115	50	Sn	-90.034	121	51	Sb	-89.591	127	52	Te	-88.286
116	50	Sn	-91.526	122	51	Sb	-88.327	128	52	Te	-88.992
117	50	Sn	-90.399	123	51	Sb	-89.223	129	52	Te	-87.006
118	50	Sn	-91.654	124	51	Sb	-87.619	130	52	Te	-87.348
119	50	Sn	-90.068	125	51	Sb	-88.258	131	52	Te	-85.206
120	50	Sn	-91.103	126	51	Sb	-86.4	132	52	Te	-85.222
121	50	Sn	-89.203	127	51	Sb	-86.705	133	52	Te	-82.97
122	50	Sn	-89.946	128	51	Sb	-84.61	134	52	Te	-82.43
123	50	Sn	-87.82	129	51	Sb	-84.624	135	52	Te	-77.87
124	50	Sn	-88.237	130	51	Sb	-82.33	136	52	Te	-74.46
125	50	Sn	-85.898	131	51	Sb	-82.02	137	52	Te	-69.48
126	50	Sn	-86.021	132	51	Sb	-79.73	138	52	Te	-66.110
127	50	Sn	-83.504	133	51	Sb	-79.02	108	53	I	-52.750

109	53	I	-57.710	115	54	Xe	-68.670	122	55	Cs	-78.14
110	53	I	-60.520	116	54	Xe	-73.050	123	55	Cs	-81.07
111	53	I	-65.070	117	54	Xe	-74.200	124	55	Cs	-81.74
112	53	I	-67.100	118	54	Xe	-77.950	125	55	Cs	-84.113
113	53	I	-71.12	119	54	Xe	-78.75	126	55	Cs	-84.347
114	53	I	-72.760	120	54	Xe	-81.81	127	55	Cs	-86.243
115	53	I	-76.400	121	54	Xe	-82.51	128	55	Cs	-85.928
116	53	I	-77.55	122	54	Xe	-85.05	129	55	Cs	-87.506
117	53	I	-80.600	123	54	Xe	-85.258	130	55	Cs	-86.853
118	53	I	-81.050	124	54	Xe	-87.659	131	55	Cs	-88.076
119	53	I	-83.78	125	54	Xe	-87.191	132	55	Cs	-87.171
120	53	I	-83.771	126	54	Xe	-89.174	133	55	Cs	-88.086
121	53	I	-86.27	127	54	Xe	-88.319	134	55	Cs	-86.906
122	53	I	-86.073	128	54	Xe	-89.86	135	55	Cs	-87.662
123	53	I	-87.937	129	54	Xe	-88.698	136	55	Cs	-86.354
124	53	I	-87.368	130	54	Xe	-89.881	137	55	Cs	-86.556
125	53	I	-88.846	131	54	Xe	-88.428	138	55	Cs	-82.896
126	53	I	-87.916	132	54	Xe	-89.292	139	55	Cs	-80.71
127	53	I	-88.982	133	54	Xe	-87.659	140	55	Cs	-77.053
128	53	I	-87.736	134	54	Xe	-88.125	141	55	Cs	-74.472
129	53	I	-88.507	135	54	Xe	-86.506	142	55	Cs	-70.538
130	53	I	-86.897	136	54	Xe	-86.429	143	55	Cs	-67.745
131	53	I	-87.457	137	54	Xe	-82.383	144	55	Cs	-63.37
132	53	I	-85.715	138	54	Xe	-80.11	145	55	Cs	-60.21
133	53	I	-85.888	139	54	Xe	-75.69	146	55	Cs	-55.7
134	53	I	-83.99	140		Xe	-72.99	147	55	Cs	-52.3
135	53	I	-83.821	141	54	Xe	-68.32	148	55	Cs	-47.58
136	53	I	-79.55	142	54	Xe	-65.5	117	56	Ba	-57.160
137	53	I	-76.507	113	55	Cs	-51.810	118	56	Ba	-62.350
138	53	I	-72.29	114	55	Cs	-54.740	119	56	Ba	-64.460
139	53	I	-68.88	115	55	Cs	-59.650	120	56	Ba	-69.020
140	53	I	-64.250	116	55	Cs	-62.29	121	56	Ba	-70.420
110	54	Xe	-51.970	117	55	Cs	-66.26	122	56	Ba	-74.540
111	54	Xe	-54.510	118	55	Cs	-68.27	123	56	Ba	-75.560
112	54	Xe	-60.060	119	55	Cs	-72.24	124	56	Ba	-79.140
113	54	Xe	-62.09	120	55	Cs	-73.82	125	56	Ba	-79.55
114	54	Xe	-67.180	121	55	Cs	-77.11	126	56	Ba	-82.770

127	56	Ba	-82.79	138	57	La	-86.531	150	58	Ce	-64.99
128	56	Ba	-85.47	139	57	La	-87.238	151	58	Ce	S-61.660
129	56	Ba	-85.08	140	57	La	-84.327	152	58	Ce	S-59.760
130	56	Ba	-87.291	141	57	La	-82.983	128	59	Pr	S-66.320
131	56	Ba	-86.714	142	57	La	-80.027	129	59	Pr	S-70.060
132	56	Ba	-88.447	143	57	La	-78.2	130	59	Pr	S-71.290
133	56	Ba	-87.57	144	57	La	-74.94	131	59	Pr	S-74.450
134	56	Ba	-88.965	145	57	La	-73.02	132	59	Pr	S-75.340
135	56	Ba	-87.867	146	57	La	-69.2	133	59	Pr	S-78.020
136	56	Ba	-88.903	147	57	La	-67.25	134	59	Pr	S-78.650
137	56	Ba	-87.732	148	57	La	-63.81	135	59	Pr	-80.92
138	56	Ba	-88.272	149	57	La	S-61.290	136	59	Pr	-81.37
139	56	Ba	-84.924	150	57	La	S-57.500	137	59	Pr	-83.2
140	56	Ba	-83.273	126	58	Ce	S-71.070	138	59	Pr	-83.137
141	56	Ba	-79.732	127	58	Ce	S-72.290	139	59	Pr	-84.844
142	56	Ba	-77.847	128	58	Ce	S-75.870	140	59	Pr	-84.7
143	56	Ba	-73.979	129	58	Ce	S-76.480	141	59	Pr	-86.026
144	56	Ba	-71.84	130	58	Ce	S-79.590	142	59	Pr	-83.798
145	56	Ba	-68.12	131	58	Ce	-79.73	143	59	Pr	-83.078
146	56	Ba	-65.06	132	58	Ce	S-82.440	144	59	Pr	-80.76
147	56	Ba	-61.5	133	58	Ce	S-82.470	145	59	Pr	-79.636
148	56	Ba	-58.130	134	58	Ce	-84.75	146	59	Pr	-76.76
149	56	Ba	-54.300	135	58	Ce	-84.641	147	59	Pr	-75.47
124	57	La	-70.240	136	58	Ce	-86.5	148	59	Pr	-72.49
125	57	La	-73.810	137	58	Ce	-85.91	149	59	Pr	-70.988
126	57	La	S-75.050	138	58	Ce	-87.574	150	59	Pr	-68
127	57	La	S-77.990	139	58	Ce	-86.973	151	59	Pr	S-66.760
128	57	La	-78.82	140	58	Ce	-88.088	152	59	Pr	S-64.160
129	57	La	-81.36	141	58	Ce	-85.445	153	59	Pr	S-62.370
130	57	La	S-81.590	142	58	Ce	-84.542	154	59	Pr	S-59.110
131	57	La	-83.75	143	58	Ce	-81.616	129	60	Nd	S-62.880
132	57	La	-83.74	144	58	Ce	-80.441	130	60	Nd	S-66.990
133	57	La	S-85.520	145	58	Ce	-77.11	131	60	Nd	S-68.230
134	57	La	-85.252	146	58	Ce	-75.73	132	60	Nd	S-71.940
135	57	La	-86.667	147	58	Ce	-72.19	133	60	Nd	S-72.570
136	57	La	-86.03	148	58	Ce	-70.43	134	60	Nd	S-75.950
137	57	La	-87.13	149	58	Ce	-66.8	135	60	Nd	S-76.220

136	60	Nd	-79.16	148	61	Pm	-76.874	160	62	Sm	S-60.350
137	60	Nd	-79.7	149	61	Pm	-76.073	136	63	Eu	S-57.000
138	60	Nd	S-82.040	150	61	Pm	-73.606	137	63	Eu	S-60.720
139	60	Nd	-82.06	151	61	Pm	-73.398	138	63	Eu	S-62.340
140	60	Nd	-84.471	152	61	Pm	-71.27	139	63	Eu	S-65.630
141	60	Nd	-84.203	153	61	Pm	-70.669	140	63	Eu	S-66.980
142	60	Nd	-85.96	154	61	Pm	-68.41	141	63	Eu	-69.98
143	60	Nd	-84.012	155	61	Pm	S-67.100	142	63	Eu	-71.59
144	60	Nd	-83.758	156	61	Pm	S-64.370	143	63	Eu	-74.38
145	60	Nd	-81.442	157	61	Pm	S-62.370	144	63	Eu	-75.646
146	60	Nd	-80.935	158	61	Pm	S-59.410	145	63	Eu	-78
147	60	Nd	-78.156	134	62	Sm	S-62.050	146	63	Eu	-77.125
148	60	Nd	-77.418	135	62	Sm	S-63.520	147	63	Eu	-77.555
149	60	Nd	-74.385	136	62	Sm	S-67.260	148	63	Eu	-76.239
150	60	Nd	-73.693	137	62	Sm	S-68.100	149	63	Eu	-76.455
151	60	Nd	-70.956	138	62	Sm	S-71.540	150	63	Eu	-74.8
152	60	Nd	-70.16	139	62	Sm	-72.08	151	63	Eu	-74.663
153	60	Nd	S-67.170	140	62	Sm	S-75.380	152	63	Eu	-72.899
154	60	Nd	S-65.860	141	62	Sm	-75.943	153	63	Eu	-73.378
155	60	Nd	S-62.700	142	62	Sm	-78.986	154	63	Eu	-71.748
156	60	Nd	S-60.570	143	62	Sm	-79.526	155	63	Eu	-71.829
132	61	Pm	S-61.940	144	62	Sm	-81.975	156	63	Eu	-70.096
133	61	Pm	S-65.620	145	62	Sm	-80.66	157	63	Eu	-69.472
134	61	Pm	S-67.050	146	62	Sm	-81	158	63	Eu	-67.22
135	61	Pm	S-70.220	147	62	Sm	-79.276	159	63	Eu	-66.058
136	61	Pm	S-71.300	148	62	Sm	-79.346	160	63	Eu	S-63.550
137	61	Pm	-74.02	149	62	Sm	-77.146	161	63	Eu	S-61.770
138	61	Pm	S-75.140	150	62	Sm	-77.06	162	63	Eu	S-59.080
139	61	Pm	-77.54	151	62	Sm	-74.587	138	64	Gd	S-56.640
140	61	Pm	-78.38	152	62	Sm	-74.773	139	64	Gd	S-58.470
141	61	Pm	-80.472	153	62	Sm	-72.569	140	64	Gd	S-62.480
142	61	Pm	-81.09	154	62	Sm	-72.465	141	64	Gd	S-63.540
143	61	Pm	-82.97	155	62	Sm	-70.201	142	64	Gd	S-67.390
144	61	Pm	-81.425	156	62	Sm	-69.374	143	64	Gd	S-68.470
145	61	Pm	-81.278	157	62	Sm	-66.87	144	64	Gd	S-71.950
146	61	Pm	-79.458	158	62	Sm	S-65.400	145	64	Gd	-72.95
147	61	Pm	-79.052	159	62	Sm	S-62.370	146	64	Gd	-76.099

147	64	Gd	-75.367	159	65	Tb	-69.542	146	67	Ho	S-52.160
148	64	Gd	-76.278	160	65	Tb	-67.846	147	67	Ho	S-56.280
149	64	Gd	-75.135	161	65	Tb	-67.471	148	67	Ho	S-58.380
150	64	Gd	-75.771	162	65	Tb	-65.68	149	67	Ho	S-61.910
151	64	Gd	-74.199	163	65	Tb	-64.7	150	67	Ho	-62.21
152	64	Gd	-74.718	164	65	Tb	-62.09	151	67	Ho	-63.72
153	64	Gd	-72.893	165	65	Tb	S-60.610	152	67	Ho	-63.75
154	64	Gd	-73.717	166	65	Tb	S-57.980	153	67	Ho	-65.023
155	64	Gd	-72.081	142	66	Dy	S-50.990	154	67	Ho	-64.647
156	64	Gd	-72.546	143	66	Dy	S-52.870	155	67	Ho	-66.064
157	64	Gd	-70.834	144	66	Dy	S-57.150	156	67	Ho	S-65.600
158	64	Gd	-70.701	145	66	Dy	S-58.750	157	67	Ho	-66.89
159	64	Gd	-68.572	146	66	Dy	S-62.860	158	67	Ho	-66.2
160	64	Gd	-67.953	147	66	Dy	-64.33	159	67	Ho	-67.338
161	64	Gd	-65.517	148	66	Dy	-68	160	67	Ho	-66.391
162	64	Gd	-64.24	149	66	Dy	S-67.900	161	67	Ho	-67.207
163	64	Gd	S-61.590	150	66	Dy	-69.324	162	67	Ho	-66.05
164	64	Gd	S-59.280	151	66	Dy	-68.764	163	67	Ho	-66.386
140	65	Tb	S-51.780	152	66	Dy	-70.127	164	67	Ho	-64.99
141	65	Tb	S-55.580	153	66	Dy	-69.152	165	67	Ho	-64.907
142	65	Tb	S-57.390	154	66	Dy	-70.399	166	67	Ho	-63.079
143	65	Tb	S-60.970	155	66	Dy	-69.166	167	67	Ho	-62.291
144	65	Tb	S-62.750	156	66	Dy	-70.536	168	67	Ho	-60.26
145	65	Tb	S-66.200	157	66	Dy	-69.434	169	67	Ho	-58.805
146	65	Tb	-67.86	158	66	Dy	-70.418	170	67	Ho	-56.25
147	65	Tb	-70.88	159	66	Dy	-69.176	146	68	Er	S-45.060
148	65	Tb	-70.68	160	66	Dy	-69.682	147	68	Er	S-47.330
149	65	Tb	-71.499	161	66	Dy	-68.064	148	68	Er	S-52.000
150	65	Tb	-71.113	162	66	Dy	-68.189	149	68	Er	-54.95
151	65	Tb	-71.633	163	66	Dy	-66.389	150	68	Er	S-58.120
152	65	Tb	-70.77	164	66	Dy	-65.976	151	68	Er	S-58.460
153	65	Tb	-71.322	165	66	Dy	-63.621	152	68	Er	-60.64
154	65	Tb	-70.15	166	66	Dy	-62.593	153	68	Er	S-60.670
155	65	Tb	-71.261	167	66	Dy	-59.94	154	68	Er	-62.622
156	65	Tb	-70.102	168	66	Dy	S-58.500	155	68	Er	-62.22
157	65	Tb	-70.772	144	67	Ho	S-45.650	156	68	Er	S-64.100
158	65	Tb	-69.48	145	67	Ho	S-50.000	157	68	Er	-63.42

158	68	Er	S-65.300	168	69	Tm	-61.319	177	70	Yb	-50.996
159	68	Er	-64.57	169	69	Tm	-61.28	178	70	Yb	-49.705
160	68	Er	-66.063	170	69	Tm	-59.802	150	71	Lu	S-25.350
161	68	Er	-65.203	171	69	Tm	-59.217	151	71	Lu	S-31.000
162	68	Er	-66.346	172	69	Tm	-57.382	152	71	Lu	S-34.050
163	68	Er	-65.177	173	69	Tm	-56.265	153	71	Lu	S-38.840
164	68	Er	-65.952	174	69	Tm	-53.87	154	71	Lu	S-40.000
165	68	Er	-64.53	175	69	Tm	-52.3	155	71	Lu	S-42.990
166	68	Er	-64.933	176	69	Tm	S-49.700	156	71	Lu	S-43.830
167	68	Er	-63.298	149	70	Yb	S-33.910	157	71	Lu	S-46.690
168	68	Er	-62.998	150	70	Yb	S-39.320	158	71	Lu	-47.49
169	68	Er	-60.93	151	70	Yb	S-41.960	159	71	Lu	-49.77
170	68	Er	-60.117	152	70	Yb	S-46.640	160	71	Lu	S-50.460
171	68	Er	-57.727	153	70	Yb	S-47.270	161	71	Lu	S-52.600
172	68	Er	-56.491	154	70	Yb	S-50.220	162	71	Lu	S-52.860
173	68	Er	S-53.660	155	70	Yb	S-50.700	163	71	Lu	-54.77
147	69	Tm	S-36.710	156	70	Yb	-53.41	164	71	Lu	S-54.740
148	69	Tm	S-39.880	157	70	Yb	S-53.630	165	71	Lu	-56.26
149	69	Tm	S-44.510	158	70	Yb	-56.022	166	71	Lu	-56.11
150	69	Tm	S-47.010	159	70	Yb	S-55.900	167	71	Lu	-57.47
151	69	Tm	S-51.220	160	70	Yb	S-58.160	168	71	Lu	-57.09
152	69	Tm	S-51.850	161	70	Yb	S-57.900	169	71	Lu	-58.078
153	69	Tm	S-54.240	162	70	Yb	S-59.850	170	71	Lu	-57.311
154	69	Tm	-54.7	163	70	Yb	-59.37	171	71	Lu	-57.834
155	69	Tm	-56.73	164	70	Yb	S-60.990	172	71	Lu	-56.741
156	69	Tm	-56.98	165	70	Yb	-60.175	173	71	Lu	-56.886
157	69	Tm	S-58.890	166	70	Yb	-61.589	174	71	Lu	-55.575
158	69	Tm	S-58.900	167	70	Yb	-60.596	175	71	Lu	-55.171
159	69	Tm	S-60.670	168	70	Yb	-61.575	176	71	Lu	-53.394
160	69	Tm	-60.46	169	70	Yb	-60.371	177	71	Lu	-52.394
161	69	Tm	-62.1	170	70	Yb	-60.77	178	71	Lu	-50.338
162	69	Tm	-61.55	171	70	Yb	-59.314	179	71	Lu	-49.11
163	69	Tm	-62.738	172	70	Yb	-59.262	180	71	Lu	-46.69
164	69	Tm	-61.99	173	70	Yb	-57.558	154	72	Hf	S-33.420
165	69	Tm	-62.938	174	70	Yb	-56.951	155	72	Hf	S-34.600
166	69	Tm	-61.894	175	70	Yb	-54.702	156	72	Hf	S-38.180
167	69	Tm	-62.55	176	70	Yb	-53.501	157	72	Hf	S-38.960

158	72	Hf	S-42.400	166	73	Ta	S-46.310	174	74	W	S-50.150
159	72	Hf	S-43.050	167	73	Ta	S-48.470	175	74	W	S-49.590
160	72	Hf	-46.08	168	73	Ta	S-48.590	176	74	W	S-50.680
161	72	Hf	S-46.480	169	73	Ta	S-50.380	177	74	W	S-49.730
162	72	Hf	-49.178	170	73	Ta	S-50.210	178	74	W	-50.44
163	72	Hf	S-49.380	171	73	Ta	S-51.730	179	74	W	-49.306
164	72	Hf	S-51.790	172	73	Ta	-51.47	180	74	W	-49.647
165	72	Hf	S-51.670	173	73	Ta	S-52.490	181	74	W	-48.256
166	72	Hf	S-53.790	174	73	Ta	S-51.850	182	74	W	-48.25
167	72	Hf	S-53.470	175	73	Ta	S-52.490	183	74	W	-46.369
168	72	Hf	S-55.290	176	73	Ta	-51.47	184	74	W	-45.709
169	72	Hf	-54.81	177	73	Ta	-51.726	185	74	W	-43.393
170	72	Hf	S-56.210	178	73	Ta	-50.53	186	74	W	-42.515
171	72	Hf	S-55.430	179	73	Ta	-50.365	187	74	W	-39.91
172	72	Hf	-56.39	180	73	Ta	-48.939	188	74	W	-38.673
173	72	Hf	S-55.290	181	73	Ta	-48.444	189	74	W	-35.48
174	72	Hf	-55.851	182	73	Ta	-46.436	190	74	W	-34.31
175	72	Hf	-54.488	183	73	Ta	-45.299	161	75	Re	S-21.170
176	72	Hf	-54.582	184	73	Ta	-42.844	162	75	Re	S-22.670
177	72	Hf	-52.892	185	73	Ta	-41.402	163	75	Re	S-26.330
178	72	Hf	-52.446	186	73	Ta	-38.62	164	75	Re	S-27.510
179	72	Hf	-50.475	158	74	W	S-24.380	165	75	Re	S-30.910
180	72	Hf	-49.791	159	74	W	S-25.720	166	75	Re	-32.13
181	72	Hf	-47.416	160	74	W	S-29.690	167	75	Re	-34.91
182	72	Hf	-46.062	161	74	W	S-30.620	168	75	Re	S-35.880
183	72	Hf	-43.29	162	74	W	S-34.300	169	75	Re	S-38.600
184	72	Hf	-41.5	163	74	W	S-35.110	170	75	Re	S-39.040
156	73	Ta	S-26.230	164	74	W	-38.38	171	75	Re	S-41.440
157	73	Ta	S-30.030	165	74	W	S-39.030	172	75	Re	S-41.660
158	73	Ta	S-31.370	166	74	W	-41.898	173	75	Re	S-43.650
159	73	Ta	S-34.820	167	74	W	S-42.350	174	75	Re	S-43.670
160	73	Ta	S-35.850	168	74	W	S-44.840	175	75	Re	S-45.280
161	73	Ta	S-38.980	169	74	W	S-44.940	176	75	Re	S-44.980
162	73	Ta	-40.06	170	74	W	S-47.240	177	75	Re	S-46.330
163	73	Ta	-42.6	171	74	W	S-47.080	178	75	Re	-45.78
164	73	Ta	S-43.320	172	74	W	S-48.970	179	75	Re	-46.62
165	73	Ta	S-45.850	173	74	W	S-48.690	180	75	Re	-45.84

181	75	Re	S-46.460	188	76	Os	-41.142	194	77	Ir	-32.539
182	75	Re	-45.45	189	76	Os	-38.993	195	77	Ir	-31.7
183	75	Re	-45.813	190	76	Os	-38.714	196	77	Ir	-29.46
184	75	Re	-44.22	191	76	Os	-36.401	197	77	Ir	-28.292
185	75	Re	-43.826	192	76	Os	-35.892	198	77	Ir	S-25.830
186	75	Re	-41.933	193	76	Os	-33.405	168	78	Pt	S-11.370
187	75	Re	-41.222	194	76	Os	-32.442	169	78	Pt	S-12.610
188	75	Re	-39.022	195	76	Os	-29.7	170	78	Pt	S-16.610
189	75	Re	-37.985	196	76	Os	-28.3	171	78	Pt	S-17.680
190	75	Re	-35.58	166	77	Ir	S-13.540	172	78	Pt	-21.24
191	75	Re	-34.36	167	77	Ir	S-17.360	173	78	Pt	S-22.110
192	75	Re	S-31.790	168	77	Ir	S-18.670	174	78	Pt	-25.324
163	76	Os	S-16.620	169	77	Ir	S-22.210	175	78	Pt	S-25.950
164	76	Os	S-20.780	170	77	Ir	-23.53	176	78	Pt	S-28.880
165	76	Os	S-21.870	171	77	Ir	-26.42	177	78	Pt	S-29.390
166	76	Os	S-25.740	172	77	Ir	S-27.490	178	78	Pt	S-31.950
167	76	Os	S-26.710	173	77	Ir	S-30.230	179	78	Pt	S-32.200
168	76	Os	-30.13	174	77	Ir	S-31.010	180	78	Pt	S-34.400
169	76	Os	S-30.880	175	77	Ir	S-33.490	181	78	Pt	S-34.310
170	76	Os	-33.933	176	77	Ir	S-34.000	182	78	Pt	S-36.170
171	76	Os	S-34.550	177	77	Ir	S-36.100	183	78	Pt	S-35.700
172	76	Os	S-37.190	178	77	Ir	S-36.350	184	78	Pt	S-37.360
173	76	Os	S-37.460	179	77	Ir	S-38.050	185	78	Pt	S-36.510
174	76	Os	S-39.950	180	77	Ir	S-37.840	186	78	Pt	-37.79
175	76	Os	S-39.920	181	77	Ir	S-39.360	187	78	Pt	S-36.820
176	76	Os	S-42.080	182	77	Ir	S-38.950	188	78	Pt	-37.827
177	76	Os	S-41.870	183	77	Ir	S-40.110	189	78	Pt	-36.491
178	76	Os	S-43.540	184	77	Ir	-39.54	190	78	Pt	-37.331
179	76	Os	S-42.970	185	77	Ir	S-40.210	191	78	Pt	-35.701
180	76	Os	S-44.380	186	77	Ir	-39.172	192	78	Pt	-36.303
181	76	Os	S-43.530	187	77	Ir	S-39.720	193	78	Pt	-34.487
182	76	Os	-44.542	188	77	Ir	-38.333	194	78	Pt	-34.787
183	76	Os	S-43.510	189	77	Ir	-38.462	195	78	Pt	-32.821
184	76	Os	-44.259	190	77	Ir	-36.71	196	78	Pt	-32.671
185	76	Os	-42.813	191	77	Ir	-36.715	197	78	Pt	-30.446
186	76	Os	-43.003	192	77	Ir	-34.843	198	78	Pt	-29.932
187	76	Os	-41.224	193	77	Ir	-34.544	199	78	Pt	-27.432

200	78	Pt	-26.627	178	80	Hg	-16.321	186	81	Tl	S-20.080
201	78	Pt	-23.75	179	80	Hg	S-17.090	187	81	Tl	S-22.200
173	79	Au	S-12.890	180	80	Hg	S-20.200	188	81	Tl	S-22.430
174	79	Au	-14.33	181	80	Hg	S-20.680	189	81	Tl	S-24.450
175	79	Au	-17.21	182	80	Hg	S-23.530	190	81	Tl	S-24.490
176	79	Au	S-18.520	183	80	Hg	S-23.740	191	81	Tl	S-26.190
177	79	Au	S-21.370	184	80	Hg	S-26.310	192	81	Tl	S-25.950
178	79	Au	S-22.530	185	80	Hg	S-26.110	193	81	Tl	-27.45
179	79	Au	S-24.990	186	80	Hg	S-28.540	194	81	Tl	S-27.070
180	79	Au	S-25.750	187	80	Hg	S-28.130	195	81	Tl	-28.27
181	79	Au	S-27.920	188	80	Hg	S-30.230	196	81	Tl	S-27.500
182	79	Au	S-28.390	189	80	Hg	S-29.690	197	81	Tl	-28.4
183	79	Au	S-30.170	190	80	Hg	S-31.410	198	81	Tl	-27.52
184	79	Au	S-30.130	191	80	Hg	-30.69	199	81	Tl	-28.14
185	79	Au	S-31.750	192	80	Hg	S-32.060	200	81	Tl	-27.073
186	79	Au	S-31.570	193	80	Hg	S-31.090	201	81	Tl	-27.205
187	79	Au	S-32.900	194	80	Hg	-32.255	202	81	Tl	-26.006
188	79	Au	S-32.530	195	80	Hg	-31.07	203	81	Tl	-25.784
189	79	Au	S-33.640	196	80	Hg	-31.852	204	81	Tl	-24.369
190	79	Au	-32.889	197	80	Hg	-30.566	205	81	Tl	-23.846
191	79	Au	-33.87	198	80	Hg	-30.979	206	81	Tl	-22.278
192	79	Au	-32.787	199	80	Hg	-29.572	207	81	Tl	-21.049
193	79	Au	S-33.430	200	80	Hg	-29.529	208	81	Tl	-16.774
194	79	Au	-32.295	201	80	Hg	-27.688	209	81	Tl	-13.652
195	79	Au	-32.594	202	80	Hg	-27.37	210	81	Tl	-9.262
196	79	Au	-31.166	203	80	Hg	-25.292	182	82	Pb	-6.874
197	79	Au	-31.165	204	80	Hg	-24.716	183	82	Pb	S -7.720
198	79	Au	-29.606	205	80	Hg	-22.312	184	82	Pb	S-11.000
199	79	Au	-29.119	206	80	Hg	-20.969	185	82	Pb	S-11.580
200	79	Au	-27.28	207	80	Hg	-16.27	186	82	Pb	S-14.630
201	79	Au	-26.413	179	81	Tl	S -8.020	187	82	Pb	S-14.920
202	79	Au	-24.42	180	81	Tl	S -9.300	188	82	Pb	S-17.780
203	79	Au	-23.153	181	81	Tl	S-12.350	189	82	Pb	S-17.820
204	79	Au	S-20.720	182	81	Tl	S-13.500	190	82	Pb	S-20.420
175	80	Hg	S -8.210	183	81	Tl	S-16.210	191	82	Pb	S-20.300
176	80	Hg	-11.89	184	81	Tl	S-17.030	192	82	Pb	S-22.580
177	80	Hg	S-12.950	185	81	Tl	S-19.490	193	82	Pb	S-22.280

194	82	Pb	S-24.250	202	83	Bi	-20.8	214	84	Po	-4.493
195	82	Pb	S-23.780	203	83	Bi	-21.58	215	84	Po	-0.542
196	82	Pb	S-25.420	204	83	Bi	-20.73	216	84	Po	1.76
197	82	Pb	S-24.800	205	83	Bi	-21.084	217	84	Po	S 5.840
198	82	Pb	S-26.100	206	83	Bi	-20.052	218	84	Po	8.351
199	82	Pb	-25.27	207	83	Bi	-20.079	194	85	At	S -0.760
200	82	Pb	S-26.280	208	83	Bi	-18.894	195	85	At	S -3.170
201	82	Pb	-25.3	209	83	Bi	-18.282	196	85	At	S -3.890
202	82	Pb	-25.957	210	83	Bi	-14.815	197	85	At	S -6.190
203	82	Pb	-24.81	211	83	Bi	-11.873	198	85	At	S -6.720
204	82	Pb	-25.132	212	83	Bi	-8.142	199	85	At	S -8.730
205	82	Pb	-23.793	213	83	Bi	-5.244	200	85	At	-8.94
206	82	Pb	-23.809	214	83	Bi	-1.218	201	85	At	-10.74
207	82	Pb	-22.476	215	83	Bi	1.71	202	85	At	-10.77
208	82	Pb	-21.772	216	83	Bi	S 5.960	203	85	At	-12.29
209	82	Pb	-17.638	192	84	Po	S -8.030	204	85	At	-11.9
210	82	Pb	-14.752	193	84	Po	S -8.280	205	85	At	-13.03
211	82	Pb	-10.494	194	84	Po	S-11.010	206	85	At	-12.49
212	82	Pb	-7.571	195	84	Po	S-11.120	207	85	At	-13.29
213	82	Pb	S -3.240	196	84	Po	S-13.500	208	85	At	-12.56
214	82	Pb	-0.188	197	84	Po	S-13.450	209	85	At	-12.902
186	83	Bi	S -3.380	198	84	Po	S-15.510	210	85	At	-11.995
187	83	Bi	S -6.100	199	84	Po	S-15.280	211	85	At	-11.674
188	83	Bi	S -7.330	200	84	Po	S-17.010	212	85	At	-8.64
189	83	Bi	S -9.800	201	84	Po	S-16.570	213	85	At	-6.603
190	83	Bi	S-10.690	202	84	Po	S-17.970	214	85	At	-3.403
191	83	Bi	S-12.990	203	84	Po	-17.35	215	85	At	-1.269
192	83	Bi	S-13.520	204	84	Po	S-18.370	216	85	At	2.231
193	83	Bi	S-15.720	205	84	Po	-17.555	217	85	At	4.383
194	83	Bi	S-16.040	206	84	Po	-18.205	218	85	At	8.09
195	83	Bi	S-17.930	207	84	Po	-17.169	219	85	At	10.52
196	83	Bi	-17.97	208	84	Po	-17.492	220	85	At	S 14.290
197	83	Bi	-19.64	209	84	Po	-16.39	198	86	Rn	S -1.240
198	83	Bi	-19.54	210	84	Po	-15.977	199	86	Rn	S -1.560
199	83	Bi	-20.92	211	84	Po	-12.457	200	86	Rn	S -4.040
200	83	Bi	-20.4	212	84	Po	-10.394	201	86	Rn	S -4.160
201	83	Bi	-21.47	213	84	Po	-6.676	202	86	Rn	S -6.320

203	86	Rn	S -6.230	218	87	Fr	7.036	230	88	Ra	S 34.660
204	86	Rn	S -8.040	219	87	Fr	8.609	209	89	Ac	8.89
205	86	Rn	S -7.760	220	87	Fr	11.456	210	89	Ac	8.62
206	86	Rn	S -9.160	221	87	Fr	13.266	211	89	Ac	7.08
207	86	Rn	-8.67	222	87	Fr	16.38	212	89	Ac	7.24
208	86	Rn	S -9.690	223	87	Fr	18.381	213	89	Ac	6.1
209	86	Rn	-8.973	224	87	Fr	21.62	214	89	Ac	6.38
210	86	Rn	-9.623	225	87	Fr	23.84	215	89	Ac	5.97
211	86	Rn	-8.78	226	87	Fr	27.21	216	89	Ac	8.06
212	86	Rn	-8.682	227	87	Fr	29.59	217	89	Ac	8.685
213	86	Rn	-5.722	228	87	Fr	S 33.140	218	89	Ac	10.82
214	86	Rn	-4.343	204	88	Ra	S 5.990	219	89	Ac	11.54
215	86	Rn	-1.193	205	88	Ra	S 5.760	220	89	Ac	13.73
216	86	Rn	0.231	206	88	Ra	S 3.520	221	89	Ac	14.5
217	86	Rn	3.634	207	88	Ra	S 3.470	222	89	Ac	16.603
218	86	Rn	5.199	208	88	Ra	S 1.660	223	89	Ac	17.817
219	86	Rn	8.828	209	88	Ra	S 1.810	224	89	Ac	20.204
220	86	Rn	10.59	210	88	Ra	S 0.420	225	89	Ac	21.626
221	86	Rn	S 14.420	211	88	Ra	0.8	226	89	Ac	24.303
222	86	Rn	16.367	212	88	Ra	S -0.230	227	89	Ac	25.848
201	87	Fr	S 3.770	213	88	Ra	0.311	228	89	Ac	28.89
202	87	Fr	S 3.100	214	88	Ra	0.075	229	89	Ac	30.9
203	87	Fr	S 0.970	215	88	Ra	2.509	230	89	Ac	S 33.760
204	87	Fr	0.65	216	88	Ra	3.269	231	89	Ac	35.91
205	87	Fr	-1.27	217	88	Ra	5.864	232	89	Ac	S 39.240
206	87	Fr	-1.42	218	88	Ra	6.627	212	90	Th	S 12.040
207	87	Fr	-2.96	219	88	Ra	9.363	213	90	Th	S 12.080
208	87	Fr	-2.71	220	88	Ra	10.25	214	90	Th	S 10.670
209	87	Fr	-3.83	221	88	Ra	12.938	215	90	Th	10.89
210	87	Fr	-3.4	222	88	Ra	14.303	216	90	Th	S 10.270
211	87	Fr	-4.2	223	88	Ra	17.232	217	90	Th	12.16
212	87	Fr	-3.6	224	88	Ra	18.804	218	90	Th	12.348
213	87	Fr	-3.572	225	88	Ra	21.988	219	90	Th	14.45
214	87	Fr	-0.983	226	88	Ra	23.662	220	90	Th	14.647
215	87	Fr	0.292	227	88	Ra	27.172	221	90	Th	16.917
216	87	Fr	2.96	228	88	Ra	28.936	222	90	Th	17.182
217	87	Fr	4.293	229	88	Ra	32.66	223	90	Th	19.357

224	90	Th	19.98	227	92	U	S 28.970	239	94	Pu	48.584
225	90	Th	22.283	228	92	U	29.209	240	94	Pu	50.122
226	90	Th	23.183	229	92	U	31.181	241	94	Pu	52.952
227	90	Th	25.803	230	92	U	31.6	242	94	Pu	54.713
228	90	Th	26.749	231	92	U	33.78	243	94	Pu	57.751
229	90	Th	29.581	232	92	U	34.587	244	94	Pu	59.802
230	90	Th	30.858	233	92	U	36.915	245	94	Pu	63.175
231	90	Th	33.812	234	92	U	38.141	246	94	Pu	65.391
232	90	Th	35.444	235	92	U	40.915	233	95	Am	S 43.270
233	90	Th	38.729	236	92	U	42.441	234	95	Am	S 44.340
234	90	Th	40.607	237	92	U	45.387	235	95	Am	S 44.640
235	90	Th	44.25	238	92	U	47.305	236	95	Am	S 46.010
215	91	Pa	17.68	239	92	U	50.57	237	95	Am	S 46.640
216	91	Pa	17.68	240	92	U	52.711	238	95	Am	48.42
217	91	Pa	17.02	229	93	Np	33.74	239	95	Am	49.385
218	91	Pa	18.6	230	93	Np	35.22	240	95	Am	51.498
219	91	Pa	S 18.500	231	93	Np	35.62	241	95	Am	52.931
220	91	Pa	S 20.190	232	93	Np	S 37.280	242	95	Am	55.463
221	91	Pa	S 20.310	233	93	Np	S 38.010	243	95	Am	57.169
222	91	Pa	21.94	234	93	Np	39.952	244	95	Am	59.877
223	91	Pa	22.31	235	93	Np	41.039	245	95	Am	61.891
224	91	Pa	23.78	236	93	Np	43.37	246	95	Am	64.99
225	91	Pa	24.31	237	93	Np	44.868	247	95	Am	S 67.230
226	91	Pa	26.015	238	93	Np	47.451	248	95	Am	S 70.590
227	91	Pa	26.824	239	93	Np	49.306	235	96	Cm	S 48.020
228	91	Pa	28.856	240	93	Np	52.321	236	96	Cm	S 47.870
229	91	Pa	29.887	241	93	Np	54.26	237	96	Cm	S 49.150
230	91	Pa	32.168	242	93	Np	57.41	238	96	Cm	49.38
231	91	Pa	33.422	243	93	Np	59.922	239	96	Cm	S 51.090
232	91	Pa	35.924	231	94	Pu	S 38.390	240	96	Cm	51.702
233	91	Pa	37.485	232	94	Pu	38.349	241	96	Cm	53.7
234	91	Pa	40.334	233	94	Pu	40.02	242	96	Cm	54.8
235	91	Pa	42.33	234	94	Pu	40.335	243	96	Cm	57.177
236	91	Pa	45.34	235	94	Pu	42.16	244	96	Cm	58.449
237	91	Pa	47.64	236	94	Pu	42.879	245	96	Cm	60.998
238	91	Pa	50.91	237	94	Pu	45.09	246	96	Cm	62.614
226	92	U	27.17	238	94	Pu	46.16	247	96	Cm	65.528

248	96	Cm	67.388	242	99	Es	S 64.620	254	101	Md	S 83.490
249	96	Cm	70.746	243	99	Es	S 64.710	255	101	Md	84.835
250	96	Cm	72.985	244	99	Es	S 65.970	256	101	Md	87.55
251	96	Cm	76.642	245	99	Es	S 66.380	257	101	Md	S 89.010
237	97	Bk	S 53.190	246	99	Es	S 67.940	258	101	Md	S 91.840
238	97	Bk	S 54.070	247	99	Es	68.55	251	102	No	S 82.760
239	97	Bk	S 54.270	248	99	Es	70.29	252	102	No	82.857
240	97	Bk	S 55.600	249	99	Es	71.11	253	102	No	S 84.330
241	97	Bk	S 56.100	250	99	Es	S 73.270	254	102	No	84.711
242	97	Bk	S 57.800	251	99	Es	74.506	255	102	No	86.848
243	97	Bk	58.683	252	99	Es	77.29	256	102	No	87.793
244	97	Bk	60.7	253	99	Es	79.007	257	102	No	90.22
245	97	Bk	61.809	254	99	Es	81.994	258	102	No	S 91.430
246	97	Bk	S 64.110	255	99	Es	84.083	259	102	No	94.018
247	97	Bk	65.484	256	99	Es	S 87.160	253	103	Lr	S 88.630
248	97	Bk	68.107	243	100	Fm	S 69.360	254	103	Lr	S 89.750
249	97	Bk	69.842	244	100	Fm	S 69.040	255	103	Lr	S 90.080
250	97	Bk	72.951	245	100	Fm	S 70.040	256	103	Lr	S 91.930
251	97	Bk	75.222	246	100	Fm	70.12	257	103	Lr	S 92.670
252	97	Bk	S 78.530	247	100	Fm	S 71.530	258	103	Lr	S 94.750
239	98	Cf	S 58.250	248	100	Fm	71.888	259	103	Lr	95.84
240	98	Cf	S 58.020	249	100	Fm	S 73.510	260	103	Lr	98.13
241	98	Cf	S 59.180	250	100	Fm	74.06	255	104	Rf	S 94.290
242	98	Cf	59.32	251	100	Fm	75.978	256	104	Rf	94.234
243	98	Cf	S 60.910	252	100	Fm	76.814	257	104	Rf	S 95.900
244	98	Cf	61.46	253	100	Fm	79.339	258	104	Rf	S 96.340
245	98	Cf	63.38	254	100	Fm	80.9	259	104	Rf	98.28
246	98	Cf	64.087	255	100	Fm	83.788	260	104	Rf	S 99.020
247	98	Cf	66.13	256	100	Fm	85.482	261	104	Rf	S101.150
248	98	Cf	67.237	257	100	Fm	88.585	257	105	Ha	S100.360
249	98	Cf	69.717	247	101	Md	S 76.060	258	105	Ha	S101.620
250	98	Cf	71.167	248	101	Md	S 77.100	259	105	Ha	S102.110
251	98	Cf	74.129	249	101	Md	S 77.270	260	105	Ha	S103.620
252	98	Cf	76.03	250	101	Md	S 78.580	261	105	Ha	S104.170
253	98	Cf	79.296	251	101	Md	S 79.050	262	105	Ha	S105.970
254	98	Cf	81.338	252	101	Md	S 80.620	259	106	Sg	S106.590
241	99	Es	S 63.830	253	101	Md	S 81.240	260	106	Sg	106.58

261	106	Sg	S108.140	262	107	Ns	S114.650	265	108	Hs	S121.080
262	106	Sg	S108.460	263	107	Ns	S114.830	266	109	Mt	S128.350
263	106	Sg	110.09	264	107	Ns	S116.150				
261	107	Ns	S113.330	264	108	Hs	S119.710				

الملحق C: جدول الوفرة % Abundance للنظائر الطبيعية.

Isotope	Abundance	Isotope	Abundance	Isotope	Abundance	Isotope	Abundance	Isotope	Abundance
¹ H	99.985 1	⁵⁴ Fe	5.8 1	⁹⁶ Ru	5.52 6	¹³⁶ Ce	0.19 1	¹⁸⁰ Yb	0.13 4
² H	0.015 1	⁵⁶ Fe	91.72 30	⁹⁸ Ru	1.88 6	¹³⁸ Ce	0.25 1	¹⁸² Yb	26.3 2
³ He	0.000137 3	⁵⁷ Fe	2.2 1	⁹⁹ Ru	12.7 1	¹⁴⁰ Ce	88.48 10	¹⁸³ Yb	14.3 1
⁴ He	99.999863 3	⁵⁸ Fe	0.28 1	¹⁰¹ Ru	12.6 1	¹⁴² Ce	11.08 10	¹⁸⁴ Yb	30.67 10
⁹ Li	7.5 2	⁵⁵ Mn	100	¹⁰² Ru	17.0 1	¹³⁹ La	0.0902 2	¹⁸⁵ Yb	28.6 2
⁷ Li	92.5 2	⁵⁸ Ni	68.077 6	¹⁰⁴ Ru	18.7 2	¹³⁸ La	99.9098 2	¹⁸⁶ Os	0.02 1
⁹ Be	100	⁶⁰ Ni	26.223 6	¹⁰⁶ Pd	1.02 1	¹⁴¹ Pr	100	¹⁸⁷ Os	1.58 30
¹⁰ B	19.9 2	⁶¹ Ni	1.140 1	¹⁰⁸ Pd	11.14 6	¹⁴² Nd	27.13 12	¹⁸⁸ Os	13.3 7
¹¹ B	80.1 2	⁶² Ni	3.634 2	¹⁰⁹ Pd	22.33 6	¹⁴³ Nd	12.18 6	¹⁸⁹ Os	16.1 6
¹² C	98.90 3	⁶⁴ Ni	0.525 1	¹¹⁰ Pd	27.33 3	¹⁴⁴ Nd	23.80 12	¹⁹⁰ Os	26.4 12
¹³ C	1.10 3	⁶⁶ Co	100	¹¹² Pd	26.46 6	¹⁴⁵ Nd	8.30 6	¹⁹¹ Os	41.0 2
¹⁴ N	99.634 6	⁶⁸ Cu	69.17 3	¹¹⁴ Pd	17.72 6	¹⁴⁶ Nd	17.19 9	¹⁹² Re	27.40 2
¹⁵ N	0.366 6	⁶⁹ Cu	30.83 3	¹¹⁵ Pd	100	¹⁴⁸ Nd	5.76 3	¹⁹⁴ Re	62.60 2
¹⁶ O	99.762 16	⁷⁰ Zn	48.6 3	¹¹⁶ Cd	1.25 4	¹⁵⁰ Nd	5.64 3	¹⁹⁶ Pt	0.01 1
¹⁷ O	0.038 3	⁷² Zn	27.9 2	¹¹⁷ Cd	0.89 2	¹⁴⁴ Gm	3.1 1	¹⁹⁷ Pt	0.79 6
¹⁸ O	0.200 12	⁷⁴ Zn	4.1 1	¹¹⁸ Cd	12.49 12	¹⁴⁷ Gm	15.0 2	¹⁹⁸ Pt	32.9 6
¹⁹ F	100	⁷⁶ Zn	18.8 4	¹¹⁹ Cd	12.80 6	¹⁴⁸ Gm	11.3 1	¹⁹⁹ Pt	33.8 6
²⁰ Ne	90.48 3	⁷⁷ Zn	0.6 1	¹²⁰ Cd	24.13 14	¹⁴⁹ Gm	13.8 1	²⁰⁰ Pt	25.3 2
²¹ Ne	0.27 1	⁶⁹ Ga	60.108 6	¹²² Cd	12.22 6	¹⁵⁰ Gm	7.4 1	²⁰¹ Pt	7.2 2
²² Ne	9.25 3	⁷¹ Ga	39.892 6	¹²⁴ Cd	28.73 30	¹⁵¹ Gm	26.7 2	¹⁸¹ Ir	37.3 6
²³ Na	100	⁷² Ge	21.23 4	¹²⁶ Cd	7.49 12	¹⁵⁴ Gm	22.7 2	¹⁸³ Ir	62.7 6
²⁴ Mg	78.99 3	⁷³ Ge	27.66 3	¹⁰⁷ Ag	61.839 7	¹⁵¹ Eu	47.8 10	¹⁸⁰ Hg	0.15 1
²⁵ Mg	10.00 1	⁷⁴ Ge	7.73 1	¹⁰⁹ Ag	48.161 7	¹⁵³ Eu	52.2 10	¹⁸² Hg	9.97 6
²⁶ Mg	11.01 2	⁷⁶ Ge	35.94 2	¹¹² Sn	0.37 1	¹⁵⁵ Gd	0.20 1	¹⁸⁴ Hg	16.87 10
²⁷ Al	100	⁷⁸ Ge	7.44 2	¹¹⁴ Sn	0.65 1	¹⁵⁶ Gd	2.18 3	¹⁸⁶ Hg	23.10 10
²⁸ Si	92.23 1	⁷⁹ Ge	0.89 2	¹¹⁵ Sn	0.34 1	¹⁵⁷ Gd	14.80 6	²⁰¹ Hg	13.18 6
²⁹ Si	4.67 1	⁸⁰ Ge	9.36 11	¹¹⁶ Sn	14.53 1	¹⁵⁸ Gd	20.47 4	²⁰² Hg	29.86 20
³⁰ Si	3.10 1	⁸¹ Ge	7.63 6	¹¹⁷ Sn	7.68 7	¹⁵⁹ Gd	15.65 3	²⁰⁴ Hg	6.87 4
³¹ P	100	⁸² Ge	23.78 6	¹¹⁸ Sn	24.23 11	¹⁶⁰ Gd	24.84 12	¹⁹⁷ Au	100
³² S	95.02 6	⁸³ Ge	49.61 10	¹¹⁹ Sn	8.59 4	¹⁶¹ Gd	21.86 4	²⁰³ Tl	29.524 14
³³ S	0.75 4	⁸⁴ Se	8.73 6	¹²⁰ Sn	32.59 10	¹⁶² Gd	0.06 1	²⁰⁵ Tl	70.476 14
³⁴ S	4.21 6	⁷⁵ As	100	¹²² Sn	4.63 3	¹⁶³ Dy	0.10 1	²⁰⁶ Pb	1.4 1
³⁵ S	0.02 1	⁷⁶ As	100	¹²⁴ Sn	5.79 6	¹⁶⁴ Dy	2.34 6	²⁰⁸ Pb	24.1 1
³⁶ Cl	75.77 7	⁷⁸ Kr	0.35 2	¹¹⁹ In	4.3 2	¹⁶⁵ Dy	18.9 2	²⁰⁷ Pb	22.1 1
³⁷ Cl	24.23 7	⁸⁰ Kr	2.25 2	¹¹⁷ In	95.7 2	¹⁶⁷ Dy	26.5 2	²⁰⁹ Pb	52.4 1
³⁹ Ar	0.337 3	⁸² Kr	11.6 1	¹²⁰ Te	0.096 2	¹⁶⁸ Dy	24.9 2	²⁰⁹ Bi	100
⁴⁰ Ar	99.600 3	⁸³ Kr	11.5 1	¹²² Te	2.603 4	¹⁶⁹ Dy	28.2 2	²¹⁰ Th	100
⁴¹ K	93.2581 44	⁸⁴ Kr	57.0 3	¹²⁴ Te	0.908 2	¹⁷⁰ Er	0.14 1	²³⁴ U	0.0055 5
⁴² K	0.0117 1	⁸⁶ Kr	17.3 2	¹²⁶ Te	4.816 6	¹⁷¹ Er	1.61 2	²³⁵ U	0.7200 12
⁴³ K	6.7302 44	⁸⁸ Kr	50.89 7	¹²⁸ Te	7.139 6	¹⁷² Er	22.95 15	²³⁸ U	99.2745 10
⁴⁴ Ca	98.941 10	⁹⁰ Kr	49.31 7	¹³⁰ Te	18.95 1	¹⁷³ Er	26.8 2		
⁴⁵ Ca	0.647 6	⁹² Sr	0.56 1	¹³² Te	31.69 1	¹⁷⁴ Er	14.9 2		
⁴⁶ Ca	0.135 6	⁹⁴ Sr	9.86 1	¹³⁴ Te	33.80 1	¹⁷⁶ Ho	100		
⁴⁷ Ca	2.086 12	⁹⁶ Sr	7.00 1	¹³⁶ Te	57.36 6				
⁴⁸ Ca	0.004 3	⁹⁸ Sr	82.58 1	¹³⁸ Te	42.64 6				
⁴⁹ Ca	0.187 4	¹⁰⁰ Rb	72.165 20	¹⁴⁰ Te	0.10 1				
⁵⁰ Ca	100	¹⁰¹ Rb	27.835 20	¹⁴² Xe	0.09 1				
⁵¹ Sc	100	⁸⁸ Y	100	¹⁴⁴ Xe	1.91 3				
⁵² Ti	8.0 1	⁹⁰ Zr	51.45 3	¹⁴⁶ Xe	26.4 6				
⁵³ Ti	7.3 1	⁹¹ Zr	11.22 4	¹⁴⁸ Xe	4.1 1				
⁵⁴ Ti	73.8 1	⁹² Zr	17.15 2	¹⁵⁰ Xe	26.9 6				
⁵⁵ Ti	5.5 1	⁹⁴ Zr	17.38 4	¹⁵² Xe	10.4 2				
⁵⁶ Ti	5.4 1	⁹⁶ Zr	2.80 2	¹⁵⁴ Xe	8.9 1				
⁵⁷ V	0.250 2	⁹⁷ Mo	14.84 4	¹⁵⁶ Xe	0.105 2				
⁵⁸ V	99.750 2	⁹⁹ Mo	9.25 3	¹⁵⁸ Ba	0.101 2				
⁵⁹ Cr	4.345 10	¹⁰⁰ Mo	15.92 6	¹⁶⁰ Ba	2.417 27				
⁶⁰ Cr	83.785 10	¹⁰¹ Mo	16.68 6	¹⁶² Ba	6.592 18				
⁶¹ Cr	9.501 17	¹⁰² Mo	9.55 3	¹⁶⁴ Ba	7.854 38				
⁶² Cr	2.365 7	¹⁰⁴ Mo	24.13 7	¹⁶⁶ Ba	11.23 4				
		¹⁰⁶ Mo	9.63 3	¹⁶⁸ Ba	71.70 7				
		¹⁰⁸ Nb	100	¹⁷⁰ Yb	12.7 2				
				¹⁷² Yb	31.8 4				
				¹⁷⁴ Yb	16.12 21				
				¹⁷⁶ Yb	12.7 2				
				¹⁷⁸ Yb	12.7 2				
				¹⁸⁰ Tm	100				
				¹⁷⁴ Hf	0.162 3				
				¹⁷⁶ Hf	5.206 6				
				¹⁷⁷ Hf	18.606 4				
				¹⁷⁸ Hf	27.297 4				
				¹⁷⁹ Hf	13.629 6				
				¹⁸⁰ Hf	35.100 7				
				¹⁷⁵ Lu	97.41 2				
				¹⁷⁶ Lu	2.59 2				
				¹⁸⁰ Ta	0.012 2				
				¹⁸¹ Ta	99.988 2				

المصطلحات العلمية

انكليزي - عربي

A

antimatter	مضاد المادة	absolute Activity	نشاط مطلق
antinode	بطن: في الأمواج المستقرة	absorbed Dose of radiation	جرعة الإشعاع الممتصة
antiparticle	جسيم مضاد	activity	نشاط
antiproton	مضاد البروتون	allowed states	حالات مسموحة
antisymmetric	لا متناظر	allowed transition	انتقال مسموح
argon (Ar)	أرجون	alpha counter tube	عداد ألفا
artificial radioactivity	نشاط إشعاعي صناعي	alpha Decay	تفكك ألفا
assembly of particles	تجمع جسيمات	alpha particle	جسيم ألفا
associated Wave	موجة مواكبة	alpha Scattering	تبعثر ألفا
astigmatic	لا نقطي	alpha rays	أشعة ألفا
asymmetry	لاتناظر	americium	أميريسيوم
asymptotic	مقارب	amplification factor	عامل تضخيم
asynchronism	لا مترامن	amplifier	مضخم
atmosphere	غلاف جوي	amplitude	مطال، سعة
atom excitation	إثارة الذرة	analog	مماثل
atom Spectrum	طيف الذرة	analyser	محلل
atomic clock	مقياسية ذرية	angle	زاوية
atomic electric station	محطة ذرية	angle of scattering	زاوية التبعثر
atomic energy	طاقة ذرية	(الانتشار)	
atomic mass	كتلة ذرية	angstrom: unit	انغستروم: وحدة طول
atomic mass unite	وحدة الكتلة الذرية	angular distribution	توزيع زواي
atomic model	نموذج ذري	angular frequency	تردد (توتر) زواي
atomic nucleus	نواة ذرية	angular momentum	كمية الحركة الزاوية
atomic number	عدد ذري	anharmonic oscillator	هزاز لا توافقي
atomic orbital	مدار ذري	anisotropy	لا متناحي
atomic spectra	أطياف ذرية	annihilation	إفناء، فناء
attenuation	إضعاف (امتصاص)	anode	أنود، مصعد
attenuation factor	عامل الامتصاص	anticoincidece	لا تطابق

Boltzmann constant	الحراري ثابتة بولتزمان	azimuthal quantum number	عدد كمي سمتي
bomb	قنبلة	back Scattered electrons	الالكترونات مرتدة
Bombardment with neutrons	قصف بالنيوترونات	back Scattering	تبعثر مرتد
boson	بوزون	background radiation	إشعاع الخلفية
bound state	حالة مرتبطة	Balmer formula	صيغة بالمر
boundary conditions	شروط حدية	Balmer Series	سلسلة بالمر
bracket series of the H atom	سلسلة براكيت الهيدروجينية	barn (b)	بارن: وحدة المقطع الفعال
Bragg angle	زاوية براغ	barometer	بارومتر: مقياس الضغط الجوي
branching disintegration	تفكك متفرع	baryons	باريونات
branching ration	نسبة التفرع	base frequencies	ترددات القرار
bremsstrahlung	إشعاع الكبح	(الاستقرار)	
bubble chamber	حجرة الفقاعات	beaker	إناء، بيكر
cadmium (Cd)	كادميوم	beta decay	تفكك بيتا
caesium (Cs)	سيزيوم	beta particles	جسيمات بيتا
calcium (Ca)	كالسيوم	beta radiation	إشعاع بيتا
calibration	معايرة	beta ray spectrometer	مطياف أشعة بيتا
caloric	حراري	beta rays	أشعة بيتا
caloric effect	مفعول حراري	binding	ارتباط
calorie	حريرة	binding energy	طاقة الارتباط
calorimeter	مسعر	binding energy of electrons	طاقة ارتباط الالكترونات
capture	أسر	binding energy of nucleons	طاقة ارتباط النيوكلونات
cartesian coordinates	إحداثيات ديكارتية	bismuth (Bi)	بزموت
case	حالة	black body	جسم أسود
cathode	كاثود، مهبط	black body radiation	إشعاع الجسم الأسود
cathode bias	انحياز المهبط	Bohr atom	ذرة بور
cathode follower	تابع المهبط	Bohr atomic model	نموذج بور الذري
cathode rays	أشعة مهبطية	Bohr magneton	مغنتون بور
cation	أيون موجب	Bohr radius	نصف قطر بور
cell	خلية	bolometer	مقياس الإشعاع
Celsius degree	درجة مئوية		
center	مركز		

complete	تام، كامل	cerium (Ce)	سيريوم
complex	عقدي	characteristic radiation	إشعاع مميز
complex conjugate	مرافق عقدي	characteristic rays	أشعة مميزة
Compton effect	مفعول كمبتون	characteristic X – rays	أشعة سينية مميزة
conservation law of energy	قانون انحفاظ الطاقة	characteristics	مميزات
conservation laws	قوانين الانحفاظ	charge	شحنة
constant of Weak interaction	ثابت التأثير الضعيف	charge conservation	انحفاظ الشحنة
continues spectrum	طيف مستمر	charge density	كثافة الشحنة
corpuscle	جسيم	charge independence	استقلال الشحنة
corpuscular	جسيمي	charge invariance	لا تغير الشحنة،
correspondence principle	مبدأ التقابل	charge of nucleus	شحنة النواة
cosmic rays	أشعة كونية	charged	مشحون
Coulomb barrier	حاجز كولوني	chlorine (cl)	كلور
counter	عداد	choc	صدمة
coupling	ازدواج	choke	خانق
covariance	تغاير	circular orbits in the H atom	مدارات دائرية في ذرة الهيدروجين
covariant	موافق التغاير	classical	تقليدي، كلاسيكي
cross section	مقطع عرضي، مقطع فعال	cloud	سحاب
crystal	بلورة	cloud chamber	حجرة سحاب
cubic	مكعب	coherence	ترابط
	D	coherent	مترايط
data	بيانات، معطيات	coherent rays	أشعة مترابطة
data processing	معالجة المعطيات	coincidence	تطابق
dating	تأريخ	collision	تصادم
De Broglie waves	أمواج دي بروي	collision Cross Section	مقطع عرضي للتصادم
dead time, in a counter	زمن ميت، في عداد	collision of particles	تصادم الجسيمات
decay	تفكك، اضمحلال	color or colour	لون
decay constant	ثابت التفكك	colorimetry	قياس الألوان
decay time	زمن التفكك	column	عمود
decomposition	تحلل	complementarity principle	مبدأ التتام، التتامية
decrement	تناقص	complementary	متتم
degenerate energy level	مستوى طاقي منطبق		

effective mass	كتلة فعالة	degeneration	تحلل، تردي
effective nuclear charge	الشحنة النووية الفعالة	degree	درجة
efficiency	مردود، كفاءة	dipolar	ثنائي القطبية
elastic	مرن	delay line	خط التأخير
elastic collision	صدم مرن	delay time	زمن التأخير
elastic Scattering	تبعثر مرن	delayed neutron	نيوترون متأخر
elastic quadrupole moment	عزم رباعي الأقطاب	delta rays	أشعة دلتا
electromagnetic	كهربيائي	detector	كاشف
electron binding	كهربيائي	deuterium ($D, {}^2H$)	ديتريوم، هيدروجين ثقيل
electron capture	طاقة ارتباط الإلكترون	developer	مظهر
electron mass	أسر الكتروني	device	أداة، نبيلة
electron multiplier	كتلة الإلكترون	diagram	مخطط
electron of internal conversion	مضاعف الكتروني	diameter	قطر
electron shell	الكثرون التحول الداخلي	diatomic	ثنائي الذرة
electron spin	طبقة الكترونية	diffraction	انعراج
electron tube	سبين الإلكترون	diffusion	تبعثر
electron _ volt (eV)	صمام الكتروني	Dirac notations	رموز ديراك
element	الكثرون فولت (eV)	discrete spectrum	طيف منقطع
elementary charge	عنصر	Doppler broadening	توسيع دوبلر
elementary particle	شحنة عنصرية	Doppler effect	مفعول دوبلر
ellipse	جسيم أولي	Doppler shift	إزاحة دوبلر
ellipsoid	قطع ناقص	Doppler width	اتساع دوبلر، عرض دوبلر
elliptical orbit	مجسم القطع الناقص	dose of radiation	جرعة الإشعاع
emission	مدار إهليلجي	duality	مثنوية
emitter	إصدار	dyne	دينه: وحدة قوة
energy	مصدر، باعث	E	مفعول الحافة (الانقطاع)
energy density	طاقة		
energy level	كثافة الطاقة	edge effect	مفعول
energy level width	مستوى الطاقة	effect	تأثير الإشعاع
energy quantization	عرض مستوى الطاقة	effect of radiation	فعال
energy spectrum	تكميم الطاقة	effective	مقطع الأسر الفعال
energy states	طيف الطاقة	effect capture cross - section	
	حالات طاقة		

fission fragments	شظايا الانشطار	energy threshold	عتبة الطاقة
fission neutrons	نيوترونات الانشطار	enriched uranium	يورانيوم مخصب
fission reaction	تفاعل الانشطار	epithermal neutron	نيوترون فوق حراري
Fissionable nuclides	نيوكلايدات شظورة	equation of wave	معادلة الموجة
fluorescence	فلورة	equivalence principle	مبدأ التكافؤ
fluorescence resonance radiation	إشعاع رنين الفلورة	erg	إرجة
fluorescent	متفلور	even function	تابع زوجي
fluorine (F)	فلور (F)	even – even nucleus	نواة زوجية – زوجية
Fluorometer	مقياس التفلور	even – odd nucleus	نواة زوجية – فردية
fluorimetry	قياس التفلور	excitation energy	طاقة الإثارة
flux	تدفق	excited atom	ذرة مثارة
flux density	كثافة التدفق	excited level	مستوي مثار
force	قوة	excited state	حالة مثارة
foreign atom	ذرة غريبة	exclusion Principle	مبدأ الاستبعاد
free atom	ذرة حرة	exoergic	ناشر للحرارة
free charge	شحنة حرة	exothermic reaction	تفاعل ناشر للحرارة
free electron	الالكترون حر	explosion	انفجار
free energy	طاقة حرة	exposure dose of radiation	جرعة التعرض للإشعاع
free neutron	نيوترون حر		
free particle	جسيم حر	F	
frequency	تردد، تواتر	fast fission	انشطار سريع
frequency meter	مقياس التردد	fast neutrons	نيوتونات سريعة
fuel cycle	دورة الوقود	fast reactor	مفاعل سريع
fuel rod	قضيب الوقود	Fermi age	عمر فرمي
full radiation	إشعاع كامل	fermion	فرميون
function	تابع (دالة)	field	حقل
function of state	تابع الحالة	figure	شكل
fundamental Particle	جسيم أولي	filament	فتيلة
fusion	اندماج	film	غشاء، فلم
fusion energy	طاقة الاندماج	filter	مرشح
fusion reaction	تفاعل الاندماج	fine structure	بنية دقيقة
		fissile	شظور
		fission	انشطار
gallium (Ga)	جاليوم (Ga)	fission cross – Section	مقطع فعال للانشطار
gamma	جاما	fission energy	طاقة الانشطار

helium (He)	هيليوم (He)	gamma decay	تفكك جاما
helium isotopes	نظائر الهيليوم	gamma ray	شعاع جاما
hertz (Hz)	هرتز : وحدة التواتر	gaseous ionization	تأين غازي
hydrogen (H)	الهيدروجين	Geiger counter	عداد جايجر
hydrogen bomb	قنبلة هيدروجينية	Geiger- Muller counter	عداد جايجر- مولر
hypercharge	شحنة مفرطة	general relativity	نسبية عامة
I			
identical particles	جسيمات متطابقة	germanium (Ge)	جرمانيوم (Ge)
idle period	زمن ميت	giga	جيجا: من مضاعفات
imaginary	تخيلي	gluon	وحدة القياس
Imbalance	لا توازن	gravity	جلوون
impact	صدم	ground	ثقالة
impact parameter	وسيط الصدم	ground state	أرض
impulse	دفع، نبضة	ground term	حالة أساسية، حالة دنيا
impulse of a force	دفع القوة	gyroscope	حد أساسي
Impulsion	دفع	H	جيروسكوب
uncertainty principle	مبدأ الارتباب		هدرون
incidence	ورود	hadron	هافنيوم (Hf)
incident	وارد	hafnium (Hf)	هافنيوم (HF)
indium	إنديوم	half - life	عمر النصف
inelastic	لا مرن	half - life time	عمر النصف
inelastic collision	تصادم لا مرن	half - width	عرض النصف
ingoing wave	موجة قادمة	head -on collision	صدم جبهي
initial conditions	شروط ابتدائية	health hazards	أخطار صحية
instantaneous neutrons	نيوترونات آنية	heat	حرارة
integral dose	جرعة كلية	heat energy	طاقة حرارية
intensity	شدة	heat engines	محركات حرارية
intensity of radiation	شدة الإشعاع	heat of fusion	حرارة الاندماج
intensity of radioactivity	شدة النشاط الإشعاعي	heat pump	مضخة حرارية
interaction	التأثير المتبادل	heat radiation	إشعاع حراري
interaction of radiation with matter	التأثير المتبادل بين الإشعاع و المادة	heavy hydrogen (D), (² H)	هيدروجين ثقيل
intermediate neutron	نيوترون متوسط الطاقة	heavy water (D ₂ O)	الماء الثقيل
		height	ارتفاع
		Heisenberg	مبدأ الارتباب
		uncertainty principle	لهايزنبرج

Kelvin	كلفن: وحدة درجة الحرارة المطلقة	internal conversion	تحول داخلي، انقلاب داخلي
kilocalorie	كيلو حريرة	international units	وحدات دولية
kinetic energy	طاقة حركية	intranucleus	داخل النواة
L		intrinsic	ذاتي
L electrons	الالكترونات الطبقة L	intrinsic parity	نوعية (ندية) أصلية
L shell	الطبقة L	invariance	لا تغير، صمود
lag	تأخر	invariant	لا متغير، صامد
lanthanum (La)	لانثانيوم	inverse - square	قانون التربيع العكسي
Larmor frequency	تردد لا رمور، تواتر لا رمور	ion	أيون
Larmor precession	مبادرة لا رمور	ionization	تأين
law	قانون	ionization chamber	حجرة التأين
layer	طبقة	ionization energy	طاقة التأين
lead (Pb)	رصاص	iridium (Ir)	إيريديوم
lead isotopes	نظائر الرصاص	iron (Fe)	حديد
leakage	تسرب	irradiation	تشعيع
length	طول	isodose chart	مخطط تساوي الجرعة
lepton	ليبتون	isomer	إيزومير، ممالك
level of energy	مستوي الطاقة	isomeric transition	انتقال إيزميري
life time	عمر	isospin	سبين نظيري، أيزوسبين
life time an excited state	عمر الحالة المثارة	isotone	أيزوتون، متساوي النيوترونات
light emission	إصدار الضوء	isotope	نظير
limit of resolution	حد المميز، حد قوة الفصل	isotopic dating	تأريخ نظائري
line spectrum	طيف خطي	isotropic	متناحي
line width	عرض الخط الطيفي	isotropic medium	وسط متناحي
linear	خطي	inversion	تحول، انقلاب
linear absorption factor	عامل الامتصاص الخطي	J	
linear operator	مؤثر خطي	Joule	جول: وحدة الطاقة
linear velocity	سرعة خطية	Joule's law	قانون جول
longitude	خط الطول	K	
longitudinal	طولي، طولاني	K electrons	الالكترونات الطبقة (K)
		K- electron capture	أسر الكترون من الطبقة (K)

loss factor	عامل الضياع	long – range alpha particles	جسيمات ألفا طويلة المدى
lutecium (Lu)	لوتيتيوم	loss	فقد، ضياع، خسارة
Lyman series	سلسلة ليمن		
mean free path	مسار حر وسطي		
mean life time	عمر وسطي	M	
mean value	قيمة وسطي	M electrons	الالكترونات الطبقة M
measurement of spectrum	قياس الطيف	M shell	الطبقة M
medium	وسط، محيط	machine	ماكينة، آلة
mercury (Hg)	زئبق	macrophysics	فيزياء جهرية
meson	ميزون	macroscopic	جهرى
mesonic atom	ذرة ميزونية	macroscopic section	مقطع عياني، مقطع جهرى
metal	معادن	magic number	عدد سحري
metastable	شبه مستقر	magnesium (Mg)	مغنيزيوم
metastable nucleus	نواة شبه مستقرة	magnetic orbital quantum number	العدد الكمي المداري المغناطيسي
metastable state	حالة شبه مستقرة	magnetic resonance	تجاوب مغناطيسي
meter	مقياس، عداد، متر	magnitude	مقدار، طويلة
MeV, energy unit	مليون الكترون فولت، وحدة الطاقة	manganese (Mn)	منغنيز
mirror nuclides	نيوكلايدات مرآتية	mass absorption factor	عامل الامتصاص الكتلي
mobility of neutrons	حركية النيوترونات	mass defect	نقص الكتلة
mode	نمط	mass number	عدد كتلي
model	نموذج	mass of proton	كتلة البروتون
moderator	مهديء	mass of the nucleus	كتلة النواة
modulus	معامل، طويلة	mass spectrometer	مطياف الكتلة، مطياف كتلي
modulus of elasticity	معامل المرونة	mass spectrum	طيف الكتلة
mole	مول، جزئي جرامي	mass surface density	كثافة الكتلة السطحية
molecule	جزئي	material	مادي، مادة
molybdenum (Mo)	موليبدينوم	matter	مادة
moment	عزم، لحظة	matter wave	موجة مادية
momentum	اندفاع	maximum permissible dose	جرعة عظمى مسموح بها
monitor	مراقب	mean	وسطي
Mossbauer effect	مفعول موسبار		
motion of particle	حركة جسيم		
multiple decay	تفكك متعدد		

nuclear magneton	مغنتون نووي	multiple	تفكك متعدد
nuclear physics	فيزياء نووية	disintegration	
nuclear potential	جهد نووي	multiplet	تعددية
nuclear reaction	تفاعل نووي	multiplicity	تعددية
nuclear reactor	مفاعل نووي	muon	ميون، ميزون ميو
nuclear shell	طبقة نووية	mutual	متبادل
nuclear shells – model	نموذج الطبقات النووي	nanometer	نانو متر، وحدة طول
nuclear spin	سبين نووي	natural period	دور طبيعي
nuclei	نوى	negatron	نيغاترون، الكترون
nucleon	نيوكلون		سالب
nucleus	نواة	neon (Ne)	نيون
nuclide	نيوكلايد	neptunium (Np)	نبتونيوم
number	عدد	neptunium series	سلسلة النبتونيوم
		neutral meson	ميزون متعادل
object	جسم، شيء	neutrino	نيوترينو
octave	ثمانية	neutron	نيوترون
octet	ثمانية	neutron chain reaction	تفاعل نيوتروني
odd	فردية		متسلسل
ohm	أوم: وحدة المقاومة	neutron counter	عداد النيوترونات
	الكهربائية	neutron lifetime	عمر النيوترون
operator	مؤثر	nickel (Ni)	نيكل
opposition	تضاد، تعاكس	nitrogen (N)	نيتروجين، آزوت
orbit	مدار	normalization	تنظيم، توحيد
orbital	مداري	nuclear	نووي
orbital quantum number	عدد كمي مداري	nuclear charge	شحنة نووية
ordinary ray	شعاع عادي	nuclear energy	طاقة نووية
osmium (Os)	أوسميوم	nuclear energy level	مستوي الطاقة في
oxygen (O)	أكسجين		النواة
		nuclear fission	انشطار نووي
packet	رزمة	nuclear force	قوة نووية
parameter	وسيط	nuclear fuel	وقود نووي
parent nucleus	النواة الأم	nuclear fusion	اندماج نووي
parity	نوعية، ندية	nuclear magnetic resonance	تجاوب مغناطيسي
particle	جسيم		نووي
path	مسار		

Prompt neutron	نيوترون فوري	path length	طول المسار
proportional counter	عداد تناسبي	Pauli exclusion principle	مبدأ استبعاد باولي
protactinium (Po)	بروتكتينيوم	period	مرة، دور
Proton	بروتون	period of a radioactive element	دور عنصر مشع
Q		phonon	فونون
quadrupole	رباعي أقطاب	photoelectric multiplier	مضاعف كهروضوئي
quadrupole moment	عزم رباعي الأقطاب	photo electron	الالكترون ضوئي
quadrupole radiation	إشعاع رباعي الأقطاب	photon	فوتون
qualitative	كيفي	photonuclear	تفاعل نووي ضوئي
quality	جودة	pile	عمود، مفاعل
quality factor	عامل الجودة	Pi-meson	ميزون باي
quanta	كمات: مفرداها كم	pion	بيون
quantification	تقدير الكمية	Pitchblende	بتشبلند، خام اليورانيوم
quantity	كمية	Platinum (Pt)	بلاتينيوم
quantization	تكميم	Plutonium (Pu)	بلوتونيوم
quantum	كم	polonium (Po)	بولونيوم
quantum mechanics	ميكانيك الكم	population	إسكان
quantum number	عدد كمي	positron	بوزيترون
R		Positron decay	تفكك بوزيتروني
rad: unit of absorbed energy	راد: وحدة الطاقة الممتصة	Positronium	ذرة بوزيترونية
radial	قطري	Potassium (K)	بوتاسيوم
radial force	قوة قطرية	potential	جهد، كمون
radial quantum number	عدد كمي قطري	Potential barrier	حاجز جهد
radiance	إشعاعية	Potential energy	طاقة وضع، طاقة كامنة
radiant	مشع	Potential well	بئر جهد، بئر كمون
radiant energy	طاقة إشعاعية	Power	قدرة، استطاعة
radiant intensity	شدة الإشعاع	Power control rod	قضيب التحكم بالقدرة
radiation dose	جرعة الإشعاع	Power factor	عامل القدرة
radiation exposure	تعرض الإشعاع	precession	مبادرة، ترنج
radiation flux	تدفق الإشعاع	Principle	مبدأ
radiation shielding	تدريع الإشعاع	Principle series	سلسلة رئيسية
radioactive capture	أسر مشع	Process	عملية، تحول
radioactive decay	تفكك مشع		
radioactivation	تحليل بالتنشيط		

relaxation frequency	تردد الاسترخاء	analysis	الإشعاعي
repulsion	تدافع	radioactive carbon	كربون مشع
repulsion force	قوة (التنافر) قوة التدافع	radioactive constant	ثابت التفكك الإشعاعي
resolution	ميز، قوة الفصل	radioactive element	عنصر مشع
resolving time	زمن الفصل	radioactive equilibrium	توازن نشاط إشعاعي
resonance	رنين، تجاوب	radioactive isotopes	نظائر مشعة
response	استجابة	radioactive nuclide	نيوكلايد مشع
rest	باقي، سكون	radioactive series	سلسلة مشعة
rest energy	طاقة سكونية	radioactivity	نشاط إشعاعي
rest mass	كتلة سكونية	radioisotope	نظير مشع
retardation	تأخير	radiometer	مقياس الإشعاع
retardation neutrons	نيوترونات متأخرة	radionuclide	نيوكلايد مشع
rhodium (Rh)	روديوم	radium(Ra)	راديوم
roentgen rays	أشعة رونتجن	radius of nucleus	نصف قطر النواة
rubidium (Rb)	روبيديوم	radon (Rn)	رادون
ruthenium (Ru)	روثينيوم	random	عشوائي
Rutherford	رذرفورد	range	مدى، مجال
rutherfordium (Rf)	رذرفورديوم	rare earth elements	عناصر ترابية نادرة
		ray	شعاع
		reaction of	تفاعل الاندماج النووي
sample	عينة	thermonuclear fusion	الحراري
sampling	اعتيان	reaction threshold	عتبة التفاعل
saturation	إشباع	reactivity	تفاعلية
scattering	تبعثر، تبعثر	reactor	مفاعل
scintillation	ومضة، وميض	recoil	مرتد
scintillation counter	عداد وميض	recoil nucleus	نواة مرتدة
section	مقطع، قسم	relative	نسبي
selection rule	قاعدة الانتقاء	relative abundance	وفرة نسبية
semiconductor	نصف ناقل، شبه موصل	relative energy	طاقة نسبية
		relativistic	نسبوي
semi – empirical mass formula	المعادلة نصف التجريبية للكتلة	relativistic quantum mechanics	ميكانيك كم نسبوي
sensibility	حساسية	relativity	النسبية
sensitivity	حساسية	relativity theory	نظرية النسبية
separation	فصل	relaxation	استرخاء

stopping	إيقاف، توقف	series	سلسلة
stopping power	قدرة الإيقاف	set	مجموعة
sub – shell	طبقة فرعية	shell	طبقة
symmetric	متناظر	shield	درع إيجاب
system	منظومة، جملة	shielding	تدريع
system of particles	جملة جسيمات	shift	انزياح، إزاحة
		short range force	قوة قصيرة المدى
table	جدول	sievert	سيفرت
tantalum (Ta)	تانتاليوم	silicon (Si)	سليسيوم، سليكون
target	هدف	silver (Ag)	فضة
technetium (Tc)	تكنيسيوم	sodium (Na)	صوديوم
temperature	درجة الحرارة	source	مصدر، منبع
ternary fission	انشطار ثلاثي	specific	نوعي
tesla (T)	تسلا: وحدة التحريض	specific activity	نشاط نوعي
	المغناطيسي	spectra	طيوف، أطيف
theory	نظرية	spectral	طيفي
thermal	حراري	spectral analysis	تحليل طيفي
thermal energy	طاقة حرارية	spectral line	خط طيفي
thermal neutron	نيوترون حراري	spectrometer	مطياف، مقياس الطيف
thermodynamics	الترموديناميك، التحريك الحراري	spectrum	طيف
		spin	سبين
thermometer	ميزان الحرارة	splitting of energy levels	انشطار مستويات الطاقة
thermometry	قياس درجة الحرارة	spontaneous decay	تفكك تلقائي
thermonuclear	حراري نووي	spontaneous fission	انشطار تلقائي
threshold energy	طاقة العتبة	stability	استقرار
thickness	ثخن، سماكة	stable	مستقر
Thomson scattering cross section	مقطع عرضي لتبعثر تومسون	stable equilibrium	توازن مستقر
thorium (Th)	ثوريوم	stable isotope	نظير مستقر
thoron	ثورون	state	حالة، وضع
thyroid	غدة درقية	statistical	إحصائي
time	زمن	statistically	إحصائياً
time of exposure	زمن التعريض	statistics	علم الإحصاء
tolerance dose	جرعة التحمل	step	خطوة، درجة
total energy	طاقة كلية		

water		ماء	transuranium elements	عناصر ما بعد اليورانيوم
watt: unit of power		وات: وحدة القدرة (الاستطاعة)	tritium (T, ^3H)	تريتيوم: نظير الهيدروجين
wave		موجة	tunnel effect	مفعول النفق
wave equation		معادلة الموجة		
weak forces		قوى ضعيفة	U	
weight		ثقل، وزن	uncertainty principle	مبدأ الارتياب
width		عرض	uncharged particle	جسيم غير مشحون
	X		unit	وحدة قياس
X-axis		محور السينات، محول الفواصل	unit of atomic mass	وحدة الكتل الذرية
X- radiation		إشعاع سيني	unitary	واحدي
X-rays		أشعة سينية	units of activity	وحدات النشاط الإشعاعي
	Y		uranium (U)	يورانيوم
Y-axis		محور العيّنات، محور الترتيب	V	
			vacuum	خلاء
ytterbium (Yb)		اتربيوم	value	قيمة، مقدار
yttrium (y)		اتريوم	virtual	وهمي، افتراضي
	Z		volt	فولت، فولط
Z-axis		محور الصادات، محور الرواقم	volume	حجم
			volumetric	حجمي
Zeeman effect		مفعول زيمان	volumetric density	كثافة حجمية
zero		صفر	W	
			wall	جدار، حاجز
			wall energy	طاقة الحاجز

المراجع

- 1- Tatjane Jevremovic, Nuclear Principles in Engineering, Springer 2005.
- 2 – Meyerhof W.E , Eléments de Physique Nucléaire, Dunod Université, 1970.
- 3 – Luc Valentin, Physique Subatomique, Hermann, 1982.
- 4 – Schiff, L. I. Quantum Mechanics McGraw – Hill, New york, 1955.
- 5 – Evans. R. D, The Atomic Nucleus McGraw – Hill, New york, 1955
- 6 – Kimmich R. NMR Tomography Diffusometry Relaxation, Springer, 1997.
- 7 – Braian Cowan, Nuclear Magnetic Resonance and Relaxation, Cambridge University Press, 1997.
- 8- Roger S. Macomber, A Complet Introduction to Modern NMR Spectroscopy, John Wiley & Sons, Inc. 1998.
- 9- Leobold May, An Introduction to Mossbauer Spectroscopy, Plenum Press, 1971.
- 10 – Audi G. and wapstra A. H, Nucl, Phys. A595 (1995)
- 11- <http://pecbip2.univ-lemans.fr/~moss/webibame//>
- 12- <http://nuclear data .nuclear. lu. se/nuclear data/toi//>

- 13 – د. علي سلامي، د. هيثم جبيلي: هندسة الطب النووي، جامعة دمشق 1994.
- 14 – د. هزاع جناد: الفيزياء النووية، جامعة تشرين، 1991.
- 15 – د. محمد شحادة الدغمة، د. علي محمد جمعة: الفيزياء النووية، مكتبة الفلاح 1997.
- 16 – د. محمد فاروق أحمد، د. أحمد محمد السريع: أسس الفيزياء الإشعاعية، جامعة الملك سعود، 1998.

اللجنة العلمية لتقويم أملية الفيزياء النووية (1) لطلاب السنة الثالثة فيزياء

أ.د. جبور جبور قسم الفيزياء-كلية العلوم-جامعة تشرين

أ.د. نزيه حيدر قسم الفيزياء-كلية العلوم-جامعة تشرين

أ.د. مفيد عباس قسم الفيزياء-كلية العلوم-جامعة تشرين

المدقق اللغوي

أ.د. حكمت عيسى قسم اللغة العربية -كلية الآداب - جامعة تشرين

حقوق الطبع والترجمة والنشر محفوظة لدى مديرية الكتب والمطبوعات في
جامعة تشرين